



جامعة حلب  
كلية الهندسة الكهربائية والإلكترونية  
قسم هندسة القيادة الكهربائية

**تصميم وبناء نظام قيادة رقمي لمحرك تيار مستمر بالاعتماد على تقنية  
التحكم الانزلاقي وباستخدام شرائح المصفوفات القابلة للبرمجة  
FPGA-Based Design and Implementation of DC Motor  
Drive System using Sliding Mode Control Technique**

أطروحة أعدت لنيل درجة الماجستير في هندسة القيادة الكهربائية

الدكتور المهندس عبدالقادر جوخدار  
قسم هندسة القيادة الكهربائية  
كلية الهندسة الكهربائية والإلكترونية  
جامعة حلب

الدكتور المهندس أحمد عمّار نعلاني  
قسم هندسة القيادة الكهربائية  
كلية الهندسة الكهربائية والإلكترونية  
جامعة حلب

إعداد المهندس أحمد عامر مالك الملوحي  
طالب دراسات عليا (ماجستير) في قسم هندسة القيادة الكهربائية  
كلية الهندسة الكهربائية والإلكترونية  
جامعة حلب

2010 م

1431 هـ

---

قدمت هذه الرسالة استكمالاً لمتطلبات نيل درجة الماجستير  
في هندسة القيادة الكهربائية في قسم هندسة القيادة الكهربائية  
من كلية الهندسة الكهربائية والإلكترونية بجامعة حلب

---

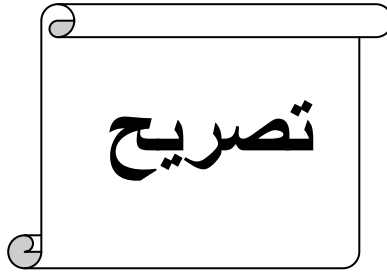
## شهادة

نشهد بأن العمل المقدّم في هذه الرسالة هو نتيجة بحث علمي قام به المرشّح المهندس أحمد عامر الملوّحي تحت إشراف الدكتور أحمد عمّار نعساني (المشرف الرئيسي) الأستاذ المساعد في قسم هندسة القيادة الكهربائية في كلية الهندسة الكهربائية والإلكترونية بجامعة حلب والدكتور عبد القادر جوخدار (المشرف المشارك) المدرس في قسم هندسة القيادة الكهربائية في كلية الهندسة الكهربائية والإلكترونية بجامعة حلب، وأنّ أيّة مراجع أخرى ذكرت في هذا العمل موثقة في نص الرسالة.

المشرف الرئيسي  
الدكتور أحمد عمّار نعساني

المشرف المشارك  
الدكتور عبد القادر جوخدار

المرشّح  
المهندس أحمد عامر الملوّحي



**أُصرح بأن هذا العمل:**

"تصميم وبناء نظام قيادة رقمي لمحرك تيار مستمر بالاعتماد على  
تقنية التحكم الانزلاقي وباستخدام شرائح المصفوفات القابلة  
للبرمجة"

لم يسبق أن قُبل للحصول على أي شهادة، ولا هو مقدم حالياً  
للحصول على شهادة أخرى.

المرشّح

المهندس أحمد عامر الملّوحي



نوقشت هذه الرسالة بتاريخ 2010/4/8 وأجيزت

## لجنة الحكم على الرسالة

الدكتور : أحمد عمار نعساني (مشرفاً)	الدكتور : محمد صالح الأيوبي	الدكتور : محمد بشير الرفاعي
الأستاذ المساعد في قسم هندسة القيادة الكهربائية	الأستاذ المساعد في قسم هندسة الطاقة الكهربائية	الأستاذ في قسم هندسة القيادة الكهربائية
كلية الهندسة الكهربائية والإلكترونية	كلية الهندسة الميكانيكية والكهربائية	كلية الهندسة الكهربائية والإلكترونية
جامعة حلب	جامعة دمشق	جامعة حلب

## فهرس المحتويات

14	مقدمة عامة
18	الفصل الأول: محركات التيار المستمر، بنيتها، أنواعها، مبدلاتها، نمذجتها
18	1.1. مقدمة
18	2.1. مبدأ عمل آلات التيار المستمر وبنيتها
19	3.1. أنواع محركات التيار المستمر
21	4.1. طرق التحكم بسرعة محرك التيار المستمر
24	5.1. أنواع المبدلات
25	1.5.1. المبدلات الثايرستورية
28	2.5.1. المبدلات الترانزستورية
32	6.1. نمذجة محرك التيار المستمر ذي التهيج المستقل
32	1.6.1. قياس بارامترات المحرك
34	2.6.1. التمثيل الرياضي لمحرك التيار المستمر ذي التهيج المستقل
37	7.1. خلاصة
38	الفصل الثاني: تنظيم سرعة محرك التيار المستمر باستخدام المنظمات التناسبية-التكاملية-التفاضلية PID
38	1.2. مقدمة
38	2.2. خوارزمية منظمات PID
41	3.2. الترشيح وتحييز الإشارة المرجعية
41	1.3.2. الترشيح
42	2.3.2. تحييز الإشارة المرجعية
43	4.2. صيغ رياضية أخرى لمنظمات PID
44	5.2. الانحراف
46	1.5.2. تقييد مجال تحرك نقطة العمل للجملة
46	2.5.2. طريقة الحساب الرجعي والملاحقة
48	6.2. طرق معايرة منظمات PID
48	1.6.2. طريقة الاستجابة للقفزة الواحدة
49	2.6.2. طريقة الاستجابة الترددية
50	3.6.2. طريقة الاستجابة المحسنة للقفزة الواحدة
52	4.6.2. الطريقة التصميمية المباشرة
53	7.2. تنظيم سرعة محرك التيار المستمر ذي التهيج المستقل
53	1.7.2. تنظيم سرعة المحرك بدون تنظيم التيار
60	2.7.2. تنظيم سرعة المحرك مع تنظيم التيار

70	8.2. دراسة تأثير بعض المعاملات على استجابة نظام التحكم
70	1.8.2. دراسة تأثير المنظم التناسبي $K_v$ على استجابة النظام
72	2.8.2. تأثير القوة المحركة الكهربائية العكسية $E_g$ على استجابة النظام
73	9.2. النمذجة الرقمية لنظام التحكم المدروس
74	1.9.2. تحويل نظام التحكم من مجال الزمن المستمر إلى مجال الزمن المنقطع
77	2.9.2. تحويل نظام التحكم المدروس إلى النظام الرقمي
79	10.2. النظام الواحد
79	1.10.2. تحويل المعادلات الممثلة لجملة التحكم المدروسة من النظام الرقمي إلى النظام الواحد
84	11.2. خلاصة
85	<b>الفصل الثالث: تنظيم سرعة محرك التيار المستمر باستخدام خوارزمية التحكم الانزلاقي</b>
85	1.3. مقدمة
85	2.3. الأنظمة ذات البنية المتغيرة
88	3.3. تمثيل الأنظمة ذات البنية المتغيرة
90	4.3. التحكم المكافئ
91	5.3. شروط الجذب
92	6.3. طريقة قانون الجذب
94	7.3. قانون التحكم
95	8.3. عدم التغير والقساوة لنظام التحكم
95	9.3. التذبذبات خلال النمط الانزلاقي ونمط الحالة الدائمة
96	10.3. تنظيم سرعة محرك التيار ذي التهييج المستقل باستخدام خوارزمية SMC
97	1.10.3. تنظيم السرعة بدون تنظيم التيار
104	2.10.3. تنظيم السرعة مع تنظيم التيار
111	11.3. تحويل معادلات التحكم إلى النظامين الرقمي والواحد
111	1.11.3. تحويل معادلات التحكم المعبرة عن طريقة تنظيم السرعة بدون تنظيم التيار
113	2.11.3. تحويل معادلات التحكم المعبرة عن طريقة تنظيم السرعة مع تنظيم التيار
114	12.3. خلاصة
117	<b>الفصل الرابع: دراسة استقرار منظومة التحكم</b>
117	1.4. مقدمة
117	2.4. دراسة طريقة تحليل استقرار النظام
121	3.4. دراسة استقرار نظام التحكم عند تغير مقاومة المتحرض
123	4.4. دراسة استقرار نظام التحكم عند تغير عزم عطالة المحرك
125	<b>الفصل الخامس: البناء الرقمي لخوارزميات قيادة لتنظيم التيار في محرك تيار مستمر ضمن شرائح FPGA</b>

125	1.5. مقدمة
125	2.5. مفهوم طريقة تعديل عرض النبضة PWM
127	3.5. تنظيم التيار باستخدام منظم PI
129	1.3.5. التحويل إلى النظام الزمني المتقطع والتمثيل في النظام الواحد
133	4.5. تنظيم التيار باستخدام نظرية النظام الانزلاقي
137	5.5. النتائج العملية لخوارزميتي تنظيم التيار
138	6.5. خلاصة
139	الخاتمة والآفاق المستقبلية
142	الملحقات
143	المراجع العلمية

## فهرس الأشكال

15	الشكل(1): العناصر الأساسية المشكلة للبلوك المنطقي القابل للبرمجة
15	الشكل(2): بنية الجدول المرجعي
16	الشكل(3): مسقط رأسي للبنية العامة لشريحة FPGA مع التبسيط
18	الشكل(1-1): الأجزاء الرئيسية المكونة لمحرك التيار المستمر
19	الشكل(2-1): الدارة الكهربائية المكافئة لمحرك التيار المستمر ذي التهيج المستقل
19	الشكل(3-1): الدارة الكهربائية المكافئة لمحرك التيار المستمر التفرعي
20	الشكل(4-1): الدارة الكهربائية المكافئة لمحرك التيار المستمر التسلسلي
20	الشكل(5-1): الدارة الكهربائية المكافئة لمحرك التيار المستمر المختلط
21	الشكل(6-1): البنية العامة لمحرك التيار المستمر ذي المغناط الدائمة
21	الشكل(7-1): البنية العامة لمحرك التيار المستمر بدون مسفرات
22	الشكل(8-1): منحني العزم-السرعة لمحرك التيار المستمر عند قيم مختلفة للتدفق المغناطيسي
23	الشكل(9-1): منحني العزم-السرعة لمحرك التيار المستمر عند قيم مختلفة لمقاومة المتحرض
24	الشكل(10-1): منحني العزم-السرعة لمحرك التيار المستمر عند قيم مختلفة لجهد المتحرض
25	الشكل(11-1): منحني العزم-السرعة لمحرك التيار المستمر وفق مبدأ الأرباع الأربعة
26	الشكل(12-1): مبدلة ثايرستورية مزدوجة ثلاثية الطور
27	الشكل(13-1): طريقة تشكيل نبضات قرح الثايرستورات
28	الشكل(14-1): دارة الملازمة المستخدمة لتطبيق نبضات القرح على بوابات الثايرستورات
28	الشكل(15-1): دارة مبدلة ترانزستورية جسرية تؤمن عمل محرك التيار المستمر في الأرباع الأربعة
31	الشكل(16-1): طريقة تشكيل نبضات الوصل والفصل الواجب تطبيقها على ترانزستورين فقط خلال دور اشارة سن المنشار
32	الشكل(17-1): طريقة تشكيل نبضات القرح الواجب تطبيقها على الترانزستورات الأربعة عند $V_{PI} > 0 \text{ V}$
32	الشكل(18-1): طريقة تشكيل نبضات القرح الواجب تطبيقها على الترانزستورات الأربعة عند $V_{PI} < 0 \text{ V}$
34	الشكل(19-1): المنحني التجريبي لرد فعل المتحرض
34	الشكل(20-1): الدارة الكهربائية المكافئة لمحرك التيار المستمر ذي التهيج المستقل
36	الشكل(21-1): المخطط الصندوقي الممثل لمحرك تيار مستمر ذي تهيج مستقل
39	الشكل(1-2): المخطط الصندوقي لدارة تحكم باستخدام منظم PID
39	الشكل(2-2): منحنيات الاستجابة الزمنية لجملة التحكم المعطاة بالعلاقة (2-2) والمقادة بواسطة منظم P عند قيم مختلفة لـ K
40	الشكل(3-2): منحنيات الاستجابة الزمنية لجملة التحكم المعطاة بالعلاقة (2-2) والمقادة بواسطة منظم PI عند قيم مختلفة لـ $T_i$
40	الشكل(4-2): منحنيات الاستجابة الزمنية لجملة التحكم المعطاة بالعلاقة (2-2) والمقادة بواسطة منظم PID عند قيم مختلفة لـ $T_d$
43	الشكل(5-2): منحنيات الاستجابة الناتجة عن تطبيق اشارة مرجعية على شكل قفزة واحدة عند قيم مختلفة لـ b
45	الشكل(6-2): توضيح ظاهرة الانحراف Windup
47	الشكل(7-2): مخطط صندوقي لمتحكم PID مقاوم لظاهرة Windup

48	الشكل (2-8): التحسن الذي يطرأ على منحنيات الاستجابة المبنية في الشكل (2-6) نتيجة التخلص من ظاهرة الانحراف
48	الشكل (2-9): منحنيات الاستجابة الناتجة عن تطبيق إشارة مرجعية على شكل قفزة واحدة عند قيم مختلفة لـ $T_t$
49	الشكل (2-10): خصائص منحنى الاستجابة الزمنية وفق طريقة القفزة الواحدة لـ Nichols و Ziegler
50	الشكل (2-11): خصائص منحنى الاستجابة الترددية وفق طريقة Nichols و Ziegler
52	الشكل (2-12): خصائص منحنيات الاستجابة الزمنية وفق طريقتي الاستجابة الزمنية للقفزة الواحدة المحسنة وغير المحسنة
54	الشكل (2-13): الحلقة الداخلية لدارة تنظيم السرعة
54	الشكل (2-14): حلقة تنظيم السرعة باستخدام المنظم P-PI
56	الشكل (2-15): منحنى إشارة السرعة المرجعية المطبقة على جملة التحكم
56	الشكل (2-16): المخطط الصندوقي المكافئ للمحرك المدروس عند إهمال رد فعل المتحرض
57	الشكل (2-17): المخطط الصندوقي لدارة تنظيم السرعة بدون تنظيم التيار عند إهمال رد فعل المتحرض
57	الشكل (2-18): منحنيات استجابة السرعة والتيار عند تنظيم السرعة بدون تنظيم التيار مع إهمال رد فعل المتحرض
58	الشكل (2-19): المخطط الصندوقي المكافئ للمحرك المدروس عند أخذ رد فعل المتحرض بعين الاعتبار
58	الشكل (2-20): منحنيات استجابة السرعة والتيار عند تنظيم السرعة بدون تنظيم التيار مع أخذ رد فعل المتحرض وفق طريقة المعاملات الثابتة لمنظمات PID
59	الشكل (2-21): المخطط الصندوقي لدارة تنظيم السرعة بدون تيار وفق طريقة المعاملات الآتية لمنظمات PID
60	الشكل (2-22): منحنيات استجابة السرعة والتيار عند تنظيم السرعة بدون تنظيم التيار مع أخذ رد فعل المتحرض وفق طريقة المعايير الآتية لمنظمات PID
60	الشكل (2-23): المخطط الصندوقي لحلقة تنظيم التيار
61	الشكل (2-24): المخطط الصندوقي الذي يربط بين القيمة المرجعية لتيار المتحرض وسرعة المحرك
61	الشكل (2-25): الحلقة الداخلية لدارة تنظيم السرعة
62	الشكل (2-26): الحلقة الخارجية لدارة تنظيم السرعة
63	الشكل (2-27): المخطط الصندوقي لدارة تنظيم السرعة مع تنظيم التيار عند إهمال رد فعل المتحرض
64	الشكل (2-28): منحنيات استجابة السرعة والتيار عند تنظيم السرعة مع تنظيم التيار مع إهمال رد فعل المتحرض عند $K_{PI}=10$
65	الشكل (2-29): منحنيات استجابة السرعة والتيار عند تنظيم السرعة مع تنظيم التيار مع إهمال رد فعل المتحرض عند $K_{PI}=30$
65	الشكل (2-30): منحنيات استجابة السرعة والتيار عند تنظيم السرعة مع تنظيم التيار مع إهمال رد فعل المتحرض عند $K_{PI}=35$
66	الشكل (2-31): منحنيات استجابة السرعة والتيار عند تنظيم السرعة مع تنظيم التيار وفق طريقة المعاملات الثابتة عند $K_{PI}=10$
67	الشكل (2-32): منحنيات استجابة السرعة والتيار عند تنظيم السرعة مع تنظيم التيار وفق طريقة المعاملات الثابتة عند $K_{PI}=60$
68	الشكل (2-33): منحنيات استجابة السرعة والتيار عند تنظيم السرعة مع تنظيم التيار وفق طريقة المعاملات الثابتة عند $K_{PI}=110$
68	الشكل (2-34): المخطط الصندوقي لدارة التحكم بتنظيم السرعة مع تنظيم التيار وفق مبدأ المعايير الآتية لمنظمات PID
69	الشكل (2-35): منحنيات استجابة السرعة والتيار عند تنظيم السرعة مع تنظيم التيار وفق مبدأ المعايير الآتية عند $K_{PI}=60$
70	الشكل (2-36): المخطط الصندوقي لدارة تنظيم السرعة مع التيار عند حذف المنظم التناسبي من الحلقة الداخلية لتنظيم السرعة

75	الشكل (2-37): المخطط الصندوقي الممثل لتابع انتقال من المرتبة الأولى وفق طريقة أوليلر العكسية
75	الشكل (2-38): المخطط الصندوقي الممثل لتابع انتقال من الدرجة الأولى ممثلاً في مجال الزمن المستمر
75	الشكل (2-39): مقارنة منحنيي الاستجابة الزمنية بين مجال الزمن المنقطع (طريقة أوليلر العكسية) ومجال الزمن المستمر
76	الشكل (2-40): المخطط الصندوقي الممثل لتابع انتقال من المرتبة الأولى وفق طريقة أوليلر الأمامية
76	الشكل (2-41): مقارنة منحنيي الاستجابة الزمنية بين مجال الزمن المنقطع (طريقة أوليلر الأمامية) ومجال الزمن المستمر
76	الشكل (2-42): المخطط الصندوقي لمحرك التيار المستمر ذي التهيج المستقل
77	الشكل (2-43): المخطط الصندوقي الممثل لتابع الانتقال المعطى بالعلاقة (2-88) وفق طريقة أوليلر الأمامية
77	الشكل (2-44): المخطط الصندوقي الممثل لتابع الانتقال المعطى بالعلاقة (2-90) وفق طريقة أوليلر الأمامية
79	الشكل (2-45): المخطط الصندوقي لتابع الانتقال الممثل للمنظم التناسبي-التكاملي وفق طريقة أوليلر الأمامية
85	الشكل (3-1): المخطط الصندوقي للمثال التوضيحي للأنظمة ذات البنية المتغيرة
86	الشكل (3-2): المناطق المحددة بواسطة تابع التبديل $s(x_1, x_2)$
86	الشكل (3-3): مسارات متحولات الحالة للمثال التوضيحي (3-1)
87	الشكل (3-4): تمثيل النظام التوضيحي (3-1) من أجل نقطة بداية معطاة
89	الشكل (3-5): بناء النظام ذو البنية المتغيرة اعتماداً على تغيير قيمة التغذية العكسية
89	الشكل (3-6): بناء النظام ذو البنية المتغيرة اعتماداً على تبديل وضعية القواطع وفقاً لإشارة تابع التبديل
91	الشكل (3-7): النظام الانزلاقي المثالي
97	الشكل (3-8): منحنى إشارة السرعة المرجعية المطبق على جملة التحكم
99	الشكل (3-9): المخطط الصندوقي الممثل لإدارة تخمين عزم الحمولة
100	الشكل (3-10): المخطط الصندوقي لإدارة تنظيم السرعة بدون تنظيم تيار وفق طريقة التحكم المكافئ
100	الشكل (3-11): منحنيات استجابة السرعة والتيار وفق طريقة التحكم المكافئ عند إهمال رد فعل المتحرض وفق طريقة تنظيم السرعة بدون تنظيم تيار
101	الشكل (3-12): منحنيات استجابة السرعة والتيار وفق طريقة التحكم المكافئ مع أخذ رد فعل المتحرض بعين الاعتبار وفق طريقة تنظيم السرعة بدون تنظيم تيار
102	الشكل (3-13): المخطط الصندوقي لإدارة تنظيم السرعة بدون تنظيم تيار وفق طريقة قانون التبديل
103	الشكل (3-14): منحنيات استجابة السرعة والتيار وفق طريقة قانون التبديل عند إهمال رد فعل المتحرض
103	الشكل (3-15): منحنيات استجابة السرعة والتيار وفق طريقة قانون التبديل عند أخذ رد فعل المتحرض بعين الاعتبار
104	الشكل (3-16): المخطط الصندوقي العام لإدارة تنظيم السرعة مع تنظيم التيار وفق خوارزمية SMC
105	الشكل (3-17): المخطط الصندوقي للحلقة الداخلية لتنظيم التيار وفق طريقة التحكم المكافئ
106	الشكل (3-18): المخطط الصندوقي المعبر عن منظومة التحكم بالسرعة مع تنظيم التيار
106	الشكل (3-19): المخطط الصندوقي لحلقة تنظيم السرعة الخارجية
107	الشكل (3-20): منحنيات استجابة السرعة والتيار وفق طريقة التحكم المكافئ عند إهمال رد فعل المتحرض وفق طريقة تنظيم السرعة مع تنظيم التيار

108	الشكل (3-21): منحنيات استجابة السرعة والتيار وفق طريقة التحكم المكافئ مع أخذ رد فعل المتحرض بعين الاعتبار وفق طريقة تنظيم السرعة مع تنظيم التيار
109	الشكل (3-22): المخطط الصندوقي للحلقة الداخلية لتنظيم التيار وفق طريقة قانون التبديل
110	الشكل (3-23): منحنيات استجابة السرعة والتيار وفق طريقة قانون التبديل عند إهمال رد فعل المتحرض
111	الشكل (3-24): منحنيات استجابة السرعة والتيار وفق طريقة قانون التبديل مع أخذ رد فعل المتحرض بعين الاعتبار
115	الشكل (3-25): المقارنة بين منحنيات الاستجابة عند تنظيم السرعة بدون تيار وفق خوارزميتي PID و SMC
116	الشكل (3-26): المقارنة بين منحنيات الاستجابة عند تنظيم السرعة مع تنظيم التيار وفق خوارزميتي PID و SMC
117	الشكل (4-1): المخطط الصندوقي العام لإدارة تنظيم السرعة مع تنظيم التيار
118	الشكل (4-2): المخطط الصندوقي لحلقة تنظيم التيار
118	الشكل (4-3): المخطط الصندوقي للحلقة الداخلية لتنظيم السرعة
119	الشكل (4-4): المخطط الصندوقي للحلقة الخارجية لتنظيم السرعة
122	الشكل (4-5): توضع أقطاب تابع انتقال جملة التحكم مع زيادة قيمة مقاومة المتحرض
122	الشكل (4-6): منحنيات استجابة السرعة والتيار عند زيادة مقاومة المتحرض بمقدار 50%
123	الشكل (4-7): توضع أقطاب تابع انتقال جملة التحكم مع زيادة قيمة عزم العطالة
124	الشكل (4-8): منحنيات استجابة السرعة والتيار عند زيادة عزم عطالة المحرك على شكل قفزة بمقدار 100%
126	الشكل (5-1): (a) - الدارة العملية لطريقة تعديل عرض النبضة (b) - مبدأ عمل طريقة تعديل عرض النبضة
127	الشكل (5-2): الدارة العملية لطريقة تنظيم تيار حمل RLE باستخدام المنظم PI
128	الشكل (5-3): حلقة تنظيم تيار حمل RLE باستخدام المنظم PI
128	الشكل (5-4): حلقة تنظيم مبسطة لتيار حمل RLE باستخدام المنظم PI
129	الشكل (5-5): نتائج المحاكاة لتنظيم التيار باستخدام المنظم PI
131	الشكل (5-6): مخطط مسرى المعطيات ووحدة التحكم للمنظم PI
132	الشكل (5-7): مخطط مسرى المعطيات ووحدة التحكم لطريقة تعديل عرض النبضة PWM الخاصة بمبدلة بأربع ترانزستورات
134	الشكل (5-8): المخطط الصندوقي لخوارزمية تنظيم تيار حمل RLE باستخدام نظرية التحكم الانزلاقي
135	الشكل (5-9): مسار التيار عند تنظيمه باستخدام نظام التحكم الانزلاقي
136	الشكل (5-10): مخطط مسرى المعطيات لاستراتيجية تنظيم التيار باستخدام نظام التحكم الانزلاقي
137	الشكل (5-11): البنية العامة لنظام التحكم
137	الشكل (5-12): شكل الجهد والتيار عند استخدام المنظم التناسبي-التكاملي
138	الشكل (5-13): شكل الجهد والتيار عند استخدام المنظم الانزلاقي



## فهرس الجداول

49	الجدول(1-2): حساب قيم معاملات منظم PID وفق طريقة الاستجابة الزمنية للقفزة الواحدة
50	الجدول(2-2): حساب قيم معاملات منظم PID وفق طريقة الاستجابة الترددية للقفزة الواحدة
53	الجدول(3-2): خصائص معاملات منظم PID
131	الجدول(1-5): الإشارات الناتجة عن وحدة التحكم التابعة للمنظم التناسبي-التكاملي
133	الجدول(2-5): وحدة التحكم التابعة لطريقة تعديل عرض النبضة PWM
135	الجدول(3-5): الإشارات الناتجة عن وحدة التحكم التابعة للمنظم الانزلاقي

## مقدمة:

إن التطور الكبير والمذهل في حقل هندسة أنصاف النواقل الذي بدأ منذ ستينيات القرن الماضي، واستمر حتى وقتنا الراهن، ساعد على تسريع عجلة التقدم في شتى قطاعات الحياة، وحول مسار التكنولوجيا نحو المجال الرقمي، فكل ما يشهده عصرنا الحالي من تقدم في تقانات الإتصالات والحوسبة الإلكترونية هو نتاج هذه التكنولوجيا الرقمية، من هنا ظهر مفهوم القيادة الرقمية كجزء لا يتجزأ من المنظومة الرقمية التي تحيط بنا. في عصرنا الحالي ظهرت أنواع مختلفة من الشرائح المتكاملة القابلة للبرمجة والتي يمكن استخدامها في أنظمة القيادة الرقمية، بدأ من المتحكمات الصغيرة *Microcontroller* (تعرف أيضاً بالمعالجات ذات الأغراض العامة)، مروراً بمعالجات الإشارة الرقمية *Digital Signal Processor (DSP)* ووصولاً إلى شرائح المصفوفات القابلة للبرمجة *Field Programmable Gate Array (FPGA)*.

إن اختيار الشريحة المناسبة للتطبيق المطلوب يعتمد على جملة من المعايير، فمثلاً عندما تتطلب خوارزمية التحكم القيام بعمليات رياضية معقدة بالفاصلة العائمة، فإن اختيار معالج إشارة رقمي *DSP* يمكن برمجته لأكثر من مرة باستخدام لغة *C* أو أي لغة أخرى عالية المستوى يكون هو الحل الأنسب، أما عندما لا تتطلب منظومة التحكم العمل عند سرعات عالية، وتكون الحاجة ماسة للحصول على منظومة عمل منخفضة الثمن، فإن اختيار المتحكمات الصغيرة *Microcontroller* يكون هو الخيار الأفضل. أخيراً عندما يحتاج المصمم إلى منظومة ذات أداء عالي وتوافقية بنى جيدة وقادرة على العمل عند سرعات كبيرة فإن شريحة المصفوفات القابلة للبرمجة *FPGA* ستكون هي الحل الأمثل، حيث تمتاز هذه الشريحة بمرونتها وقابلية إعادة برمجتها.

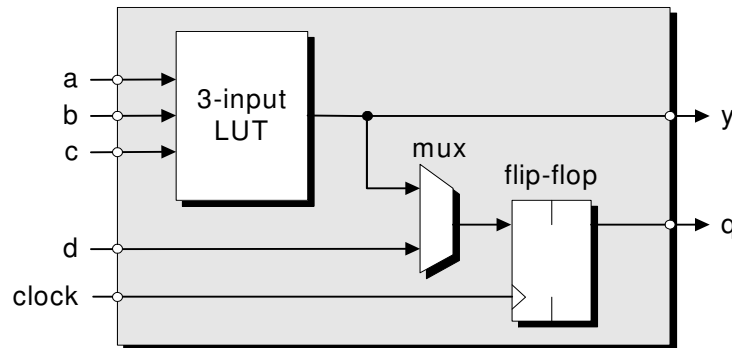
إن مصفوفة البوابات المنطقية القابلة للبرمجة (*FPGA*) هي دارة متكاملة رقمية تحتوي على لوحات قابلة للتعديل (البرمجة) مع مجموعة من الوصلات الداخلية القابلة أيضاً للتعديل. يمكن لمهندس التصميم أن يقوم بتعديل هذه الوصلات (برمجة الشريحة) لتقوم الشريحة بإنجاز مهمة معينة، واعتماداً على الطريقة المستخدمة في تعديل الوصلات (البرمجة) يمكن لبعض شرائح الـ *FPGA* أن تبرمج لمرة واحدة بينما يمكن لبعضها الآخر أن يبرمج مرات كثيرة، حيث تُسمى الشرائح القابلة للبرمجة مرة واحدة بالـ *One-Time Programmable (OTP)*.

إن عبارة "*Field Programmable*" من اسم الـ *FPGA* تشير إلى حقيقة أن البنية الداخلية للشريحة يمكن أن تحدد من قبل المبرمج، خلافاً للشرائح ذات الوظائف الداخلية التي يتم بناء داراتها الإلكترونية من قبل الشركة الصانعة، هذا يعني أن شريحة الـ *FPGA* قابلة للبرمجة أثناء وجودها في النظام الإلكتروني الذي يقوم بخدمة نظام التنفيذ (الوسط الخارجي).

في بداية الثمانينات كان من الواضح أن هناك ثغرة في تسلسل ظهور الدارات المتكاملة، فمن جانب برزت الأجهزة القابلة للبرمجة مثل (*CPLD* و *SPLD*) *Simple/Complex Programmable Logic (Device)* حيث امتازت بقابلية التعديل مع زمن قليل لبناء التصميم وتعديله لكنها ليست قادرة على دعم وظائف كبيرة أو معقدة، ومن جانب آخر ظهرت شريحة الـ *ASIC (Application-Specific Integrated Circuit)* التي من الممكن أن تدعم عدداً كبيراً ومعقداً من الوظائف لكنها غالية الثمن وبحاجة إلى وقت كبير لإنجاز

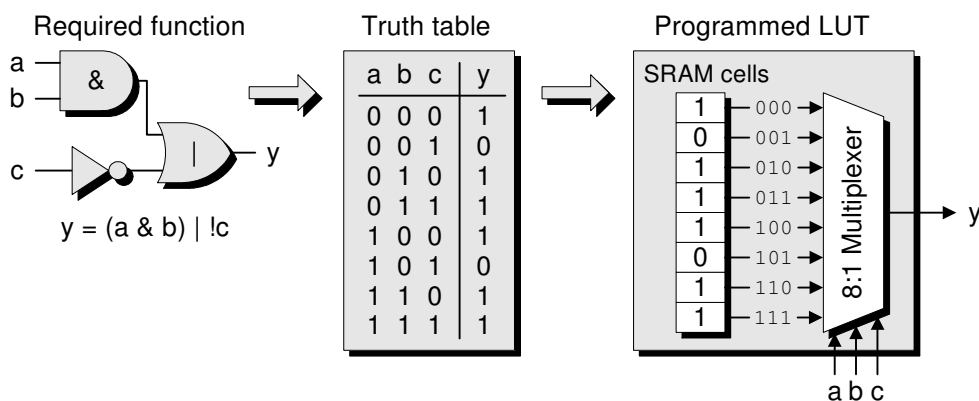
التصميم، هذا بالإضافة إلى عدم إمكانية تعديل التصميم بعد برمجته على الشريحة. لسد هذه الثغرة طورت شركة Xilinx صنف جديد من الدارات المتكاملة سمته *FPGA*، والذي أصبح متوفراً في الأسواق اعتباراً من عام 1984 [14]. كانت الأجهزة الأولى تعتمد على فكرة اللوحات المنطقية القابلة للبرمجة *Programmable logic block* والتي تتضمن جدولاً مرجعياً (*Look Up Table*) بثلاثة مداخل مع ناخب ومسجل يمكن أن يعمل كقلاب أو ماسك، هذا بالإضافة إلى بعض العناصر الأخرى الأقل أهمية. يوضح الشكل (1) لوحة منطقية بسيطة جداً قابلة للبرمجة [14].

تحتوي كل شريحة *FPGA* على عدد كبير من هذه اللوحات القابلة للبرمجة، وبالاكتفاء على برمجة خلايا *SRAM* (*Static Random Access Memory*) يمكن تعديل كل لوحة منطقية لتؤدي وظيفة مختلفة. يمكن لكل مسجل أن يُعدّل ليحتوي على قيم بدائية مساوية للصفر أو للواحد أو ليعمل كقلاب أو ماسك. عندما يحدد عمل المسجل كقلاب فإن عمله يمكن أن يُعدّل ليُقدح عند الجبهة الصاعدة أو الهابطة لنبضة الساعة [15].



الشكل (1) العناصر الأساسية المشكلة للوحة المنطقية القابلة للبرمجة

إن الناخب المغذي للقلاب يمكن أن يُعدّل بحيث يقبل تغذية من خرج جدول مرجعي أو من دخل خاص للوحة المنطقية. أما الجدول المرجعي فيمكن أن يُعدّل ليؤدي وظيفة منطقية بثلاثة مداخل. على سبيل المثال، لنعتبر أننا بحاجة إلى جدول مرجعي لتحقيق العلاقة  $y = (a \& b) \mid !c$ . يمكن تحقيق هذه الوظيفة بتحميل جدول البحث بقيمة الخرج المناسبة كما في الشكل (2). من الجدير بالملاحظة أن الناخب 8:1 الذي يعتمد في عمله على الجدول المرجعي *Look Up Table* (والموضح في الشكل (2)) استخدم فقط للتبسيط [14].

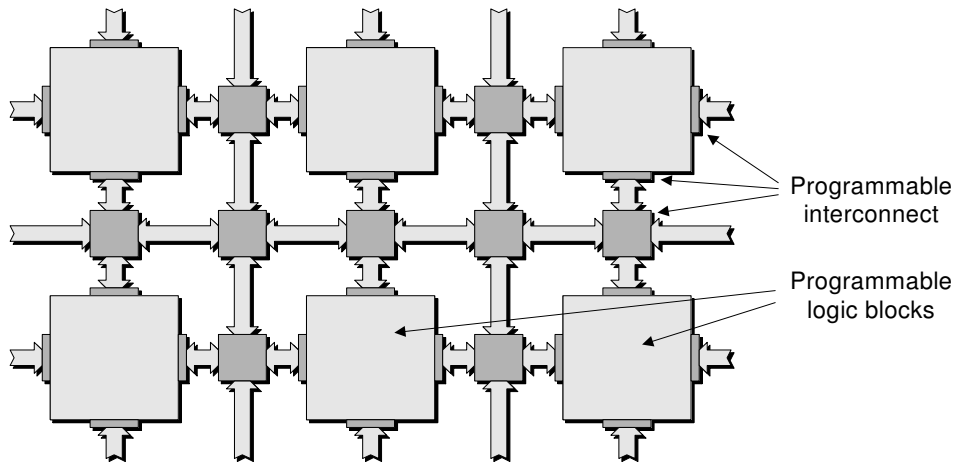


الشكل (2) بنية الجدول المرجعي

تتضمن شريحة الـ *FPGA* الكاملة عدداً كبيراً من اللوحات المنطقية "جزر" محاطة "ببحر" من

الوصلات الداخلية القابلة للبرمجة كما في الشكل (3). في الحقيقة إن كل الترانزستورات والوصلات الداخلية تُتجز على نفس قطعة السيليكون باستخدام تقنيات إنشاء الدارات المتكاملة. بالإضافة للوصلات الداخلية المحلية الموضحة في الشكل (3)، هناك أيضاً ممرات وصلات داخلية عامة عالية السرعة والتي يمكن أن تمرر الإشارات عبر الشريحة دون الحاجة للمرور بالعديد من عناصر التبديل المحلية.

من الممكن أن يتضمن الجهاز أقطاب دخل/خرج أولية (لا تظهر في الشكل (3)) وبواسطة خلايا *SRAM* خاصة فإن الوصلات الداخلية يمكن أن تبرمج كمدخل أساسية للجهاز والتي قد تكون موصولة إلى مدخل واحد أو أكثر من اللوحات المنطقية القابلة للبرمجة. إن خرج أي لوحة منطقية يمكن أن يُستخدم لقيادة مداخل لوحات منطقية أخرى أو لقيادة المخارج الأساسية للجهاز أو الإثنيين معاً، والنتيجة النهائية كانت نجاح الـ *FPGA* بسد الثغرة بين الـ *PLD* و *ASIC*، فمن جهة تملك هذه الشريحة حسنات الـ *PLD* الذي يمتاز بقابلية التعديل بأداء عالي، ومن جهة أخرى تملك حسنات الـ *ASIC* في إمكانية انجاز وظائف كبيرة ومعقدة [15].



الشكل (3) مسقط رأسي للبنية العامة للـ *FPGA* مع التبسيط

إن الإمكانيات التي توفرها شريحة مصفوفة البوابات المنطقية القابلة للبرمجة جعلت الأنظار تتوجه إليها وشجعت المصممين على الاعتماد عليها في بناء خوارزميات أنظمة القيادة الكهربائية. يهدف هذا العمل إلى تصميم منظومة قيادة رقمية لمحرك تيار مستمر قادرة على تأمين عمل المحرك بشكل مناسب ضمن مجال سرعة واسع وعند أحمال مختلفة، بالإضافة إلى تحليل استقرار المنظومة واستجابتها، ومن ثم بنائها ضمن شريحة مصفوفة البوابات المنطقية القابلة للبرمجة *FPGA*. لتوضيح خطوات العمل المنجزة خلال فترة البحث، فقد تم عرضها ضمن خمسة فصول، وفيما يلي شرح موجز عن محتويات كل فصل:

- الفصل الأول: يتطرق هذا الفصل إلى مبدأ عمل محركات التيار المستمر وبنيتها، بالإضافة إلى طرق التحكم بسرعة محرك التيار المستمر، وبما أن هذا البحث يهدف إلى قيادة المحرك رقمياً عند سرعات أقل من السرعة الاسمية، فقد تم اختيار طريقة التحكم بسرعة المحرك بواسطة تغيير جهد المتحرض باستخدام مبدلة مناسبة. بعد ذلك تم تقديم شرح موجز لأنواع المبدلات وطرق عملها. أخيراً، تم استعراض كيفية نمذجة محرك التيار المستمر ذي التهيج المستقل مع أخذ تأثير رد فعل المتحرض بعين الاعتبار.

- الفصل الثاني: يستعرض هذا الفصل ميزات منظمات *PID* وكيفية تصميمها وطرق معايرتها، كما تم التطرق إلى دراسة كيفية تصميم منظومتي تحكم بسرعة محرك التيار المستمر ذي التهييج المستقل باستخدام منظمات *PID*، ونظراً إلى أن البحث يركز على بناء منظومة التحكم ضمن شريحة *FPGA*، فقد تم توضيح كيفية تحويل المنظومة المدروسة إلى كل من النموذجين الرقمي والواحد.
- الفصل الثالث: بشكل مشابه للفصل الثاني فقد تم التطرق إلى خواص خوارزمية النمط الانزلاقي وكيفية تصميمها، كما تم التركيز على طريقة تصميم منظومتي تحكم بسرعة محرك التيار المستمر ذي التهييج المستقل باستخدام هذه الخوارزمية، ونظراً إلى أن البحث يركز على بناء منظومة التحكم ضمن شريحة *FPGA*، فقد تم أيضاً استعراض كيفية تحويل المنظومة المدروسة إلى كل من النموذجين الرقمي والواحد. أخيراً، أجريت مقارنة بين منظومتي التحكم المبينتين وفق خوارزمية منظمات *PID* وخوارزمية النمط الانزلاقي *SMC* بهدف التعرف على المنظومة ذات الأداء الأمثل.
- الفصل الرابع: في هذا الفصل تم التحقق من استقرار نظام التحكم الأمثل عند تغيير المعاملات الداخلية للمحرك، كمقاومة المتحرض وعزم العطالة، وذلك بالاعتماد على طريقة توضع أقطاب الحلقة المغلقة للنظام في المستوى العقدي.
- الفصل الخامس: إن الغاية من هذا الفصل هو تصميم وبناء نظامي قيادة رقميين ضمن شريحة *FPGA* بهدف تنظيم التيار (العزم) في محرك تيار مستمر ذي تهيج مستقل وذلك وفق طريقتي منظمات *PID* وخوارزمية النمط الانزلاقي *SMC*.

## الفصل الأول

### محركات التيار المستمر، بنيتها، أنواعها، مبدلاتها، نمذجتها

#### 1.1. مقدمة

على الرغم من تزايد استخدام المحركات التحريضية والمتوافقة في شتى التطبيقات العملية والصناعية، إلا أن محركات التيار المستمر لا تزال تلعب دوراً فاعلاً في العديد من التطبيقات، وذلك للأسباب التالية:

- سهولة قيادتها مقارنة مع المحركات التحريضية التي تكون فيها العلاقة بين التدفق المغناطيسي والعزم الكهرومغناطيسي غير خطية.

- إن أنظمة القدرة التي تعمل بالتيار المستمر لا تزال شائعة في السيارات والطائرات والقطارات، وبالتالي من البديهي استخدام محركات التيار المستمر فيها.

- الانتشار الواسع لاستخدام محركات التيار المستمر في مجال هندسة الروبوت.

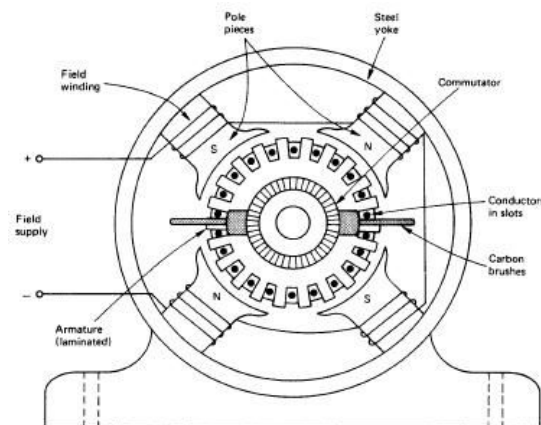
وعلى الرغم من المحاسن المذكورة لمحركات التيار المستمر، فإن لها مساوئاً لا بد من ذكرها، وتتمثل في ارتفاع ثمنها، وحاجتها إلى صيانة دورية نظراً لوجود المبدل والفحمت.

#### 2.1. مبدأ عمل آلات التيار المستمر وبنيتها

تعتمد آلة التيار المستمر في عملها على دوران ملف يُسمى ملف المتحرض *Armature Winding* في ساحة مغناطيسية ناتجة عن ملف ثابت يُدعى ملف التهيج *Field Winding*. يتألف ملف المتحرض عادةً من عدد من الوشائع المتماثلة موضوعة داخل أخاديد موزعة بانتظام على السطح الخارجي للدوار المصنوع من صفائح فولاذية معزولة، وتتصل الوشائع فيما بينها عبر المبدل *Commutator* الذي يتكون من عدد من القضبان الناقلة (النحاسية) المعزولة عن بعضها بعضاً. يدور المبدل مع المتحرض حيث يعمل على تقويم الجهد والتيار في المتحرض.

بالإضافة إلى الأقطاب التي تحمل وُشائع التهيج والمنتجة للفيض الرئيسي داخل الآلة، تُستخدم أقطاب التبديل لتقدم قوة محرك مغناطيسية في اتجاه معاكس للقوة المحركة المغناطيسية الناتجة عن المتحرض، وذلك بهدف الوصول إلى تبديل بدون ومضات على المسفرات *Brushes* التي تكون على تماس مع المبدل.

لا تُستخدم أقطاب التبديل عادةً في المحركات الصغيرة التي تكون استطاعتها أقل من حصان واحد وذلك لأن مقاومة وُشائع المتحرض تكون عالية بقدر كافٍ لمنع الومضات الزائدة على المسفرات. يبين الشكل (1-1) الأجزاء الرئيسية المكونة لمحرك التيار المستمر [3].



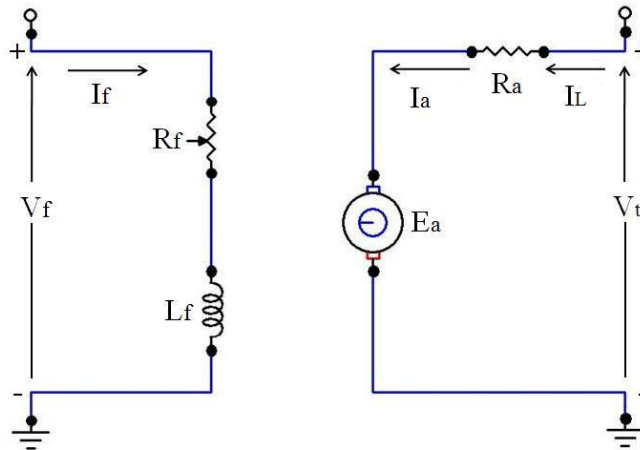
الشكل (1-1): الأجزاء الرئيسية المكونة لمحرك التيار المستمر

### 3.1. أنواع محركات التيار المستمر

يمكن تصنيف محركات التيار المستمر حسب طريقة توليد الفيض المغناطيسي المفيد في الثغرة الهوائية أو بمعنى آخر حسب طريقة ربط دائرة التهيج بدارة المتحرض إلى الأنواع التالية [3]:

#### أ- محركات التيار المستمر ذات التهيج المستقل

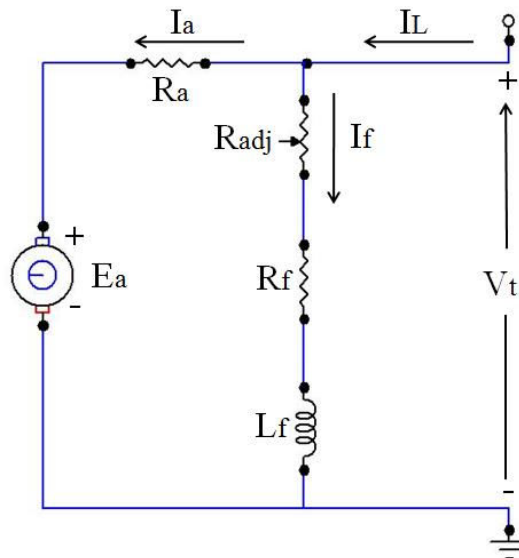
إن محرك التيار المستمر ذي التهيج المستقل هو محرك يتم تهيجه من منبع مستقل للجهد، يمتاز هذا المحرك بأن الفيض الرئيسي المتولد من ملف التهيج مستقل تماماً عن تيار المتحرض (تيار الحموله). يبين الشكل (2-1) الدارة الكهربائية المكافئة لمحرك التيار المستمر ذي التهيج المستقل.



الشكل (2-1): الدارة الكهربائية المكافئة لمحرك التيار المستمر ذي التهيج المستقل

#### ب- محركات التيار المستمر التفرعية

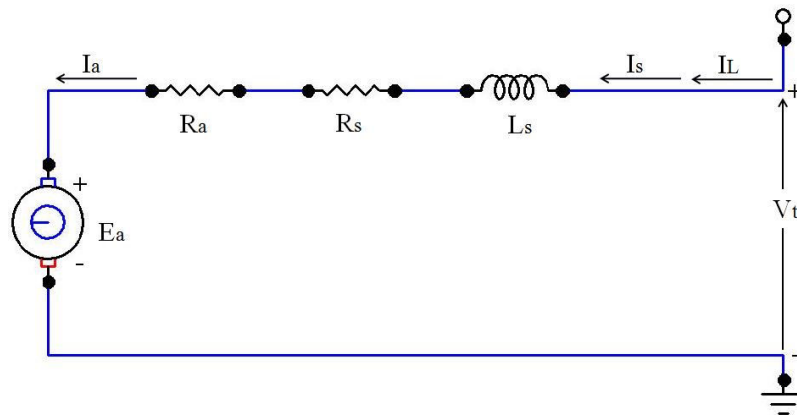
تكون دائرة التهيج في محرك التيار المستمر التفرعي موصولة على التفرع مع أقطاب المتحرض بحيث تُغذى من نفس منبع التغذية. عندما يكون جهد التغذية للمحرك ثابتاً فإن أداء محرك التيار المستمر التفرعي وأداء المحرك ذي التهيج المستقل يكونا متطابقين. يبين الشكل (3-1) الدارة الكهربائية المكافئة لمحرك التيار المستمر التفرعي.



الشكل (3-1): الدارة الكهربائية المكافئة لمحرك التيار المستمر التفرعي

#### ج- محركات التيار المستمر التسلسلية

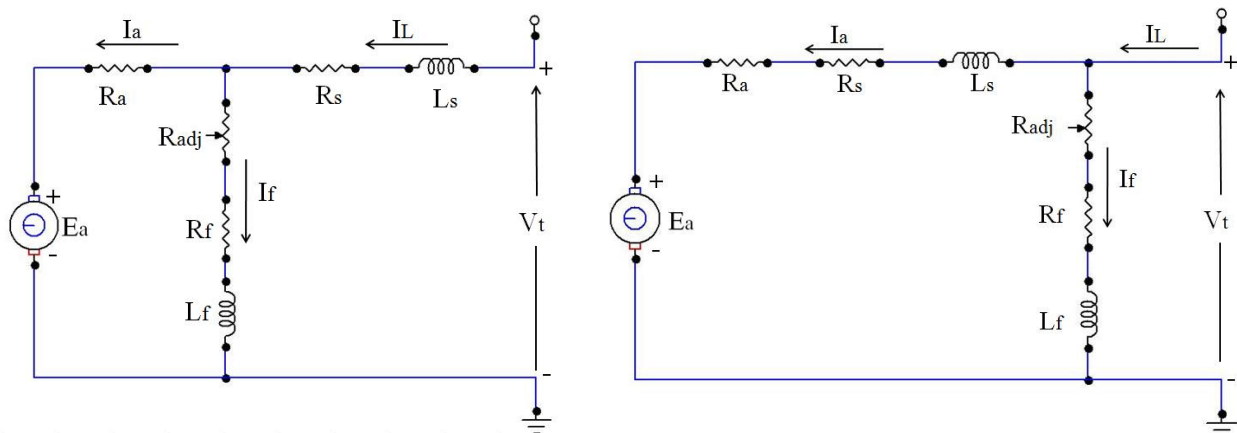
إن محرك التيار المستمر التسلسلي هو محرك دائرة تهيجته موصولة على التسلسل مع دائرة المتحرض بحيث يغذيان على التسلسل من نفس منبع التغذية. يبين الشكل (4-1) الدارة الكهربائية المكافئة لمحرك التيار المستمر التسلسلي.



الشكل (4-1): الدارة الكهربائية المكافئة لمحرك التيار المستمر التسلسلي

#### د- محركات التيار المستمر المختلطة

إن محرك التيار المستمر المختلط هو محرك له تهيج تفرعي وتهيج تسلسلي. يُسمى المحرك المختلط محركاً جمعياً إذا وافق اتجاه الحقل التسلسلي الحقل التفرعي، ويسمى محركاً طرْحياً إذا عاكس اتجاه الحقل التسلسلي الحقل التفرعي. يبين الشكل (5-1) الدارة الكهربائية المكافئة لمحرك التيار المستمر المختلط ذي التفرعة الطويلة والتفرعة القصيرة.



ب- توصيلة تفرعة قصيرة

أ- توصيلة تفرعة طويلة

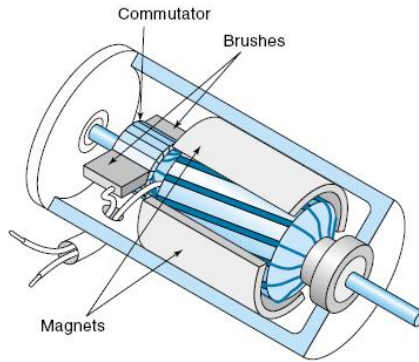
الشكل (5-1): الدارة الكهربائية المكافئة لمحرك التيار المستمر المختلط

بالإضافة إلى أنواع محركات التيار المستمر المذكورة آنفاً، ظهرت أنواع أخرى من محركات التيار المستمر، أهمها:

#### محركات التيار المستمر ذات المغناطيس الدائم (Permanent - Magnet DC Motors)

إن محرك التيار المستمر ذي المغناطيس الدائم هو محرك تيار مستمر ذو تهيج مستقل، استبدلت فيه دائرة التهيج بمغناطيس دائم، كما يظهر في الشكل (6-1). انطلاقاً من الحقل المغناطيسي المستقر الناتج عن المغناطيس الدائم، فإن هذا المحرك يمتاز بمنحني عزم-سرعة خطي [4].

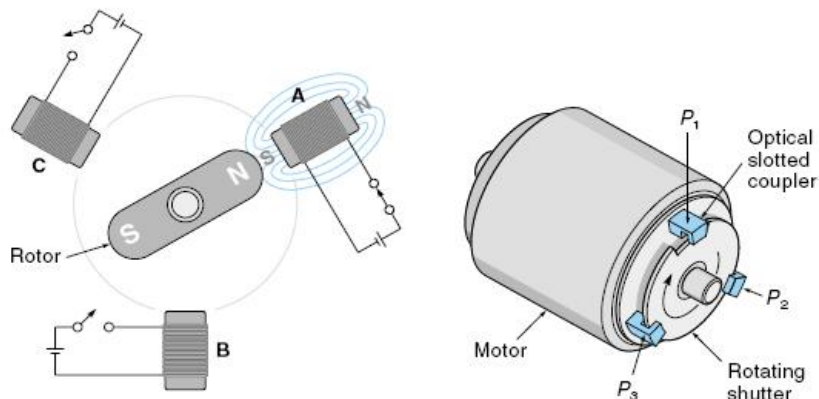




الشكل (6-1): البنية العامة لمحرك التيار المستمر ذي المغناطيس الدائمة

#### - محركات تيار مستمر بدون مسفرات (Brushless DC Motors)

يبين الشكل (7-1) محرك تيار مستمر بدون مسفرات ثلاثي الطور (ذا ثلاثة ملفات للمتحرض متوضعة على الثابت). يستخدم في هذا المحرك مغناطيس دائمة بدلاً من ملفات التهيج وتكون متوضعة على الدوار مما يلغي الحاجة إلى وجود المسفرات. يتم تأمين دوران هذا المحرك بتزويد ملفات المتحرض بالتيار اللازم بشكل متتابع، وذلك عن طريق التحكم بوصل دائرة التغذية بملفات المتحرض وفصلها عنها بواسطة حساسات متوضعة داخل المحرك. هناك عدة أنواع من الحساسات المستخدمة في هذه المحركات، أهمها: حساسات الرابطة الضوئية (Photo Coupler Sensors)، وحساسات أثر هول (Hall-effect Sensors) [4].



الشكل (7-1): البنية العامة لمحرك التيار المستمر بدون مسفرات

#### 4.1. طرق التحكم بسرعة محرك التيار المستمر

تُعطى علاقة السرعة في محرك التيار المستمر ذي التهيج المستقل بالمعادلة التالية:

$$\omega = \frac{V_a}{k \cdot \phi} - I_a \cdot \frac{R_a}{k \cdot \phi} \quad (1-1)$$

حيث:  $\omega$  : سرعة المحرك

$V_a$  : جهد المتحرض

$I_a$  : تيار المتحرض

$R_a$  : مقاومة المتحرض

$\phi$  : الفيض المغناطيسي في الشجرة الهوائية

$$k = \frac{P \cdot Z}{2 \cdot \pi \cdot a} \quad \text{ثابت الارتباط الكهرومغناطيسي}$$

$p$ : عدد الأقطاب

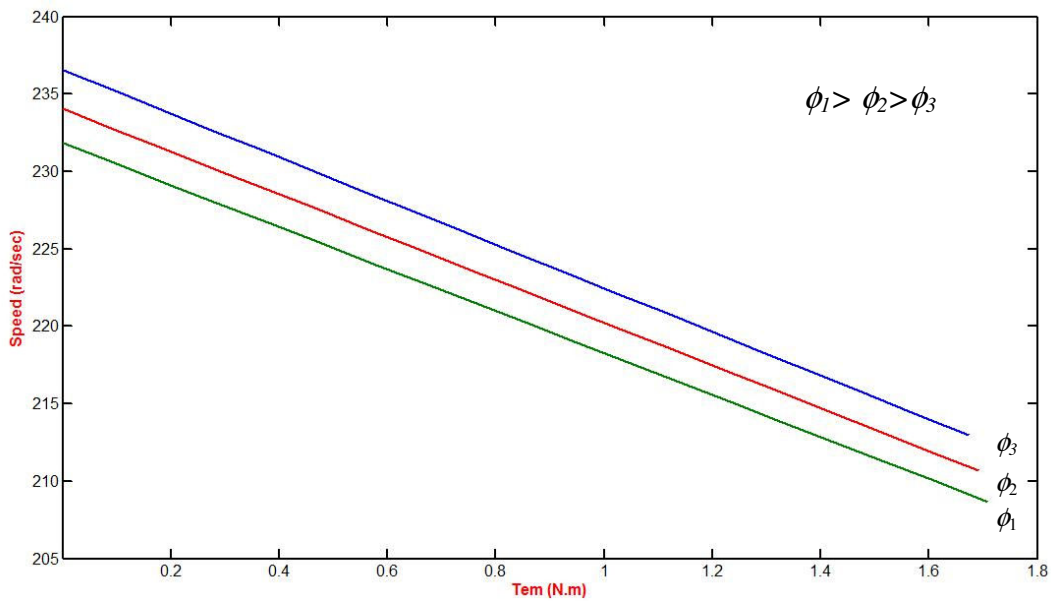
$z$ : عدد النواقل في المتحرض

$a$ : عدد مسارات التيارات المتوازية في ملف المتحرض.

نلاحظ من العلاقة (1-1) أنه يمكن التحكم بسرعة محرك التيار المستمر عن طريق تغيير إحدى البارامترات التالية [1]:

#### أ- تغيير التدفق المغناطيسي $\phi$

إن تغيير التدفق المغناطيسي يكون باتجاه واحد، وهو تخفيضه فقط، لأن زيادته تؤدي إلى إشباع الدارة المغناطيسية للمحرك، أما تخفيض التدفق فيؤدي إلى زيادة سرعة المحرك. يبين الشكل (1-8) منحنى العزم- السرعة عند قيم مختلفة للتدفق المغناطيسي.



الشكل (1-8): منحنى العزم- السرعة لمحرك التيار المستمر عند قيم مختلفة للتدفق المغناطيسي

مميزات هذه الطريقة:

- غير مكلفة نسبياً وبسيطة.
- مردود جيد لأن الضياعات في دارة التهيج صغيرة.
- تؤمن تحكم ناعم بالسرعة.

مساوئ هذه الطريقة:

- عدم القدرة على قيادة المحرك عند سرعة دوران تحت السرعة الاسمية، لأن ذلك سيتطلب عندئذ زيادة التدفق وبالتالي الانتقال للعمل في منطقة الإشباع المغناطيسي.
- عدم الاستقرار عند السرعات العالية بسبب رد فعل المتحرض.
- صعوبة التبديل وإمكانية ضرر المبدل عند السرعات العالية.

#### ب- تغيير مقاومة المتحرض $R_a$

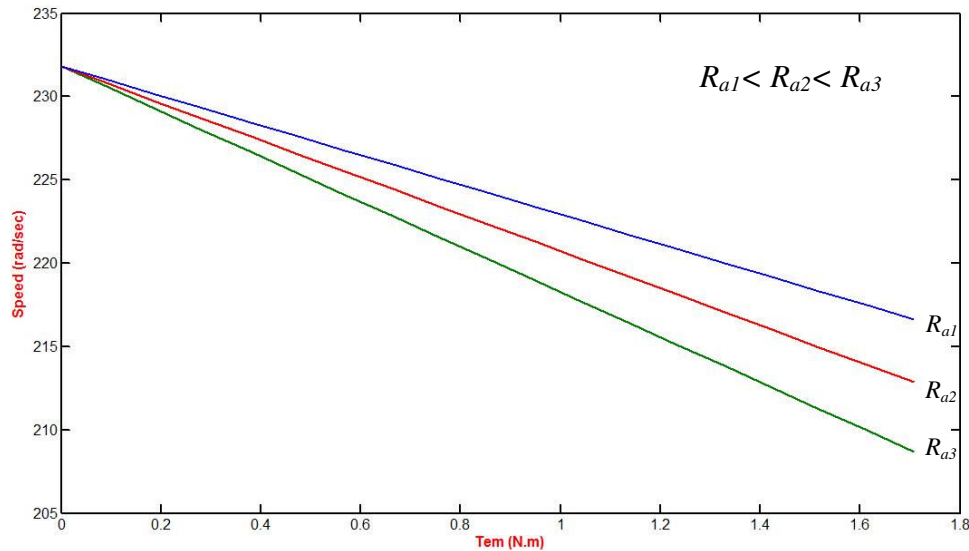
تعتمد هذه الطريقة على إضافة مقاومات إلى دارة المتحرض، إن زيادة مقاومة المتحرض تؤدي إلى انخفاض الجهد على طرفيه مما يسبب انخفاضاً في السرعة. يبين الشكل (1-9) منحنى العزم- السرعة عند قيم مختلفة لمقاومة المتحرض.

مميزات هذه الطريقة:

- القدرة على قيادة المحرك عند سرعات تقع تحت السرعة الاسمية.
- سهولة وبساطة التوصيل.
- إمكانية الحصول على مزايا مختلفة لإقلاع المحرك وكذلك للتحكم بسرعه.

مساوئ هذه الطريقة:

- الكلفة العالية نسبياً، نظراً للحاجة إلى مقاومات متغيرة ذات قيم مرتفعة قادرة على تصريف كميات كبيرة من الحرارة.
- تنظيم السرعة سيء عند العمل على فراغ لأن قيمة تيار المتحرض صغيرة وبالتالي هبوط الجهد على المقاومة صغير.
- مردود منخفض يتسبب في كلفة تشغيل عالية.
- صعوبة تنظيم السرعة بدون قفزات عند قيادة محركات ذات استطاعات كبيرة.



الشكل (9-1): منحنى العزم - السرعة لمحرك التيار المستمر عند قيم مختلفة لمقاومة المتحرض

#### ج - تغيير جهد المتحرض $V_a$

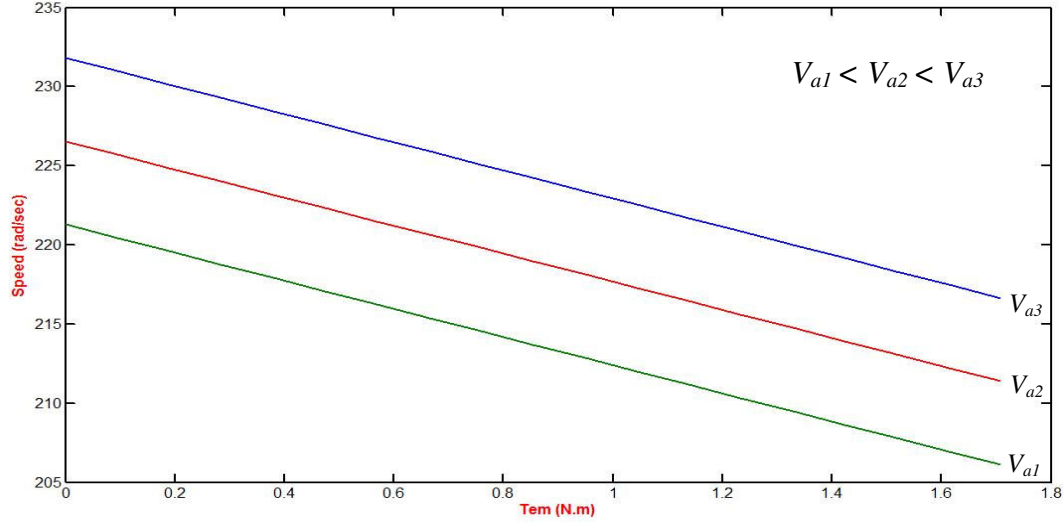
إن اتجاه تغيير جهد المتحرض وفق هذه الطريقة يكون فقط نحو تخفيض قيمته عن قيمة الجهد الاسمي، وذلك لأنه من غير المسموح زيادة جهد المتحرض عن قيمته الاسمية، وتعتبر هذه الطريقة الأكثر انتشاراً للتحكم بالسرعة. يبين الشكل (10-1) منحنى العزم - السرعة عند قيم مختلفة لجهد المتحرض.

مميزات هذه الطريقة:

- تأمين مردود وعزم وتنظيم جيد للسرعة.
- تحكم ناعم بالسرعة بدون قفزات.

مساوئ هذه الطريقة:

- عدم إمكانية العمل عند سرعة دوران أعلى من السرعة الاسمية.
- بما أن الغاية من هذا البحث هو التحكم رقمياً بسرعة محرك التيار المستمر، وبما أن الهدف هو قيادته عند سرعة أقل من السرعة الاسمية، لذلك سيتم تنظيم سرعة محرك التيار المستمر ذي التهيج المستقل وفق طريقة تغيير جهد المتحرض  $V_a$  باستخدام مبدلة مناسبة.



الشكل (10-1): منحني العزم - السرعة لمحرك التيار المستمر عند قيم مختلفة لجهد المتحرض

### 5.1. أنواع المبدلات

يمكن أن يعمل محرك التيار المستمر وفق نمطي عمل هما:

أ- التحريك (*Motoring*)      ب- الكبح (*Braking*)

وذلك في كلا اتجاهي الدوران الأمامي والعكسي.

تُستخدم المبدلات لتأمين عمل المحرك وفق النمطين المذكورين أيًا كان اتجاه الدوران، أي أنها تؤمن عمل المحرك ضمن أي ربع من الأرباع الأربعة الممثلة لمنحني ميزة خرج المحرك (منحني العزم - السرعة). تتغير اتجاهات التيارات والجهود وبالتالي تدفق الطاقة حسب نمط عمل المحرك واتجاه دورانه وفق مبدأ الأرباع الأربعة، كما هو موضح بالشكل (11-1).

- الربع الأول (التحريك الأمامي)

في هذا الربع يدور المحرك وفق الاتجاه الأمامي، وتكون المقادير الكهربائية ( $V_a, I_a, E_a$ ) موجبة، وكذلك فإن اتجاه العزم والسرعة يكونان موجبين أيضاً، أما اتجاه تدفق الطاقة خلال الدارة فيكون من المنبع إلى المحرك  $V_a > E_a$ .

- الربع الثاني (الكبح الأمامي)

في هذا الربع يدور المحرك في الاتجاه الأمامي، ولكن لا بد من عكس اتجاه العزم، وبالتالي عكس اتجاه التيار. يتحقق ذلك بجعل اتجاه تدفق الطاقة خلال الدارة من المحرك إلى المنبع أي  $E_a > V_a$ . أما اتجاه المقادير الكهربائية والميكانيكية في هذا الربع فيكون كالتالي:

$$\left. \begin{aligned} (V_a, \Omega E_a) &> 0 \\ (I_a, T_{em}) &< 0 \end{aligned} \right\}$$

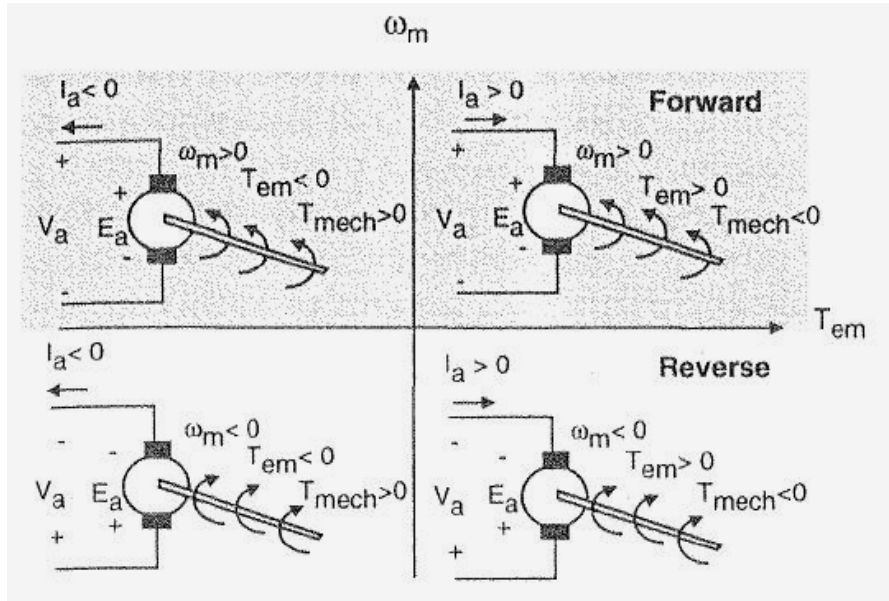
- الربع الثالث (التحريك العكسي)

في هذا الربع تكون المقادير الكهربائية ( $I_a, V_a, E_a$ ) سالبة، ويكون اتجاه العزم والسرعة سالباً أيضاً، وللحفاظ

على تدفق الطاقة خلال الدارة من المنبع إلى المحرك يجب أن يتحقق الشرط  $|V_a| > |E_a|$ .  
 - الربع الرابع (الكبح العكسي)

يكون اتجاه دوران المحرك في هذا الربع وفق الاتجاه العكسي، ولكبحه يجب عكس اتجاه العزم بحيث يصبح موجباً، ولتحقيق ذلك لابد من عكس اتجاه التيار، أي أن تدفق الطاقة يصبح من المحرك إلى المنبع  $|V_a| < |E_a|$ ، أما اتجاه المقادير الكهربائية والميكانيكية في هذا الربع فيكون كالتالي:

$$\left. \begin{aligned} (V_a, \Omega, E_a) &< 0 \\ (I_a, T_{em}) &> 0 \end{aligned} \right\}$$



الشكل (1-11): منحنى العزم - السرعة لمحرك التيار المستمر وفق مبدأ الأرباع الأربعة

تُقسم المبدلات إلى نوعين رئيسيين [2]:

أ- المبدلات الثايرستورية.

ب- المبدلات الترانزستورية (المقطعات Choppers).

### 1.5.1. المبدلات الثايرستورية

المبدلات الثايرستورية عبارة عن دارات تقويم متحكم بها، تقوم بتحويل الجهد المتناوب إلى جهد مستمر متحكم به عن طريق تغيير زوايا قذح الثايرستورات المستخدمة. عند وصل محرك تيار مستمر على خرج مبدلة ثايرستورية فإننا نستطيع التحكم بسرعه عن طريق ضبط جهد خرج المبدلة.

تُقسم المبدلات الثايرستورية حسب عدد الأطوار إلى [5]:

أ- مبدلات ثايرستورية أحادية الطور.

ب- مبدلات ثايرستورية ثلاثية الطور.

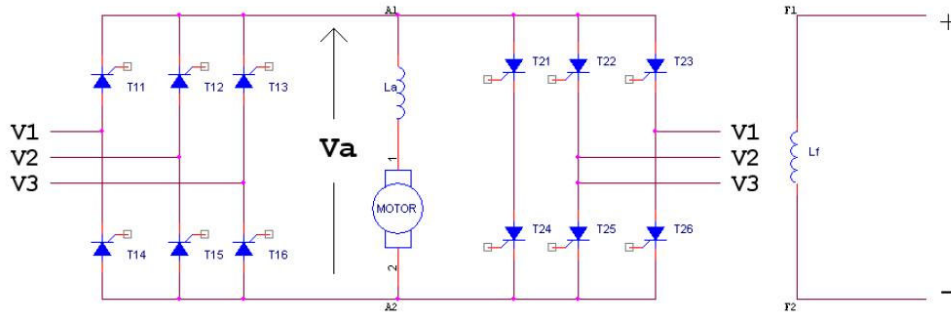
تمتاز المبدلات الثايرستورية ثلاثية الطور عن الأحادية بما يلي:

1- تُستخدم في التطبيقات التي تتطلب استطاعات عالية.

2- تُعطي على خرجها إشارة جهد مستمر أكثر نعومة.

ومن الجدير بالذكر أن الاستطاعة المصروفة عند استخدام المبدلات الثايرستورية ثلاثية الطور أكبر من الاستطاعة المصروفة عند استخدام المبدلات الأحادية الطور.

يبين الشكل (12-1) مبدلة ثايرستورية مزدوجة ثلاثية الطور، تتألف هذه المبدلة من مبدلتين ثلاثيتي الطور جسريتين موصولتين على التوازي والتضاد، بحيث إذا طبقت نبضات القذح على المبدلة الأولى وحجبت عن الثانية فإن ذلك يؤدي إلى دوران المحرك بالاتجاه الأمامي، بالمقابل لتدوير المحرك بالاتجاه العكسي تحجب نبضات القذح عن المبدلة الأولى وتطبق على المبدلة الثانية.



الشكل (12-1): مبدلة ثايرستورية مزدوجة ثلاثية الطور

بالنتيجة، فإن هذه المبدلة المزدوجة تتيح التحكم بسرعة محرك التيار المستمر بالاتجاهين الأمامي والعكسي، حيث تؤمن كل مبدلة من المبدلتين المكونتين لها عمل المحرك بربعين من الأرباع الأربعة الممثلة لمنحني ميزة خرج المحرك. تُعطى القيمة المتوسطة لجهد خرج المبدلة بالعلاقة التالية:

$$V_a = \frac{3\sqrt{3}}{\pi} \cdot \cos \alpha \quad (1-2)$$

#### تشكيل نبضات القذح:

يُعطى جهد خرج المبدلة بشكل عام بالعلاقة التالية:

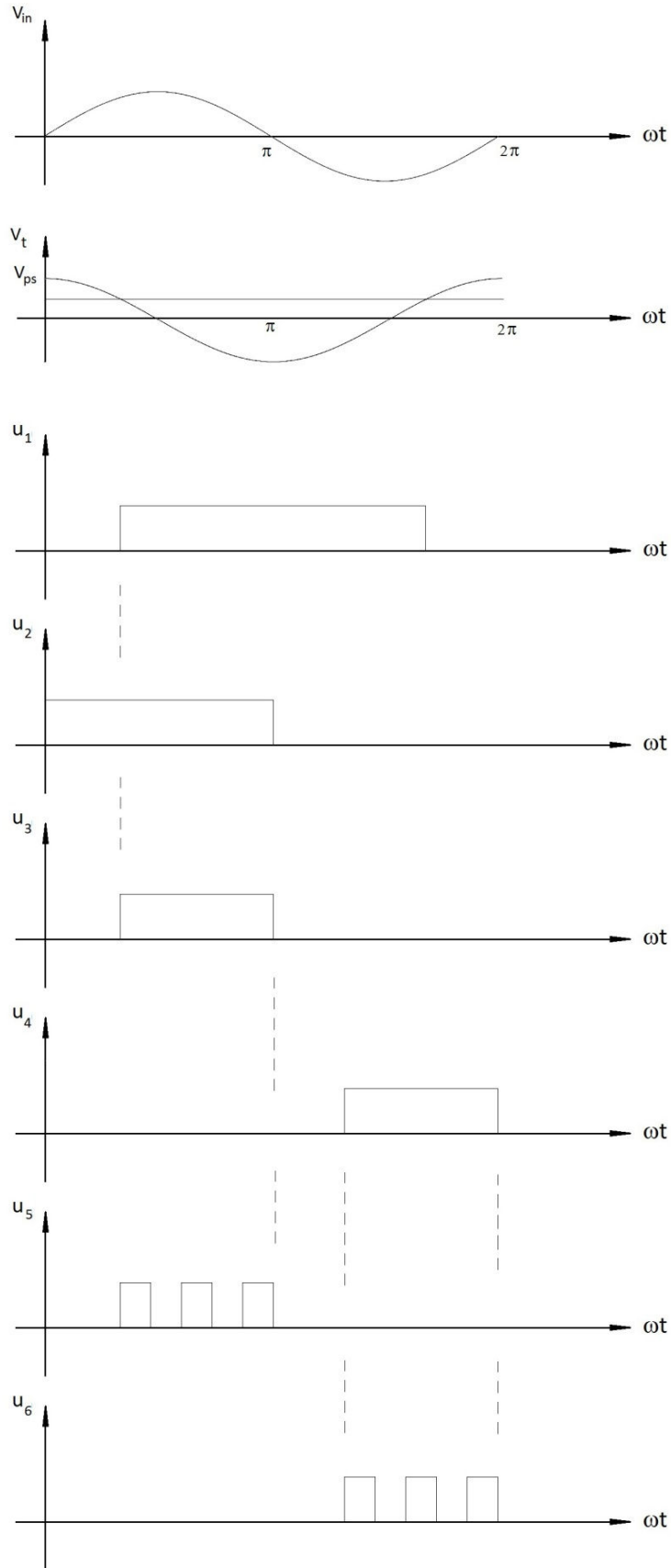
$$V_a = k \cdot \cos \alpha \quad (1-3)$$

فيما يلي شرح موجز لطريقة تشكيل نبضات قذح الثايرستورات اعتماداً على المنحنيات المبينة بالشكل (13-1). للحصول على نبضات القذح تُقارن إشارة جهد مستمر مع إشارة التجيب ( $\cos$ ) والتي هي عبارة عن إشارة منبع التغذية الجيبي ( $\sin$ ) مزاحة بمقدار ( $90^\circ$ ) (المنحني  $V_i$ )، بنتيجة هذه المقارنة تتشكل نبضة عريضة تحدد بدايتها بداية قذح الثايرستور ( $U_1$  المنحني)، ولكن هذه النبضة تمتد إلى النوبة السالبة لإشارة التجيب ( $\cos$ )، وللتخلص من هذه المشكلة تقارن إشارة الدخل الجيبي ( $\sin$ ) مع الصفر عندئذ تتكون نبضة مربعة قيمتها واحد عند النوبة الموجبة لإشارة الدخل وصفر عند النوبة السالبة للإشارة ( $U_2$  المنحني).

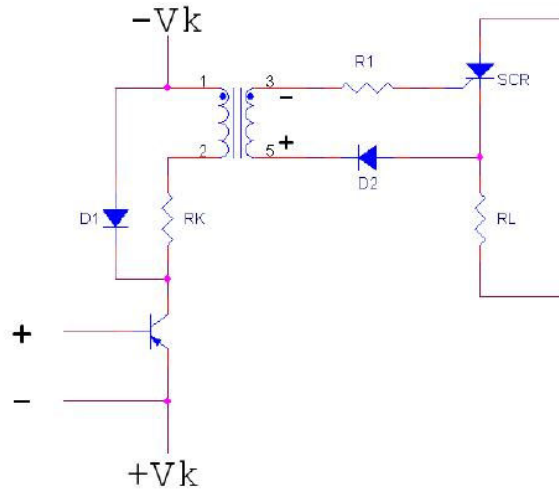
بوضع الإشارتين  $U_1$  و  $U_2$  كدخل لبوابة AND عندئذ يتولد على خرجها نبضة بدايتها هي بداية النبضة  $U_1$  وتنتهي بنهاية النبضة  $U_2$ . تستخدم النبضة الناتجة  $U_3$  لقذح الثايرستور عند النوبة الموجبة لإشارة الدخل، أما لقذح الثايرستور عند النوبة السالبة فيتم إزاحة إشارة الجهد  $U_3$  بمقدار ( $180^\circ$ ) عندئذ تتشكل النبضات الممثلة بالمنحني  $U_4$ . لتطبيق النبضات  $U_3$  و  $U_4$  على بوابات الثايرستورات المشكلة للمبدلة تستخدم دائرة الملازمة المبينة في الشكل (14-1). إن الهدف من هذه الدارة هو:

أ- تأمين عزل مغناطيسي بين دائرة القدرة ودائرة التحكم.

ب- تأمين التيار الكافي لقذح بوابة الثايرستور.



الشكل (13-1): طريقة تشكيل نبضات قذح الثايرستورات

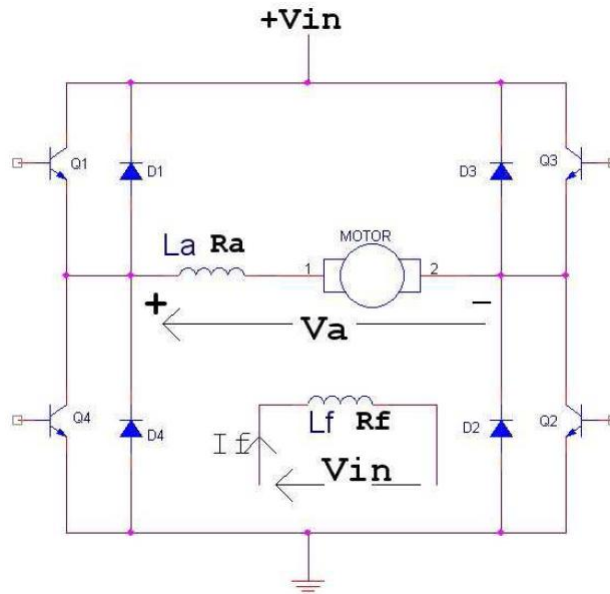


الشكل (14-1): دائرة الملاحة المستخدمة لتطبيق نبضات القذح على بوابات الثايرستورات

عند تطبيق نبضات القذح  $U_3$  على قاعدة الترانزستور، يمر تيار في أولي المحولة، مما يؤدي إلى توليد تيار في ثانوي المحولة، وهذا التيار بدوره يؤمن قذح بوابة الثايرستور، ونظراً لكون نبضات القذح  $U_3$  عريضة نسبياً فإن تطبيقها على الدارة سيؤدي إلى حدوث حالة إشباع في المحولة، مما يؤدي إلى ارتفاع درجة حرارتها، لذلك يتم تقطيع كل نبضة من النبضات الناتجة في المنحنيين  $U_3$  و  $U_4$  إلى قطار من النبضات المربعة ذي تردد عالٍ وتطبيقها على قاعدة الترانزستور (المنحنيين  $U_5$  و  $U_6$ ).

**ملاحظة:** يمكن الحصول على قطار النبضات باستخدام دائرة *Astable* اعتماداً على شريحة 555.

### 2.5.1. المبدلات الترانزستورية (المقطعات *Choppers*)



الشكل (15-1): دائرة مبدلة ترانزستورية جسرية تؤمن عمل محرك التيار المستمر في الأرباع الأربعة

تتغذى المبدلات الترانزستورية من منبع جهد مستمر، وعن طريق فصل ووصل تيار المحولة يتولد جهد مستمر منظم على خرجها، أي أن المبدلات الترانزستورية تحول الجهد المستمر الثابت إلى جهد مستمر متغير. بالنسبة لمحرك التيار المستمر فإن المقطعات تتحكم بجهد المتحرض  $V_a$  عند تطبيق جهد مستمر ثابت على دخلها. تتميز المقطعات بقابلية الكبح مع إعادة القدرة إلى الشبكة (*Regenerating Braking*)، يمكن استثمار هذه



الميزة في العديد من التطبيقات [5].

يبين الشكل (1-15) دائرة مبدلة ترانزستورية تؤمن عمل المحرك ضمن الأرباع الأربعة. تتألف هذه الدارة من أربع ترانزستورات من نوع  $nnp$  مربوطة بشكل جسري ( $H$ )، وأربع ديودات لتأمين مرور التيار في حالات فصل الترانزستورات.

يمكن تشغيل هذه الدارة وفق إحدى الطريقتين التاليتين:

#### الطريقة الأولى:

تعتمد هذه الطريقة على تطبيق نبضات القرح على ترانزستورين فقط وحجبها عن الترانزستورين الآخرين وذلك حسب اتجاه دوران المحرك.

بفرض أن الترانزستورين ( $Q_1, Q_2$ ) في حالة  $ON$  (خلال الفترة  $T_{ON}$ )، فإن الجهد المطبق على طرفي المحرك يعطى بالعلاقة:

$$V_{\alpha} = \alpha V_{in} ; \quad \alpha = \frac{T_{ON}}{T} \quad T = T_{ON} + T_{OFF} \quad (1-4)$$

ويمر تيار المتحرض  $I_a$  وفق التسلسل التالي:

$$V_{in}^{+} \rightarrow Q_1 \rightarrow Motor \rightarrow Q_2 \rightarrow V_{in}^{-}$$

مما يؤدي إلى دوران المحرك بالاتجاه الأمامي.

عندما يكون الترانزستورين ( $Q_1, Q_2$ ) في حالة  $OFF$  (خلال الفترة  $T_{OFF}$ ) فإن التيار المخزن في محارضة الدارة خلال الفترة السابقة ( $T_{ON}$ ) سيتم تفريغه عبر الدارة التالية:

$$Motor \rightarrow D_3 \rightarrow V_{in} \rightarrow D_4 \rightarrow Motor$$

يستمر تفريغ التيار عبر هذه الدارة حتى يتم قرح الترانزستورين ( $Q_1, Q_2$ ) في الدور التالي. تُستخدم هذه الدارة للتحكم بسرعة واتجاه دوران محرك التيار المستمر، حيث يتم التحكم بالسرعة بواسطة تغيير قيمة دورة العمل  $\alpha$  (تغيير فترة الوصل  $T_{ON}$  وفترة الفصل  $T_{OFF}$  للترانزستورات)، ولعكس اتجاه الدوران يُستبدل الترانزستورين اللذين تطبق عليهما نبضات القرح بالترانزستورين الآخرين، أي أن:

أ- المحرك يدور بالاتجاه الأمامي، عند تطبيق نبضات القرح على الترانزستورين ( $Q_1, Q_2$ ) فقط.

ب- المحرك يدور بالاتجاه العكسي، عند تطبيق نبضات القرح على الترانزستورين ( $Q_3, Q_4$ ) فقط.

#### الطريقة الثانية:

تعتمد هذه الطريقة على تطبيق نبضات القرح على الترانزستورات الأربعة معاً، وذلك وفق التسلسل التالي: يتم قرح الترانزستورين ( $Q_1, Q_2$ ) خلال الفترة  $T_{ON}$ ، ويتم قرح الترانزستورين ( $Q_3, Q_4$ ) خلال الفترة  $T_{OFF}$  (فترة الفصل للترانزستورين  $Q_1, Q_2$  هي نفسها فترة الوصل للترانزستورين  $Q_3, Q_4$ ). أي أن دور نبضات القرح المطبقة  $T$  يحقق العلاقة:

$$T = T_{ON} + T_{OFF} \quad (1-5)$$

عند قرح الترانزستورين ( $Q_1, Q_2$ )، فإن الجهد المطبق على طرفي المحرك يعطى بالعلاقة:

$$V_a = V_{in} \quad (1-6)$$

ويمر تيار المتحرض وفق الدارة التالية:

$$V_{in}^{+} \rightarrow Q_1 \rightarrow Motor \rightarrow Q_2 \rightarrow V_{in}^{-}$$

أما عند قرح الترانزستورين ( $Q_3, Q_4$ )، فإن الجهد المطبق على طرفي المحرك يعطى بالعلاقة التالية:

$$V_a = -V_{in} \quad (1-7)$$

ويمر تيار المتحرض وفق الدارة التالية:

$V_{in}^+ \rightarrow Q_3 \rightarrow Motor \rightarrow Q_4 \rightarrow V_{in}^-$   
يُستنتج مما سبق أن اتجاه دوران المحرك يتحدد حسب القيمة المتوسطة لجهد المتحرض  $V_a$  وفق العلاقة التالية:

$$V_a = \frac{1}{T} \left[ \int_0^{T_{ON}} V_{in} \cdot dt + \int_{T_{ON}}^T -V_{in} \cdot dt \right] \quad (1-8)$$

بعد الاصلاح فإن العلاقة التي تربط بين  $V_a$  و  $T_{ON}$  تعطى بالمعادلة:

$$V_a = \frac{V_{in}}{T} [2 \cdot T_{ON} - T] \quad (1-9)$$

بفرض أن دورة عمل الترانزستورين ( $Q_1, Q_2$ ) هي  $\alpha$  وتعطى بالعلاقة:

$$\alpha = \frac{T_{ON}}{T} \quad (1-10)$$

وبفرض أن دورة عمل الترانزستورين ( $Q_3, Q_4$ ) هي  $\alpha'$  وتعطى بالعلاقة:

$$\alpha' = \frac{T_{OFF}}{T} \quad (1-11)$$

أي أن:

$$\alpha + \alpha' = 1 \quad (1-12)$$

بالنتيجة فإن الشكل النهائي لعلاقة القيمة المتوسطة لجهد المتحرض  $V_a$  يُعطى بالمعادلة:

$$V_a = V_{in} [2\alpha - 1] \quad (1-13)$$

اعتماداً على قيمة  $\alpha$ ، يمكن التمييز بين ثلاث حالات مختلفة لدوران محرك التيار المستمر:

1-  $\alpha > 0.5 \leftarrow V_a > 0$ : أي أن فترة عمل الترانزستورين ( $Q_1, Q_2$ ) أكبر من فترة عمل الترانزستورين ( $Q_3, Q_4$ )، وبالتالي فإن القيمة المتوسطة لجهد المتحرض موجبة، والمحرك يدور بالاتجاه الأمامي.

2-  $\alpha = 0.5 \leftarrow V_a = 0$ : أي أن فترة عمل الترانزستورين ( $Q_1, Q_2$ ) تساوي فترة عمل الترانزستورين ( $Q_3, Q_4$ )، وبالتالي فإن القيمة المتوسطة لجهد المتحرض تساوي الصفر، والمحرك لا يدور (متوقف).

3-  $\alpha < 0.5 \leftarrow V_a < 0$ : أي أن فترة عمل الترانزستورين ( $Q_1, Q_2$ ) أصغر من فترة عمل الترانزستورين ( $Q_3, Q_4$ )، وبالتالي فإن القيمة المتوسطة لجهد المتحرض سالبة، والمحرك يدور بالاتجاه العكسي.

**تشكيل نبضات وصل وفصل الترانزستورات:**

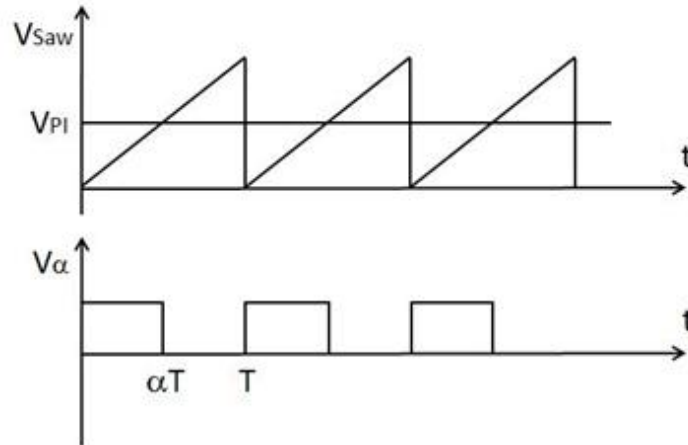
تعتمد طريقة تشكيل نبضات وصل وفصل الترانزستورات على المقارنة بين إشارة سن المنشار (أو إشارة مثالية) وجهد تحكم مستمر وذلك حسب طريقة تشغيل المبدلة الترانزستورية.

**الطريقة الأولى:**

تعتمد هذه الطريقة على تشغيل المبدلة باستخدام أربع ترانزستورات بحيث تطبق نبضات القذح على ترانزستورين وتحجب عن الترانزستورين الآخرين خلال دور إشارة سن المنشار.

ونظراً لأن اتجاه دوران المحرك في هذه الطريقة يعتمد على وضعية التشغيل لترانزستورين فقط، لذا فإنه عندما يكون مطال إشارة جهد التحكم المستمر بين الصفر وقيمة أعظمية موجبة (10V مثلاً)، فإن إشارة سن المنشار يجب أن تكون ذات مطال أعظمي مساوٍ لمطال إشارة الجهد المستمر (أي 10V). بمقارنة إشارة التحكم

المستمرة مع إشارة سن المنشار يتم تشكيل نبضات القدح المطلوب تطبيقها على الترانزستورين كما هو مبين بالشكل (16-1).



الشكل (16-1): طريقة تشكيل نبضات الوصل والفصل الواجب تطبيقها على ترانزستورين فقط خلال دور إشارة سن المنشار  
الطريقة الثانية:

تعتمد هذه الطريقة على تشغيل المبدلة باستخدام أربع ترانزستورات بحيث تقدح جميعها خلال دور كامل لإشارة سن المنشار، ونظراً لأن اتجاه دوران المحرك في هذه الطريقة يعتمد على القيمة المتوسطة لجهد المتحرض، فإنه يتم اختيار مطال إشارة جهد التحكم المستمر بحيث يتراوح بين قيمتين إحداهما سالبة والأخرى موجبة (مثلاً  $-10V$ ،  $10V$ )، بالمقابل فإن إشارة سن المنشار يجب أن تتراوح بين  $-10V$  و  $10V$ ، بمقارنة إشارة جهد التحكم المستمر وإشارة سن المنشار نحصل على نبضات قدح الترانزستورين ( $Q_1, Q_2$ ) خلال الدور  $\alpha$ ، وكذلك على نبضات قدح الترانزستورين ( $Q_3, Q_4$ ) خلال الدور  $\alpha'$ ، بحيث يتحقق الشرط المعطى بالعلاقة (12-1).

حسب قيمة إشارة جهد التحكم المستمر يمكن التمييز بين الحالات التالية:

$$\alpha=1, \alpha'=0 \Leftrightarrow V_{PI} = 10V \text{ أ-}$$

عندما يكون جهد التحكم المستمر  $V_{PI}$  أكبر ما يمكن فإن الترانزستورين ( $Q_1, Q_2$ ) يعملان فقط خلال كامل دور إشارة سن المنشار، ويكون الجهد المطبق على المتحرض أعظماً بحيث يدور المحرك بسرعه القصوى وفق الاتجاه الأمامي، يبين الشكل (17-1) عملية تشكيل نبضات القدح عند  $V_{PI} > 0V$ .

$$\alpha=0.5, \alpha'=0.5 \Leftrightarrow V_{PI} = 0V \text{ ب-}$$

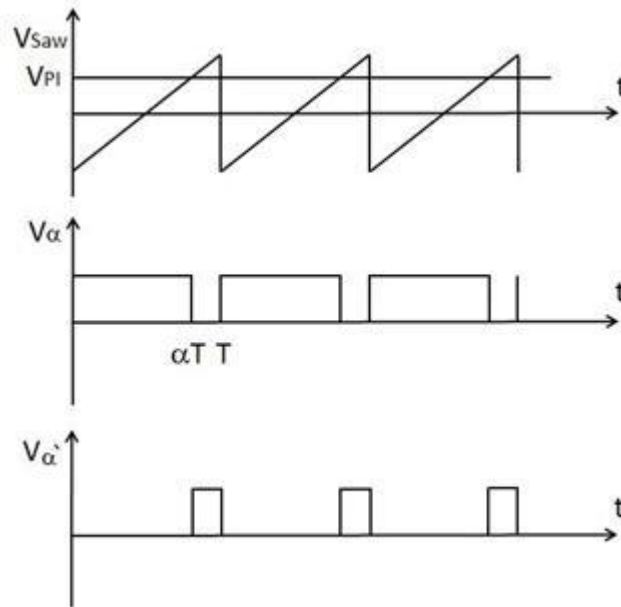
عندما يكون جهد التحكم المستمر  $V_{PI}$  مساوياً للصفر، فإن الترانزستورين ( $Q_1, Q_2$ ) يعملان خلال نصف دور إشارة سن المنشار، بينما يعمل الترانزستورين ( $Q_3, Q_4$ ) خلال نصف الدور الآخر، ويكون الجهد المطبق على مربطي المحرك مساوياً للصفر والمحرك لا يدور.

$$\alpha=0, \alpha'=1 \Leftrightarrow V_{PI} = -10V \text{ ج-}$$

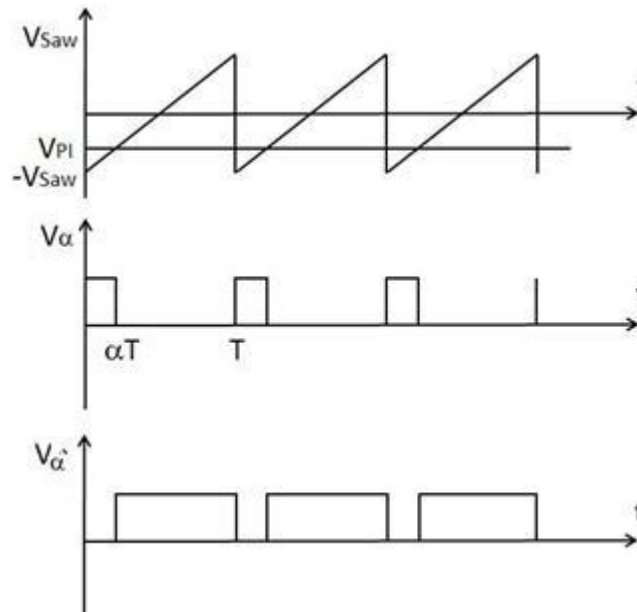
عندما يكون جهد التحكم المستمر  $V_{PI}$  أصغر ما يمكن فإن الترانزستورين ( $Q_3, Q_4$ ) يعملان فقط خلال كامل دور إشارة سن المنشار، ويكون الجهد المطبق على المتحرض أعظماً ولكن بإشارة سالبة، بحيث يدور المحرك بسرعه القصوى وفق الاتجاه العكسي. يوضح الشكل (18-1) عملية تشكيل نبضات القدح عند  $V_{PI} < 0V$ .

$$-10V < V_{PI} < 10V \text{ د-}$$

يتحدد اتجاه دوران المحرك وسرعه في هذه الحالة حسب مقدار وإشارة القيمة المتوسطة لجهد المتحرض  $V_a$ .



الشكل (17-1): طريقة تشكيل نبضات القذح الواجب تطبيقها على الترانزستورات الأربعة عند  $V_{PI} > 0V$



الشكل (18-1): طريقة تشكيل نبضات القذح الواجب تطبيقها على الترانزستورات الأربعة عند  $V_{PI} < 0V$

### 6.1. نمذجة محرك التيار المستمر ذو التهيج المستقل

#### 1.6.1. قياس بارامترات المحرك

إن المحرك المدروس هو محرك تيار مستمر ذي تهيج مستقل له المواصفات الاسمية التالية:

الاستطاعة الكهربائية  $P_{el} = 0.3 \text{ kW}$

جهد الدخل  $U_{in} = 220V$

تيار الحمل  $I_a = 1.8A$

سرعة الدوران الميكانيكية  $\Omega = 2000 \text{ rpm}$

قبل إيجاد النموذج الرياضي المكافئ للمحرك، لا بد من قياس بارامترات المحرك التالية:

أ- قياس مقاومة المتحرض  $R_a$

تعتمد طريقة قياس مقاومة المتحرض على تطبيق جهد مستمر منخفض على المتحرض، بحيث لا تتجاوز قيمة التيار المار في المتحرض التيار الاسمي، ومن ثم يتم حساب قيمة مقاومة المتحرض بتطبيق قانون أوم.

$$R_a = \frac{V_a}{I_a} \quad (1-14)$$

إن قيمة مقاومة المتحرض المقاسة هي  $R_a = 12.2\Omega$ .

ب- قياس تحريضية المتحرض  $L_a$

تعتمد طريقة قياس تحريضية المتحرض على تطبيق جهد متناوب ذي قيمة صغيرة على ملفات المتحرض (بحيث لا تتجاوز قيمة التيار المار فيها التيار الاسمي) ومن ثم قياس التيار المار في الملفات، بعد ذلك تُحسب تحريضية المتحرض من العلاقات التالية:

$$Z_a = V_a / I_a \quad (1-15)$$

$$Z_a = \sqrt{R_a^2 + X_{L_a}^2} \Rightarrow X_{L_a} = \sqrt{Z_a^2 - R_a^2} \quad (1-16)$$

$$L_a = \frac{X_{L_a}}{2 \cdot \pi \cdot f} \quad (1-17)$$

إن القيمة الناتجة لتحريضية المحرك المدروس هي  $L_a = 0.23H$ .

ج- قياس ثابت الاحتكاك اللزج  $F$

لإيجاد ثابت الاحتكاك اللزج  $F$ ، يتم تشغيل المحرك على فراغ عند الجهد الاسمي، ثم يقاس كل من تيار المتحرض  $I_a$ ، وسرعة الدوران  $\Omega$ . بعد ذلك تُحسب قيمة ثابت الاحتكاك اللزج من العلاقة:

$$F = \frac{E_a \cdot I_a}{\Omega^2} \quad (1-18)$$

إن قيمة ثابت الاحتكاك اللزج الناتجة هي  $F = 0.000574 Kg.m^2/sec$ .

د- قياس عزم عطالة المحرك  $J$ :

تعتمد طريقة قياس عزم عطالة المحرك على تشغيله بدون حمل عند الجهد الاسمي، بعد ذلك يوصل خرج حساس سرعة تشابهي (تاكومتر) مربوط مع المحرك إلى راسم إشارة، ثم تفصل التغذية عن المحرك. تُخزن شكل استجابة السرعة الظاهرة على راسم الإشارة. من منحنى استجابة السرعة يتم إيجاد قيمة  $\tau_{mech}$  المقابلة لـ 36.8% من سرعة الدوران الاسمية، وبعد ذلك تُحسب قيمة عزم العطالة من العلاقة التالية:

$$J = \tau_{mech} \cdot F \quad (1-19)$$

إن قيمة عزم عطالة المحرك الناتجة هي  $J = 0.0086 kg.m^2$ .

هـ- قياس  $k\phi$ :

يمكن اعتبار قيمة  $k\phi$  ثابتة عند جهد تهييج ثابت، وذلك فقط بإهمال رد فعل المتحرض، ولكن عند أخذ رد فعل المتحرض بعين الاعتبار فإن قيمة  $k\phi$  تتغير مما يؤثر بدوره على سرعة دوران المحرك. في هذا البحث تم أخذ تأثير رد فعل المتحرض بعين الاعتبار، لذلك كان من الضروري الحصول على منحنى تجريبي يربط بين  $k\phi$  وتيار المتحرض  $I_a$  وذلك من خلال التجربة التالية:

يتم تشغيل آلة التيار المستمر كمولدة تعمل عند جهد تهييج ثابت ( $V_f = const$ ) وسرعة دوران ثابتة سواءً اسمية أو غير اسمية (مثلاً  $\Omega = 2000rpm$ ). تُطبق أحمال مختلفة على خرج المولدة، وفي كل مرة يقاس تيار وجهد

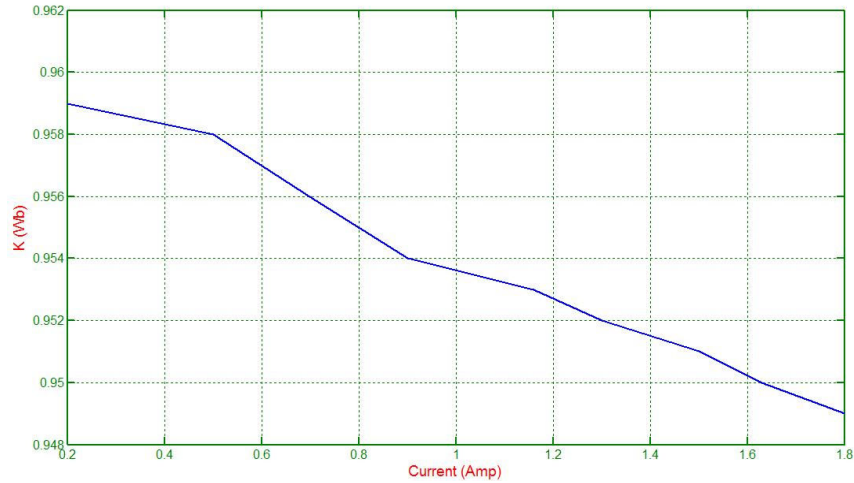
المتحرض مع المحافظة دائماً على تعويض سرعة الدوران لتبقى ثابتة.  
في كل مرحلة قياس تُحسب قيمة  $k\phi$  المقابلة لـ  $I_a$  وفق العلاقات التالية:

$$E_a = V_a - I_a \cdot R_a \quad (1-20)$$

$$E_a = k \cdot \phi \cdot \Omega \quad (1-21)$$

$$\Rightarrow k \cdot \phi = \frac{E_a}{\Omega} \quad (1-22)$$

بالنتيجة تم الحصول على منحنى تجريبي يربط بين  $k\phi$  (V.sec/rad) و تيار الحمولة  $I_a$  كما هو مبين بالشكل (19-1).



الشكل (19-1): المنحنى التجريبي لرد فعل المتحرض

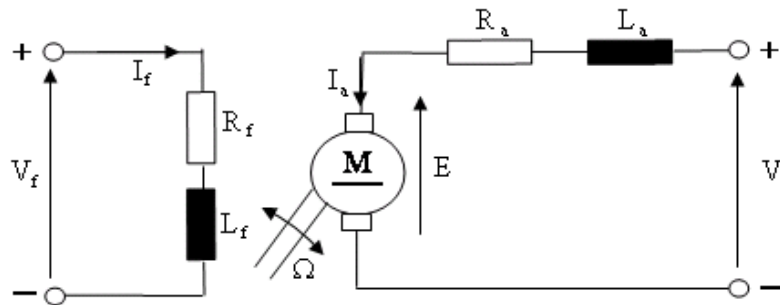
### 2.6.1. التمثيل الرياضي لمحرك التيار المستمر ذي التهيج المستقل

من الضروري في أي بحث إجراء تمثيل رياضي للنظام المتحكم به لكي يتمكن المصمم من اختيار نظام القيادة المناسب له والموافق لدفتر الشروط المقدم من قبل المستثمر.

يتكون محرك التيار المستمر ذي التهيج المستقل من الأجزاء الرئيسية التالية:

الثابت أو المحرض: وظيفته توليد الفيض المغناطيسي الرئيسي للآلة. يُغذى ملف الثابت من منبع مستقل للتيار المستمر جهده  $V_f$ . بالنسبة للآلات الصغيرة، يستبدل ملف التهيج الموجود على الثابت بمغناطيس دائم يولد تدفقاً مغناطيسياً ثابتاً.

الدوار أو المتحرض: يُغذى ملف المتحرض من منبع للتيار المستمر جهده  $V_a$  (مبدلة ثايرستورية أو ترانزستورية)، كما يحتوي المتحرض على المجمع والمسفرات. يبين الشكل (20-1) الدارة الكهربائية المكافئة لهذا النوع من المحركات.



الشكل (20-1): الدارة الكهربائية المكافئة لمحرك التيار المستمر ذي التهيج المستقل

إن تفاعل تيار المتحرض مع التدفق المغناطيسي الذي ينتجه ملف التهييج يؤدي إلى نشوء عزم كهرومغناطيسي يعبر عنه بالعلاقة التالية:

$$T_{em} = k \cdot \phi \cdot I_a \quad (1-23)$$

يدعى  $k$  بثابت الارتباط الكهرومغناطيسي، ويتعلق ببنية الآلة.

أما معادلة جهد المتحرض فتعطى بالعلاقة:

$$V_a = R_a \cdot I_a + L_a \cdot \frac{dI_a}{dt} + E_a \quad (1-24)$$

حيث:

$R_a, L_a$ : مقاومة وتحريضية المتحرض (الدوار)

$E_a$ : القوة المحركة الكهربائية العكسية وتتناسب طرذاً مع السرعة الزاوية للدوار، كما يظهر بالعلاقة:

$$E_a = k \cdot \phi \cdot \Omega \quad (1-25)$$

من المعادلتين (1-23) و (1-25) وعند قيم ثابتة لتدفق الحقل المغناطيسي، يمكن استنتاج علاقة حفظ الطاقة المطبقة على المتحرض:

$$T_{em} \cdot \Omega = E_a \cdot I_a \quad (1-26)$$

تُعطى المعادلة الميكانيكية الأساسية بالعلاقة:

$$J \frac{d\Omega}{dt} = T_{em} - T_L \quad (1-27)$$

أما عزم الحمل الكامل فيعطى بالعلاقة التالية:

$$T_L = T_d + F \cdot \Omega \quad (1-28)$$

$J$ : عزم عطالة المحرك.

$T_L$ : عزم الحمل الكامل، ويتكون من عزم الحمل الجاف (المقاوم)، وثابت الاحتكاك اللزج.

$T_d$ : عزم الحمل الجاف أو المقاوم.

$F$ : ثابت الاحتكاك اللزج.

من المعادلات السابقة، وبعد تبديل كل  $d/dt$  بـ  $S$ ، حيث  $S$  معامل لابلاس، وباعتبار  $K = k \cdot \phi$  يمكن كتابة المعادلتين الكهربائيتين (1-24) والميكانيكية (1-27) الممثلتين للمحرك بصيغة تابع انتقال كما يلي: أولاً يتم تحويل المعادلة الكهربائية للمحرك إلى صيغة تابع انتقال:

$$V_a = R_a \cdot I_a + L_a \cdot S \cdot I_a + E_a \quad (1-29)$$

$$V_a - E_a = (R_a + L_a \cdot S) \cdot I_a \quad (1-30)$$

إن تابع الانتقال الممثل للمعادلة الكهربائية للمحرك يعطى بالعلاقة التالية:

$$\boxed{\frac{I_a}{V_a - E} = \frac{1}{R_a + L_a \cdot S}} \quad (1-31)$$

بشكل مشابه يمكن تحويل المعادلة الميكانيكية للمحرك المدروس إلى تابع انتقال كما يلي:

$$J \cdot S \cdot \Omega = T_{em} - T_L \quad (1-32)$$

$$J \cdot S \cdot \Omega = T_{em} - T_d - F \cdot \Omega \quad (1-33)$$

وبالتالي فإن تابع الانتقال الممثل للمعادلة الميكانيكية للمحرك يعطى بالعلاقة:

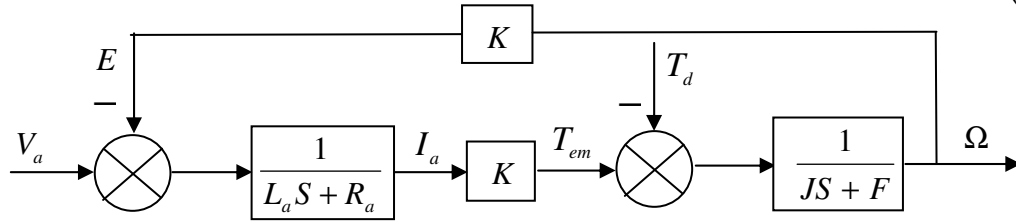
$$\frac{\Omega}{T_{em} - T_d} = \frac{1}{J.S + F} \quad (1-34)$$

انطلاقاً من المعادلتين السابقتين (1-31) و (1-34)، وبالأخذ بعين الاعتبار أن:

$$E = K. \Omega \quad (1-35)$$

$$T_{em} = K. I_a \quad (1-36)$$

يمكن استنتاج المخطط الصندوقي الممثل لمحرك التيار المستمر ذي التهيج المستقل، كما هو موضح بالشكل (21-1).



الشكل (21-1): المخطط الصندوقي الممثل لمحرك تيار مستمر ذي تهيج مستقل

من المخطط الصندوقي السابق يمكن إيجاد تابع انتقال محرك التيار المستمر ذي التهيج المستقل كما يلي:

$$\frac{\Omega}{V_a} = \frac{\frac{K}{L_a.S + R_a} \cdot \frac{1}{J.S + F}}{1 + \frac{K^2}{L_a.S + R_a} \cdot \frac{1}{J.S + F}} \quad (1-37)$$

$$\frac{\Omega}{V_a} = \frac{K}{(L_a.S + R_a)(J.S + F) + K^2} \quad (1-38)$$

$$\frac{\Omega}{V_a} = \frac{K}{J.L_a.S^2 + (J.R_a + L_a.F).S + R_a.F + K^2} \quad (1-39)$$

بتقسيم الصورة والمخرج على  $J.L_a$ ، فإن تابع انتقال المحرك الذي يربط بين جهد الدخل وسرعة المحرك يعطى بالعلاقة:

$$\frac{\Omega}{V_a} = \frac{K/J.L_a}{S^2 + \frac{(J.R_a + L_a.F)}{J.L_a}.S + \frac{R_a.F + K^2}{J.L_a}} \quad (1-40)$$

بإهمال ثابت الاحتكاك اللزج  $F$ ، تصبح معادلة تابع الانتقال كما يلي:

$$\frac{\Omega}{V_a} = \frac{K/J.L_a}{S^2 + \frac{R_a}{L_a}.S + \frac{K^2}{J.L_a}} \quad (1-41)$$

إن تابع انتقال المحرك المدروس هو تابع انتقال من المرتبة الثانية، تعطى معادلته المميزة بالعلاقة:

$$S^2 + 2.\xi.\omega_n.S + \omega_n^2 = 0 \quad (1-42)$$

$\xi$ : معامل التخميد.

$\omega_n$ : التردد الزاوي الطبيعي غير المتخامد.

من المعادلة (1-42) يمكن استنتاج شكل وسرعة استجابة النظام، وذلك حسب قيمة كل من  $\xi$  و  $\omega_n$ . تُحسب جذور المعادلة المميزة كما يلي:



$$p_1, p_2 = \frac{-2.\xi.\omega_n \pm \sqrt{\Delta}}{2} \quad (1-43)$$

حيث:  $\Delta = (2.\xi.\omega_n)^2 - 4.\omega_n^2$

حسب قيمة معامل التخميد  $\xi$  يمكن دراسة الحالات التالية:

- $0 < \xi < 1$ : يظهر للمعادلة المميزة قطبين تخيليين متناظرين، وشكل استجابة النظام تكون اهتزازية متخامدة.
  - $\xi = 1$ : يكون للمعادلة المميزة قطبين حقيقيين متماثلين، وشكل استجابة النظام تكون غير اهتزازية (شبيهة بالمنحني الأسّي).
  - $\xi > 1$ : في هذه الحالة يكون للمعادلة المميزة قطبين حقيقيين، وشكل استجابة النظام تكون غير اهتزازية (شبيهة بالمنحني الأسّي).
- يمكن اعتبار استجابة النظام أسية عندما تكون  $\xi > 1.3$ .

### 7.1. خلاصة

يمكن التحكم بسرعة محرك التيار المستمر عن طريق تغيير إحدى البارامترات التالية:

أ- التدفق المغناطيسي  $\phi$

ب- مقاومة المتحرض  $R_a$

ت- جهد المتحرض  $V_a$

بما أن الغاية من هذا البحث هو التحكم رقمياً بسرعة محرك التيار المستمر بهدف قيادته عند سرعة أقل من السرعة الاسمية، فقد تم تنظيم سرعة محرك التيار المستمر ذي التهيج المستقل وفق طريقة تغيير جهد المتحرض  $V_a$  باستخدام مبدلة ترانزستورية مناسبة.

إن الخطوة الأولى في عملية القيادة الرقمية لمحرك التيار المستمر ذي التهيج المستقل هي مرحلة نمذجة المحرك، حيث يتم أولاً قياس بارامترات المحرك المدروس، ومن ثم إيجاد النموذج الرياضي المكافئ عن طريق استنتاج معادلة تابع الانتقال الكلي ورسم المخطط الصندوقي الممثل للمحرك.

إن صحة الدراسة التصميمية لمنظومة التحكم تعتمد بشكل كبير على دقة النموذج الرياضي المكافئ، من هنا كان لا بد من أخذ تأثير رد فعل المتحرض بعين الاعتبار وعدم إهماله.

## الفصل الثاني

### تنظيم سرعة محرك التيار المستمر باستخدام

#### *PID* منظمات

#### 1.2. مقدمة

تُعتبر منظمات *PID* من أكثر المتحكمات استخداماً في أنظمة التغذية العكسية. تتواجد هذه المنظمات في العديد من تطبيقات التحكم وبأشكال مختلفة، فمثلاً يمكن أن تعمل بمفردها كمتحكم أساسي في نظام القيادة، كما يمكن أن تظهر كأحد العناصر التحكمية في أنظمة التحكم الموزعة. تعمل هذه المنظمات جنباً إلى جنب مع العديد من أنظمة التحكم المنطقية التتابعية والتركيبية لتشكل مع بعضها البعض أنظمة تحكم معقدة تستخدم في تطبيقات إنتاج الطاقة والنقل وأنظمة الأتمتة الصناعية، بالإضافة إلى ذلك تستعمل منظمات *PID* في الكثير من خوارزميات التحكم المتقدمة، مثل أنظمة التحكم التنبؤية (*Predictive Control Systems*) وأنظمة التحكم التي تعمل وفق خوارزمية النمط الانزلاقي (*Sliding Mode Control*). مع تطور التكنولوجيا مرّ إنتاج منظمات *PID* بالعديد من المراحل، انطلاقاً من إنتاجها بشكل ميكانيكي مروراً بتصميمها اعتماداً على الصمامات الإلكترونية والترانزستورات إلى الدارات المتكاملة، وصولاً إلى بنائها بشكل برمجي داخل المعالجات *Microprocessors*.

عملياً تُصمم غالبية منظمات *PID* اليوم اعتماداً على المعالجات الصغيرة، مما أكسبها ميزات إضافية كإمكانية معايرتها آنياً وآلياً وإمكانية جدولة الربح.

#### 2.2. خوارزمية منظمات *PID*

تُوصف منظمات *PID* رياضياً وفق العلاقة التالية [6]:

$$U(t) = K \left( e(t) + \frac{1}{T_i} \int_0^t e(\tau) d\tau + T_d \frac{de(t)}{dt} \right) \quad (2-1)$$

تُعتبر هذه الصيغة الأكثر شيوعاً في معظم الكتب والمقالات العلمية، إلا أن هناك صيغ أخرى سيتم سردها لاحقاً. يمكن توضيح المعادلة السابقة انطلاقاً من المخطط الصندوقي المبين في الشكل (2-1)، حيث:

$Y(t)$ : متحول الجملة المقاس.

$r(t)$ : المتحول المرجعي، ويعرف أيضاً بالنقطة المرجعية *Set Point*.

$U(t)$ : إشارة التحكم.

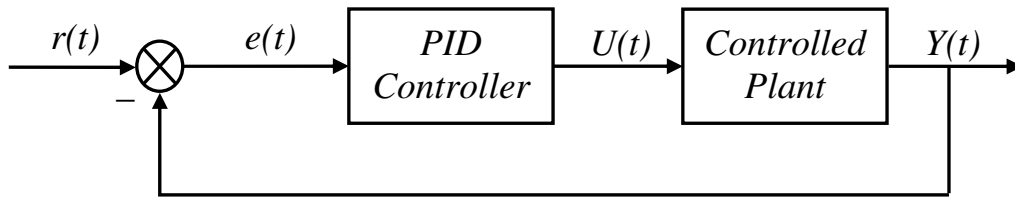
$e = r(t) - Y(t)$ : إشارة خطأ التحكم.

تتألف إشارة التحكم  $U(t)$  في منظمات *PID* من الحدود التالية:

أ- الحد التناسبي  $P$ : يتناسب طردياً مع إشارة الخطأ.

ب- الحد التكاملي  $I$ : يتناسب طردياً مع تكامل إشارة الخطأ.

ج- الحد التفاضلي  $D$ : يتناسب طردياً مع تفاضل إشارة الخطأ.



الشكل (1-2): المخطط الصندوقي لدارة تحكم باستخدام منظم PID

أما بارامترات منظم PID فهي كالتالي:

$K$ : الربح التناسبي.

$T_i$ : زمن التكامل.

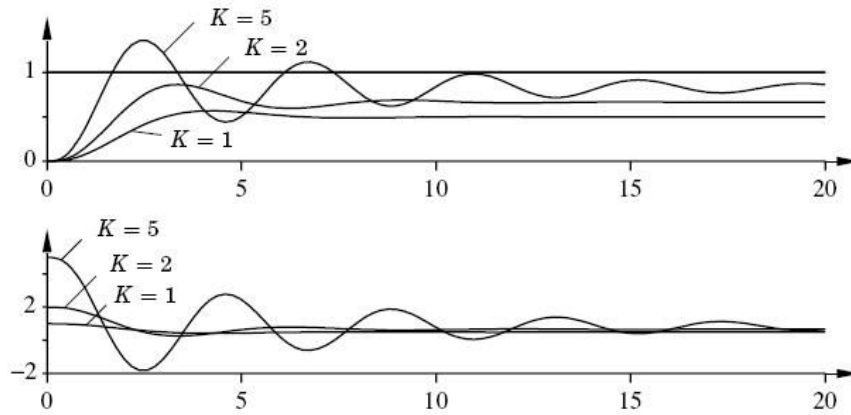
$T_d$ : زمن التفاضل.

سندرس فيما يلي تأثير هذه المنظمات على جملة تحكم مفروضة.

ليكن لدينا جملة تحكم ذات تابع انتقال معطى بالعلاقة التالية:

$$P(S) = \frac{1}{(S + 1)^3} \quad (2-2)$$

عند استخدام المنظم التناسبي بمفرده ( $T_d = 0$  ،  $T_i = \infty$ )، ينخفض خطأ الحالة المستقرة  $Steady State Error$  مع زيادة الربح التناسبي  $K$  دون أن يصل هذا الخطأ إلى الصفر، بالإضافة إلى أن ميل النظام إلى الاهتزاز يزداد مع زيادة  $K$ ، كما يظهر في الشكل (2-2).

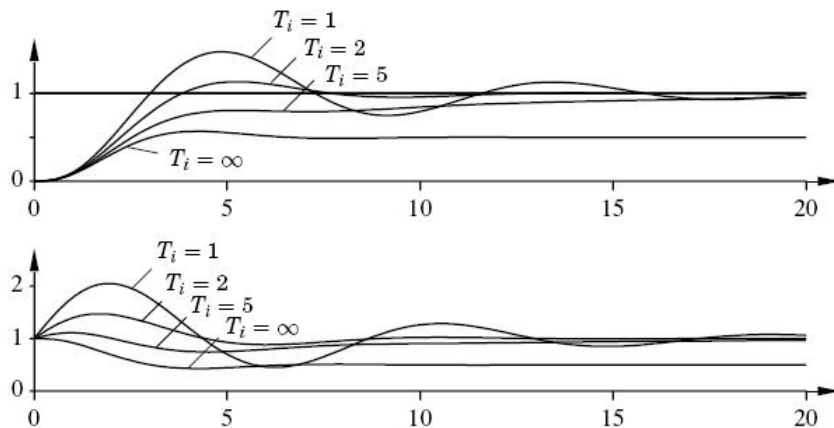


الشكل (2-2): منحنيات الاستجابة الزمنية لجملة التحكم المعطاة بالعلاقة (2-2) والمقادير بواسطة المنظم التناسبي

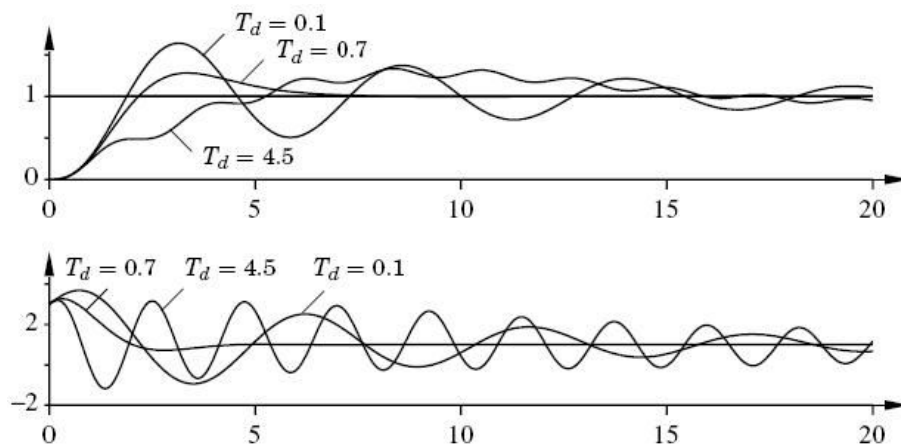
عند قيم مختلفة لـ  $K$

عند إضافة المنظم التكاملي إلى المنظم التناسبي في منظومة التحكم السابقة، فإن خطأ الحالة المستقرة يختفي تماماً تبعاً لتأثير الفعل التكاملي على جملة التحكم، إلا أن الزيادة المفرطة للمعامل التكاملي الناتجة عن استمرار انخفاض قيمة  $T_i$  يزيد من ميل النظام إلى الاهتزاز، كما هو موضح في الشكل (2-3).

يبين الشكل (2-4) تأثير إضافة المنظم التفاضلي إلى نظام التحكم السابق بحيث نحصل على منظم PID، يعمل المنظم التفاضلي على تقليل (تخميد) الاهتزازات في استجابة النظام، أي أنه له أثر تخامدي، ويزداد هذا التأثير مع زيادة زمن التفاضل، إلا أن هذا التأثير يقل عند قيم كبيرة لـ  $T_d$ .



الشكل (3-2): منحنيات الاستجابة الزمنية لجملة التحكم المعطاة بالعلاقة (2-2) والمقادير بواسطة منظم  $PI$  عند قيم مختلفة لـ  $T_i$



الشكل (4-2): منحنيات الاستجابة الزمنية لجملة التحكم المعطاة بالعلاقة (2-2) والمقادير بواسطة منظم  $PID$  عند قيم مختلفة لـ  $T_d$

يعمل المنظم التفاضلي على مبدأ التنبؤ وفق طريقة الاستنباط الخطي خلال زمن  $T_d$ ، وبالتالي زيادة زمن التنبؤ إلى قيم كبيرة سيلغي المفعول الإيجابي له، ويقلل من أثره التخامدي. بشكل عام يجب ألا تزيد قيمة  $T_d$  عن 1/6 من دور الاهتزاز قبل إضافة المنظم التفاضلي.

نلاحظ من الشكل (3-2) أن دور الاهتزاز قبل إضافة المنظم التفاضلي هو حوالي 6sec وبالعودة إلى الشكل (4-2) يتبين أن المفعول الإيجابي للمنظم التفاضلي ينتهي عندما تكون قيمة  $T_d$  أكبر من 1sec. من الجدير ذكره أن تصميم منظم  $PID$  انطلاقاً من العلاقة (1-2) لا يكفي للحصول على نظام تحكم ملائم، بل هناك العديد من النقاط التي يجب أخذها بعين الاعتبار عند تصميم متحكمات  $PID$ ، أهمها:

- أ- ترشيح الضجيج وتخفيض مطال الإشارات ذات التردد العالي *Noise filtering and high frequency roll-off*
- ب- تحييز الإشارة المرجعية *Set Point Weighting*.
- ج- الانحراف *Windup*.
- د- المعايرة *Tuning*.

### 3.2. الترشيح وتحيز الإشارة المرجعية (Filtering and Set Point Weighting)

#### 1.3.2. الترشيح Filtering

إن العناصر التفاضلية شديدة الحساسية للضجيج، يمكن إيضاح هذه الظاهرة بالنظر إلى تابع الانتقال للعنصر التفاضلي  $G(S) = S$ ، حيث نلاحظ أن تابع الانتقال يؤول إلى اللانهاية عند قيم كبيرة لـ  $S$  [6]. يمكن توضيح هذه الفكرة من خلال المثال التالي:

ليكن لدينا الإشارة التالية:

$$\begin{aligned} y(t) &= \sin t + n(t) \\ &= \sin t + a_n \sin \omega_n t \end{aligned} \quad (2-3)$$

حيث إن إشارة الضجيج  $n(t)$  هي إشارة جيبية بتردد  $\omega_n$  يعطى مشتق الإشارة  $y(t)$  بالعلاقة:

$$\frac{dy(t)}{dt} = \cos t + a_n \cdot \omega_n \cdot \cos \omega_n t \quad (2-4)$$

إن نسبة الإشارة إلى الضجيج في المعادلة الأساسية (2-3) هي  $1/a_n$ ، بينما نجد أن هذه النسبة في الإشارة المشتقة (2-4) هي  $1/(a_n \cdot \omega_n)$ ، أي أن العنصر التفاضلي يعمل على تخفيض قيمة نسبة الإشارة إلى الضجيج (من أجل قيم كبيرة لـ  $\omega_n$ ). بمعنى آخر، إن مطال إشارة الضجيج يزداد مقارنة مع مطال الإشارة الأصلية نتيجة للأثر التفاضلي.

يُستنتج مما سبق أنه من الناحية العملية لا بد من تحديد ربح التردد العالي للحد التفاضلي في منظمات  $PID$ ، يمكن تحقيق ذلك من خلال التعبير عن الحد التفاضلي وفق الصيغة التالية:

$$D = \frac{S \cdot K \cdot T_d}{1 + S \cdot T_d / N} \cdot Y \quad (2-5)$$

بدلاً من الصيغة الأصلية المعطاة بالعلاقة التالية:

$$D = S \cdot T_d \cdot Y \quad (2-6)$$

يمكن تفسير العلاقة (2-5) على أنها تمثل عنصر تفاضلي  $S \cdot T_d$  مضافاً إليه مرشح من المرتبة الأولى ذي ثابت زمني  $T_d / N$  و ربح  $K$ .

يمكن كتابة تابع الانتقال لمنظم  $PID$  مع أخذ الشكل الجديد للعنصر التفاضلي بعين الاعتبار وفق العلاقة:

$$C(S) = -K \left( 1 + \frac{1}{S \cdot T_i} + \frac{S \cdot T_d}{1 + S \cdot T_d / N} \right) \quad (2-7)$$

وبالتالي يعطى ربح المتحكم عند التردد العالي وفق العلاقة التالية:

$$\lim_{S \rightarrow \infty} C(S) = -K(1 + N) \quad (2-8)$$

لزيادة مناعة النظام ضد تغير بارامترات عملية التحكم، فإنه لا بد من تقليل ربح المتحكم عن القيمة السابقة، وذلك من خلال عملية ترشيح إضافية لإشارة التحكم وفق العلاقة:

$$F(S) = \frac{1}{(1 + S \cdot T_f)^n} \quad (2-9)$$

$T_f$ : الثابت الزمني للمرشح

$n$ : مرتبة المرشح

إن اختيار قيمة  $T_f$  يقوم على الموازنة بين مقدار الترشيح والأداء، لذلك يمكن الموازنة بين قيمة  $T_f$  والثابت الزمني للمتحكم  $T_d$  بنفس الطريقة المشروحة سابقاً بالنسبة للمنظم التفاضلي، فمثلاً عندما يحتوي المتحكم على عنصر تفاضلي يتم اختيار الثابت الزمني للمرشح مساوياً لـ  $T_d / N$ ، أما إذا كان المتحكم من الشكل  $PI$  فيختار الثابت الزمني للمرشح مساوياً لـ  $T_i / N$ .

إضافة إلى ما سبق ذكره، يمكن تصميم منظم  $PID$  وفق العلاقة التالية:

$$C(S) = -K \left(1 + \frac{1}{S.T_i} + S.T_d\right) \cdot \frac{1}{(1 + S.T_d/N)^2} \quad (2-10)$$

تعتمد هذه الطريقة على تصميم منظومة التحكم انطلاقاً من الصيغة المثالية لمنظم  $PID$  المعطاة بالعلاقة:

$$P(S) = -K \left(1 + \frac{1}{S.T_i} + S.T_d\right) \quad (2-11)$$

حيث يتم أولاً اختيار قيمة مناسبة لـ  $T_d$  وفق الصيغة المثالية لمنظم  $PID$  ومن ثم تُطبق إجراءات التصميم التكراري لاختيار قيم جديدة لـ  $T_d$  بهدف تقليل أثر الضجيج وإلغاء المفعول السلبي للترددات العالية وفق العلاقة (2-10)، بحيث نصل إلى تسوية مقبولة بين أداء المتحكم والترشيح.

### 2.3.2. تحييز الإشارة المرجعية *Set Point Weighting*

عند تطبيق إشارة مرجعية على شكل قفزة واحدة (*step signal*) على دخل المتحكم المعطى بالعلاقة (2-1) فإن إشارة خرج المتحكم تكون على شكل نبضة ديراك (*impulse signal*)، ويعود ذلك إلى وجود الحد التفاضلي في قانون التحكم، ولتجاوز هذه المشكلة يمكن ترشيح الإشارة المرجعية قبل تغذيتها إلى المتحكم، ولكن هناك طريقة أخرى أكثر عملية تعتمد على تطبيق الفعل التناسبي والتفاضلي على جزء من الإشارة المرجعية (أي على فترة معينة من الإشارة المرجعية)، تعرف هذه الطريقة بتحيز الإشارة المرجعية.

انطلاقاً من هذه الطريقة يمكن إعادة كتابة المعادلة (2-1) بالشكل التالي:

$$U(t) = K(b r(t) - Y(t)) + \frac{1}{T_i} \int_0^t e(\tau) d\tau + T_d \left( c \frac{dr(t)}{dt} - \frac{dY(t)}{dt} \right) \quad (2-12)$$

حيث  $c, b$ : بارامترات إضافية.

نلاحظ من العلاقة (2-12) أن المعاملين  $b, c$  موجودان فقط في الحدين التناسبي والتفاضلي من قانون التحكم. إن قانون التحكم المعطى بالعلاقة (2-12) يملك درجتي حرية، بسبب أن مسار الإشارة من  $Y$  إلى  $U$  يختلف عن المسار من  $r$  إلى  $U$ ، حيث يعطى تابع الانتقال وفق المسار من  $r$  إلى  $U$  بالعلاقة:

$$\frac{U(S)}{R(S)} = C_r(S) = K \left( b + \frac{1}{S.T_i} + c.S.T_d \right) \quad (2-13)$$

أما تابع الانتقال وفق المسار من  $Y$  إلى  $U$  فيعطى بالعلاقة:

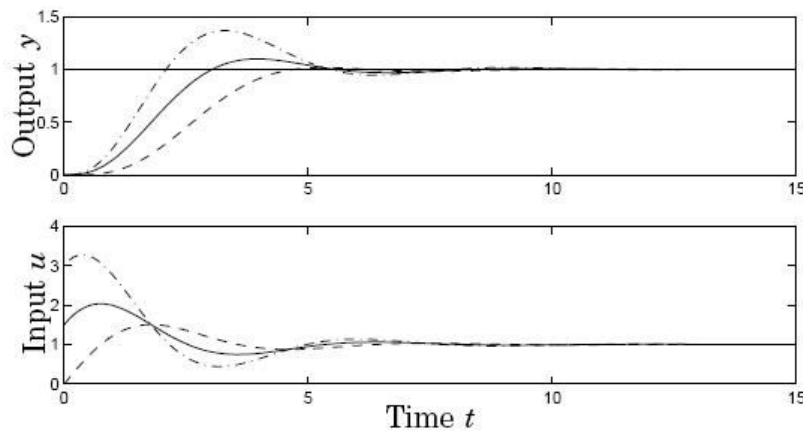
$$\frac{U(S)}{Y(S)} = C_y(S) = K \left( 1 + \frac{1}{S.T_i} + S.T_d \right) \quad (2-14)$$

يُستنتج مما سبق أن نظام التحكم الموصوف بالعلاقة (2-12) يستجيب لاضطرابات الحمل وضجيج القياس بشكل مماثل للنظام الموصوف بالعلاقة (2-1)، إلا أنه يمتاز عنه بإمكانية تعديل شكل الاستجابة للإشارة المرجعية عن طريق معايرة البارامترين  $b$ ,  $c$ .

لإيضاح هذه الطريقة، نفترض أنه تم تطبيق إشارة مرجعية على شكل قفزة واحدة على دخل نظام التحكم الموصوف بالعلاقة (2-2)، كما نعتبر أن قيم بارامترات منظم  $PID$  معطاة كما يلي:

$$K = 3, \quad K_i = 1.5, \quad K_d = 1.5$$

يبين الشكل (2-5) أثر تغيير قيمة  $b$  على استجابة النظام المدروس، حيث يشير منحنى الاستجابة المتقطع ( $dashed$ ) إلى استجابة النظام عند  $b = 0$ ، بينما يشير منحنى الاستجابة المستمر ( $full$ ) إلى استجابة النظام عند  $b = 0.5$ ، وأخيراً يشير منحنى الاستجابة المتقطع والمنقط ( $dashed-dotted$ ) إلى استجابة النظام عند  $b = 1$ .



الشكل (2-5): منحنيات الاستجابة الناتجة عن تطبيق إشارة مرجعية على شكل قفزة واحدة عند قيم مختلفة لـ  $b$

نستنتج من منحنيات الاستجابة المبينة بالشكل (2-5) أن قيمة معامل تجاوز الهدف الأعظمي  $Maximum$   $overshoot$  تكون أصغر عند  $b = 0$ ، وتزداد قيمة هذا المعامل مع زيادة  $b$ . أخيراً تُختار قيمة البارامتر  $c$  عادةً مساوية للصفر، وذلك لتجنب ظهور حالات عابرة ذات مطالات كبيرة على خرج المتحكم، عند حدوث تغيرات مفاجئة في الإشارة المرجعية.

#### 4.2. صيغ رياضية أخرى لمنظمات $PID$

عند تطبيق تحويل لابلاس على المعادلة (2-1) تصبح العلاقة على الشكل:

$$G(S) = K \left( 1 + \frac{1}{S.T_i} + S.T_d \right) \quad (2-15)$$

تُعرف هذه الصيغة بالصيغة القياسية لمتحكم  $PID$ ، بينما تعبر العلاقة التالية عن صيغة مختلفة قليلاً عن سابقتها لكنها الأكثر استخداماً في المتحكمات التجارية:

$$G'(S) = K' \left( 1 + \frac{1}{S.T_i} \right) \cdot (1 + S.T_d') = K' \left( 1 + \frac{T_d'}{T_i} + \frac{1}{S.T_i} + S.T_d' \right) \quad (2-16)$$

يعرف المتحكم المعطى بالعلاقة (2-15) بالمتحكم غير التفاعلي ( $non-interacting$  controller)، بينما

يعرف المتحكم المعطى بالعلاقة (2-16) بالمتحكم التفاعلي ( $interacting$  controller)، ويمتاز بسهولة

معايرته يدوياً.

يمكن تمثيل المتحكم التفاعلي المعطى بالعلاقة (2-16) كمتحكم غير تفاعلي تمتلك بارامترات القيم التالية:

$$\begin{aligned} K &= K' \frac{T_i' + T_d'}{T_i'} \\ T_i &= T_i' + T_d' \\ T_d &= \frac{T_i' T_d'}{T_i' + T_d'} \end{aligned} \quad (2-17)$$

يمكن اعتبار أداء المتحكم التفاعلي مطابقاً للمتحكم غير التفاعلي عندما يتحقق الشرط التالي:

$T_i \geq 4T_d$ ، عندئذٍ تحسب قيم بارامترات المتحكم التفاعلي من العلاقات:

$$\begin{aligned} K' &= \frac{K}{2} \left( 1 + \sqrt{1 - 4.T_d / T_i} \right) \\ T_i' &= \frac{T_i}{2} \left( 1 + \sqrt{1 - 4.T_d / T_i} \right) \\ T_d' &= \frac{T_i}{2} \left( 1 - \sqrt{1 - 4.T_d / T_i} \right) \end{aligned} \quad (2-18)$$

يجب الإنتباه عند استبدال متحكم تفاعلي بمتحكم غير تفاعلي أو بالعكس إلى ضرورة تغيير قيم بارامترات المتحكم.

تختلف صيغة المتحكم التفاعلي عن غير التفاعلي فقط، عندما يشترك كل من العنصر التفاضلي  $D$  والتكاملي  $I$  مع بعضهما في بنية المتحكم، أما إذا استخدم المتحكم وفق أحد هذه الأنماط  $P$ ،  $PI$ ،  $PD$ ، فإن صيغتي المتحكمين التفاعلي وغير التفاعلي تكونان متماثلتين.

بالإضافة إلى الصيغ المذكورة يمكن أيضاً كتابة المعادلة (2-15) وفق الصيغة التالية:

$$G''(S) = k + \frac{k_i}{S} + S.k_d \quad (2-19)$$

$$\text{حيث: } k = K, \quad k_i = \frac{K}{T_i}, \quad k_d = K.T_d$$

إن المعادلة (2-19) تخفي خلفها المعنى الفيزيائي للبارامترات المكونة لمنظم  $PID$ ، مما قد يسبب صعوبات كبيرة لأي مستخدم لا يدرك الفرق بين بارامترات المعادلتين (2-15) و (2-19)، فمثلاً، لا يمكن اعتبار أن المعامل  $k_i$  يمثل الثابت الزمني للمكامل. يستفاد من العلاقة (2-19) في الحسابات التحليلية والتصميمية، لأنها تُظهر بارامترات المنظم بشكل خطي.

## 5.2. الانحراف *Windup*

يمكن إدراك الكثير من مفاهيم نظم التحكم اعتماداً على النظرية الخطية، ولكن هناك العديد من التأثيرات اللاخطية التي تظهر في جمل التحكم، منها ظاهرة *Windup* الناتجة عن التداخل بين الفعل التكاملي والإشباع، ويُقصد هنا بالإشباع أن كل العناصر المشغلة الفعالة (*actuator*) في الجملة التحكمية مقيدة بحدود فيزيائية قصوى لا يمكن تجاوزها، فمثلاً أي محرك كهربائي يملك سرعة حدية قصوى لا يستطيع تجاوزها أو له قيمة جهد اسمي لا يمكن تجاوزها [6].

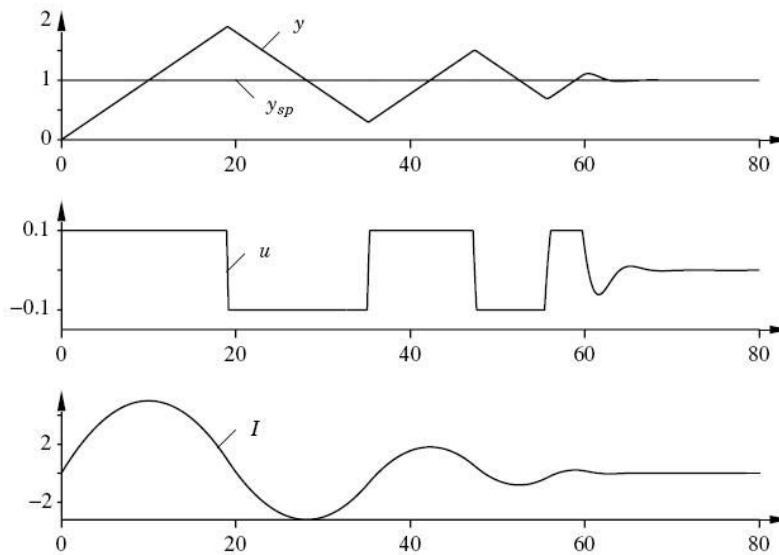


في جمل التحكم التي لها شروط عمل واسعة، يمكن لمتحول التحكم أن يتسبب في الوصول إلى حدود العمل الحدية للعنصر المشغل في جملة التحكم، عندئذ تنكسر حلقة التغذية العكسية والنظام يعمل كحلقة مفتوحة، يعود السبب في ذلك إلى أن خرج العنصر المشغل في جملة التحكم يبقى عند قيمته العظمى مستقلاً بذلك عن خرج الجملة المتحكم بها.

بفرض أن المتحكم في الجملة ذو مفعول تكاملي، عندئذ فإن القيمة التراكمية لإشارة الخطأ  $e$  ستزداد عند إشباع العنصر المشغل، أي أن الحد التكاملي سيزداد بشكل كبير، ويستمر كذلك (أي في الازدياد) حتى تتعكس الإشارة الجبرية للخطأ  $e$  (أي تصبح سالبة)، وتبقى كذلك (أي سالبة) لفترة كافية قبل أن يعود النظام إلى وضعه الطبيعي، بالنتيجة فإن المتحكم ذو المفعول التكاملي سيعمل على ظهور حالة عابرة كبيرة، عندما يصل العنصر المشغل إلى حدود عمله الحدية.

يمكن توضيح ظاهرة *Windup* من خلال المثال التالي:

ليكن هناك نظام تحكم يُقاد بواسطة منظم  $PI$ ، وحدث تغير مفاجئ وكبير في قيمة الإشارة المرجعية  $y_{sp}$  مما أدى إلى وصول العنصر المشغل في جملة التحكم إلى حدود عمله الحدية، كما يظهر في الشكل (2-6)، عندئذ سيزداد الحد التكاملي  $I$  نظراً لأن إشارة الخطأ ذات قيمة موجبة، ويستمر بالازدياد حتى يصل إلى أكبر قيمة له عند  $t=10$ ، عندها يصبح الخطأ مساوٍ للصفر، أما خرج جملة التحكم  $y$  فيصل إلى قيمة الإشارة المرجعية، ولكن نظراً للقيمة الكبيرة للحد التكاملي، فإن خرج الجملة سيستمر في الازدياد حتى تتغير إشارة الخطأ إلى القيمة السالبة وتبقى على حالها (أي سالبة) لفترة كافية لإنقاص الحد التكاملي إلى حدوده الصغرى، عندئذ يبدأ خرج جملة التحكم بالتخامد باتجاه القيمة المرجعية، ويميل النظام للعودة إلى طبيعته الخطية المستقرة.



الشكل (2-6): توضيح ظاهرة الانحراف *Windup*

ينتج عن هذه الظاهرة تجاوز كبير لخرج الجملة المتحكم بها عن القيمة المرجعية بالإضافة إلى ظهور حالة اهتزازية متخامدة حيث تنتقل كل من إشارتي التحكم والخرج بين القيمتين العليا والصغرى بشكل اهتزازي قبل أن يعود النظام فيما بعد إلى وضعه الطبيعي المستقر.

إن المثال السابق وضح مفهوم *Integral Windup* الناتج عن التغير المفاجئ في القيمة المرجعية، إلا أن هناك

مسببات أخرى لهذه الظاهرة مثل حدوث اضطرابات خارجية كبيرة أو بسبب عطل في التجهيزة إلى غير ذلك من الأسباب .

فيما يلي شرح موجز لبعض الطرق المستخدمة في التغلب على ظاهرة *Windup*.

### 1.5.2. تقييد مجال تحرك نقطة العمل للجملية *Set Point Limitation*

تعتمد هذه الطريقة على وضع حدود على تغيير الإشارة المرجعية بحيث أن خرج المتحكم لا يؤدي إلى انتقال العنصر المشغل إلى مجال الإشباع (الحدود القصوى العليا أو الدنيا). من سيئات هذه الطريقة أنها تضعف من أداء النظام ككل بالإضافة إلى أنها لا تلغي ظاهرة *Windup* الناتجة عن الاضطرابات الخارجية.

### 2.5.2. طريقة الحساب الرجعي والملاحقة *Back-Calculation and Tracking*

في الأيام الأولى لتطبيقات نظم التحكم ذات التغذية العكسية، كان الفعل التكاملي للمتحكم مُدمجاً مع العنصر المشغل (*actuator*) في جملة التحكم. أحد الأمثلة على هذه البنية هي محرك (عنصر مشغل) يقود صمام (عنصر متحكم به) بشكل مباشر، في هذه الحالة تروّل ظاهرة *Windup* بشكل ذاتي، لأن الفعل التكاملي لعنصر التحكم (منظم *PI*) يتوقف عندما يُغلق الصمام بشكل كامل.

بعد ظهور المتحكمات التماثلية (التشابهية) ومن ثم المتحكمات الرقمية، فإن الكثير من المصنعين اعتمدوا على حلول لظاهرة *Windup* مشابهة للتصميم الميكانيكي المذكور، حيث يتم في البداية حساب معدل تغيير إشارة التحكم، ومن ثم تمرر هذه الإشارة كما هي إلى المكامل أو يعاد معايرتها قبل تمريرها بما يتناسب مع إلغاء ظاهرة *Windup*. بمعنى آخر يمكن التخلص من ظاهرة *Windup* بإيقاف الفعل التكاملي للمتحكم عندما يصل خرج العنصر المشغل في جملة التحكم إلى الإشباع. انطلاقاً مما سبق يمكن شرح طريقة الحساب الرجعي والملاحقة كما يلي:

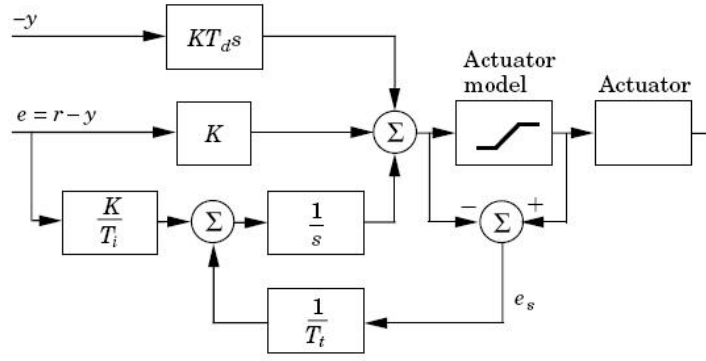
عندما يصل خرج العنصر المشغل إلى الإشباع، يعاد حساب الحد التكاملي من المتحكم بحيث أن قيمته الجديدة لا تجعل خرج العنصر المشغل يتجاوز حد الإشباع، من الأفضل أن يتم إعادة ضبط الحد التكاملي من المتحكم ديناميكياً بثابت زمن  $T_t$  بدلاً من ضبطه آنياً.

يبين الشكل (7-2) مخطط صندوقي لمتحكم *PID* مقاوم لظاهرة *Windup* اعتماداً على طريقة الحساب الرجعي والملاحقة. يمتلك النظام مسار تغذية عكسي إضافي حول المكامل تمر عبره إشارة الخطأ  $e_s$  الناتجة عن الفرق بين خرج العنصر المشغل ( $u$ ) وخرج المتحكم ( $v$ ) بربح مقداره  $1/T_t$ .

عندما يكون خرج العنصر المشغل في جملة التحكم تحت حدود الإشباع، فإن إشارة الفرق  $e_s$  تساوي الصفر، وبالتالي لن يكون للحلقة الإضافية أي تأثير على نظام التحكم الأساسي، ولكن عندما يصل العنصر المشغل (*actuator*) إلى الإشباع، فإن إشارة الخطأ  $e_s$  تختلف عن الصفر، وحينئذٍ تتكسر حلقة التغذية العكسية الأساسية لجملة التحكم لأن دخل الجملة يبقى ثابتاً، لكن بالمقابل تعمل حلقة التغذية العكسية الإضافية حول المكامل على تغيير قيمة خرج المكامل بحيث يصبح دخله مساوياً للصفر.

يُعطى دخل المكامل بالعلاقة التالية:

$$\frac{1}{T_t} e_s + \frac{K}{T_i} e = 0 \quad (2-20)$$



الشكل (7-2): مخطط صندوقي لمتحكم PID مقاوم لظاهرة Windup

$$e_s = \frac{-KT_t}{T_i} e \quad (2-21)$$

تُعطى إشارة الفرق  $e_s$  وفق العلاقة:

$$e_s = u - v \quad (2-22)$$

وبالتالي يمكن وصف إشارة خرج المتحكم عند الإشباع بالعلاقة:

$$v = u_{\lim} + \frac{KT_t}{T_i} . e \quad (2-23)$$

حيث  $u_{\lim}$ : قيمة الإشباع لمتحول التحكم.

نستنتج من العلاقة (2-23) أنه عندما يصل العنصر المشغل في جملة التحكم إلى الإشباع، فإن خرج المتحكم  $v$  يستقر عند قيمة تبعد قليلاً عن حد الإشباع، مما يؤدي إلى تحفيز دارة التغذية العكسية الإضافية حول المكامل، وذلك لإيقاف أثر الحد التكاملي من المتحكم والقضاء على ظاهرة الانحراف.

إن سرعة ضبط خرج المتحكم محكومة بربح التغذية العكسية  $1/T_t$ ، حيث  $T_t$  هو ثابت زمني يحدد مدى سرعة إعادة ضبط المكامل لجعل دخله الكلي مساوياً للصفر، يعرف هذا الثابت بثابت زمن الملاحظة.

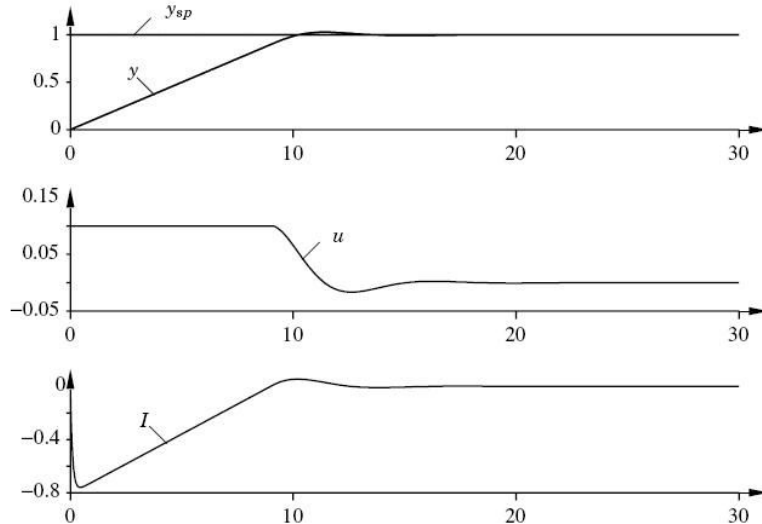
في بعض الأحيان يكون خرج العنصر المشغل في جملة التحكم  $u$  ذو طبيعة فيزيائية مختلفة عن خرج المتحكم  $v$ ، وبالتالي لا يمكن إيجاد إشارة الفرق بينهما  $e_s$  في حلقة التغذية العكسية الإضافية، ويكمن الحل بإيجاد نموذج رياضي مكافئ للعنصر المشغل (*actuator*) ومن ثم إضافته إلى منظومة التحكم كما يظهر ذلك في الشكل (7-2). عند استبدال المتحكم المستخدم في منظومة التحكم ذات منحنيات الاستجابة المبينة بالشكل (2-6) بمتحكم آخر قادر على التغلب على ظاهرة انحراف المكامل وفق الخوارزمية المشروحة، فإنه يتم الحصول على منحنيات الاستجابة المبينة بالشكل (2-8).

يُلاحظ من منحنيات الاستجابة المبينة بالشكل (2-8)، أن خرج المكامل يكون ذو قيمة سالبة خلال المرحلة البدائية من تعرض العنصر المشغل في جملة التحكم للإشباع، ومن ثم يُعاد ضبط خرج المكامل بشكل سريع بحيث يصبح دخله مساوياً للصفر وذلك بما يتوافق مع وصول خرج العنصر المشغل إلى حد الإشباع.

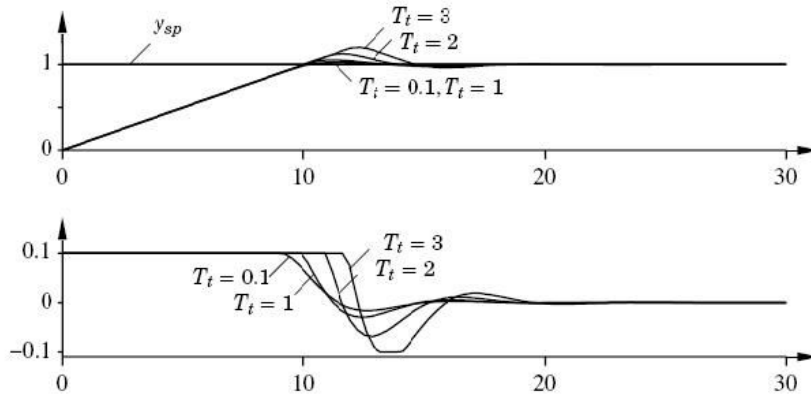
يبين الشكل (2-9) أثر تغير زمن الملاحظة  $T_t$  على استجابة النظام، يفضل اختيار قيم صغيرة للثابت الزمني  $T_t$  مما يساهم بإعادة ضبط المكامل بسرعة. أما إذا كان المتحكم يتألف من مكامل ومفاضل (متحكم PID) فإنه لا بد من مراعاة الاختيار الصحيح لـ  $T_t$ ، لأنه عند اختيار قيم صغيرة جداً للثابت الزمني تظهر أخطاء تسبب

الإشباع المتكرر للخرج، مما يتسبب في تكرار إعادة ضبط المكامل، لذلك يجب اختيار قيمة  $T_i$  بحيث تكون أكبر من  $T_d$  وأصغر من  $T_i$ ، وبالتالي يمكن حساب قيمة  $T_i$  وفق العلاقة:

$$T_t = \sqrt{T_i \cdot T_d} \quad (2-24)$$



الشكل (8-2): التحسن الذي يطرأ على منحنيات الاستجابة المبيّنة في الشكل (6-2) نتيجة التخلص من ظاهرة الانحراف



الشكل (9-2): منحنيات الاستجابة الناتجة عن تطبيق إشارة مرجعية على شكل قفزة واحدة عند قيم مختلفة لـ  $T_t$

## 6.2. طرق معايرة منظمات PID

إن من أهم طرق معايرة منظمات PID هي الطرق المطورة بواسطة العالمين Ziegler و Nichols، لقد أثبتت هذه الطرق أداءً جيداً في التطبيقات العملية لأكثر من نصف قرن، كما أنها تمتاز ببساطتها، وفيما يلي شرح لأهم آليات معايرة منظمات PID [6].

### 1.6.2. طريقة الاستجابة للقفزة الواحدة The Step Response Method

تعتبر هذه الطريقة إحدى الطرق المقدمة بواسطة العالمين Ziegler و Nichols، وتستخدم عادة في نظم التحكم البسيطة. تعتمد الطريقة على دراسة الاستجابة الزمنية لإشارة القفزة الواحدة للحلقة المفتوحة لجملة التحكم، حيث توصف الاستجابة الزمنية من خلال معاملين هما  $T$  و  $L$  كما يظهر في الشكل (2-10). لإيجاد هذين المعاملين يتم أولاً تحديد نقطة على منحنى الاستجابة الزمنية يكون عندها الميل أعظمياً، ثم يُرسم المماس لهذه النقطة. تحدد نقطة تقاطع المماس مع محور إحداثيات الزمن قيمة كل من المعاملين  $L$  و  $T$ . أخيراً، يتم حساب معاملات منظم PID، بتعويض قيمتي المعاملين  $L$  و  $T$  في الجدول (2-1).

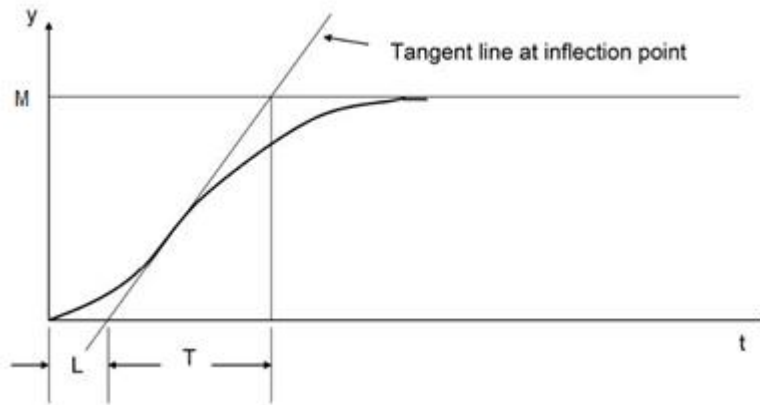
تُعطى قيمة الميل الأعظمي بالعلاقة:

$$R = \frac{M}{T} \quad (2-25)$$

عندئذٍ تُحسب قيمة  $a$  المعطاة بالجدول من العلاقة:

$$a = R \cdot T \quad (2-26)$$

تمتاز الاستجابة الزمنية لمنظم  $PID$  المعايير وفق هذه الطريقة بمقدار تجاوز هدف أعظمي  $(Maximum\ over\ shoot)$  25% وزمن استقرار جيد. بعد تحديد قيم بارامترات منظم  $PID$  وفق الطريقة المشروحة، عادةً يتم اللجوء إلى عملية معايرة يدوية ناعمة إضافية لهذه البارامترات وذلك بغية الحصول على خصائص الاستجابة المطلوبة.



الشكل (10-2): خصائص منحنى الاستجابة الزمنية وفق طريقة القفزة الواحدة لـ  $Ziegler$  و  $Nichols$

Controller	$K$	$T_i$	$T_d$
P	$1/a$		
PI	$0.9/a$	$3L$	
PID	$1.2/a$	$2L$	$L/2$

الجدول (1-2): حساب قيم معاملات منظم  $PID$  وفق طريقة الاستجابة الزمنية للقفزة الواحدة

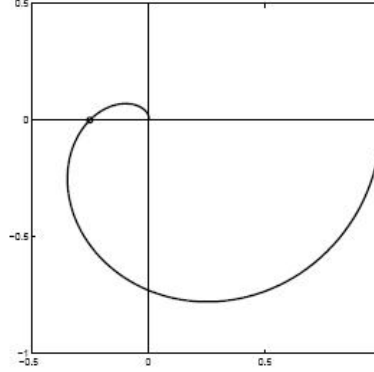
### 2.6.2. طريقة الاستجابة الترددية *The Frequency Response Method*

إن طريقة الاستجابة الترددية هي الطريقة الثانية المطورة بواسطة العالمين  $Ziegler$  و  $Nichols$ . تقوم هذه الطريقة على دراسة الاستجابة الترددية لتابع الانتقال لجملة التحكم، حيث يتم تحديد نقطة تقاطع منحنى نايكويست لتابع الانتقال مع المحور الحقيقي السالب كما هو موضح بالشكل (2-11). توصف نقطة التقاطع بواسطة التردد  $\omega_{180}$  والربح عند التردد  $K_{180} = |P(\omega_{180})|$ ، بعد ذلك يتم حساب كل من معاملي الربح النهائي  $K_u = 1/K_{180}$  والدور النهائي  $T_u = 2\pi/\omega_{180}$ . أخيراً، يتم معايرة محددات منظم  $PID$  بتعويض المعاملين  $K_u$  و  $T_u$  بالجدول (2-2).

يمكن أيضاً تقييم المعاملين  $K_u$  و  $T_u$  تجريبياً وذلك بواسطة تفعيل أثر الحد التناسبي لمنظم  $PID$  فقط مع إيقاف مفعول الحدين التكاملي والتفاضلي ( $T_d = 0$  و  $T_i = \infty$ ) حيث يتم زيادة الربح التناسبي ببطء حتى تبدأ استجابة خرج جملة التحكم بالاهتزاز، عندئذٍ يمكن اعتبار قيمة معامل الربح النهائي  $K_u$  مساوٍ للربح التناسبي أما الدور النهائي  $T_u$  فيساوي دور الاهتزاز.

Controller	$K$	$T_i$	$T_d$
P	$0.5K_u$		
PI	$0.4K_u$	$0.8T_u$	
PID	$0.6K_u$	$0.5T_u$	$0.125T_u$

الجدول (2-2): حساب قيم معاملات منظم  $PID$  وفق طريقة الاستجابة الترددية للقفزة الواحدة



الشكل (2-11): منحنى خصائص الاستجابة الترددية وفق طريقة Ziegler و Nichols

تقييم طرق المعايير لمنظمات  $PID$  المقدمة من قبل العالمين (Ziegler و Nichols)

إن من أهم المآخذ على طرق (Ziegler - Nichols) في معايرة منظمات  $PID$  هي:

أ- **مناعتها الضعيفة لاضطرابات الحمولة:** إن السبب وراء هذه المشكلة يعود إلى أن معيار التصميم يعتمد على تخميد مطال الاهتزاز في منحنى استجابة النظام إلى ربع قيمته، وهذا يكافئ حلقة تحكم مغلقة ذات أقطاب معامل تخامدها النسبي  $\xi = 0.2$ .

ب- **عدم دقتها في التوصيف الديناميكي لجمل التحكم:** إذ ليس من الكافي التعبير عن سلوك جمل التحكم بمعاملين فقط.

انطلاقاً مما سبق، ظهرت طرق معايرة جديدة مطورة عن طريقة (Ziegler - Nichols) تؤمن تخميد جيد لاضطرابات الحمل.

لكن بالرغم من سلبيات طريقة (Ziegler - Nichols) المذكورة، إلا أنها لا تزال تعتبر من أكثر طرق المعايرة شيوعاً وانتشاراً، نظراً لبساطتها وسهولتها ومازال معظم منتجي المتحكمات يعتمدونها ولكن مع بعض التعديلات الضرورية للحصول على معايرة أفضل.

فيما يلي شرح موجز لإحدى طرق المعايرة المطورة عن طريقة (Ziegler - Nichols) والتي تصف العملية التحكمية بثلاث معاملات، وتُعرف بطريقة الاستجابة المحسنة للقفزة الواحدة.

### 3.6.2. الاستجابة المحسنة للقفزة الواحدة *An Improved Step Response Method*

تصف هذه الطريقة استجابة القفزة الواحدة بثلاث معاملات  $L$ ,  $T$ ,  $K$ . يمكن توصيف هذه المعاملات من خلال تابعي الانتقال التاليين:

$$P_1(s) = \frac{K_p}{1 + s.T} \cdot e^{-s.L} \quad (2-27)$$

$$P_2(s) = \frac{K_v}{s} \cdot e^{-s.L} \quad (2-28)$$

إن تابع الانتقال  $P_1(s)$  هو تابع انتقال من المرتبة الأولى ذو تأخير زمني بمقدار  $L$ . تُحدد قيمة  $L$  بيانياً بنقطة تقاطع الميل الأعظمي لمنحني استجابة القفزة الواحدية مع محور إحداثيات الزمن، كما هو موضح بالشكل (10-2)، أما البارامتر  $T$  فيعرف بالثابت الزمني لتابع الانتقال، ويمثل الفترة الزمنية اللازمة لوصول مطال منحني استجابة القفزة الواحدية إلى 63.2% من قيمته عند الحالة المستقرة، بينما يمثل المعامل  $K_p$  الربح الستاتيكي للنظام، أما المعامل  $K_v$  فيعبر عن الميل الأعظمي لمنحني استجابة القفزة الواحدية. للحصول على طريقة معايرة متطورة تم اعتماد طريقة تصميمية تُخضع الربح الأعظمي للمكامل لحدود مناعة النظام، بحيث أن الحساسية الأعظمية للنظام لا تتجاوز 1.4 (أي  $M_s \leq 1.4$ ). انطلاقاً من الشرط السابق، يمكن تعريف شروط المعايرة التالية:

$$K = \begin{cases} \frac{0.3T}{K_v \cdot L} & \text{for } L < 2T \\ 0.15K_p & \text{for } 2T < L \end{cases} \quad (2-29)$$

$$T_i = \begin{cases} 8L & \text{for } L < 0.1T \\ 0.8T & \text{for } 0.1T < L < 2T \\ 0.4L & \text{for } 2T < L \end{cases}$$

بهدف التحقق من صحة قواعد المعايرة السابقة وموافقتها للشرط التصميمي، وبالتالي دراسة خصائص طريقة المعايرة المحسنة تم اختبار نظام المعايرة على تابع الانتقال التالي:

$$P(s) = \frac{1}{(s+1)(0.2s+1)} \quad (2-30)$$

مع الأخذ بعين الاعتبار أن المتحكم المستخدم في الجملة هو متحكم  $PI$ . بفرض أن نظام التحكم المدروس يخضع لإشارة مرجعية تتغير على شكل قفزة منذ لحظة البدء، بالإضافة إلى تعرض النظام لاضطراب حمولة على شكل قفزة أيضاً. يبين الشكل (12-2) الاستجابة الزمنية لكل من إشارتي خرج جملة التحكم ( $y$ ) ومتحول التحكم ( $u$ ).

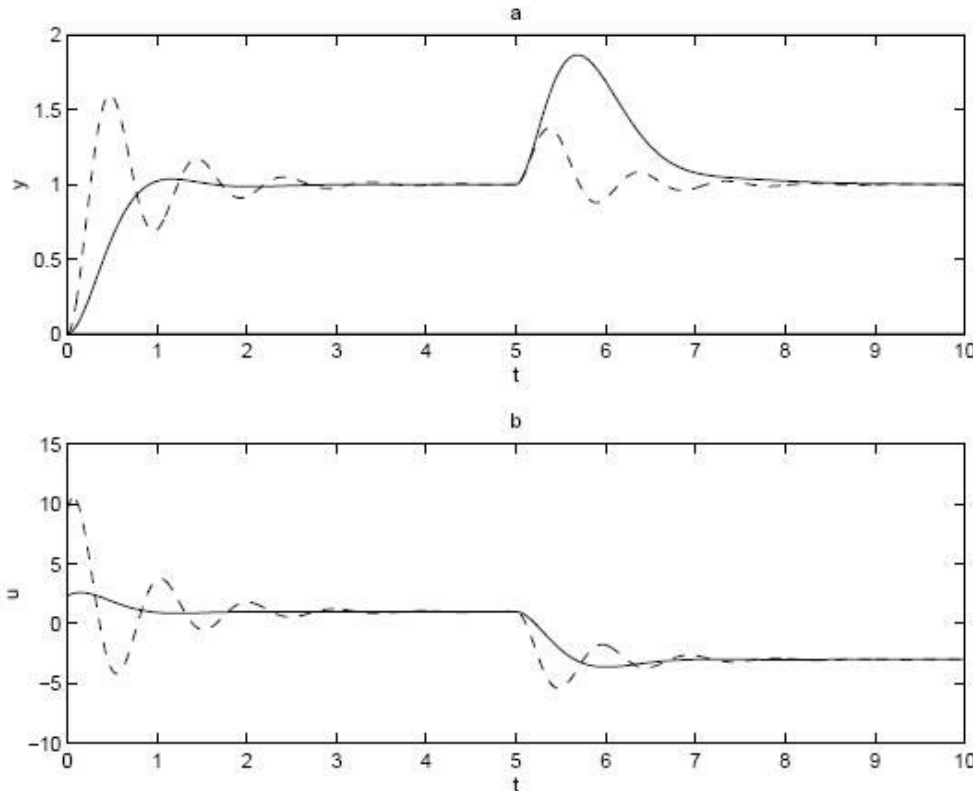
يرمز المنحني المنقطع لسلوك النظام تبعاً لقاعدة المعايرة بطريقة الاستجابة للقفزة الواحدية وفق طريقة (Ziegler - Nichols)، بينما يرمز المنحني المستمر لنظام المعايرة وفق طريقة الاستجابة المحسنة للقفزة الواحدية. بالمقارنة بين المنحنيين، يُلاحظ أن نظام التحكم المعايير تبعاً لطريقة الاستجابة الزمنية للقفزة الواحدية وفق (Ziegler - Nichols) يعاني من المشاكل التالية:

- أ- ظهور استجابة اهتزازية واضحة.
  - ب- الاستجابة لاضطراب الحمولة جاء على حساب حساسية النظام الضعيفة.
  - ج- القيمة الكبيرة لمعيار تجاوز الهدف الأعظمي (*Maximum over shoot*) عند الاستجابة للإشارة المرجعية.
- بالمقابل فإنه من الواضح أن قاعدة المعايرة وفق طريقة الاستجابة المحسنة للقفزة الواحدية أسست لنظام تحكم قادر على العمل ضمن مجال عريض، بمناعة كبيرة واستجابة جيدة.

#### 4.6.2. الطريقة التصميمية المباشرة: Direct Synthesis Method

تعتمد هذه الطريقة لمعايرة منظم  $PID$  على التوصيف الرياضي الصحيح للجملة المتحكم بها، والتحديد المسبق لخصائص استجابة نظام التحكم ذو الحلقة المغلقة. يمكن توضيح هذه الطريقة انطلاقاً من المثال التالي: بفرض أن  $G_p$  يمثل تابع انتقال الجملة المتحكم بها، بينما يمثل  $G_c$  تابع انتقال المتحكم، بإهمال بقية العناصر الديناميكية في جملة التحكم، يكتب تابع انتقال الحلقة المغلقة لجملة التحكم وفق العلاقة:

$$\frac{cv}{sp} = \frac{G_c \cdot G_p}{1 + G_c \cdot G_p} \quad (2-31)$$



الشكل (12-2): خصائص الاستجابة الزمنية وفق طريقتي الاستجابة الزمنية للقفزة الواحدة المحسنة وغير المحسنة

يُعاد ترتيب العلاقة السابقة للحصول على قانون التحكم لنظام التغذية العكسية التالي:

$$G_c = \frac{1}{G_p} \left[ \frac{\frac{cv}{sp}}{1 - \frac{cv}{sp}} \right] \quad (2-32)$$

نلاحظ من العلاقة (2-32) أن قانون التحكم يعتمد بشكل أساسي على خصائص استجابة نظام الحلقة المغلقة  $(cv/sp)$ ، لذلك لا بد أولاً من تحديد أو فرض هذه الخصائص مسبقاً خلال مرحلة التصميم.

في هذا المثال تم افتراض أن استجابة نظام الحلقة المغلقة مكافئة لاستجابة تابع انتقال من المرتبة الأولى، أي:

$$\frac{cv}{sp} = \frac{1}{\lambda \cdot S + 1} \quad (2-33)$$

$\lambda$ : ثابت زمني يُحدد من قبل المصمم.



يُعطى قانون التحكم بتعويض العلاقة (2-33) في العلاقة (2-32) على الشكل التالي:

$$G_c = \frac{1}{G_p} \cdot \frac{1}{\lambda \cdot S} \quad (2-34)$$

بفرض أن المتحكم المستخدم في الجملة من نوع  $PI$ ، وأن تابع انتقال الجملة المتحكم بها معطى بالعلاقة:

$$G_p = \frac{K_p}{\tau_p \cdot S + 1} \quad (2-35)$$

عندئذٍ يُعطى قانون التحكم وفق العلاقة:

$$G_c = \frac{\tau_p \cdot S + 1}{K_p \cdot \lambda \cdot S} = \frac{\tau_p}{K_p \cdot \lambda} \left( 1 + \frac{1}{\tau_p \cdot S} \right) \quad (2-36)$$

وبالتالي فإن معاملات المنظم  $PI$  تُحسب كالتالي:

$$K = \frac{\tau_p}{K_p \cdot \lambda} \quad (2-37)$$

$$T_i = \tau_p$$

يوضح الجدول (2-3) خصائص معاملات المنظم  $PID$  كل على حدة.

السلبات	الإيجابيات	
<ul style="list-style-type: none"> <li>- لا يلغي الخطأ في الحالة المستقرة</li> <li>- بزيادة ثابت التناسب يزداد اهتزاز النظام (انخفاض درجة الاستقرار)</li> </ul>	<ul style="list-style-type: none"> <li>- زيادة سرعة النظام أي بمعنى آخر تقليل زمن الصعود</li> <li>- بزيادة ثابت التناسب ينقص مقدار الخطأ في الحالة المستقرة</li> </ul>	المتحكم التناسبي
<ul style="list-style-type: none"> <li>- يزيد من اهتزاز النظام (انخفاض درجة الاستقرار)</li> </ul>	<ul style="list-style-type: none"> <li>- يلغي الخطأ في الحالة المستقرة</li> </ul>	المتحكم التكاملي
<ul style="list-style-type: none"> <li>- لا يؤثر على خطأ الحالة المستقرة أي لا يزيده ولا ينقصه</li> <li>- حساس جداً للضجيج (أي بزيادة ثابت التفاضل يزيد ضجيج النظام)</li> </ul>	<ul style="list-style-type: none"> <li>- يقوم بتخفيض نسبة تجاوز الهدف</li> <li>- يقوم بتخفيض اهتزاز النظام (يزيد درجة الاستقرار)</li> </ul>	المتحكم التفاضلي

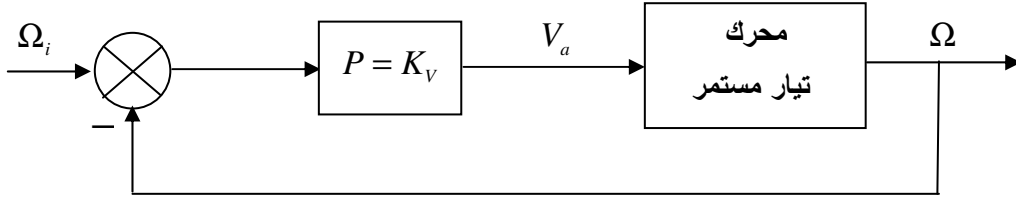
الجدول (2-3): خصائص معاملات منظم  $PID$

## 7.2. تنظيم سرعة محرك التيار المستمر ذي التهيج المستقل

### 1.7.2. تنظيم سرعة المحرك بدون تنظيم التيار

كما قد وجدنا سابقاً أن مرتبة تابع انتقال محرك التيار المستمر ذي التهيج المستقل من المرتبة الثانية، أي أن معادلته المميزة من الدرجة الثانية أيضاً، ونظراً لأن الهدف هو تصميم دائرة تحكم مستقرة لتنظيم سرعة محرك التيار المستمر، فإنه ينبغي أن تكون استجابة النظام ذات طبيعة متخامدة، مما يقتضي اختيار قيمة لمعامل التخميد أكبر من الصفر ( $\zeta > 0$ )، وتعتبر القيمة  $\zeta = 0.7$  هي القيمة الأمثلية، وبالتالي يكون لتابع الانتقال الكلي لجملة التحكم المدروسة قطبين تخيليين متناظرين.

أولاً، وقبل البدء بعملية تنظيم السرعة لا بد من إضافة منظم تناسبي لجعل تابع انتقال المحرك يملك قطبين حقيقيين متمائلين (على اعتبار أن معامل التخماد لتابع انتقال المحرك  $\xi > 0$ ) كما في الشكل التالي:



الشكل (2-13): الحلقة الداخلية لدارة تنظيم السرعة

إن تابع انتقال الحلقة المغلقة للمخطط الصندوقي السابق هو تابع انتقال من المرتبة الثانية، ويُعطى بالعلاقة التالية:

$$\frac{\Omega}{\Omega_i} = \frac{\frac{K_v \cdot K}{J \cdot L_a}}{s^2 + \frac{(J \cdot R_a + L_a \cdot F)}{J \cdot L_a} s + \frac{R_a \cdot F + K^2 + K_v \cdot K}{J \cdot L_a}} \quad (2-38)$$

يُلاحظ بعد إضافة المنظم التناسبي أن مرتبة تابع انتقال النظام قد بقيت كما هي وأصبح بالإمكان اختيار شكل استجابة النظام وذلك بفرض قيمة معينة لمعامل التخماد  $\xi$ .

باختيار قيمة لمعامل التخماد مساوية للواحد أي  $\xi = 1$ . عندئذٍ تُحسب قيمة المعامل التناسبي  $K_v$  من العلاقة التالية:

$$K_v = \frac{\omega_{n1}^2 \cdot J \cdot L_a - R_a \cdot F - K^2}{K} \quad (2-39)$$

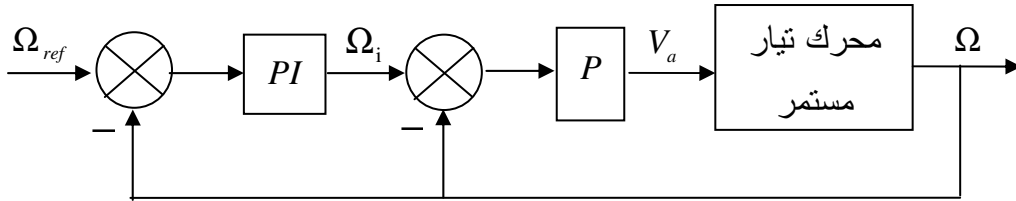
تُكتب معادلة تابع الانتقال للمحرك بعد إضافة المنظم التناسبي واعتبار  $\xi = 1$  كما يلي:

$$\frac{\Omega}{\Omega_i} = \frac{\frac{K_v \cdot K}{J \cdot L_a}}{(s + P_1)(s + P_2)} \quad (2-40)$$

حيث  $P_1 = P_2 = \omega_{n1}$  لأن  $\xi = 1$ .

بهدف تنظيم سرعة المحرك فإن أفضل شكل للمنظم  $PID$  هو الشكل التناسبي - التكاملي  $PI$ ، حيث يعمل المنظم التكاملي على إلغاء الخطأ السناتيكي، وعند إضافة المنظم التناسبي نحصل في تابع انتقال المنظم  $PI$  على صفر يمكن اختزاله مع قطب من أقطاب المعادلة السابقة.

إن المخطط الصندوقي النهائي لجملة التحكم بتنظيم السرعة دون تنظيم التيار مبين في الشكل التالي:



الشكل (2-14): حلقة تنظيم السرعة باستخدام المنظم  $P-PI$

يُعطى تابع انتقال المنظم التناسبي - التكاملي وفق العلاقة:

$$K_p + \frac{K_I}{S} = \frac{K_p \cdot \left( S + \frac{K_I}{K_p} \right)}{S} \quad (2-41)$$

بفرض أن  $P_1 = \frac{K_I}{K_p}$  عندها يمكن اختزال صفر المنظم التناسبي - التكاملي مع أحد قطبي المعادلة (2-40)، وبالتالي فإن تابع انتقال حلقة تنظيم السرعة يُعطى وفق العلاقة:

$$\frac{\Omega}{\Omega_{ref}} = \frac{\frac{K_V \cdot K}{J \cdot L_a} \cdot \frac{1}{S + P_2} \cdot \frac{K_p}{S}}{1 + \frac{K_V \cdot K}{J \cdot L_a} \cdot \frac{1}{S + P_2} \cdot \frac{K_p}{S}} \quad (2-42)$$

$$\frac{\Omega}{\Omega_{ref}} = \frac{\frac{K_V \cdot K_p \cdot K}{J \cdot L_a}}{S^2 + P_2 \cdot S + \frac{K_V \cdot K_p \cdot K}{J \cdot L_a}} \quad (2-43)$$

إذاً شكل تابع انتقال تنظيم السرعة هو تابع انتقال من المرتبة الثانية، وباختيار قيمة أمثلية لمعامل التخميد  $\xi = 0.7$  يمكن عندئذٍ حساب ثوابت المنظم التناسبي - التكاملي كما يلي:

$$2 \cdot \xi \cdot \omega_{n2} = P_2 \Rightarrow \omega_{n2} = \frac{P_2}{1.4} \quad (2-44)$$

$$\omega_{n2}^2 = \frac{K_V \cdot K_p \cdot K}{J \cdot L_a} \quad \text{وبما أن}$$

عندئذٍ تُحسب قيمة المعامل التناسبي  $K_p$  وفق العلاقة:

$$K_p = \frac{\omega_{n2}^2 \cdot J \cdot L_a}{K_V \cdot K} \quad (2-45)$$

أما المعامل التكاملي  $K_I$  فيحسب من العلاقة:

$$\frac{K_I}{K_p} = P_1 \Rightarrow K_I = K_p \cdot P_1 = K_p \cdot \omega_{n1} \quad (2-46)$$

يُستنتج مما سبق أن قيمة ثابت المنظم التناسبي  $P$  للحلقة الداخلية لمنظم السرعة وقيم ثوابت المنظم التناسبي - التكاملي  $PI$  للحلقة الخارجية لمنظم السرعة أصبحت معروفة.

في حالة تنظيم السرعة بدون تنظيم التيار نجد أن نظام القيادة:

- لا يحتاج إلى وجود حساس تيار بينما يحتاج لحساس سرعة تشابهي أو رقمي.
- يحتاج النظام المصمم إلى دارة حماية خارجية من زيادة تيار المتحرض.
- من أجل شكل استجابة معين (قيمة معروفة لـ  $\xi$ ) فإن سرعة الاستجابة للسرعة ثابتة.
- يجب أن يتم تطبيق السرعة المرجعية بشكل متدرج وذلك لأنه عند تطبيق السرعة المرجعية بشكل قفزة تكون سرعة استجابة السرعة كبيرة ومخالفة بذلك القوانين الفيزيائية لوجود عطالة للمحرك تمنعه من الوصول إلى قيمة السرعة المرجعية خلال أجزاء الثانية، إلا إذا تم بالمقابل استجراار قيمة كبيرة لتيار

المتحرض تتجاوز الحد المسموح به.

لقد دُعِمت الدراسة التحليلية السابقة بدراسة تمثيلية بالاعتماد على برنامج *MATLAB-SIMULINK*، حيث تم اختبار منظومة التحكم المدروسة وفق المعايير التالية:

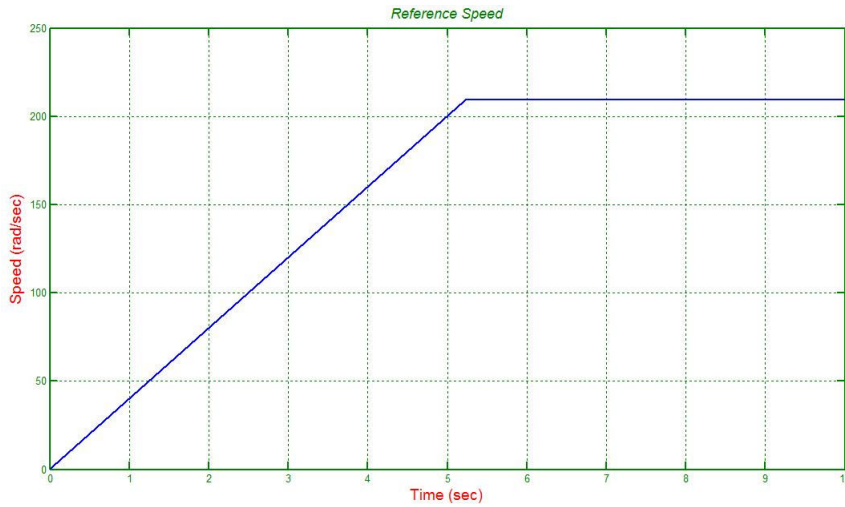
أ- تطبيق السرعة المرجعية على جملة التحكم بشكل متدرج كما هو مبين بالشكل (2-15)

ب- تطبيق الحمولة الاسمية على المحرك بشكل قفزة عند لحظة زمنية محددة ( $t = 7\text{sec}$ ).

تم التمييز خلال الدراسة التمثيلية لمنظومة التحكم المدروسة بين الحالتين التاليتين:

أ- تنظيم السرعة بدون تنظيم التيار مع إهمال رد فعل المتحرض.

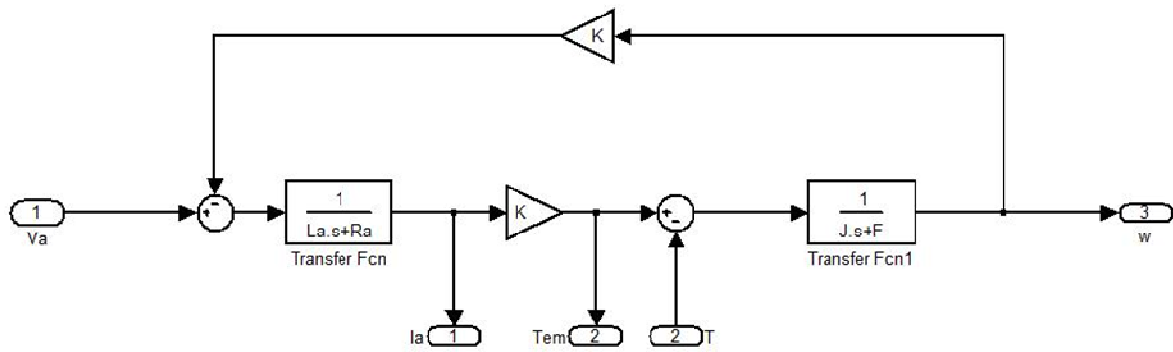
ب- تنظيم السرعة بدون تنظيم التيار مع أخذ رد فعل المتحرض بعين الاعتبار.



الشكل (2-15): منحني إشارة السرعة المرجعية المطبق على جملة التحكم

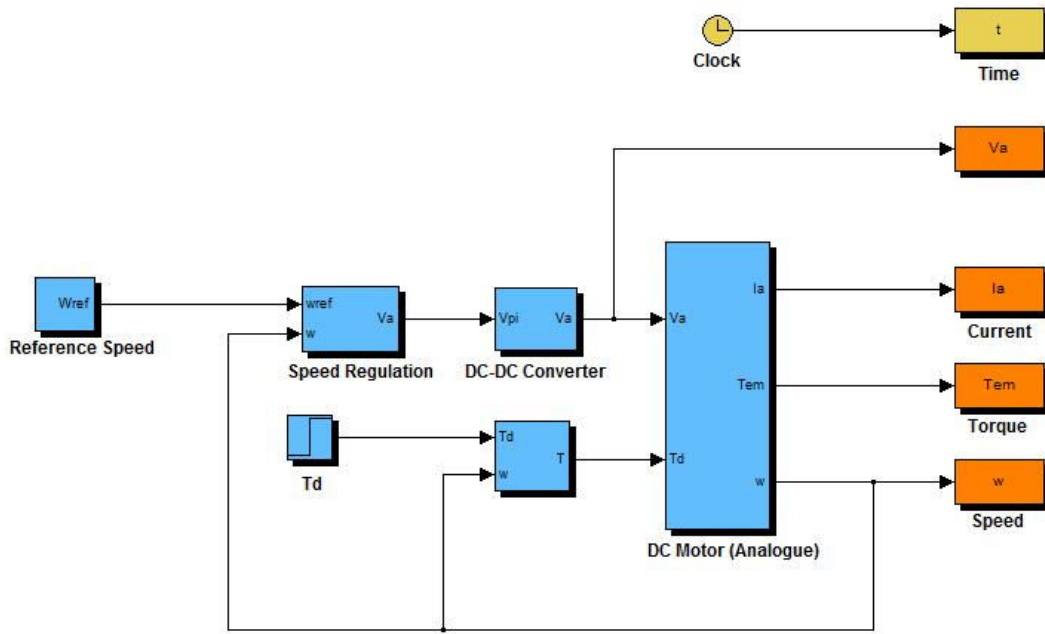
أولاً: تنظيم السرعة بدون تنظيم التيار مع إهمال رد فعل المتحرض

يبين الشكل (2-16) المخطط الصندوقي الممثل لمحرك التيار المستمر ذي التهيج المستقل، حيث يتضح أنه تم إهمال رد فعل المتحرض، واعتبار قيمة  $K$  ثابتة ( $K = 0.949$ ).

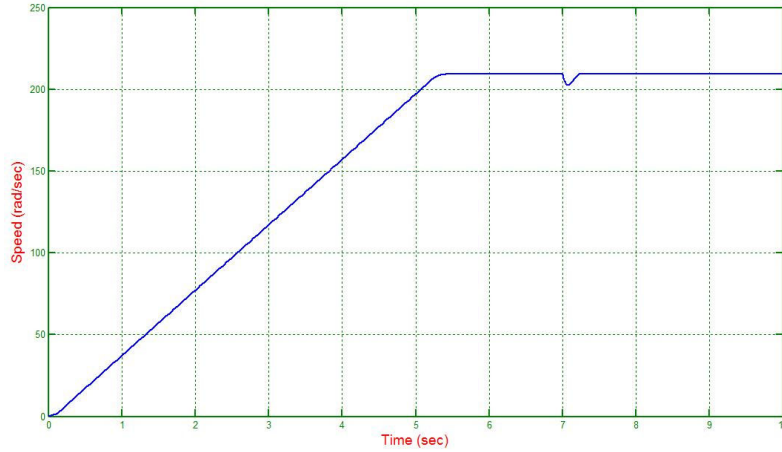


الشكل (2-16): المخطط الصندوقي المكافئ للمحرك المدروس عند إهمال رد فعل المتحرض

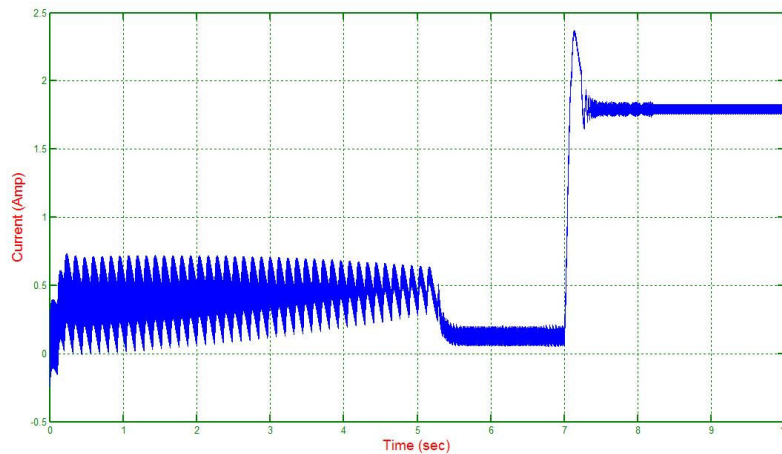
يبين الشكل (2-17) المخطط الصندوقي وفق برنامج *MATLAB-SIMULINK* لدارة تنظيم السرعة المدروسة، يلاحظ أن قيم معاملات منظمات *PID* المستخدمة تحسب في المنظومة لمرة واحدة عند قيمة  $K$  المختارة. عند تطبيق شروط الاختبار المذكورة على جملة التحكم حصلنا على منحنيات الاستجابة لكل من السرعة والتيار الحمولة كما هو مبين بالشكل (2-18).



الشكل (2-17): المخطط الصندوقي لدارة تنظيم السرعة بدون تيار عند إهمال رد فعل المتحرض



أ- منحنى استجابة السرعة بالنسبة للزمن



ب- منحنى استجابة التيار بالنسبة للزمن

الشكل (2-18): منحنيات استجابة السرعة والتيار عند تنظيم السرعة بدون تنظيم التيار مع إهمال رد فعل المتحرض

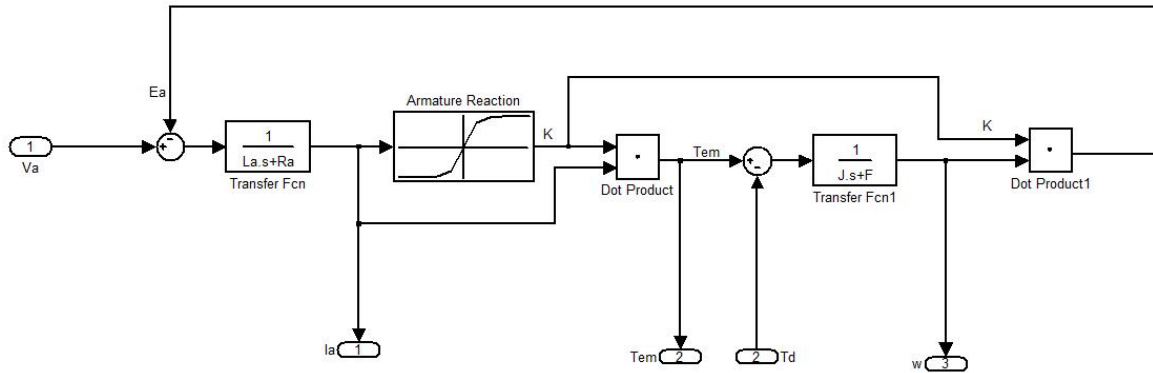
ثانياً: تنظيم سرعة المحرك بدون تنظيم التيار مع أخذ رد فعل المتحرض بعين الاعتبار

في هذه الحالة تم تمثيل المحرك وفق المخطط الصندوقي المبين بالشكل (2-19)، حيث يُلاحظ أن قيمة  $K$

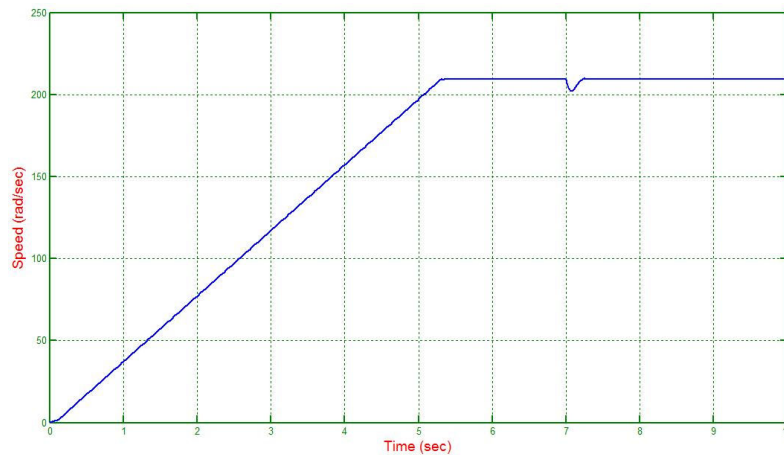
تتغير مع تغير تيار المتحرض تبعاً للمنحني التجريبي المستنتج مسبقاً. تم في هذه الطريقة التمييز بين الحالتين التاليتين:

#### أ- حساب قيم معاملات منظمات $PID$ عند قيمة محددة وثابتة $K$

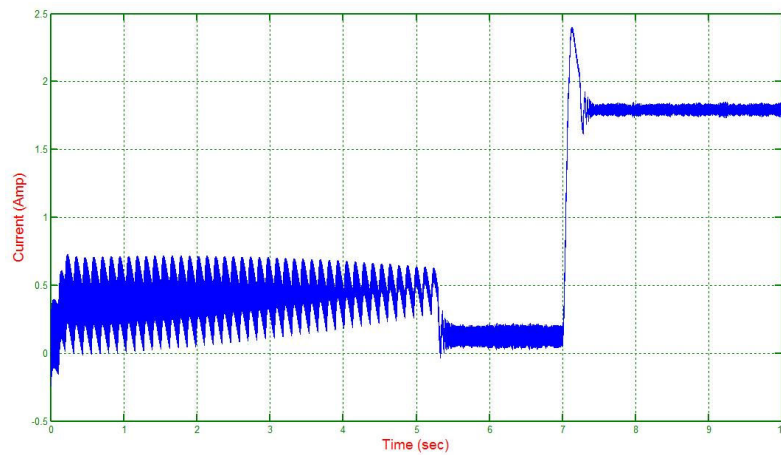
يظهر تأثير رد فعل المتحرض وفق هذه الطريقة فقط في المخطط الصندوقي الممثل للمحرك المدروس، بينما يهمل هذا التأثير عند حساب قيم معاملات منظمات  $PID$  حيث يتم حساب قيم هذه المعاملات عند قيمة محددة وثابتة  $K$ . يبين الشكل (20-2) منحنيات الاستجابة وفق هذه الطريقة.



الشكل (20-19): المخطط الصندوقي المكافئ للمحرك المدروس عند أخذ رد فعل المتحرض بعين الاعتبار



أ- منحنى استجابة السرعة بالنسبة للزمن

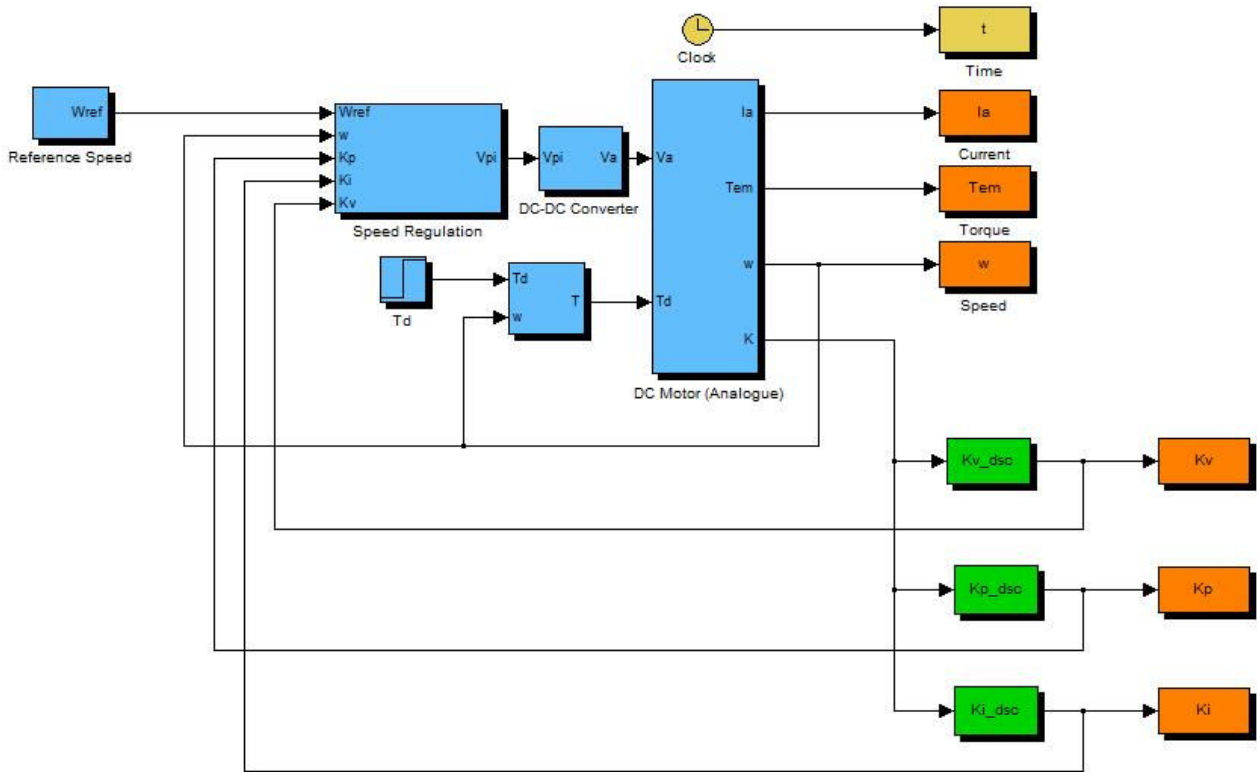


ب- منحنى استجابة التيار بالنسبة للزمن

الشكل (20-2): منحنيات استجابة السرعة والتيار عند تنظيم السرعة مع أخذ رد فعل المتحرض وفق طريقة المعاملات الثابتة لمنظمات  $PID$

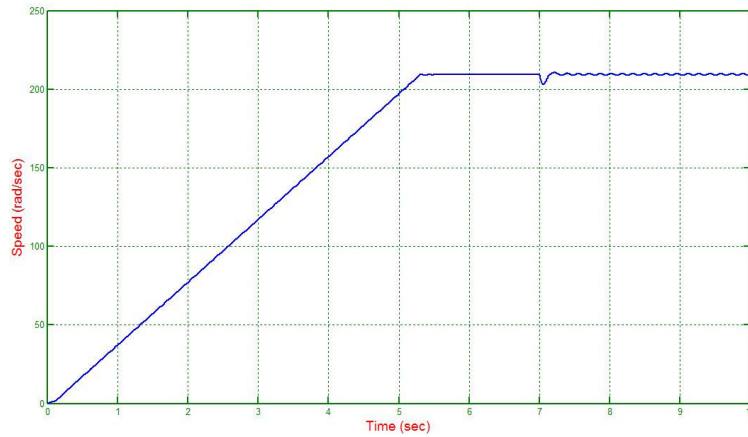
### ب- المعايرة الآتية لقيم معاملات منظمات $PID$

يبين الشكل (21-2) المخطط الصندوقي لدارة التحكم التي تعمل وفق مبدأ المعايرة الآتية، يلاحظ في هذه الدارة استخدام عناصر  $S$ -Function في بيئة التصميم  $MATLAB-SIMULINK$  بهدف حساب قيم معاملات منظمات  $PID$  بشكل آلي مع تغير قيمة  $K$ .  
يبين الشكل (22-2) منحنيات الاستجابة وفق هذه الطريقة.

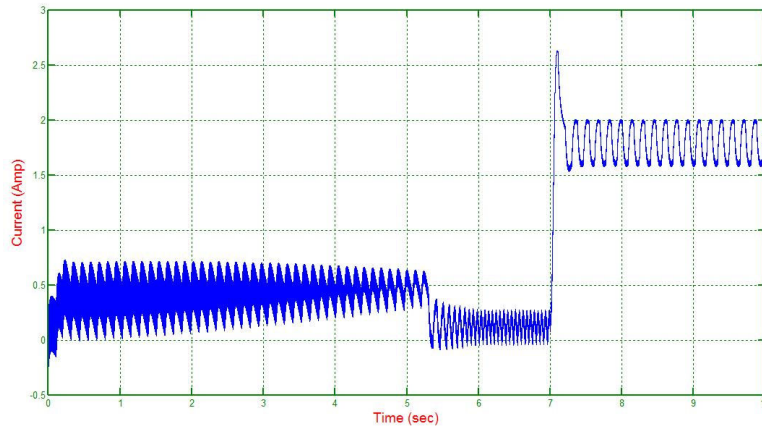


الشكل (21-2): المخطط الصندوقي لدارة تنظيم السرعة بدون تيار وفق طريقة المعايرة الآتية لمنظمات  $PID$

يتبين بالنظر إلى منحنيات استجابة السرعة والتيار وفق طريقة المعايرة الآتية الطبيعة الاهتزازية غير المتخامة لاستجابة النظام بعد تطبيق الحمولة الكاملة، مما يجعل استبعاد استخدام هذه الطريقة أمراً مقبولاً ومنطقياً. بمقارنة منحنيات الاستجابة لكل من السرعة والتيار بين طريقتي تنظيم السرعة بدون أخذ رد فعل المتحرض بعين الاعتبار مع طريقة تنظيم السرعة (مع أخذ رد فعل المتحرض بعين الاعتبار) عند قيم ثابتة لمعاملات منظمات  $PID$  نجد أن منحنيات الاستجابة شبه متطابقة، وهذا بدوره يشير إلى أن تغير قيمة  $K$  مع تغير تيار المتحرض وفق المنحني التجريبي المستنتج لم يؤثر بشكل واضح على أداء النظام ككل، مما يلغي الحاجة إلى تحميل منظومة التحكم المزيّد من العبء الرياضي والمادي بدون طائل والذي تتطلبه طريقة تنظيم السرعة عند قيم ثابتة لمعاملات منظمات  $PID$ . يتضح مما سبق أن طريقة تنظيم السرعة بدون تنظيم تيار مع إهمال رد فعل المتحرض هي الطريقة الأفضل بين الطرق المدروسة.



أ- منحنى استجابة السرعة بالنسبة للزمن



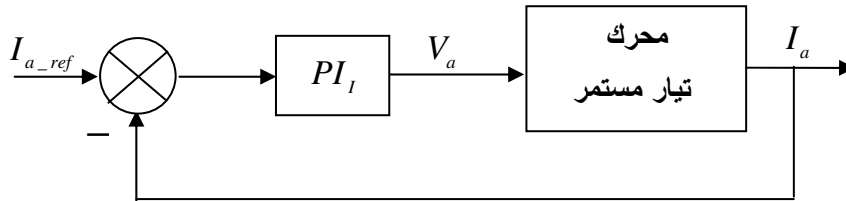
ب- منحنى استجابة التيار بالنسبة للزمن

الشكل (22-2): منحنيات استجابة السرعة والتيار عند تنظيم السرعة بدون تيار مع أخذ رد فعل المتحرض وفق طريقة المعايرة الآتية لمنظمات  $PID$

### 2.7.2. تنظيم سرعة المحرك مع تنظيم التيار

وجدنا في حالة تنظيم السرعة بدون تنظيم التيار ضرورة استخدام المنظم  $P-PI$ ، حيث كان الهدف من استخدام المنظم التناسبي في الحلقة الداخلية لتنظيم السرعة هو الحصول على قطبين متمائلين، أما الهدف من استخدام المنظم التناسبي - التكاملي فكان بالدرجة الأولى هو إلغاء الخطأ الستاتيكي في السرعة بالإضافة إلى اختزال صفر المنظم التناسبي - التكاملي مع أحد قطبي النظام المدروس، وبالتالي الحصول على تابع انتقال لحلقة تنظيم السرعة من المرتبة الثانية بسرعة استجابة ومعامل تخامد يفرضهما المصمم.

فيما يلي سيتم توضيح كيفية القيام بتنظيم السرعة مع تنظيم التيار، حيث سنعتبر أن حلقة تنظيم التيار هي الحلقة الداخلية وحلقة تنظيم السرعة هي الحلقة الخارجية. يبين الشكل (23-2) المخطط الصندوقي لحلقة تنظيم التيار.



الشكل (23-2): المخطط الصندوقي لحلقة تنظيم التيار

يُعطى تابع انتقال الحلقة المفتوحة لدارة تنظيم التيار بالعلاقة:



$$\left( \frac{I_a}{I_{a-ref}} \right)_{open} = \frac{1/L_a}{\left( S + \frac{R_a}{L_a} \right)} \cdot \frac{K_{p-I} (S + K_{I-I} / K_{p-I})}{S} \quad (2-47)$$

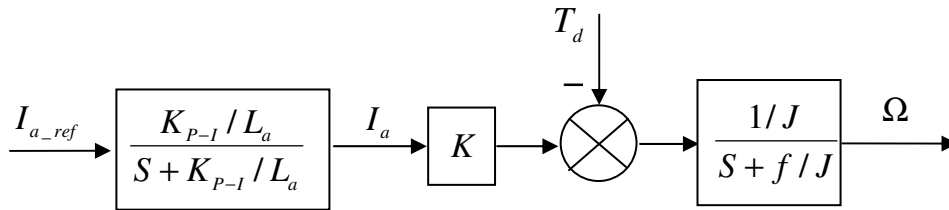
بفرض أن:  $\frac{K_{I-I}}{K_{p-I}} = \frac{R_a}{L_a}$  ، عندئذٍ يمكن كتابة تابع انتقال الحلقة المغلقة لدارة تنظيم التيار كما يلي:

$$\frac{I_a}{I_{a-ref}} = \frac{K_{p-I} / L_a}{S + \frac{K_{p-I}}{L_a}} \quad (2-48)$$

من الملاحظ أن تابع انتقال حلقة تنظيم التيار هو تابع انتقال من المرتبة الأولى ذي استجابة أسية، أما سرعة الاستجابة فتحددها قيمة معامل المنظم التناسبي  $K_{p-I}$ .  
 بالتالي لابد من اختيار قيمة مناسبة لـ  $K_{p-I}$  ومن ثم حساب قيمة  $K_{I-I}$  من العلاقة التالية:

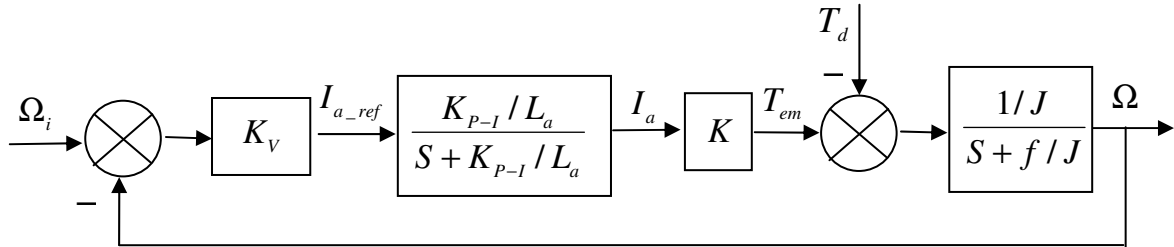
$$K_{I-I} = \frac{R_a}{L_a} \cdot K_{p-I} \quad (2-49)$$

بعد حساب قيم معاملات المنظم التناسبي - التكاملي لحلقة تنظيم التيار يمكن استنتاج تابع انتقال حلقة تنظيم السرعة وحساب قيم معاملات منظمات حلقة السرعة.  
 قبل اختيار طبيعة منظمات حلقة السرعة تم رسم المخطط الصندوقي الذي يتضمن تابع انتقال حلقة تنظيم التيار مع تابع الانتقال الذي يربط بين السرعة والعزم.



الشكل (2-24): المخطط الصندوقي الذي يربط بين القيمة المرجعية لتيار المتحرض وسرعة المحرك

من الشكل السابق نجد أن تابع الانتقال هو من الدرجة الثانية، لذلك يضاف المنظم التناسبي  $P$  في البداية للحصول على قطبين حقيقيين متمائلين ( $\xi=1$ ) كما في الشكل التالي:



الشكل (2-25): الحلقة الداخلية لدارة تنظيم السرعة

من المخطط الصندوقي نجد أن تابع الانتقال للحلقة الداخلية لتنظيم السرعة يعطى بالعلاقة:

$$\frac{\Omega}{\Omega_i} = \frac{\frac{K_V \cdot K_{P-I} \cdot K}{J \cdot L_a}}{S^2 + \left( \frac{K_{P-I}}{L_a} + \frac{F}{J} \right) \cdot S + \frac{K_{P-I} \cdot F + K_V \cdot K_{P-I} \cdot K}{J \cdot L_a}} \quad (2-50)$$

تُحسب قيمة  $\omega_{n1}$  من أجل  $\xi = 1$  بالعلاقة:

$$2 \cdot \xi \cdot \omega_{n1} = \frac{K_{P-I}}{L_a} + \frac{F}{J} \Rightarrow \omega_{n1} = \frac{J \cdot K_{P-I} + F \cdot L_a}{2 \cdot J \cdot L_a} \quad (2-51)$$

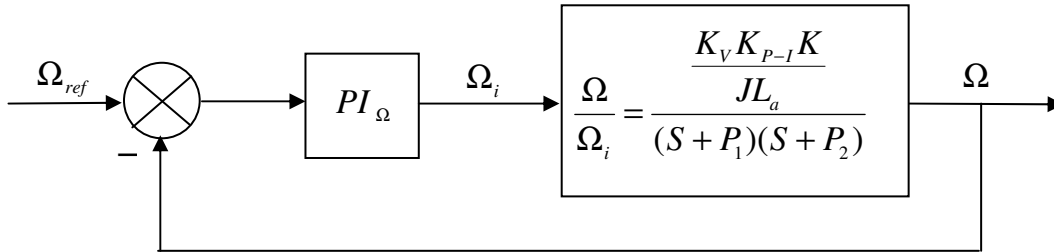
ومن ثم تُحسب قيمة  $K_V$  كما يلي:

$$K_V = \frac{\omega_{n1}^2 \cdot J \cdot L_a - F \cdot K_{P-I}}{K_{P-I} \cdot K} \quad (2-52)$$

يمكن أن يكتب تابع انتقال الحلقة الداخلية للسرعة من أجل  $\xi = 1$  وفق العلاقة التالية:

$$\frac{\Omega}{\Omega_i} = \frac{\frac{K_V \cdot K_{P-I} \cdot K}{J \cdot L_a}}{(S + P_1)(S + P_2)} \quad (2-53)$$

حيث  $P_1 = P_2$  وقيمة هذين القطبين متعلقة بقيمة الثابت التناسبي لمنظم التيار  $K_{P-I}$ . الآن سيتم اختيار المنظم من الشكل  $PI$  في الحلقة الخارجية لتنظيم السرعة وذلك لنفس الأسباب المذكورة عند دراسة وتحليل طريقة تنظيم السرعة بدون تنظيم للتيار. يبين الشكل (2-26) المخطط الصندوقي للحلقة الخارجية لتنظيم السرعة.



الشكل (2-26): الحلقة الخارجية لدارة تنظيم السرعة

$$\text{وبفرض أن: } P_1 = \frac{K_{I-\Omega}}{K_{P-\Omega}}$$

عندئذٍ تُعطى معادلة تابع انتقال الجملة ككل متضمنةً حلقة تنظيم السرعة بالعلاقة:

$$\frac{\Omega}{\Omega_{ref}} = \frac{\frac{K_V \cdot K_{P-I} \cdot K_{P-\Omega} \cdot K}{J \cdot L_a}}{S^2 + P_2 \cdot S + \frac{K_V \cdot K_{P-I} \cdot K_{P-\Omega} \cdot K}{J \cdot L_a}} \quad (2-54)$$

باختيار  $\xi = 0.7$  يمكن حساب ثوابت المنظم التناسبي - التكاملي  $PI_{\Omega}$  كما يلي:

$$2 \cdot \xi \cdot \omega_{n2} = P_2 \Rightarrow \omega_{n2} = \frac{P_2}{1.4} \quad (2-55)$$

وبما أن:

$$\omega_{n2}^2 = \frac{K.K_{P-\Omega}.K_V.K_{P-I}}{J.L_a} \quad (2-56)$$

عندئذٍ تُحسب قيمة الثابت  $K_{P-\Omega}$  من العلاقة:

$$K_{P-\Omega} = \frac{\omega_{n2}^2.J.L_a}{K.K_V.K_{P-I}} \quad (2-57)$$

بعد معرفة  $K_{P-\Omega}$  يمكن حساب  $K_{I-\Omega}$  من العلاقة:

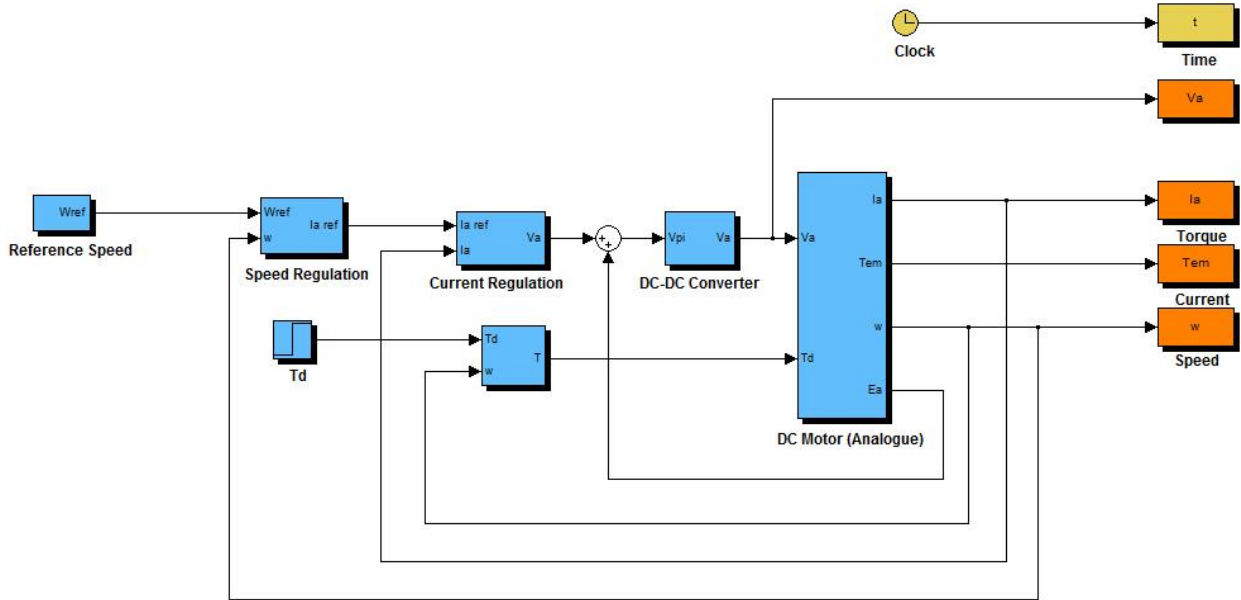
$$K_{I-\Omega} = K_{P-\Omega}.P_I \quad (2-58)$$

مما سبق نجد أنه تم حساب معاملات منظمات التيار والسرعة اعتماداً على تحليل المعادلة المميزة لتتابع انتقال الحلقة الداخلية لتنظيم التيار ( $K_{P-I}$  ،  $K_{I-I}$ ) والحلقة الداخلية لتنظيم السرعة ( $K_V$ ) والحلقة الخارجية لتنظيم السرعة ( $K_{P-\Omega}$  ،  $K_{I-\Omega}$ ).

بشكل مشابه لما تم توضيحه في طريقة تنظيم السرعة بدون تنظيم للتيار، فقد تم إجراء دراسة تمثيلية لجملة التحكم بتنظيم السرعة مع تنظيم التيار وفق نفس معايير الاختبار المذكورة سابقاً، وتم في هذه الدراسة أيضاً التمييز بين الحالتين التاليتين:

أولاً: تنظيم سرعة المحرك مع تنظيم التيار بدون أخذ رد فعل المتحرض بعين الاعتبار

يبين الشكل (2-16) المخطط الصندوقي الممثل لمحرك التيار المستمر ذي التهيج المستقل. يتضح من المخطط أنه تم إهمال تأثير رد فعل المتحرض واعتبار قيمة  $K$  ثابتة، بينما يبين الشكل (2-27) المخطط الصندوقي الممثل لإدارة تنظيم السرعة المدروسة وفيه تحسب قيم معاملات منظمات  $PID$  المستخدمة في المنظومة لمرة واحدة عند قيمة  $K$  الأمثلية المختارة ( $K=0.949$ ).

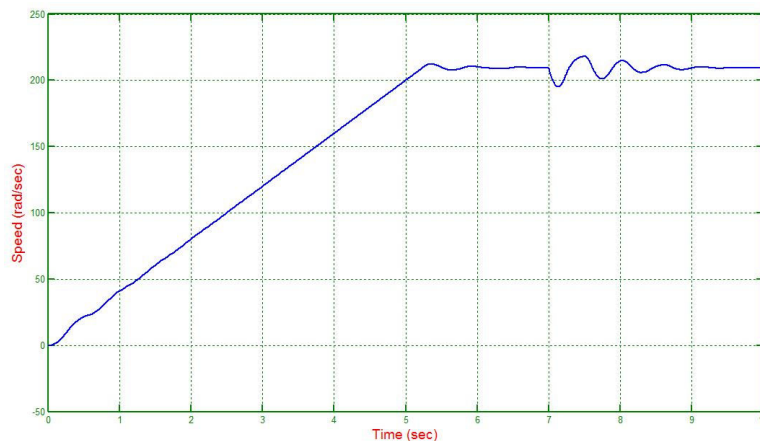


الشكل (2-27): المخطط الصندوقي لإدارة تنظيم السرعة مع تنظيم التيار عند إهمال رد فعل المتحرض

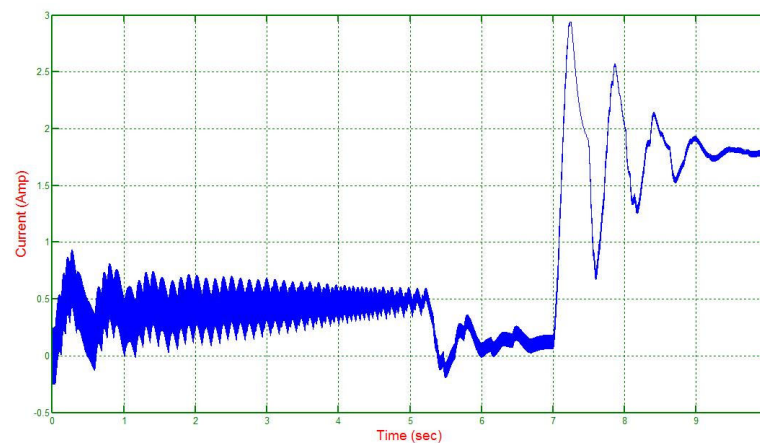
تعتمد هذه الطريقة على اختيار قيمة مناسبة للثابت التناسبي لمنظم التيار  $K_{P-I}$ ، فالشكل (2-28) يبين منحنيات استجابة السرعة والتيار عند  $K_{P-I}=10$ ، أما الشكل (2-29) فيوضح منحنيات استجابة السرعة والتيار عند قيمة  $K_{P-I}=30$ ، بينما يبين الشكل (2-30) منحنيات استجابة السرعة والتيار عند  $K_{P-I}=35$ .

يُلاحظ من منحنيات الاستجابة عند قيمة  $K_{p,I}=35$  أن النظام يخرج من دائرة الاستقرار عند تحميله بالحمولة الكاملة.

بمقارنة منحنيات الاستجابة السابقة عند قيم  $K_{p,I}$  المختلفة نجد أنه تم الحصول على الاستجابة الأفضل عند  $K_{p,I}=30$ ، كما يتضح أيضاً أن الطبيعة الاهتزازية المتخامدة للنظام تظهر بشكل جلي عند تحميله بالحمولة الكاملة.

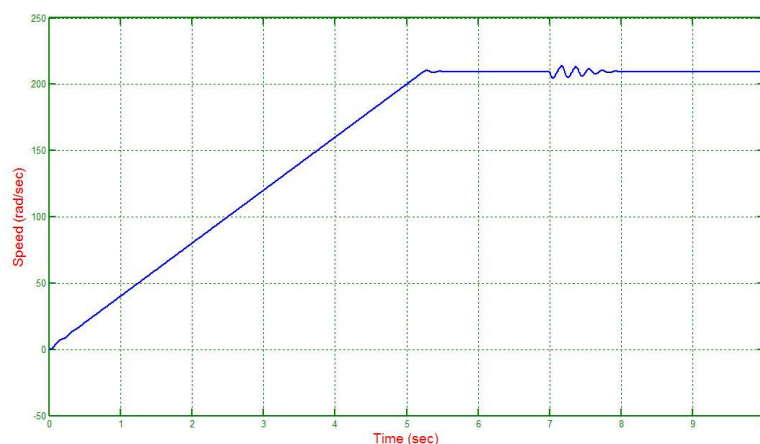


أ- منحنى استجابة السرعة بالنسبة للزمن

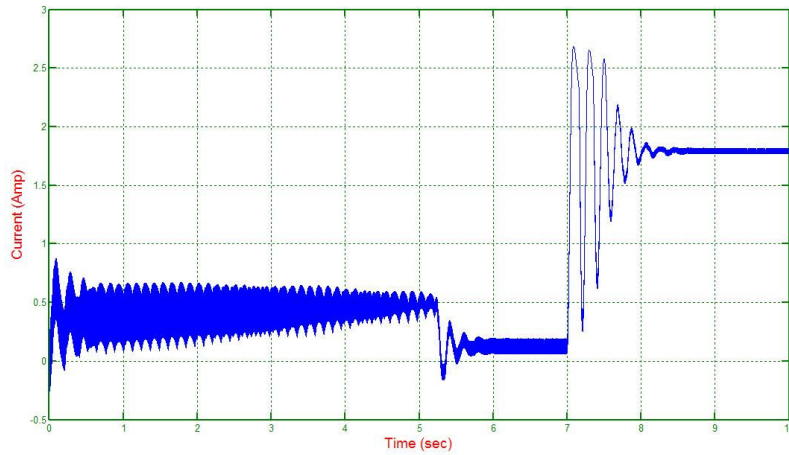


ب- منحنى استجابة التيار بالنسبة للزمن

الشكل (2-28): منحنيات استجابة السرعة والتيار عند تنظيم السرعة مع التيار مع إهمال رد فعل المتحرض عند  $K_{p,I}=10$

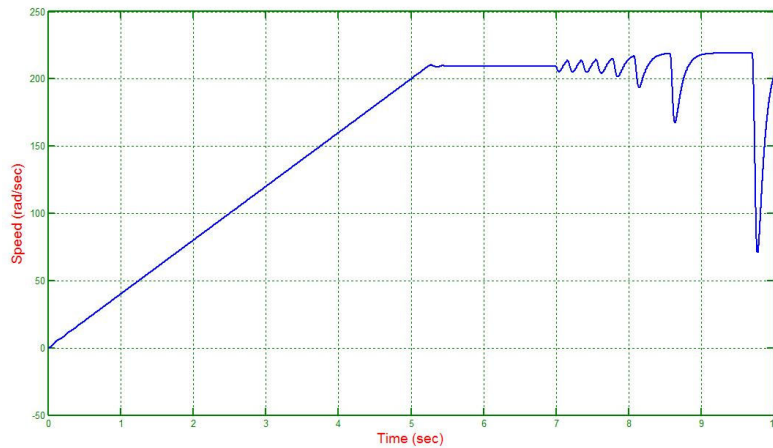


أ- منحنى استجابة السرعة بالنسبة للزمن

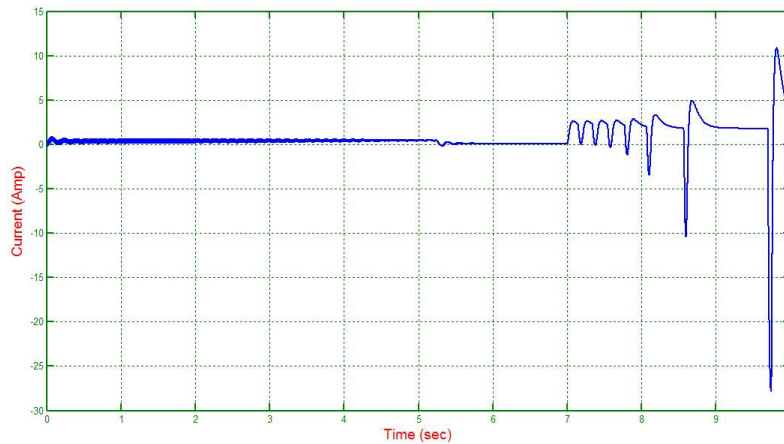


ب- منحنى استجابة التيار بالنسبة للزمن

الشكل (2-29): منحنيات استجابة السرعة والتيار عند تنظيم السرعة مع التيار مع إهمال رد فعل المتحرض عند  $K_{PI}=30$



أ- منحنى استجابة السرعة بالنسبة للزمن



ب- منحنى استجابة التيار بالنسبة للزمن

الشكل (2-30): منحنيات استجابة السرعة والتيار عند تنظيم السرعة مع التيار مع إهمال رد فعل المتحرض عند  $K_{PI}=35$

ثانياً: تنظيم سرعة المحرك مع تنظيم التيار عند أخذ رد فعل المتحرض بعين الاعتبار

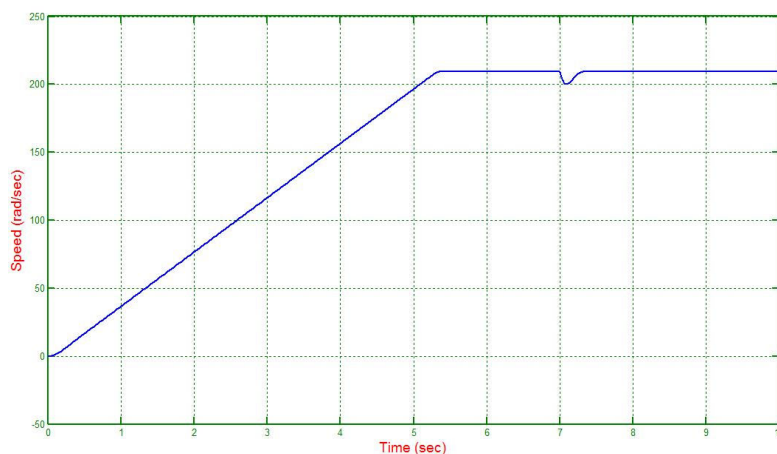
في هذه الحالة تم تمثيل المحرك وفق المخطط الصندوقي المبين بالشكل (2-19) حيث تتغير قيمة  $K$  في الدارة المكافئة مع تغير تيار المتحرض تبعاً للمنحنى التجريبي المستنتج مسبقاً. تم في هذه الطريقة التمييز بين الحالتين التاليتين:

#### أ- حساب قيم معاملات منظمات $PID$ عند قيمة ثابتة لـ $K$

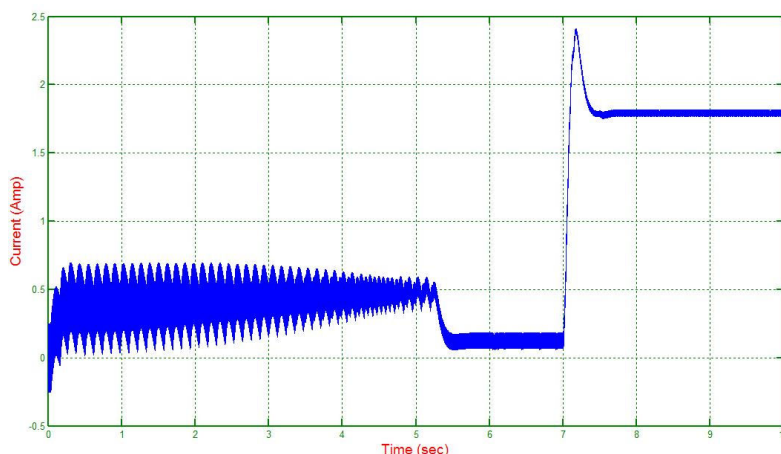
يظهر تأثير رد فعل المتحرض وفق هذه الطريقة فقط في المخطط الصندوقي الممثل للمحرك المدروس، بينما تُحسب قيم معاملات منظمات  $PID$  عند قيمة ثابتة لـ  $K$ .

كما ذكر سابقاً، فإن طريقة تنظيم السرعة مع تنظيم التيار تعتمد على اختيار قيمة مناسبة للثابت التناسبي لمنظم التيار  $K_{P-I}$ ، وبالتالي لا بد من التمييز بين الحالات التالية:

- يبين الشكل (2-31) منحنيات الاستجابة لكل من السرعة والتيار عند قيمة  $K_{P-I} = 10$
  - يبين الشكل (2-32) منحنيات الاستجابة لكل من السرعة والتيار عند قيمة  $K_{P-I} = 60$
  - يبين الشكل (2-33) منحنيات الاستجابة لكل من السرعة والتيار عند قيمة  $K_{P-I} = 110$
- بمقارنة منحنيات الاستجابة السابقة مع بعضها البعض، وجد أن الاستجابة الأفضل تتحقق عند قيمة  $K_{P-I} = 60$ ، ومن الجدير بالملاحظة أن نظام التحكم يميل إلى الاهتزاز مع ازدياد قيمة  $K_{P-I}$ .



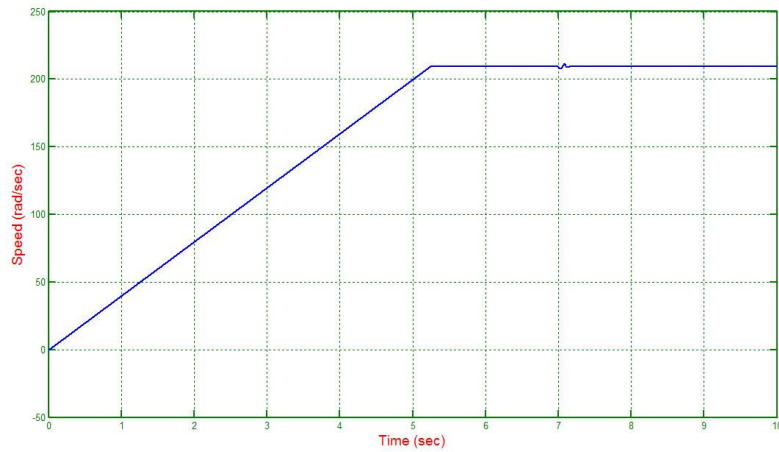
أ- منحنى استجابة السرعة بالنسبة للزمن



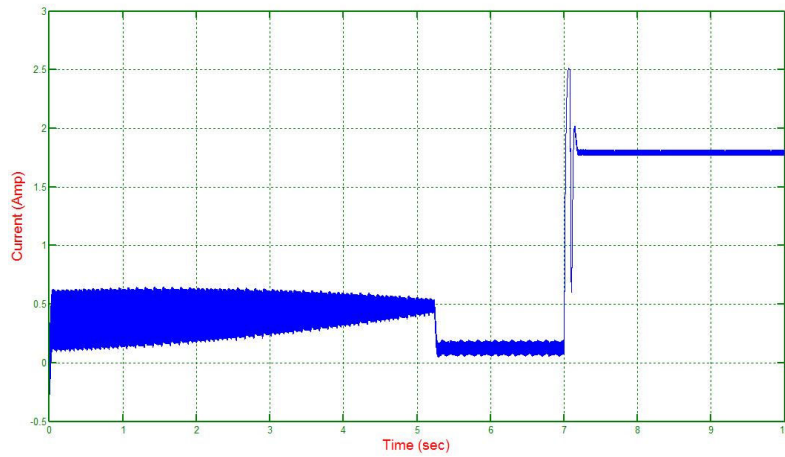
ب- منحنى استجابة التيار بالنسبة للزمن

الشكل (2-31): منحنيات استجابة السرعة والتيار عند تنظيم السرعة مع التيار وفق طريقة المعاملات الثابتة لمنظمات

$PID$  عند  $K_{PI} = 10$



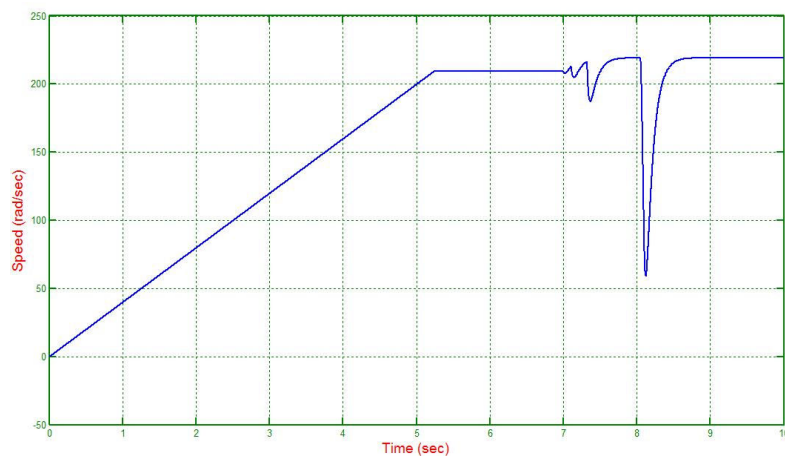
أ- منحنى استجابة السرعة بالنسبة للزمن



ب- منحنى استجابة التيار بالنسبة للزمن

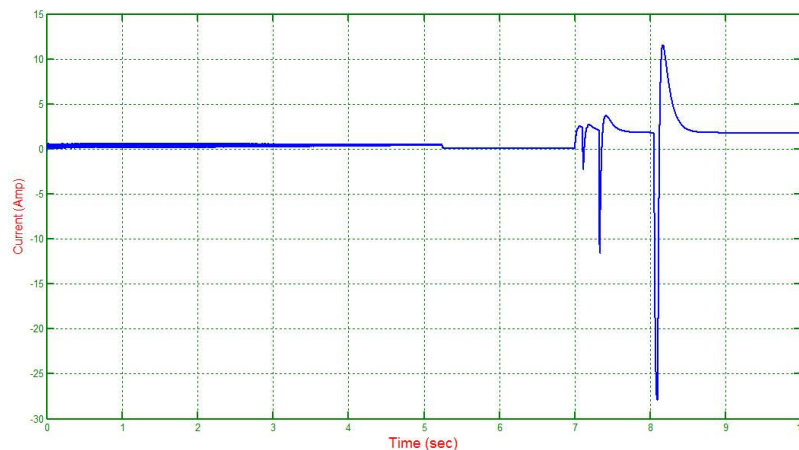
الشكل (2-32): منحنيات استجابة السرعة والتيار عند تنظيم السرعة والتيار وفق طريقة المعاملات الثابتة لمنظمات

$K_{PI}=60$  عند PID



أ- منحنى استجابة السرعة بالنسبة للزمن





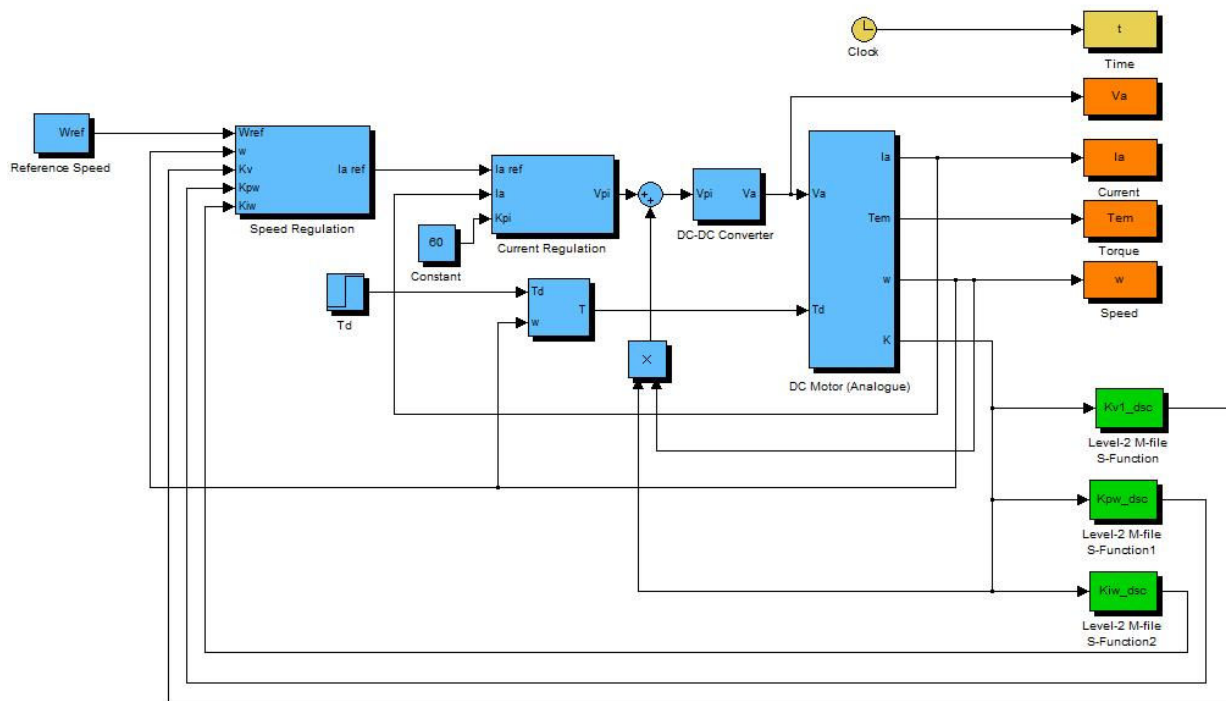
**ب- منحني استجابة التيار بالنسبة للزمن**

الشكل (2-33): منحنيات استجابة السرعة والتيار عند تنظيم السرعة مع التيار وفق طريقة المعاملات الثابتة لمنظمات

 $K_{PI} = 110$  عن PID

ب- المعاييرة الآنية لقيم معاملات منظمات  $PID$

يبين الشكل (2-34) المخطط الصندوقي لدارة التحكم بتنظيم السرعة مع تنظيم التيار وفق مبدأ المعاييرة الأنية. إن الهدف من استخدام عناصر *S-Function* في بيئة التصميم *MATLAB-SIMULINK* هو حساب قيم معاملات منظمات *PID* بشكل آني مع تغير قيمة  $K$ ، يبين الشكل (2-35) منحنيات الاستجابة لكل من السرعة والتيار عند قيمة  $K_{p-I} = 60$ .



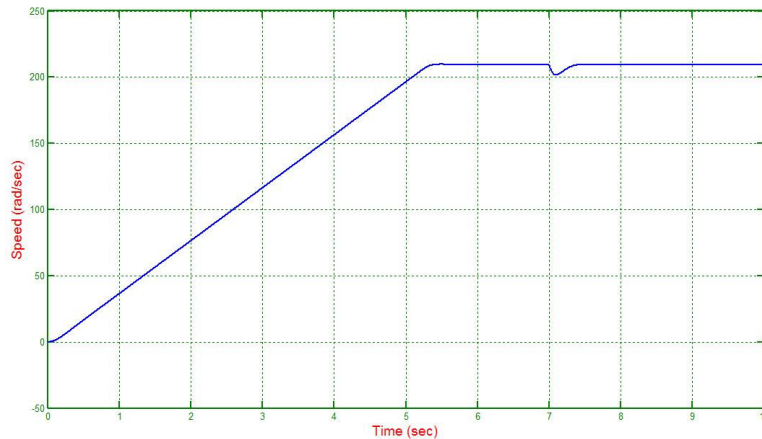
الشكل (2-34): المخطط الصندوقي لدارة التحكم بتنظيم السرعة مع تنظيم التيار وفق مبدأ المعايرة الآتية

بمقارنة منحنيات الاستجابة وفق الشكل (2-35) مع تلك المنحنيات الناتجة عن دائرة التحكم بتنظيم السرعة مع تنظيم التيار عند قيم ثابتة لمعاملات منظمات  $PID$  وعند قيمة  $K_{P-I} = 60$  (الشكل (2-32))، يتضح أن التحسن الذي طرأ على استجابة السرعة وفق طريقة معاملات  $PID$  الثابتة كان على حساب الازدياد الكبير لتيار الحمل المستقر عن التيار الاسمي عند لحظة تطبيق الحمل الكلي، كما أن عودة التيار إلى قيمته المرجعية

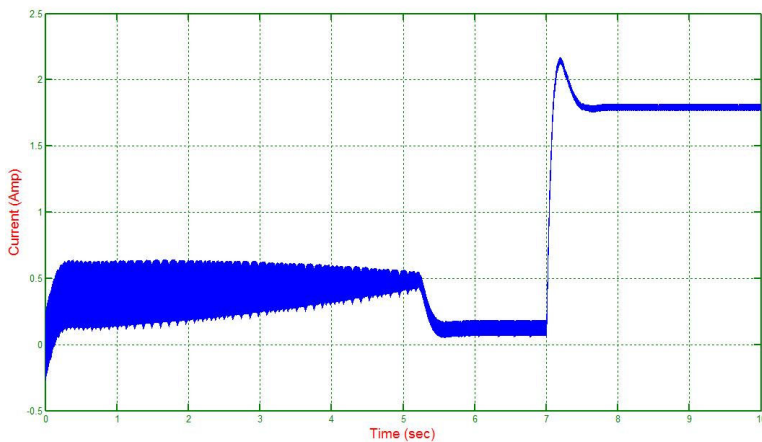


الاسمية بعد تطبيق الحمل الكامل يكون بشكل اهتزازي وفق طريقة المعاملات الثابتة، وهذا على خلاف طريقة المعايرة الآتية حيث يعود التيار بشكل أسي وناعم.

من ناحية أخرى، عند مقارنة منحنيات الاستجابة لكل من السرعة والتيار بين طريقة المعايرة الآتية عند قيمة  $K_{PI} = 60$  وطريقة المعايرة مع إهمال رد فعل المتحرض عند قيمة  $K_{PI} = 30$  يتبين أن التيار المستقر عند لحظة تطبيق الحمل الكلي وفق طريقة المعايرة الآتية يكون أقل من التيار المستقر حسب طريقة المعايرة مع إهمال رد فعل المتحرض، بالإضافة إلى الأثر الواضح للطبيعة الاهتزازية المتخادمة لكل من منحنى السرعة والتيار وفق طريقة المعايرة مع إهمال رد فعل المتحرض لحظة تطبيق الحمل الكلي.



أ- منحنى استجابة السرعة بالنسبة للزمن



ب- منحنى استجابة التيار بالنسبة للزمن

الشكل (2-35): منحنيات استجابة السرعة والتيار عند تنظيم السرعة مع التيار وفق مبدأ المعايرة الآتية عند  $K_{PI} = 60$  يُستنتج مما سبق أن طريقة تنظيم السرعة مع تنظيم التيار عند أخذ رد فعل المتحرض بعين الاعتبار وفق طريقة المعايرة الآتية لمعاملات منظمات  $PID$  هي الطريقة الأفضل بين الطرق المدروسة.   
 بنتيجة الدراسة السابقة نلاحظ ما يلي:

- طريقة تنظيم السرعة مع تنظيم التيار أنتجت منظومة تحكم جيدة، وقيم التيار كانت ضمن الحدود المسموح بها.
- من أجل شكل استجابة معين (قيمة مفروضة لـ  $\xi$ ) يمكن اختيار سرعة الاستجابة للسرعة في طريقة تنظيم السرعة مع تنظيم التيار بينما تكون سرعة الاستجابة للسرعة ثابتة وفق طريقة

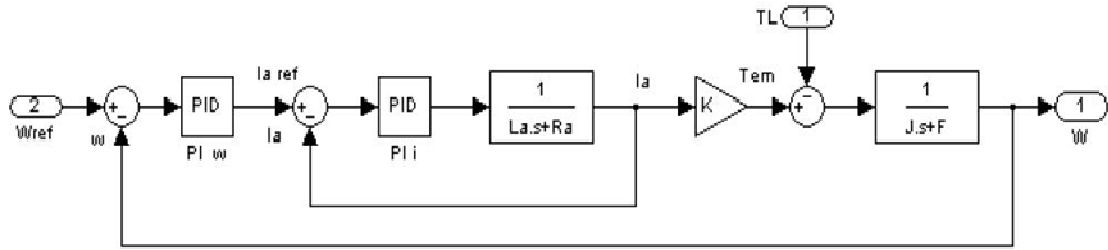
تنظيم السرعة بدون تنظيم التيار.

## 8.2. دراسة تأثير بعض المعاملات على استجابة نظام التحكم

### 1.8.2. دراسة تأثير المنظم التناسبي $K_V$ على استجابة النظام

أ- دراسة تأثير حذف المنظم التناسبي

عند حذف المنظم التناسبي الموجود في الحلقة الداخلية لتنظيم السرعة وفق طريقة تنظيم السرعة مع تنظيم التيار يصبح المخطط الصندوقي للنظام كما هو موضح في الشكل (2-36).



الشكل (2-36): المخطط الصندوقي لدارة تنظيم السرعة مع تنظيم التيار عند حذف

المنظم التناسبي من الحلقة الداخلية لتنظيم السرعة

يُعطى تابع انتقال الدارة المغلقة لحلقة تنظيم التيار وفق العلاقة:

$$\frac{I_a}{I_{a-ref}} = \frac{\frac{K_{P-I}}{L_a}}{S + \frac{K_{P-I}}{L_a}} \quad (2-59)$$

انطلاقاً من المخطط الصندوقي السابق يُكتب تابع انتقال الدارة المفتوحة لتنظيم السرعة وفق المعادلة:

$$G(s) = \frac{K_{P-\Omega} \left( S + \frac{K_{I-\Omega}}{K_{P-\Omega}} \right)}{S} \cdot \frac{\frac{K_{P-I}}{L_a}}{S + \frac{K_{P-I}}{L_a}} \cdot \frac{\frac{K}{J}}{S + \frac{F}{J}} \quad (2-60)$$

يمكن اختصار صفر منظم السرعة مع قطب من أقطاب النظام وفق إحدى الفرضيتين التاليتين:

أولاً: بفرض أن  $\frac{K_{I-\Omega}}{K_{P-\Omega}} = \frac{K_{P-I}}{L_a}$  عندئذٍ تكتب معادلة تابع انتقال الدارة المفتوحة للنظام بالعلاقة:

$$G(s) = \frac{\frac{K_{P-\Omega} \cdot K_{P-I} \cdot K}{J \cdot L_a}}{S \left( S + \frac{F}{J} \right)} \quad (2-61)$$

يُعطى تابع انتقال الحلقة المغلقة بالعلاقة التالية:

$$G(s) = \frac{\frac{K_{P-\Omega} \cdot K_{P-I} \cdot K}{J \cdot L_a}}{S^2 + \frac{F}{J} S + \frac{K_{P-\Omega} \cdot K_{P-I} \cdot K}{J \cdot L_a}} \quad (2-62)$$

وعلى فرض أن  $\xi = 0.7$  نجد:

$$2.\xi.\omega_n = \frac{F}{J} \Rightarrow \omega_n = \frac{F}{1.4J} \quad (2-63)$$

وبالتالي تُحسب قيم ثوابت المنظم التناسبي - التكاملي لحلقة تنظيم السرعة حسب العلاقات التالية:

$$K_{P-\Omega} = \frac{\omega_n^2 . J . L_a}{K_{P-I} . K} \quad (2-64)$$

$$K_{I-\Omega} = K_{P-\Omega} \cdot \frac{K_{P-I}}{L_a} \quad (2-65)$$

يُلاحظ عند حذف القطب  $(S + \frac{K_{P-I}}{L_a})$  البعيد عن نقطة الصفر أن قيمة  $\omega_n$  الناتجة صغيرة جداً لأنها تتعلق بقيمة  $\frac{F}{J}$  والتي تملك قيمة صغيرة، وبالتالي فإن سرعة استجابة النظام ستكون منخفضة. بالمقابل لوحظ أن قيمة المعامل التناسبي  $K_{P-\Omega}$  أيضاً صغيرة جداً (لأنها متعلقة كذلك بقيمة  $\frac{F}{J}$ ) وبالتالي سيكون دوره مهماً، حيث يعمل هذا المعامل على تسريع الوصول إلى الحالة المستقرة. أما بالنسبة لقيمة المعامل التكاملي  $K_{I-\Omega}$  فهي أيضاً صغيرة جداً لأنها تتعلق بقيمة  $K_{P-\Omega}$  مما يجعل سرعة عودة الإشارة إلى القيمة المرجعية بعد التحميل بطيئة جداً.

ثانياً: بفرض أن  $\frac{K_{I-\Omega}}{K_{P-\Omega}} = \frac{F}{J}$  عندئذٍ تُكتب معادلة تابع انتقال الدارة المفتوحة للنظام بالعلاقة:

$$G(S) = \frac{\frac{K_{P-\Omega} . K_{P-I} . K}{J . L_a}}{S \left( S + \frac{K_{P-I}}{L_a} \right)} \quad (2-66)$$

أما تابع انتقال الحلقة المغلقة فيُعطى بالمعادلة:

$$\frac{\Omega}{\Omega_{ref}} = \frac{\frac{K_{P-\Omega} . K_{P-I} . K}{J . L_a}}{S^2 + \frac{K_{P-I}}{L_a} . S + \frac{K_{P-\Omega} . K_{P-I} . K}{J . L_a}} \quad (2-67)$$

وبفرض أن  $\xi = 0.7$ :

$$2.\xi.\omega_n = \frac{K_{P-I}}{L_a} \Rightarrow \omega_n = \frac{K_{P-I}}{1.4L_a} \quad (2-68)$$

وبالتالي تُحسب قيم ثوابت المنظم التناسبي - التكاملي لحلقة تنظيم السرعة حسب العلاقات التالية:

$$K_{P-\Omega} = \frac{\omega_n^2 . J . L_a}{K_{P-I} . K} \quad (2-69)$$

$$K_{I-\Omega} = K_{P-\Omega} \cdot \frac{F}{J} \quad (2-70)$$

مما سبق يُلاحظ أنه عند حذف القطب القريب من نقطة الصفر  $(S + \frac{F}{J})$  أصبحت قيمة  $\omega_n$  الناتجة كبيرة نسبياً لأنها تتعلق بقيمة  $\frac{K_{P-I}}{L_a}$  (حيث أن قيمة  $K_{P-I}$  هي قيمة مفروضة) وهذا بدوره يؤمن سرعة استجابة كبيرة نسبياً، بالمقابل ازدادت قيمة  $K_{P-\Omega}$  مقارنة مع الحالة السابقة ودورها لم يعد مهماً، أما قيمة  $K_{I-\Omega}$  فقد زادت أيضاً ولكنها لا تزال صغيرة لأنها تتعلق بقيمة  $\frac{F}{J}$  مما يجعل سرعة عودة الإشارة إلى القيمة المرجعية بعد التحميل بطيئة.

#### ب- دراسة تأثير إبقاء المنظم التناسبي في النظام

لوحظ عند إضافة المنظم التناسبي  $K_V$  أن قيمة  $\omega_n$  الناتجة تزداد بزيادة  $K_{P-I}$  (المعادلة (2-51))، ولكن الزيادة هنا تتم بنسبة أقل من الحالة السابقة (المعادلة (2-68))، إلا أن النظام لا يزال قادراً على تأمين سرعة استجابة عالية. بالمقابل لوحظ أيضاً أن قيمة  $K_{I-\Omega}$  عند إضافة المنظم التناسبي (المعادلة (2-58)) أصبحت أكبر بكثير من قيمتها عند حذفه (المعادلة (2-70)) مما يؤدي إلى زيادة كبيرة في سرعة عودة الإشارة إلى القيمة المرجعية وبالتالي سرعة عالية في تصحيح الخطأ، أي أن استجابة النظام أصبحت أفضل بعد إضافة المنظم التناسبي.

بمقارنة النتائج السابقة يُلاحظ أن دور  $K_V$  هو تقريب القطبين الحقيقيين  $(S + \frac{F}{J})$ ،  $(S + \frac{K_{P-I}}{L_a})$  من بعضهما البعض مما يؤدي إلى الحصول على قيم جيدة لكل من  $(K_{I-\Omega}, \omega_n)$  وبالتالي زيادة استقرار النظام.

#### 2.8.2. تأثير القوة المحركة الكهربائية العكسية ( $E_a$ ) على استجابة النظام

لاحظنا في دراستنا السابقة أنه عند عدم وجود المنظم التناسبي  $K_V$  وحذف القطب القريب من نقطة الصفر  $(S + \frac{F}{J})$ ، أن شكل الاستجابة الناتج لا يطابق شكل الاستجابة المطلوب في حالة  $(\xi = 0.7)$ ، وقد تبين أن هذا الاختلاف يعود إلى أنه عند دراسة تنظيم السرعة مع تنظيم التيار لم يؤخذ بعين الاعتبار تعويض قيمة  $E_a$  والتي تعطى وفق العلاقة (1-25). إن قيمة  $E_a$  تزداد بازدياد  $\Omega$  وبالتالي فإن لها قيمة متزايدة بسرعة في الحالة العابرة، وعند تعويض قيمة  $E_a$  لوحظ تحسن واضح في شكل الاستجابة واقتربها من الشكل المطلوب.

أما عند حذف القطب البعيد  $(S + \frac{K_{P-I}}{L_a})$  فإن المشكلة السابقة المتعلقة بشكل الاستجابة لم تظهر بشكل واضح وذلك بسبب البطء الشديد في استجابة النظام.

#### بعض الملاحظات الهامة المتعلقة بطريقة منظمات PID

- إن دور المنظم التناسبي  $K_V$  هو تغيير مواقع أقطاب النظام دون أن يؤدي إضافته إلى تغيير مرتبة النظام.
- هناك سببان رئيسيان لإضافة المنظم  $PI$  هما:  
 ✧ إلغاء الخطأ الستاتيكي للنظام والناتج عن وجود قيمة للربح في تابع الانتقال عند الحالة المستقرة ( $S=0$ ) لا تساوي الواحد.

- ✧ اختزال أحد قطبي النظام مع الصفر الناتج عن المنظم  $PI$  وبالتالي الحفاظ على مرتبة النظام.
- عند استخدام المنظم التكاملي  $I$  لوحده بدلاً من المنظم  $PI$  فإنه يقوم بإلغاء الخطأ الستاتيكي في الحالة المستقرة ولكنه يغير مرتبة النظام.

مثال: ليكن لدينا تابع انتقال الدارة المفتوحة لجملة التحكم (محرك  $DC$  - منظم  $P$ ):

$$\frac{\Omega}{\Omega_i} = \frac{\frac{K_v \cdot K}{J \cdot L_a}}{S^2 + \frac{J R_a + F L_a}{J L_a} \cdot S + \frac{R_a \cdot F + K^2 + K_v \cdot K}{J \cdot L_a}} \quad (2-71)$$

يُعطى تابع انتقال المنظم التكاملي  $I$  بالعلاقة:

$$I = \frac{K_I}{S} \quad (2-72)$$

وبالتالي يصبح تابع انتقال الدارة المفتوحة للجملة (محرك  $DC$  - منظم  $P$  - منظم  $I$ ) كما هو مبين بالعلاقة:

$$G(S) = \frac{K_I}{S} \cdot \frac{\frac{K_v \cdot K}{J \cdot L_a}}{S^2 + \frac{J R_a + F L_a}{J L_a} \cdot S + \frac{R_a \cdot F + K^2 + K_v \cdot K}{J \cdot L_a}} \quad (2-73)$$

أما تابع انتقال الدارة المغلقة لهذه الجملة فيُعطى وفق العلاقة التالية:

$$\frac{\Omega}{\Omega_{ref}} = \frac{\frac{K_I \cdot K_v \cdot K}{J \cdot L_a}}{S \cdot \left( S^2 + \frac{J R_a + F L_a}{J L_a} \cdot S + \frac{R_a \cdot F + K^2 + K_v \cdot K}{J \cdot L_a} \right) + \frac{K_I \cdot K_v \cdot K}{J \cdot L_a}} \quad (2-74)$$

في الحالة المستقرة ( $S = 0$ ):

$$\frac{\Omega}{\Omega_{ref}} = 1 \Rightarrow k = 1 \quad (2-75)$$

يتضح مما سبق أن المنظم التكاملي قد قام بإلغاء الخطأ الستاتيكي ولكن مرتبة النظام تغيرت إلى المرتبة الثالثة.

## 9.2. النمذجة الرقمية لنظام التحكم المدروس

تهدف النمذجة الرقمية إلى تمثيل منظومة التحكم وفق نظام إشارات منقطعة بدلاً من النظام المستمر، وهذا بدوره يقود إلى إمكانية برمجة هذه المنظومة ضمن إحدى المتحكمات الصغرية أو معالجات الإشارة الرقمية. إن المعادلات التي تمثل محرك التيار المستمر ومنظومة التحكم بسرعه هي معادلات تفاضلية ذات مداخل ومخارج تشابهية، وحتى يكون من الممكن تمثيل النظام رقمياً فإنه لا بد من إيجاد طريقة لتحويل المعادلات التفاضلية إلى معادلات فرقية. تُستخدم عادة الطرق الرياضية العددية بدلاً من الطرق التحليلية في إيجاد حلول المعادلات التفاضلية المعبرة عن نظم التحكم التطبيقية وذلك من خلال تمثيل هذه المعادلات في مجال الزمن المتقطع، وفيما يلي بعض أهم الطرق العددية المستخدمة في حل المعادلات التفاضلية [7]:

1- طريقة Euler

2- طريقة Runge – Kutta

3- طريقة معادلات Bessel

### 1.9.2. تحويل نظام التحكم من مجال الزمن المستمر إلى مجال الزمن المنقطع

هناك طرق عديدة يعتمد عليها برنامج MATLAB لحل المعادلات التفاضلية، لعل من أبسطها طريقة أولر (Euler).

#### • طريقة أولر العكسية

لشرح طريقة أولر العكسية سنفرض أن لدينا نظام ذو تابع انتقال من المرتبة الأولى [8]:

$$\frac{y}{x} = \frac{G}{\tau \cdot S + 1} \quad (2-76)$$

حيث:

$y$ : إشارة خرج النظام.

$x$ : إشارة دخل النظام.

$G$ : ربح النظام.

$\tau$ : زمن وصول استجابة الخرج إلى 63.2% من الحالة المستقرة.

يتم حساب الميل  $m$  وفق هذه الطريقة بأخذ العينة السابقة ( $y_{k-1}$ ) والعينة الحالية ( $y_k$ )، حسب العلاقة:

$$m = \frac{y_k - y_{k-1}}{T} = \frac{dy}{dx} \quad (2-77)$$

حيث  $T$  هو زمن أخذ العينات. من تابع الانتقال السابق وبضرب الطرفين بالوسطين نجد:

$$\tau \cdot S \cdot y + y = Gx \quad (2-78)$$

وبما أن معامل لابلاس  $S = \frac{d}{dt}$ ، عندئذٍ تكتب معادلة الميل بالعلاقة:

$$S \cdot y = \frac{y_k - y_{k-1}}{T} \quad (2-79)$$

بالتعويض نجد أن:

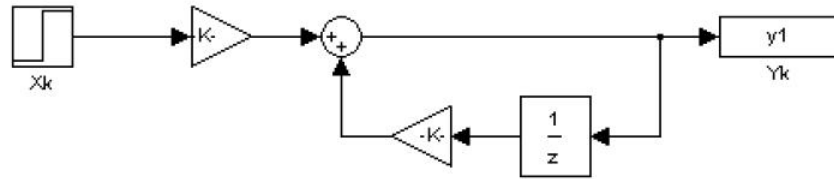
$$\tau \cdot \frac{y_k - y_{k-1}}{T} + y_k = Gx_k \quad (2-80)$$

$$\Rightarrow \left( \frac{\tau + T}{T} \right) \cdot y_k = \left( \frac{\tau}{T} \right) \cdot y_{k-1} + Gx_k \quad (2-81)$$

إن إشارة خرج النظام في مجال الزمن المنقطع تُعطى بالعلاقة التالية:

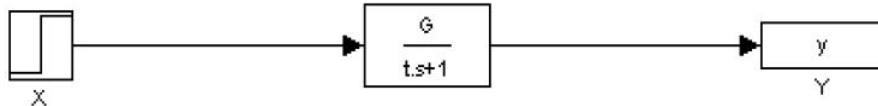
$$y_k = \left( \frac{\tau}{\tau + T} \right) \cdot y_{k-1} + \left( \frac{T}{\tau + T} \right) \cdot Gx_k \quad (2-82)$$

يمكن تمثيل المعادلة السابقة بالمخطط الصندوقي المبين بالشكل (2-37) والذي يعبر عن تابع الانتقال في مجال الزمن المنقطع.



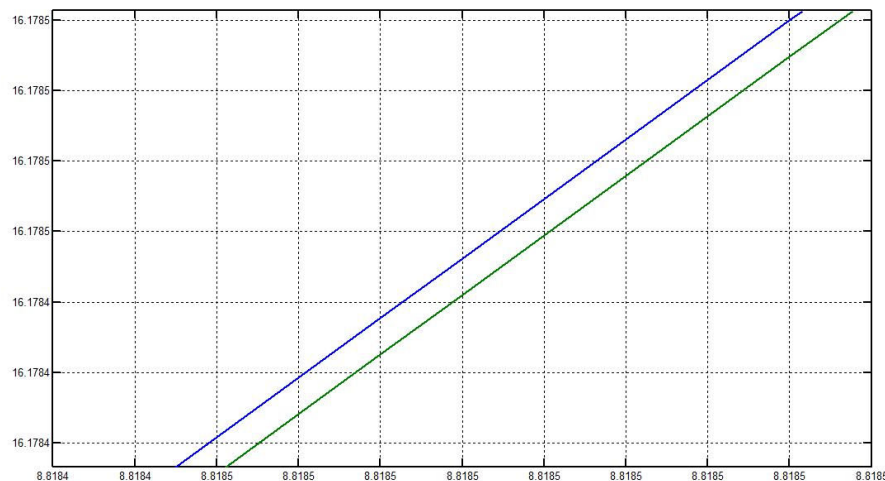
الشكل (2-37): المخطط الصندوقي الممثل لتابع انتقال من المرتبة الأولى وفق طريقة أويلر العكسية

بينما يبين الشكل (2-38) المخطط الصندوقي لتابع الانتقال في مجال الزمن المستمر.



الشكل (2-38): المخطط الصندوقي لتابع انتقال من الدرجة الأولى ممثلاً في مجال الزمن المستمر

بتمثيل كلا المخططين السابقين وفق بيئة MATLAB-SIMULINK، ورسم منحنى الاستجابة لكل منهما، نجد أن المنحنيين غير متطابقين (شكل (2-39))، مما يشير إلى أن بيئة MATLAB لا تعمل حسب طريقة أويلر العكسية.



الشكل (2-39): مقارنة منحنى الاستجابة الزمنية بين مجال الزمن المتقطع (طريقة أويلر العكسية) ومجال الزمن المستمر

#### • طريقة أويلر الأمامية

يتم حساب الميل في هذه الطريقة بأخذ العينة الحالية ( $y_k$ ) والعينة التالية ( $y_{k+1}$ )، كما هو موضح بالعلاقة [8]:

$$m = \frac{y_{k+1} - y_k}{T} = \frac{dy}{dx} \quad (2-83)$$

بتعويض العلاقة  $S.y = \frac{y_{k+1} - y_k}{T}$  بقيمتها في علاقة تابع الانتقال من المرتبة الأولى نجد ما يلي:

$$\tau \cdot \frac{y_{k+1} - y_k}{T} + y_k = Gx_k \quad (2-84)$$

بأخذ  $y_k$  عامل مشترك ونقل هذا الحد إلى الطرف الثاني نجد:

$$y_{k+1} \left( \frac{\tau}{T} \right) = Gx_k - y_k \left( \frac{T - \tau}{T} \right) \quad (2-85)$$

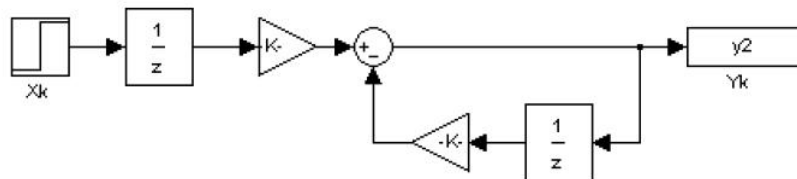
نضرب الطرفين بـ  $\left( \frac{T}{\tau} \right)$

$$y_{k+1} = \left(\frac{T}{\tau}\right)Gx_k - \left(\frac{T-\tau}{\tau}\right)y_k \quad (2-86)$$

بأخذ العينة السابقة نحصل على العلاقة المعبرة عن طريقة أويلر الأمامية:

$$y_k = \left(\frac{T}{\tau}\right)Gx_{k-1} - \left(\frac{T-\tau}{\tau}\right)y_{k-1} \quad (2-87)$$

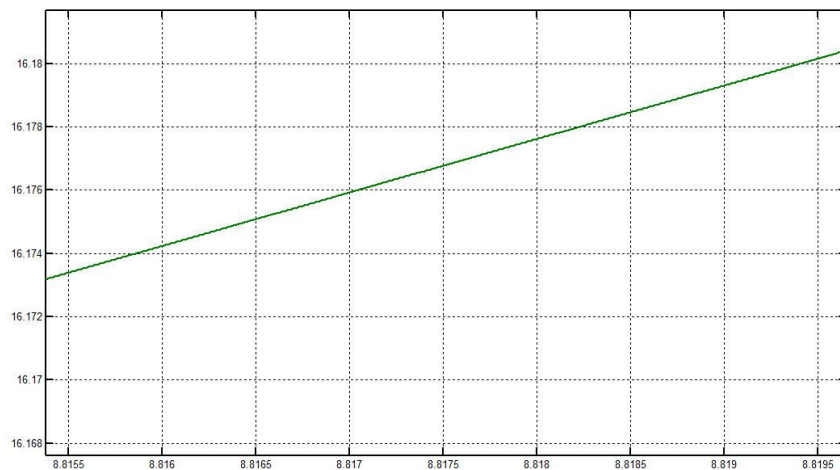
يمكن تمثيل المعادلة السابقة بالمخطط الصندوقي المبين بالشكل (2-40) والذي يعبر عن تابع الانتقال في مجال الزمن المنقطع.



الشكل (2-40): المخطط الصندوقي الممثل لتابع انتقال من المرتبة الأولى وفق طريقة أويلر الأمامية

بينما يبين الشكل (2-38) المخطط الصندوقي لتابع الانتقال في مجال الزمن المستمر. بتمثيل كلا المخططين السابقين وفق بيئة MATLAB-SIMULINK، ورسم منحنى الاستجابة لكل منهما، ومن ثم مقارنة المنحنيين مع بعضهما البعض نجد أنهما متطابقين تماماً (الشكل (2-41))، مما يشير إلى أن بيئة MATLAB-SIMULINK تعمل وفق طريقة أويلر الأمامية.

والجدير بالذكر أنه يمكن استخدام أي من الطريقتين السابقتين في عملية تحويل المعادلات التفاضلية من مجال الزمن المستمر إلى مجال الزمن المنقطع.



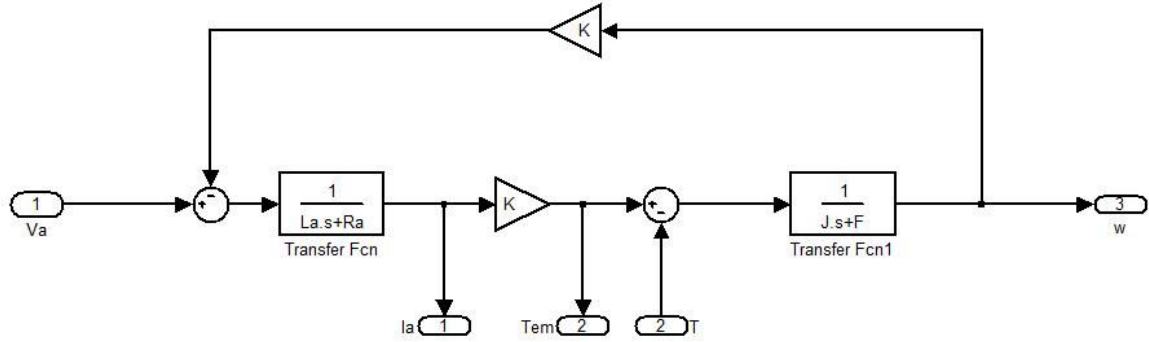
الشكل (2-41): مقارنة منحنى الاستجابة الزمنية بين مجال الزمن المنقطع (طريقة أويلر الأمامية) ومجال الزمن المستمر

## 2.9.2. تحويل نظام التحكم المستمر المدروس إلى النظام الرقمي

### أ - تحويل معادلات المحرك

يبين الشكل (2-42) المخطط الصندوقي لمحرك التيار المستمر. يتألف المخطط الصندوقي للمحرك المدروس من تابعي انتقال من المرتبة الأولى، ولتحويل هذين التابعين إلى الشكل المنقطع تم الاعتماد على طريقة أويلر الأمامية.





الشكل (2-42): المخطط الصندوقي لمحرك التيار المستمر ذي التهيج المستقل

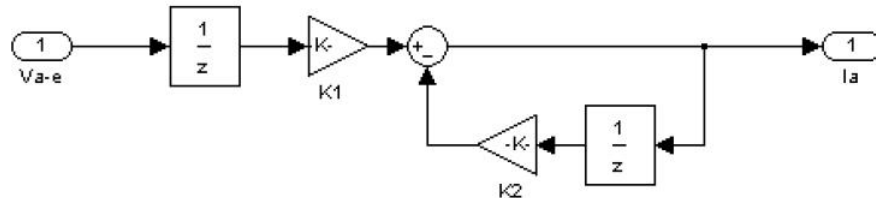
يُكتب تابع الانتقال الأول وفق العلاقة التالية:

$$\frac{I_a}{V_a - E} = \frac{\frac{1}{R_a}}{\frac{L_a}{R_a} \cdot S + 1} \quad (2-88)$$

بمقارنة تابع الانتقال السابق مع الشكل العام لتابع الانتقال من المرتبة الأولى والتعويض في الصيغة الرياضية لمعادلة أولير الأمامية (المعادلة (2-87)) نجد ما يلي:

$$I_a = \left( \frac{T}{L_a} \right) (V_a - E)_{k-1} - \left( \frac{TR_a - L_a}{L_a} \right) I_{a \ k-1} \quad (2-89)$$

يمكن رسم المخطط الصندوقي لتابع الانتقال المكافئ للمعادلة (2-89) في مجال الزمن المتقطع كما هو موضح بالشكل (2-43):



الشكل (2-43): المخطط الصندوقي الممثل لتابع الانتقال المعطى بالعلاقة (2-88) وفق طريقة أولير الأمامية

$$\text{حيث أن } K_1 = \left( \frac{T}{L_a} \right) \text{ و } K_2 = \left( \frac{TR_a - L_a}{L_a} \right)$$

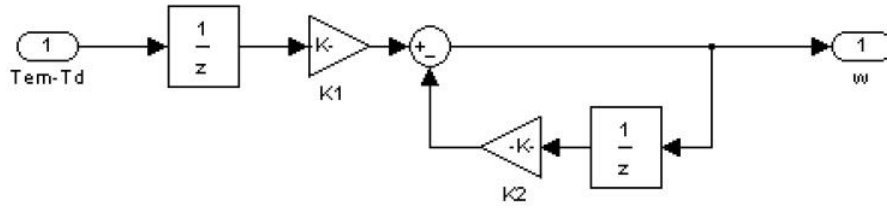
أما تابع الانتقال الثاني الممثل للجزء الميكانيكي فيعطى بالعلاقة:

$$\frac{\Omega}{T_{em} - T_d} = \frac{\frac{1}{F}}{\frac{J}{F} \cdot S + 1} \quad (2-90)$$

بمقارنة تابع الانتقال السابق مع الشكل العام لتابع الانتقال من المرتبة الأولى والتعويض في المعادلة (2-87) نجد أن:

$$\Omega_k = \left( \frac{T}{J} \right) (T_{em} - T_d)_{k-1} - \left( \frac{TF - J}{J} \right) \Omega_{k-1} \quad (2-91)$$

وبالتالي يرسم المخطط الصندوقي الممثل للمعادلة (2-91) كما هو مبين في الشكل (2-44).



الشكل (2-44): المخطط الصندوقي الممثل لتابع الانتقال المعطى بالعلاقة (2-90) وفق طريقة أولير الأمامية

$$\text{حيث أن } K_1 = \left( \frac{T}{J} \right) \text{ و } K_2 = \left( \frac{TF - J}{J} \right)$$

ب - تحويل تابع انتقال المنظم التناسبي التكاملي  $PI$

إن الشكل العام لتابع انتقال المنظم التناسبي-التكاملي يُعطى بالعلاقة:

$$\frac{y}{x} = K_p + \frac{K_i}{S} \quad (2-92)$$

يمكن كتابة خرج هذا المنظم بالشكل التالي:

$$y = y_p + y_i \quad (2-93)$$

$$\text{حيث أن } y_p = K_p \cdot x \text{ و } y_i = \frac{K_i}{S} \cdot x$$

إن خرج المنظم التناسبي في مجال الزمن المتقطع يُعطى بالعلاقة:

$$y_{pk} = K_p \cdot x_k \quad (2-94)$$

أما خرج المنظم التكاملي فيُعطى بالعلاقة التالية:

$$y_i = \frac{K_i}{S} \cdot x \Rightarrow S \cdot y_i = K_i \cdot x \quad (2-95)$$

باستبدال  $S \cdot y_i$  في العلاقة السابقة بما يكافؤها وفق طريقة أولير الأمامية نجد:

$$\frac{y_{i_{k+1}} - y_{i_k}}{T} = K_i x_k \quad (2-96)$$

بالإصلاح:

$$y_{i_{k+1}} = y_{i_k} + (K_i T) x_k \quad (2-97)$$

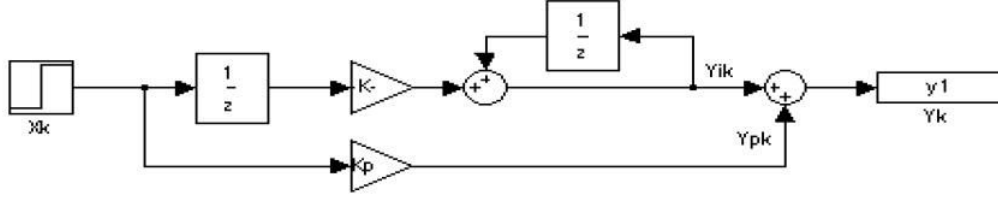
بأخذ العينة السابقة، عندئذٍ تكتب المعادلة المعبرة عن المنظم التكاملي في مجال الزمن المتقطع بالعلاقة:

$$y_{i_k} = y_{i_{k-1}} + (K_i T) x_{k-1} \quad (2-98)$$

إن المعادلة المعبرة عن خرج المنظم  $PI$  في مجال الزمن المتقطع تُعطى بالمعادلة:

$$y_k = K_p \cdot x_k + y_{i_{k-1}} + (K_i T) x_{k-1} \quad (2-99)$$

يبين الشكل (2-45) المخطط الصندوقي المكافئ للمعادلة (2-99).



الشكل (2-45): المخطط الصندوقي لتابع الانتقال الممثل للمنظم التناسبي-التكاملي وفق طريقة أويلر الأمامية

### ج - تحويل تابع انتقال المنظم التناسبي

عند تحويل المنظم التناسبي  $K_V$  إلى الشكل المنقطع فإنه يكفي التعويض عنه بتابع ربح (Gain) قيمته  $K_V$ .

### 10.2. النظام الواحدي

إن النظام الواحدي هو نظام تتراوح قيم جميع بارامتراته بين الصفر والواحد أو تساويهما، حيث يتم نسب قيم هذه البارامترات إلى قيم مرجعية.

يفضل الباحثون التعامل مع النظام الواحدي للأسباب التالية:

- سهولة عملية تحليل متغيرات النظام ومراقبة أدائه، حيث أن المراقب ليس مضطراً لمعرفة المجالات الحقيقية لهذه المتغيرات لأن كل القيم تتراوح بين 0 و 1 وبالتالي يستطيع تقييم عمل النظام وفقاً لذلك.
- ديناميكية أكبر في التعامل مع بارامترات النظام برمجياً، وهذا يعني إمكانية تعديل قيم البارامترات بنسب معينة دون أن الإضرار لحساب القيم الحقيقية، فمثلاً إذا أريد تخفيض جهد المتحرض بنسبة 30% فإنه يكفي كتابة  $V_a = 0.7$  بدلاً من إجراء العملية الحسابية التالية:  $V_a = 220 * 0.7$ . وبالتالي فإن النظام الواحدي يؤمن سهولة البرمجة.

- قد يتسبب تمثيل قيم الثوابت والمتحولات بشكلها الحقيقي بعدد محدد من الخانات في شريحة قابلة للبرمجة (مثل شريحة FPGA) إلى حدوث طفحان عند إجراء أي عملية ضرب [8].

### 1.10.2. تحويل المعادلات الممثلة لجملة التحكم المدروسة من النظام الرقمي إلى النظام الواحدي

#### أ - معادلات المحرك

إن المعادلات الرياضية الرقمية المعبرة عن محرك التيار المستمر تُعطى بالعلاقات التالية:

$$1 - I_{a_k} = \frac{T}{L_a} \cdot (V_a - E)_{k-1} - \frac{TR_a - L_a}{L_a} \cdot I_{a_{k-1}} \quad (2-100)$$

$$2 - \Omega_k = \frac{T}{J} \cdot (T_{em} - T_d)_{k-1} - \frac{TF - J}{J} \cdot \Omega_{k-1} \quad (2-101)$$

$$3 - T_{em} = K \cdot I_{a_k} \quad (2-102)$$

$$4 - E_k = K \cdot \Omega_k \quad (2-103)$$

فيما يلي سيتم تحويل كل معادلة من المعادلات السابقة على حدة إلى النظام الواحدي.

#### المعادلة الأولى

ننسب حدود المعادلة (2-100) إلى القيمة الاسمية (أو الأعظمية) للتيار على الشكل التالي:

$$\frac{I_{a_k}}{I_{a_{\max}}} = \frac{T}{L_a \cdot I_{a_{\max}}} \cdot (V_a - E)_{k-1} - \frac{TR_a - L_a}{L_a} \cdot \frac{I_{a_{k-1}}}{I_{a_{\max}}} \quad (2-104)$$

نضرب ونقسم الحد  $\frac{T}{L_a \cdot I_{a_{\max}}} \cdot (V_a - E)_{k-1}$  بالقيمة الأعظمية للجهد:

$$\frac{I_{a_k}}{I_{a_{\max}}} = \frac{T \cdot V_{a_{\max}}}{L_a \cdot I_{a_{\max}}} \cdot \frac{(V_a - E)_{k-1}}{V_{a_{\max}}} - \frac{TR_a - L_a}{L_a} \cdot \frac{I_{a_{k-1}}}{I_{a_{\max}}} \quad (2-105)$$

يُعطى الشكل النهائي للمعادلة الأولى وفق النظام الواحدي بالعلاقة:

$$\boxed{I_{a_{u_k}} = \frac{T \cdot V_{a_{\max}}}{L_a \cdot I_{a_{\max}}} \cdot (V_a - E)_{u_{k-1}} - \frac{TR_a - L_a}{L_a} \cdot I_{a_{u_{k-1}}}} \quad (2-106)$$

حيث:

- $I_{a_{\max}}$  القيمة الأعظمية لتيار المتحرض.
- $V_{a_{\max}}$  القيمة الأعظمية لجهد المتحرض.
- $I_{a_u} = \frac{I_a}{I_{a_{\max}}}$  القيمة الواحدية لتيار المتحرض.
- $V_{a_u} = \frac{V_a}{V_{a_{\max}}}$  القيمة الواحدية لجهد المتحرض.
- $E_u = \frac{E}{V_{a_{\max}}}$  القيمة الواحدية للقوة المحركة الكهربائية العكسية.

المعادلة الثانية

نقوم بنسب حدود المعادلة (2-101) إلى القيمة الاسمية (أو الأعظمية) للسرعة:

$$\frac{\Omega_k}{\Omega_{\max}} = \frac{T}{J \cdot \Omega_{\max}} \cdot (T_{em} - T_d)_{k-1} - \frac{TF - J}{J} \cdot \frac{\Omega_{k-1}}{\Omega_{\max}} \quad (2-107)$$

نضرب ونقسم الحد  $\frac{T}{J \cdot \Omega_{\max}} \cdot (T_{em} - T_d)_{k-1}$  بالقيمة الأعظمية للعزم:

$$\frac{\Omega_k}{\Omega_{\max}} = \frac{T \cdot T_{em_{\max}}}{J \cdot \omega_{\max}} \cdot \frac{(T_{em} - T_d)_{k-1}}{T_{em_{\max}}} - \frac{TF - J}{J} \cdot \frac{\Omega_{k-1}}{\Omega_{\max}} \quad (2-108)$$

وبالتالي يصبح الشكل النهائي للمعادلة الثانية الممثلة للمحرك وفق النظام الواحدي:

$$\boxed{\Omega_{u_k} = \frac{T \cdot T_{em_{\max}}}{J \cdot \Omega_{\max}} \cdot (T_{em} - T_d)_{u_{k-1}} - \frac{TF - J}{J} \cdot \Omega_{u_{k-1}}} \quad (2-109)$$

حيث:

- $\Omega_{\max}$  القيمة الأعظمية لسرعة المحرك.
- $T_{em_{\max}}$  القيمة الأعظمية للعزم الكهرومغناطيسي.
- $\Omega_u = \frac{\Omega}{\Omega_{\max}}$  القيمة الواحدية لسرعة المحرك.

$$\bullet \quad T_{em_u} = \frac{T_{em}}{T_{em_{max}}} \text{ القيمة الواحدة للعزم الكهرومغناطيسي.}$$

$$\bullet \quad T_{d_u} = \frac{T_d}{T_{em_{max}}} \text{ القيمة الواحدة لعزم الحمل.}$$

### المعادلة الثالثة

نقوم بنسب حدود المعادلة (2-102) إلى القيمة الاسمية (أو الأعظمية) للعزم:

$$\frac{T_{em_k}}{T_{em_{max}}} = \frac{K}{T_{em_{max}}} \cdot I_{a_k} \quad (2-110)$$

نضرب ونقسم الطرف الثاني للمعادلة بـ  $I_{a_{max}}$ :

$$\frac{T_{em_k}}{T_{em_{max}}} = \frac{K \cdot I_{a_{max}}}{T_{em_{max}}} \cdot \frac{I_{a_k}}{I_{a_{max}}} \quad (2-111)$$

يُعطى الشكل النهائي للمعادلة الثالثة للمحرك وفق النظام الواحد بالعلاقة:

$$T_{em_{u_k}} = \frac{K \cdot I_{a_{max}}}{T_{em_{max}}} \cdot I_{a_{u_k}} \quad (2-112)$$

### المعادلة الرابعة

نقوم بنسب حدود المعادلة (2-103) إلى القيمة الاسمية (أو الأعظمية) لجهد المتحرض:

$$\frac{E_k}{V_{a_{max}}} = \frac{K}{V_{a_{max}}} \cdot \Omega_k \quad (2-113)$$

نضرب ونقسم الطرف الثاني للمعادلة بـ  $\Omega_{max}$ :

$$\frac{E_k}{V_{a_{max}}} = \frac{K \cdot \Omega_{max}}{V_{a_{max}}} \cdot \frac{\Omega_k}{\Omega_{max}} \quad (2-114)$$

وبالتالي يصبح الشكل النهائي للمعادلة الرابعة وفق النظام الواحد:

$$E_{u_k} = \frac{K \cdot \Omega_{max}}{V_{a_{max}}} \cdot \Omega_{u_k} \quad (2-115)$$

### ب - المنظم $PI$ والمنظم $P$

#### 1. تنظيم السرعة بدون تنظيم التيار

##### • معادلة المنظم $PI$

تُعطى المعادلة الرقمية للمنظم  $PI$  بالعلاقة التالية:

$$y_k = K_p \cdot x_k + y_{i_{k-1}} + K_i \cdot T \cdot x_{k-1} \quad (2-116)$$

نعوض عن قيم  $x$  ،  $y$  بما يكافؤها:

$$x = (\Omega_{ref} - \Omega) \quad , \quad y = \Omega_i \quad (2-117)$$

فنحصل على العلاقة التالية:

$$\Omega_{i_k} = K_p \cdot (\Omega_{ref} - \Omega)_k + y_{i_{k-1}} + K_i \cdot T \cdot (\Omega_{ref} - \Omega)_{k-1} \quad (2-118)$$

نقسم طرفي المعادلة على  $\Omega_{\max}$ :

$$\frac{\Omega_{i_k}}{\Omega_{\max}} = K_p \cdot \frac{(\Omega_{ref} - \Omega)_k}{\Omega_{\max}} + \frac{y_{i_{k-1}}}{\Omega_{\max}} + K_i \cdot T \cdot \frac{(\Omega_{ref} - \Omega)_{k-1}}{\Omega_{\max}} \quad (2-119)$$

وبالتالي يصبح الشكل النهائي لمعادلة المنظم  $PI$ :

$$\Omega_{i_{uk}} = K_p \cdot (\Omega_{ref} - \Omega)_{u_k} + y_{i_{uk-1}} + K_i \cdot T \cdot (\Omega_{ref} - \Omega)_{u_{k-1}} \quad (2-120)$$

حيث:

$\Omega_{i_u}$  القيمة الواحدة لخرج المنظم  $PI$  للسرعة.

$y_{i_u}$  القيمة الواحدة لخرج المنظم  $I$ .

$\Omega_{ref_u}$  القيمة الواحدة للسرعة المرجعية.

$\Omega_u$  القيمة الواحدة للسرعة.

#### • معادلة المنظم $P$

تُعطى المعادلة الرقمية للمنظم  $P$  حسب المعادلة التالية:

$$y_k = K_v \cdot x_k \quad (2-121)$$

نعوض قيم  $x$  ،  $y$  بما يكافؤها:

$$x = (\Omega_i - \Omega) \quad , \quad y = V_{pi} \quad (2-122)$$

فنحصل على المعادلة التالية:

$$V_{pi_k} = K_v \cdot (\Omega_i - \Omega)_k \quad (2-123)$$

نقسم طرفي المعادلة على  $V_{a_{\max}}$ :

$$\frac{V_{pi_k}}{V_{a_{\max}}} = \frac{K_v}{V_{a_{\max}}} \cdot (\Omega_i - \Omega)_k \quad (2-124)$$

نضرب ونقسم الطرف الثاني بـ  $\Omega_{\max}$ :

$$\frac{V_{pi_k}}{V_{a_{\max}}} = \frac{K_v \cdot \Omega_{\max}}{V_{a_{\max}}} \cdot \frac{(\Omega_i - \Omega)_k}{\Omega_{\max}} \quad (2-125)$$

يُعطى الشكل النهائي لمعادلة المنظم  $P$  بالعلاقة:

$$V_{pi_{uk}} = \frac{K_v \cdot \Omega_{\max}}{V_{a_{\max}}} \cdot (\Omega_i - \Omega)_{u_k} \quad (2-126)$$

حيث  $V_{pi_u}$  القيمة الواحدة لجهد خرج المنظم  $PI$ .

## 2. تنظيم السرعة مع تنظيم التيار

كما وجدنا سابقاً أن نظام التحكم بتنظيم السرعة مع التيار يتكون من حلقات التنظيم التالية:

منظم  $PI$ ، منظم  $P$  للسرعة ومنظم  $PI$  للتيار.

• معادلة منظم السرعة  $PI$

انطلاقاً من الشكل العام لمعادلة المنظم  $PI$  وفق الشكل الرقمي، نعوض قيم  $x$  ,  $y$  بما يكافؤها:

$$x = (\Omega_{ref} - \Omega) \quad , \quad y = \Omega_i \quad (2-127)$$

وبالتالي نحصل على المعادلة التالية:

$$\Omega_{i_k} = K_{p\Omega} \cdot (\Omega_{ref} - \Omega)_k + y_{i_{k-1}} + K_{i\Omega} \cdot T \cdot (\Omega_{ref} - \Omega)_{k-1}$$

نقسم طرفي المعادلة على  $\Omega_{max}$ :

$$\frac{\Omega_{pi_k}}{\Omega_{max}} = K_{p\Omega} \cdot \frac{(\Omega_{ref} - \Omega)_k}{\Omega_{max}} + \frac{y_{i_{k-1}}}{\Omega_{max}} + K_{i\Omega} \cdot T \cdot \frac{(\Omega_{ref} - \Omega)_{k-1}}{\Omega_{max}} \quad (2-128)$$

وبالتالي يصبح الشكل النهائي للمعادلة:

$$\Omega_{pi_k} = K_{p\Omega} \cdot (\Omega_{ref} - \Omega)_{u_k} + y_{i_{u_{k-1}}} + K_{i\Omega} \cdot T \cdot (\Omega_{ref} - \Omega)_{u_{k-1}} \quad (2-129)$$

• معادلة المنظم  $P$  (منظم الحلقة الداخلية للسرعة)

من الشكل العام لمعادلة المنظم  $P$  بالشكل الرقمي، نعوض قيم  $x$  ,  $y$ :

$$x = (\Omega_i - \Omega) \quad , \quad y = I_{aref} \quad (2-130)$$

فنحصل على المعادلة التالية:

$$I_{aref_k} = K_v \cdot (\Omega_i - \Omega)_k \quad (2-131)$$

نقسم طرفي المعادلة السابقة على  $I_{amax}$ :

$$\frac{I_{aref_k}}{I_{amax}} = \frac{K_v}{I_{amax}} \cdot (\Omega_i - \Omega)_k \quad (2-132)$$

نضرب ونقسم الطرف الثاني بـ  $\Omega_{max}$ :

$$\frac{I_{aref_k}}{I_{amax}} = \frac{K_v \cdot \Omega_{max}}{I_{amax}} \cdot \frac{(\Omega_i - \Omega)_k}{\Omega_{max}} \quad (2-133)$$

وبالتالي يصبح الشكل النهائي للمعادلة:

$$I_{aref_{uk}} = \frac{K_v \cdot \Omega_{max}}{I_{amax}} \cdot (\Omega_i - \Omega)_{u_k} \quad (2-134)$$

• معادلة منظم التيار  $PI$

من الشكل العام لمعادلة المنظم  $PI$  بالشكل الرقمي نعوض قيم  $x$  ,  $y$ :

$$x = (I_{aref} - I_a) \quad , \quad y = V_{pi} \quad (2-135)$$

وبالتالي نحصل على المعادلة التالية:

$$V_{pi_k} = K_{pi} \cdot (I_{aref} - I_a)_k + y_{i_{k-1}} + K_{ii} \cdot T \cdot (I_{aref} - I_a)_{k-1} \quad (2-136)$$

نقسم طرفي المعادلة على  $V_{amax}$ :

$$\frac{V_{pi_k}}{V_{amax}} = \frac{K_{pi}}{V_{amax}} \cdot (I_{aref} - I_a)_k + \frac{y_{i_{k-1}}}{V_{amax}} + \frac{K_{ii} \cdot T}{V_{amax}} \cdot (I_{aref} - I_a)_{k-1} \quad (2-137)$$

نضرب ونقسم الحدين  $\frac{K_{pi}}{V_{a_{max}}}(I_{a_{ref}} - I_a)_k$  و  $\frac{K_{ii}.T}{V_{a_{max}}}(I_{a_{ref}} - I_a)_{k-1}$  بالقيمة الأعظمية للتيار كما يلي:

$$\frac{V_{pi_k}}{V_{a_{max}}} = \frac{K_{pi}.I_{a_{max}}}{V_{a_{max}}} \cdot \frac{(I_{a_{ref}} - I_a)_k}{I_{a_{max}}} + \frac{y_{i_{k-1}}}{V_{a_{max}}} + \frac{K_{ii}.T.I_{a_{max}}}{V_{a_{max}}} \cdot \frac{(I_{a_{ref}} - I_a)_{k-1}}{I_{a_{max}}} \quad (2-138)$$

وبالتالي يصبح الشكل النهائي للمعادلة:

$$V_{pi_k} = \frac{K_{pi}.I_{a_{max}}}{V_{a_{max}}} \cdot (I_{a_{ref}} - I_a)_{u_k} + y_{i_{u_{k-1}}} + \frac{K_{ii}.T.I_{a_{max}}}{V_{a_{max}}} \cdot (I_{a_{ref}} - I_a)_{u_{k-1}} \quad (2-139)$$

تجدر الإشارة إلى أن منحنيات الإستجابة الزمنية الناتجة عن توصيف المعادلات الرياضية للمحرك والمنظمات ممثلةً بشكلها الرقمي وفي النظام الواحد هي مطابقة تماماً للمنحنيات الناتجة عن تمثيل المحرك ونظام القيادة بالمعادلات في مجال الزمن المستمر، إلا أنه يمكن الآن باستخدام المعادلات الرقمية والممثلة في النظام الواحد برمجة نظام القيادة ضمن أي شريحة رقمية.

## 11.2. خلاصة

تعتبر منظمات  $PID$  من أكثر المتحكمات استخداماً في أنظمة التغذية العكسية، وذلك نظراً لبساطتها، وسهولة تصميمها وأدائها المتوازن. تم التعرف خلال هذا الفصل على كيفية تصميم منظومتي تحكم بمحرك تيار مستمر ذي تهيج مستقل هما:

أ- تنظيم سرعة محرك التيار المستمر بدون تنظيم تيار.

ب- تنظيم سرعة محرك التيار المستمر مع تنظيم التيار.

حيث تم بناء عدة نماذج تصميمية لكل من المنظومتين المذكورتين، ومن ثم قورنت منحنيات استجابة السرعة والتيار لكل منها بهدف اختيار المنظومة الأمثل، والنماذج التصميمية المدروسة هي:

أ- تنظيم سرعة المحرك مع إهمال رد فعل المتحرض.

ب- تنظيم سرعة المحرك مع أخذ رد فعل المتحرض بعين الاعتبار، حيث ميزنا في النموذج الأخير بين الحالتين التاليتين:

1- حساب قيم معاملات منظمات  $PID$  عند قيمة محددة وثابتة  $K$ .

2- المعايير الآتية لقيم معاملات منظمات  $PID$ .

بعد إيجاد النموذج الأمثل لتصميم كلا المنظومتين، ونظراً لأن الهدف هو بناء منظومة التحكم ضمن شريحة الـ  $FPGA$  (أي ضمن شريحة رقمية)، كان لا بد من تمثيل النموذج المختار رقمياً ومعبراً عنه في النظام الواحد.



### الفصل الثالث

## تنظيم سرعة محرك التيار المستمر باستخدام خوارزمية التحكم الانزلاقي

### Sliding Mode Control

#### 1.3. مقدمة

يعتبر النمط الانزلاقي عبارة عن نظام عمل خاص بالأنظمة ذات البنية المتغيرة. بدايةً، تم دراسة هذا النوع من الأنظمة في الإتحاد السوفياتي السابق، بعد ذلك أجريت العديد من الأبحاث في مناطق مختلفة من العالم وذلك بهدف إكمال دراسة هذه النظرية ولبحث إمكانية استخدامها في تطبيقات عملية مختلفة. بقي استخدام هذه النظرية محظوراً مدة طويلة بسبب الاهتزازات (التذبذبات) الناتجة عن ظاهرة الانزلاق. في الواقع، كان تردد التقطيع للعناصر الإلكترونية في ذلك الوقت محدوداً.

#### 2.3. الأنظمة ذات البنية المتغيرة (Variable Structure Systems)

يمكن توضيح الفكرة الأساسية لنظرية الأنظمة ذات البنية المتغيرة بواسطة نظام من المرتبة الثانية كما يلي:

$$\begin{aligned} \dot{x}_1 &= x_2 \\ \dot{x}_2 &= -x_1 + 2x_2 + v \end{aligned} \quad (3-1)$$

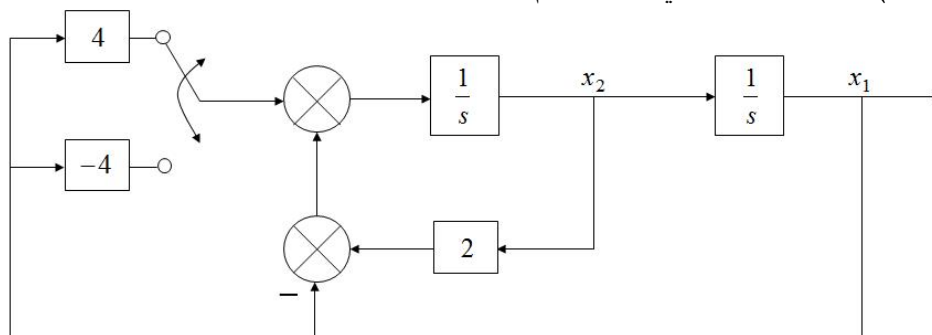
حيث:

$$\begin{aligned} v &= -4x_1 \quad \text{si} \quad s(x_1, x_2) > 0 \\ v &= 4x_1 \quad \text{si} \quad s(x_1, x_2) < 0 \end{aligned} \quad (3-2)$$

و

$$s(x_1, x_2) = x_1(0.5x_1 + x_2) \quad (3-3)$$

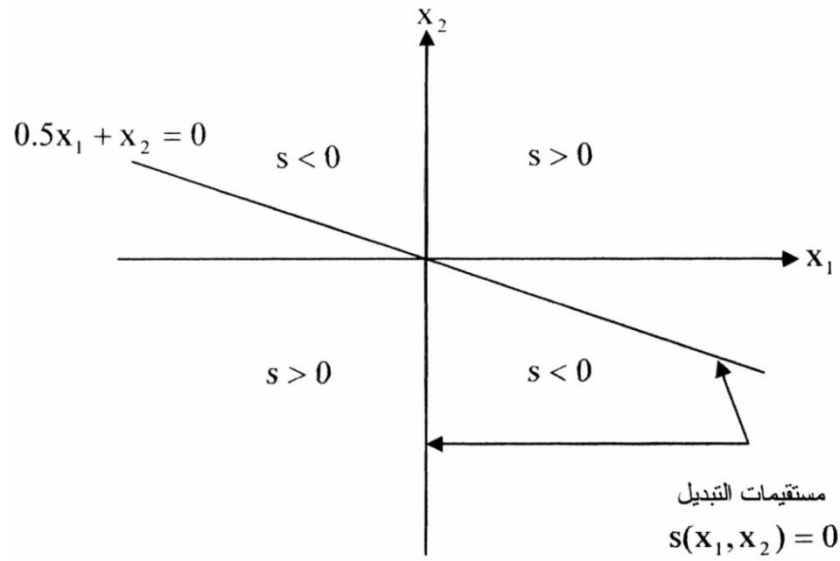
يبين الشكل (1-3) المخطط الصندوقي لهذا النظام:



الشكل (1-3): المخطط الصندوقي للأنظمة ذات البنية المتغيرة

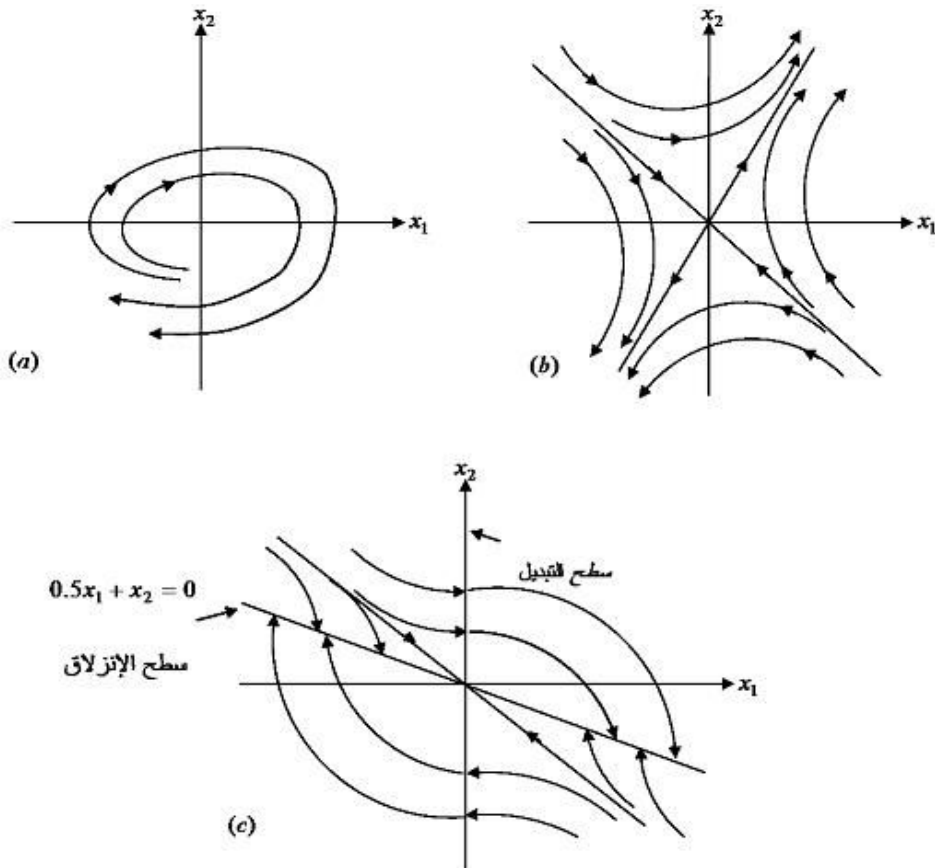
يصف تابع التبديل (3-3) مستقيمين  $x_1=0$  و  $0.5x_1+x_2=0$  يقسمان مستوي الطور  $(x_1, x_2)$  إلى عدة مناطق، حيث تكون إشارة تابع التبديل  $s(x_1, x_2)$  في كل منطقة مختلفة عن المنطقة الأخرى كما هو موضح في الشكل (2-3).

تمثل هذه المستقيمات مجموعة نقاط تعرف بسطح التبديل على الرغم من أن المستقيمين  $x_1=0$  و  $0.5x_1+x_2=0$  لا يمثلان سطحاً بالمفهوم الدقيق لمعنى الكلمة.



الشكل (2-3): المناطق المحددة بواسطة تابع التبديل  $s(x_1, x_2)$

إن تبديل الدخل  $v$  للنظام (1-3) يتم حسب إشارة  $s(x_1, x_2)$ ، وبالتالي يمكن تعريف النظام (1-3) تحليلياً بواسطة النموذجين التاليين:



الشكل (3-3): مسارات متحولات الحالة للمثال التوضيحي (1-3)

عندما يكون التابع  $s(x_1, x_2) > 0$  فإن:

$$\begin{aligned} \dot{x}_1 &= x_2 \\ \dot{x}_2 &= 2x_2 - 5x_1 \end{aligned} \quad (3-4)$$

أما عندما يكون التابع  $s(x_1, x_2) < 0$  فإن:

$$\begin{aligned} \dot{x}_1 &= x_2 \\ \dot{x}_2 &= 2x_2 + 3x_1 \end{aligned} \quad (3-5)$$

ملاحظة: إن النقطة (0,0) هي نقطة الاستقرار (نقطة التوازن لمتحول الحالة في النظام) الوحيدة لكل تابع فرعي.

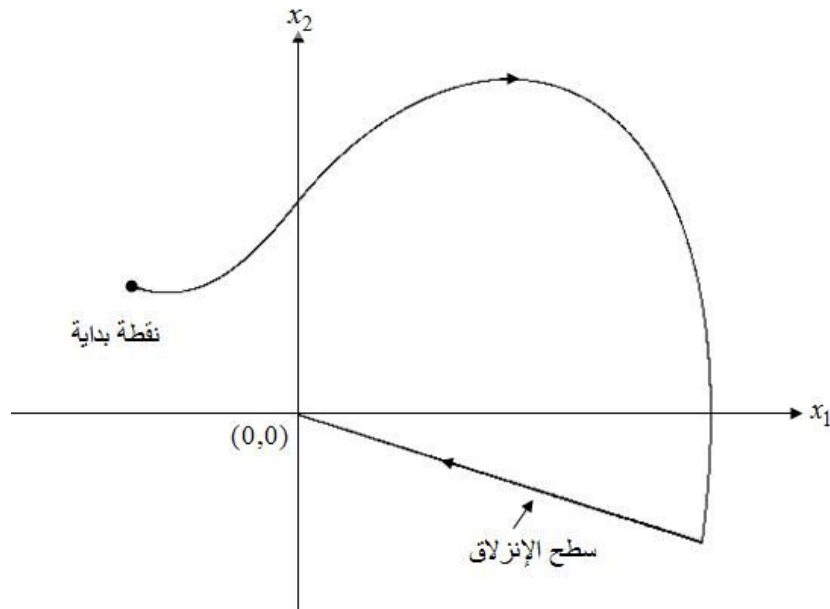
يوضح الشكل (3-3-a,b) مسارات مستوي الطور للأنظمة الفرعية (3-3) و (4-3). نلاحظ أن كل نظام فرعي على حدة يملك نقطة توازن (0,0) غير مستقرة.

للحصول على مستوي الطور الكامل يجب وصف مسار النظام (1-3) على النقاط  $s(x_1, x_2)=0$  في الواقع، تلتقي على المستقيم  $x_1=0$  مسارات الطور للأنظمة الفرعية (3-3) و (4-3) بشكل واضح ودون غموض، بينما يمثل المستقيم:

$$0.5x_1 + x_2 = 0.5x_1 + \dot{x}_1 = 0 \quad (3-6)$$

معادلة تفاضلية من المرتبة الأولى.

يبين مستوي الطور الكامل الموضح في الشكل (3-3-c) بأنه لا يوجد حركة خاصة على المستقيم  $x_1=0$  بالمقابل، نجد أن المستقيم (3-6) يحوي النقاط النهائية لمسارات الأنظمة الفرعية (3-3) و (4-3) القادمة من على يمين وعلى يسار المستقيم (3-6)، تشكل هذه النقاط مساراً خاصاً على السطح  $0.5x_1 + x_2 = 0$ ، هذا المسار يمثل الحركة المسماة بالنظام الانزلاقي، بالتالي يتكون مسار الطور للنظام (1-3) بشكل عام من مرحلتين أو نمطين:



الشكل (4-3): تمثيل النظام التوضيحي (1-3) من أجل نقطة بداية معطاة

- المرحلة الأولى عبارة عن نمط الجذب (نمط الوصول)، خلال هذه المرحلة يبدأ مسار الطور من نقطة ما ويتحرك باتجاه "السطح الانزلاقي" ويصله خلال زمن معين.
- اعتباراً من هذه اللحظة يبدأ النمط الثاني المسمى بالنمط الانزلاقي، خلال هذه المرحلة ينزلق مسار الطور باتجاه نقطة التوازن حسب المعادلة (3-6). إن نقطة التوازن للنظام (1-3) المتحكم به

بواسطة العلاقة (2-3) مستقرة على الرغم من أن النظامين الفرعيين (3-4) و (3-5) غير مستقرين. يبين الشكل (3-4) تمثيلاً للنظام (3-1) من أجل نقطة بداية معطاة.

انطلاقاً من المثال السابق يمكن ملاحظة العديد من خواص الأنظمة ذات البنية المتغيرة، نذكر منها [12]:

- تتصف نظرية الأنظمة ذات البنية المتغيرة والنمط الانزلاقي المرافق بأن طبيعة نظام التحكم يكون غير مستمر (متقطع) عند عبور "سطح التبديل".
- يتعلق نظام التحكم ذو البنية المتغيرة بشكل أساسي بإشارة تابع التبديل  $s(x_1, x_2)$ .
- باعتبار أن مركز مستوي الطور يمثل نقطة التوازن للنظام فإن النمط الانزلاقي يمثل السلوك الديناميكي للنظام، أي أن سطح الانزلاق (3-6) يمثل الاستجابة العابرة للنظام خلال مرحلة النمط الانزلاقي.
- إن مسار متحول الحالة للنظام خلال النمط الانزلاقي ينتمي إلى سطح ذي أبعاد أقل من أبعاد فراغ الحالة للنظام، وبالتالي تقل مرتبة المعادلة الممثلة للنظام خلال النمط الانزلاقي.
- يتم تحديد ديناميكية النظام خلال النمط الانزلاقي فقط من خلال اختيار قيم معاملات سطح الانزلاق.
- تشتمل الحالة العابرة للنظام على نمطين: نمط الجذب والنمط الانزلاقي.
- إن اتجاه مسار الطور من على يسار سطح الانزلاق يعاكس اتجاه الطور من على يمين سطح الانزلاق.
- تتألف نظرية النظام الانزلاقي بشكل تام مع الأنظمة التي يكون فيها التحكم متقطعاً (غير مستمر) كما هو الحال عليه في المبدلات الستاتيكية المكونة من قواطع إلكترونية.

ملاحظة 1: كل سطح انزلاق هو سطح تبديل، بالمقابل سطح التبديل ليس بالضرورة سطح انزلاق. في المثال السابق وجدنا أن المستقيم  $x_1=0$  هو سطح تبديل والمستقيم  $0.5x_1+x_2=0$  هو سطح انزلاق. في الواقع، إذا كانت كل نقطة من السطح  $s$  هي نقطة نهاية بحيث أنه من أجل كل نقطة من السطح  $s$  يوجد مسارات قادمة من على جانبي السطح عندئذٍ يمكن اعتبار سطح التبديل هو سطح انزلاق.

ملاحظة 2: إن عدد توابع التبديل الأعظمي التي يمكن تعريفها يساوي إلى عدد مداخل النظام المتحكم به.

ملاحظة 3: تحت شروط معينة يمكن اعتبار أن النمط الانزلاقي للأنظمة ذات البنية المتغيرة لا يتأثر بالاضطرابات وبتغيرات ثوابت النظام المتحكم به.

ملاحظة 4: يمكن تصميم نظام تحكم ذو بنية متغيرة بدون وجود نمط انزلاقي ومع ذلك مثل هذا النظام ليس له أي فائدة تذكر.

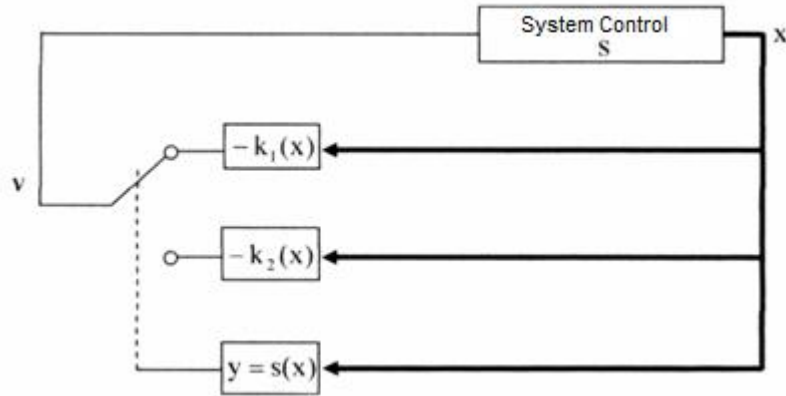
### 3.3. تمثيل الأنظمة ذات البنية المتغيرة:

ليكن لدينا النظام  $s$  المراد التحكم به. يملك هذا النظام دخلاً  $v$  (مقدار التحكم) وخرجاً  $y$  (متحول الحالة أو المقدار المتحكم به). نستطيع في الواقع التمييز بين تركيبين أساسيين للأنظمة ذات البنية المتغيرة. يوضح الشكل (3-5) بنية التركيب الأولى التي تسمح بتغيير بناء النظام وذلك بالتبديل بين قيمتين مختلفتين للتغذية العكسية.

حسب إشارة التابع  $s(x)$  يتم تبديل قيمة الدخل  $v$  كالتالي:

$$\begin{array}{lll} \text{When} & s(x) > 0 & \rightarrow v = -k_1(x) \\ \text{When} & s(x) < 0 & \rightarrow v = -k_2(x) \end{array}$$

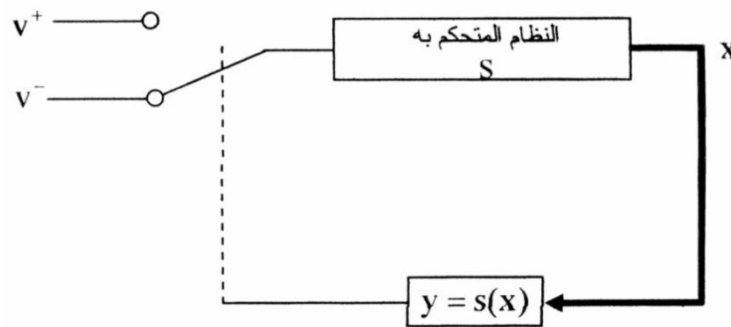
خلال النمط الانزلاقي يكون مسار خرج النظام على سطح الانزلاق، وبالتالي  $s(x)=0$ . المثال السابق يُظهر هذا النوع من الإعدادات للأنظمة ذات البنية المتغيرة.



الشكل (3-5): بناء النظام ذو البنية المتغيرة بتغيير قيمة التغذية العكسية

تسمح البنية التركيبية الأخرى الموضحة في الشكل (3-6) بتغيير بناء النظام وذلك بتبديل حالة القواطع الإلكترونية كما هو الحال في المبدلات الستاتيكية [13]. هذه البنية تشبه من حيث المبدأ التحكم ذا المستويين مع وجود، في حالتنا هذه، قانون تبديل أكثر جودة. إن إشارة التابع  $s(x)$  كافية لتحديد لحظة وصل وفصل قواطع المبدلة. يعطى قانون التحكم في هذه الحالة على الشكل التالي:

$$v = \begin{cases} v^+ & \text{if } s(x,t) > 0 \\ v^- & \text{if } s(x,t) < 0 \end{cases} \quad (3-7)$$



الشكل (3-6): بناء النظام ذو البنية المتغيرة بتبديل وضعية القواطع وفقاً لإشارة تابع التبديل

عند الوصول إلى مرحلة النمط الانزلاقي ترتبط متحولات الحالة للنظام المتحكم به فيما بينها عن طريق العلاقة  $s(x,t)=0$ ، عندئذٍ يكون مسار الحالة للنظام الخاضع لقانون التبديل (3-7) معروفاً في كل منطقة عدا سطح الانزلاق  $s(x,t)=0$ . تم اقتراح عدة طرق لوصف مسار النظام المتحكم به خلال مرحلة النمط الانزلاقي أي من أجل  $s(x,t)=0$  [10].

ملاحظة: خلال النمط الانزلاقي يكون دخل المنظم  $sign(s)$  المسؤول عن تشكيل التحكم المنقطع  $v$  مساوياً للصفر ( $s=0$ )، بينما يأخذ خرج المنظم قيمة محددة، بالتالي يؤمن عنصر التحكم ربخاً كبيراً مما يؤدي إلى القضاء على الاضطرابات الخارجية والداخلية المؤثرة على النظام.

### 4.3. التحكم المكافئ

إن فكرة التحكم المكافئ عبارة عن طريقة لوصف ديناميكية النظام على سطح الانزلاق. ليكن لدينا النظام المراد التحكم به التالي:

$$\frac{dx}{dt} = f(x, t) + B(x, t) \cdot V_i \quad (3-8)$$

حيث:  $V_i$  عبارة عن شعاع الدخل ذو  $m$  عنصر.

$$V_i = \begin{cases} V_i^+ & \text{si } s_i(x, t) > 0 \\ V_i^- & \text{si } s_i(x, t) < 0 \end{cases} \quad i=1, \dots, m \quad (3-9)$$

$x$ : عبارة عن شعاع الحالة للنظام ذو  $n$  عنصر.

$B(x, t)$ : عبارة عن مصفوفة بأبعاد  $n \times m$ .

$s(x, t)$ : عبارة عن تابع التبديل ذو البعد  $m$  و  $s_i(x, t) = 0$  عبارة عن سطح التبديل ذو الرقم  $i$ .

تتطلب المرحلة الأولى من هذه الطريقة إيجاد شعاع الدخل المكافئ  $V_{eq}$  الذي يضمن بقاء مسار الحالة للنظام المتحكم به على سطح الانزلاق المعروف. عند الحصول على شعاع الدخل المكافئ يمكن عندها وصف الحالة الديناميكية للنظام وذلك بتعويض  $V_{eq}$  في معادلة الحالة للنظام (3-8).

لحساب شعاع الدخل المكافئ (التحكم المكافئ) يجب الأخذ بعين الاعتبار الشروط التالية:

$$s(x, t) = 0 \quad (3-10)$$

$$\dot{s}(x, t) = 0$$

الشرطان السابقان ضروريان للحفاظ على مسار الحالة للنظام على سطح الانزلاق. باشتقاق  $s(x, t)$  بالنسبة للزمن نحصل على ما يلي:

$$\frac{ds(x, t)}{dt} = \left( \frac{\partial s}{\partial t} \right)^T \frac{dx}{dt} + \frac{\partial s}{\partial t} = \left( \frac{\partial s}{\partial t} \right)^T (f(x, t) + B(x, t) \cdot V_{eq}) + \frac{\partial s}{\partial t} = 0 \quad (3-11)$$

يمكن إيجاد التحكم المكافئ بحل المعادلة (3-11):

$$V_{eq} = - \left[ \left( \frac{\partial s}{\partial x} \right)^T B(x, t) \right]^{-1} \left\{ \left( \frac{\partial s}{\partial x} \right)^T f(x, t) + \frac{\partial s}{\partial t} \right\} \quad (3-12)$$

الشرط الأساسي لوجود النمط الانزلاقي هو:

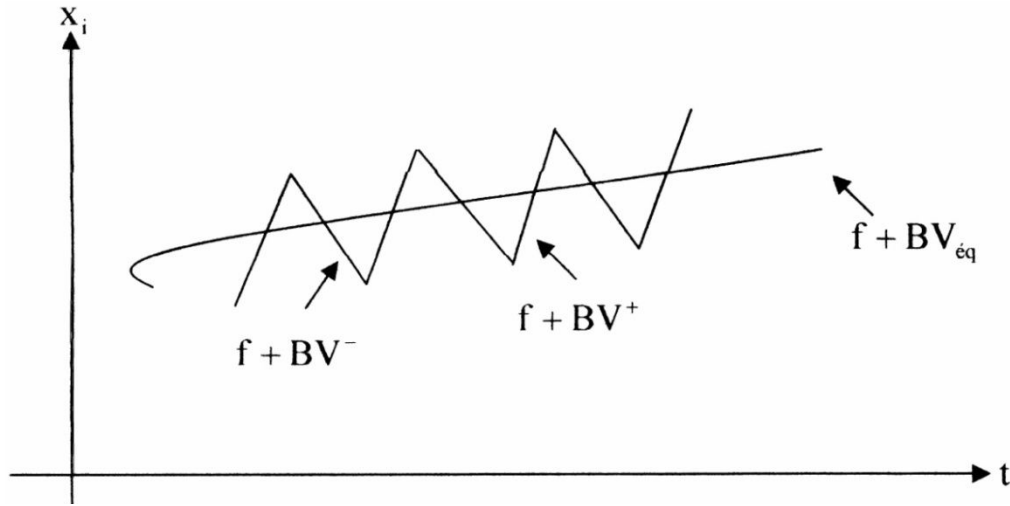
$$\left[ \left( \frac{\partial s}{\partial x} \right)^T B(x, t) \right] \neq 0 \quad (3-13)$$

وذلك لضمان وجود قيمة محددة لـ  $V_{eq}$ .

بالتعويض عن قيمة  $V_{eq}$  من العلاقة (3-12) في المعادلة (3-8) يتم الحصول على مسار الحالة خلال فترة النمط الانزلاقي.

$$\frac{dx}{dt} = \left\{ 1 - B(x,t) \left[ \left( \frac{\partial s}{\partial x} \right)^T B(x,t) \right]^{-1} \left( \frac{\partial s}{\partial x} \right)^T \right\} f(x,t) - B(x,t) \left[ \left( \frac{\partial s}{\partial x} \right)^T B(x,t) \right]^{-1} \frac{\partial s}{\partial t} \quad (3-14)$$

تمثل المعادلة (3-14) الحالة الديناميكية للنظام المثالي على سطح الانزلاق  $s(x,t)=0$  وتكون القيمة الوسطية لمسار الحالة للنظام (3-8) الخاضع للتحكم (3-9) كما هو واضح في الشكل (3-7). يمكن تفسير التحكم المكافئ فيزيائياً على أنه تابع مستمر يمثل القيمة الوسطية الناتجة عن تبديل قيمة الدخل  $V$  بين  $V^+$  و  $V^-$ ، وبالتالي فإن التحكم المكافئ يمثل التحكم المتقطع بتحكم مستمر. من المهم الإشارة إلى ضرورة اللجوء إلى طريقة تعديل عرض النبضة في حالة التحكم المستمر. في الواقع، إذا كانت قيمة تردد التقطيع كبيرة جداً عندها يمكن التعبير عن  $V_{eq}$  بواسطة النسبة الدورية (نسبة زمن الوصل على دور التقطيع)، وبالتالي يصبح ممكناً تحليل النسبة الدورية المتعلقة بتعديل عرض النبضة انطلاقاً من نظرية الأنظمة ذات البنية المتغيرة [12].



الشكل (3-7): النظام الانزلاقي المثالي

### 5.3. شروط الجذب

يسمى الشرط الأساسي والضروري الواجب تحقيقه ليتمكن متحول الحالة المتحكم به من الاتجاه والوصول إلى سطح الانزلاق بشرط الوصول أو شرط الجذب. تحت هذا الشرط يدعى مسار متحول الحالة للنظام بنمط الانجذاب. تُعطى شروط الانجذاب المستخدمة غالباً كما يلي [10]:

$$\begin{aligned} \dot{s}_i &< 0 & s_i &> 0 \\ \dot{s}_i &> 0 & s_i &< 0 \end{aligned} \quad i=1, \dots, m \quad (3-15)$$

حيث تمثل  $m$  عدد مداخل النظام.

اعتباراً من شرط الانجذاب السابق ومن نموذج النظام الخاضع للتحكم (3-8) يمكن تحديد التحكم  $V$  الذي يضمن انجذاب مسار متحول الحالة باتجاه سطح الانزلاق وذلك بحل المعادلة التالية:

$$\frac{\partial s_i}{\partial x} \frac{dx}{dt} + \frac{\partial s_i}{\partial t} = \frac{\partial s_i}{\partial x} (f(x,t) + B(x,t) \cdot V) + \frac{\partial s_i}{\partial t} = 0 \quad \text{if} \quad s_i = 0$$

$$\frac{\partial s_i}{\partial x} \frac{dx}{dt} + \frac{\partial s_i}{\partial t} = \frac{\partial s_i}{\partial x} (f(x,t) + B(x,t) \cdot V) + \frac{\partial s_i}{\partial t} > 0 \quad \text{if} \quad s_i < 0 \quad (3-16)$$

$$\frac{\partial s_i}{\partial x} \frac{dx}{dt} + \frac{\partial s_i}{\partial t} = \frac{\partial s_i}{\partial x} (f(x,t) + B(x,t) \cdot V) + \frac{\partial s_i}{\partial t} < 0 \quad \text{if} \quad s_i > 0$$

من المعادلة (3-16) نجد أن شرط الانجذاب السابق صعب التطبيق على الأنظمة متعددة المداخل. بالاعتماد على تابع ليابونوف التالي:

$$V(x,t) = 0.5s^T s \quad (3-17)$$

يمكن الوصول إلى شرط الانجذاب العام [11]:

$$\frac{dV}{dt} = \frac{d}{dt} (0.5s^T s) < 0 \quad \text{if} \quad s \neq 0 \quad (3-18)$$

أو

$$(s_1 \dot{s}_1 + s_2 \dot{s}_2 + \dots + s_m \dot{s}_m) < 0 \quad (3-19)$$

اعتباراً من شرط الانجذاب السابق ومن نموذج النظام الخاضع للتحكم (3-8) يمكن تحديد التحكم  $V$  الذي يضمن انجذاب مسار متحول الحالة باتجاه سطح الانزلاق وذلك بحل المعادلة التالية:

$$\frac{dV}{dt} = \frac{d}{dt} (0.5s^T s) = s^T \dot{s} = s^T \left( \frac{\partial s}{\partial x} \right)^T (f(x,t) + B(x,t) \cdot V) + \frac{\partial s}{\partial t} < 0 \quad (3-20)$$

إن التحكم  $V$  المستنتج من المعادلة السابقة يحقق معاً شرط الانجذاب ومعياري الاستقرار حسب ليابونوف. بالنظر إلى المعادلتين (3-16) و (3-20) يتبين أن شرط الانجذاب المعتمد على العلاقة (3-15) يؤدي إلى أن جميع سطوح التبديل وتقاطعاتها هي سطوح انزلاق، بالمقابل نجد أن شرط الانجذاب المتعلق بالمعادلة (3-19) يؤدي إلى أن تقاطع جميع سطوح التبديل هو سطح الانزلاق.

### 6.3. طريقة قانون الجذب

تم سابقاً شرح طريقة التحكم المكافئ الناتجة عن الشرط (3-10)، وتم أيضاً استنتاج شرط الانجذاب الضروري لكي يتمكن متحول الحالة من الاتجاه إلى سطح الانزلاق. إن المعادلة (3-14) المعبرة عن القيمة الوسطية لمسار متحول الحالة على سطح الانزلاق لا تعطي أية فكرة عن السلوك الديناميكي للنظام خارج سطح الانزلاق، لذلك من أجل التحكم بديناميكية مسار متحول الحالة خلال نمط الانجذاب (من لحظة انطلاق مسار متحول الحالة من النقطة البدائية وحتى بداية النمط الانزلاقي) فإنه من الضروري اللجوء إلى قانون الجذب. ليكن لدينا المعادلة التفاضلية التالية المعبرة عن مشتق تابع التبديل:

$$\dot{s} = -Q \operatorname{sgn}(s) - Kf(s) \quad (3-21)$$

حيث  $K$  و  $Q$  عبارة عن مصفوفتين قطريتين بعناصر موجبة.

$$\operatorname{sgn}(s) = [\operatorname{sgn}(s_1) \dots \operatorname{sgn}(s_m)]^T \quad (3-22)$$

$$f(s) = [f_1(s_1) \dots f_m(s_m)]^T \quad (3-23)$$

إن التابع السلمي  $f_i$  يحقق الشرط:

$$s_i f_i > 0 \quad s_i \neq 0 \quad i = 1, \dots, m \quad (3-24)$$

من أجل  $f(s)$  معطاة، يمكن مكاملة المعادلة (3-21) للحصول على التابع  $s(t)$  والذي يصف مساراً وحيداً، هذا



المسار يعطي معلومات مهمة عن نمط الانجذاب. على سبيل المثال، يمكن تحديد الزمن الذي يستغرقه متحول الحالة للانتقال من نقطة البداية وحتى الوصول إلى سطح الانزلاق.

إن قانون الجذب (3-21) يحقق الشرطين التاليين (شرط عدم التغير وشرط الانجذاب):

$$\begin{aligned} s = 0 & \quad \dot{s} = 0 \\ s > 0 & \quad \dot{s} < 0 \\ s < 0 & \quad \dot{s} > 0 \end{aligned} \quad (3-25)$$

إن قانون الجذب يصف أيضاً الميزات الديناميكية للنظام خلال طور الجذب. من ناحية أخرى، يقدم هذا القانون وسيلة لتخفيض مطال الاهتزازات وذلك عن طريق الاختيار المناسب لقيم المصفوفتين  $K$  و  $Q$  التابعتين لقانون الجذب [12].

في الواقع، إن قيم عناصر المصفوفتين  $K$  و  $Q$  تحدد قيم مختلفة لسرعة تابع التبديل  $s$  وتعطي أيضاً بنيات متعددة لقانون الجذب نذكر منها ما يلي:

### 1. الجذب بسرعة ثابتة

$$\dot{s}_i = -q_i \operatorname{sgn}(s_i) \quad (3-26)$$

يجبر هذا القانون مسار متحول الحالة على الوصول إلى سطح الانزلاق بسرعة ثابتة:

$$|\dot{s}_i| = -q_i \quad (3-27)$$

يجب اختيار قيمة  $q_i$  بحيث يكون زمن الوصول إلى سطح الانزلاق قصيراً نسبياً بالإضافة إلى عدم حصول اهتزازات كبيرة حول النقطة المرجعية.

### 2. الجذب بسرعة ثابتة وبسرعة تناسبية

$$\dot{s}_i = -q_i \operatorname{sgn}(s_i) - k_i s_i \quad (3-28)$$

بالإضافة الحد  $-k_i s_i$  فإن مسار متحول الحالة يُجبر على الاقتراب من سطح الانزلاق بسرعة أكبر عندما تكون قيمة  $s_i$  كبيرة. كلما كانت قيمة  $k_i$  كبيرة كلما كان زمن البقاء في نمط الانجذاب قصيراً، بينما نجد أن اختيار قيمة صغيرة لـ  $q_i$  يخفض من الاهتزازات حول النقطة المرجعية. يمكن حساب الزمن الذي يستغرقه مسار متحول الحالة ضمن نمط الجذب من العلاقة التالية:

$$t_i = \frac{1}{k_i} \ln \frac{k_i |s_i| + q_i}{q_i} \quad (3-29)$$

### 3. الجذب بسرعة متغيرة:

$$\dot{s}_i = -k_i |s_i|^\alpha \operatorname{sgn}(s_i) \quad 0 < \alpha < 1 \quad (3-30)$$

تمثل المعادلة السابقة البنية الثالثة التي يمكن أن يأخذها قانون الجذب. إن هذا القانون يؤمن سرعة عالية لمسار متحول الحالة عندما يكون بعيداً عن سطح الانزلاق وتقل هذه السرعة تدريجياً كلما تم الاقتراب من سطح الانزلاق. بمكاملة المعادلة (3-30) يمكن أن نحصل على زمن الجذب.

$$t_i = \frac{1}{(1-\alpha)k_i} (1-\alpha)s_{i0} \quad (3-31)$$

حيث  $s_{i0}$  قيمة بدائية لـ  $s$ .

باستخدام هذا القانون يمكن الحصول في آن واحد على زمن جذب محدد وسرعة قريبة من الصفر بالقرب من سطح الانزلاق، وبالتالي نستطيع التوصل إلى حد كبير من الاهتزازات حول النقطة المرجعية. ملاحظة: باستخدام أحد قوانين الجذب السابقة يمكن اعتبار أن نمط الجذب قليل التأثير بالاضطرابات الداخلية والخارجية وبتغيرات معاملات النظام.

### 7.3. قانون التحكم

يجب على قانون التحكم أن:

- يحقق شرط الجذب.
  - يضمن انجذاب سريع نحو سطح الانزلاق مع تقليل التذبذب الناتج عن التحكم المنقطع.
- باختيار معادلة قانون الجذب وبالأخذ بعين الاعتبار المعادلة (3-11) نحصل على ما يلي:

$$\dot{s} = \left( \frac{\partial s}{\partial x} \right)^T (f(x, t) + B(x, t)V) + \frac{\partial s}{\partial t} = -Q \operatorname{sgn}(s) - Ks \quad (3-32)$$

يمكن استنتاج التحكم الكامل من المعادلة السابقة، بحيث يُعطى بالعلاقة:

$$V = - \left[ \left( \frac{\partial s}{\partial x} \right)^T B(x, t) \right]^{-1} \left\{ \left( \frac{\partial s}{\partial x} \right)^T f(x, t) + Q \operatorname{sgn}(s) + K \cdot s + \frac{\partial s}{\partial t} \right\} \quad (3-33)$$

يتألف التحكم الكامل من قسمين:

القسم الأول ويمثل التحكم المكافئ والذي يعبر عن سلوك النظام على سطح الانزلاق. أما القسم الثاني فيعبر عن سلوك النظام من اللحظة البدائية وحتى الوصول إلى نمط الانزلاق. يمكن التحكم بديناميكية هذه المرحلة عن طريق تغيير قيم الثوابت  $Q$  و  $K$ . بتطبيق إشارة التحكم الممثلة بالمعادلة (3-33) تكون استجابة النظام من النقطة البدائية وحتى الوصول إلى نقطة الاستقرار مكونة من الأنماط الثلاثة التالية: نمط الانجذاب، نمط الانزلاق، وأخيراً نمط الحالة الدائمة. في الواقع، يمكن لنمط الحالة الدائمة أن يأخذ الأشكال التالية: خطأ ستاتيكي معدوم، خطأ ستاتيكي غير معدوم أو أيضاً تذبذبات حول نقطة التوازن [11].

تعطى علاقة التحكم الكامل والتي تأخذ بعين الاعتبار التحكمين المذكورين أعلاه كما يلي:

$$V = V_{eq} + V_{att} \quad (3-34)$$

من الجدير بالذكر أن قانون التحكم (3-34) الناتج عن استخدام قانون الجذب يعمل بشكل ضمني على نقل مسار التحكم إلى نمط الانزلاق وذلك في كل مرة يصل فيها مسار الحالة إلى أي سطح تبديل  $s_i = 0$ . ملاحظة: يعتبر نظام التحكم الممثل بالعلاقة (3-34) تحكماً مستمراً مع أن العلاقة تحوي قسماً متقطعاً ممثلاً بالحد  $Q \operatorname{sgn}(s)$ .

### 8.3. عدم التغير والقساوة لنظام التحكم

إذا كان نمط الانزلاق لنظام التحكم ذو البنية المتغيرة لا يتأثر بالاضطرابات الخارجية (حمل، تشويش، ...)، ولا بالاضطرابات الداخلية (تغير في قيم البارامترات، ارتباط بين المقادير المتحكم بها) يمكن اعتباره عندئذٍ

عديم التغير، في الواقع إن مفهوم عدم التغير أقوى من مفهوم المساواة. بفرض أن لدينا نظام التحكم الممثل بالمعادلة التالية:

$$\frac{dx}{dt} = f(x,t) + B(x,t)V + h(x,t) \quad (3-35)$$

حيث يمثل الشعاع  $h(x,t)$  اضطرابات النظام.

$$h \in \text{range } \{B\} \quad (3-36)$$

إذا كانت الاضطرابات تؤثر على شعاع التحكم  $V$ ، عندئذٍ يوجد تحكم  $V_h$  بحيث أن  $BV_h = -h$ ، وبالتالي يكون النظام عديم التأثير بالاضطرابات  $h(x,t)$ .

وجدنا سابقاً أن معادلة النمط الانزلاقي (3-14) لا تتعلق بمقدار التحكم، وبشكلٍ مشابه يمكن القول أن معادلة النمط الانزلاقي لا تتعلق بـ  $h(x,t)$ ، نتيجة لذلك يكون الشرط (3-36) هو شرط عدم التغير من أجل الأنظمة ذات البنية المتغيرة. يجب الإشارة إلى أنه لا حاجة لقياس الاضطراب  $h$  في الأنظمة التي تملك خاصية عدم التغير، ولضمان وجود النظام الانزلاقي يتوجب زيادة قيمة  $h$  المخمنة.

ملاحظة: يجب التنبيه إلى أن نمط الوصول أو نمط الجذب لا يملك خاصية عدم التغير إلا إذا كان قانون التحكم مصمماً باستخدام أحد قوانين الجذب.

### 9.3. التذبذبات خلال النمط الانزلاقي ونمط الحالة الدائمة

إحدى فرضيات نظرية الأنظمة ذات البنية المتغيرة والأنظمة الانزلاقية المرافقة أن التبديل في قيمة التحكم يتم نظرياً عند تردد لا نهائي. عملياً، من المستحيل تبديل قيمة التحكم عند تردد لا نهائي وذلك يعود إلى الأسباب التالية:

- وجود تأخير في حساب خوارزمية التحكم.
- حدود الأنظمة الفيزيائية، على سبيل المثال إن تحريضية الملف لا تسمح بتبديل في قيمة التيار بسرعة استجابة لا نهائية (ثابت زمني يساوي الصفر).
- الضياعات في القواطع الإلكترونية.

من أجل هذه الأسباب يكون النمط الانزلاقي ونمط الحالة العابرة مصحوبين بتذبذبات غير مرغوب بها، تؤدي هذه التذبذبات إلى وجود خطأ ستاتيكي وإلى ضياعات ناتجة عن تسخين الدارات الكهربائية وأيضاً إلى أضرار في الأجزاء الميكانيكية المتحركة أو الدوارة. في نظام الحالة العابرة تظهر التذبذبات ذات الترددات العالية حول نقطة التوازن (نقطة الاستقرار) حيث يمكن أن تُشكل منبعاً لتهيج أجزاء في النظام لم تؤخذ بعين الاعتبار عند نمذجته.

تُعتبر هذه الظاهرة عائقاً ضد تطبيق التحكم ذو النمط الانزلاقي، مع ذلك، يمكن تجاوز هذه المشكلة باستخدام إحدى قوانين الجذب المذكورة سابقاً والتي تسمح بالتحكم معاً بأداء نمط الجذب وبمطال التذبذبات.

### 10.3. تنظيم سرعة محرك التيار المستمر ذي التهيج المستقل باستخدام خوارزمية SMC

تعتبر خوارزمية التحكم الانزلاقي إحدى أهم طرق التحكم المستخدمة في أنظمة القيادة ذات الأداء العالي، حيث تمتاز بما يلي:

1- تؤمن استقرار جمل التحكم التي تعمل عند شروط تشغيل مختلفة.

2- استجابة ستاتيكية وديناميكية جيدة، بصرف النظر عن اضطرابات الدخل والخرج وتغير المعاملات الداخلية للجملة المتحكم بها.

قبل البدء بدراسة تنظيم سرعة محرك التيار المستمر باستخدام خوارزمية التحكم الانزلاقي، تم توصيف المحرك المدروس من خلال متحولات الحالة التالية:

أ- الإزاحة الزاوية  $\theta$

ب- السرعة  $\Omega$

ت- العزم الكهرومغناطيسي  $T_{em}$

للحصول على معادلات الحالة المعبرة عن المحرك المدروس ننطلق من جملة المعادلات الكهربائية والميكانيكية للمحرك المعطاة سابقاً بالعلاقات (23-1)-(28-1) [9].

تُعطى معادلة الحالة الأولى وفق العلاقة التالية:

$$\boxed{\dot{\theta} = \Omega} \quad (3-37)$$

لاستنتاج معادلة الحالة الثانية ننطلق من العلاقة (27-1)، وذلك بعد التعويض عن عزم الحمل  $T_L$ :

$$J \frac{d\Omega}{dt} = T_{em} - (T_d + F \cdot \Omega) \quad (3-38)$$

إن معادلة الحالة الثانية المعبرة عن السرعة تُعطى وفق العلاقة:

$$\boxed{\dot{\Omega} = (T_{em} - T_d - F \cdot \Omega) / J} \quad (3-39)$$

لاستنتاج معادلة متحول الحالة الممثلة للعزم الكهرومغناطيسي ننطلق من العلاقة (24-1) المعبرة عن جهد المتحرض، وبالإصلاح نحصل على علاقة مشتق تيار المتحرض التالية:

$$\frac{dI_a}{dt} = \frac{-1}{L_a} \cdot [R_a \cdot I_a + E - V_a] \quad (3-40)$$

نضرب طرفي العلاقة الأخيرة بـ  $K$

$$K \frac{dI_a}{dt} = \frac{-K}{L_a} \cdot [R_a \cdot I_a + K \cdot \Omega - V_a] \quad (3-41)$$

$$\Rightarrow \dot{T}_{em} = \frac{-K}{L_a} \cdot [R_a \cdot I_a + K \cdot \Omega - V_a] \quad (3-42)$$

إن معادلة الحالة الثالثة تُعطى وفق العلاقة التالية:

$$\boxed{\dot{T}_{em} = \frac{-R_a}{L_a} \cdot T_{em} - \frac{K^2}{L_a} \cdot \Omega + \frac{K}{L_a} \cdot V_a} \quad (3-43)$$

بشكلٍ مشابه لما تم استعراضه في الفصل السابق، تم تنظيم سرعة محرك التيار المستمر باستخدام خوارزمية النمط الانزلاقي آخذين بعين الاعتبار الحالتين التاليتين:

- تنظيم السرعة بدون تنظيم التيار.

- تنظيم السرعة مع تنظيم التيار.

روعي في كلا الحالتين السابقتين تطبيق خوارزمية النمط الانزلاقي وفق الطريقتين الآتيتين:

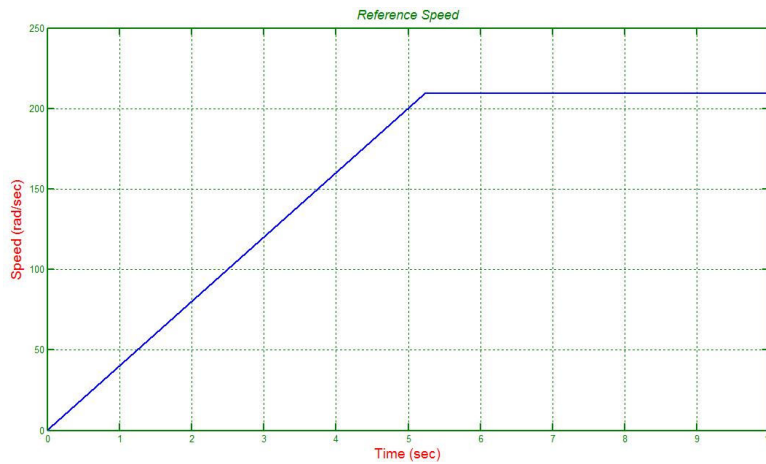
1- طريقة التحكم المكافئ.

2- طريقة قانون التبديل.

بالإضافة إلى ما سبق، فقد دعمت الدراسة التحليلية بدراسة تمثيلية بالاعتماد على بيئة *MATLAB-SIMULINK*، حيث تم التمييز في كلتا طريقتي خوارزمية النمط الانزلاقي المذكورتين بين حالة أخذ رد فعل المتحرض بعين الاعتبار وحالة إهماله، كما تم اختبار منظومة التحكم المدروسة وفق نفس المعايير المعتمدة سابقاً في طريقة منظومات *PID*، وهي:

أ- تطبيق السرعة المرجعية على جملة التحكم بشكل متدرج كما هو موضح في الشكل (3-8).

ب- تطبيق الحمولة الاسمية على المحرك بشكل قفزة عند لحظة زمنية محددة ( $t = 7\text{sec}$ ).



الشكل (3-8): منحنى إشارة السرعة المرجعية المطبق على جملة التحكم

### 1.10.3. تنظيم السرعة بدون تنظيم التيار

أ- طريقة التحكم المكافئ

نظراً لأن الهدف من منظومة القيادة هو التحكم بسرعة المحرك، فقد تم اختيار معادلة تابع تبديل مناسبة تربط بين متحول جملة التحكم (السرعة)، وإشارة السرعة المرجعية وفق العلاقة التالية:

$$S_{\Omega} = (\Omega_{ref} - \Omega) + C \cdot (\dot{\Omega}_{ref} - \dot{\Omega}) \quad (3-44)$$

إن الطريقة المعتمدة في هذا البحث للتحكم بسرعة المحرك هي تغيير جهد المتحرض  $V_a$  بواسطة مبدلة ترانزستورية، وبالتالي يجب إيجاد علاقة شعاع الدخل المكافئ الممثلة للجهد الواجب تطبيقه على المتحرض من خلال المبدلة، حيث تصف هذه العلاقة ديناميكية النظام فقط على سطح الانزلاق. تم إيجاد علاقة شعاع الدخل المكافئ انطلاقاً من شروط عدم التغير التالية:

$$\begin{aligned} S_{\Omega}(x, t) &= 0 \\ \dot{S}_{\Omega}(x, t) &= 0 \end{aligned} \quad (3-45)$$

أولاً تم اشتقاق معادلة تابع التبديل (3-44):

$$\dot{S}_{\Omega} = -\dot{\Omega} - C \frac{d\dot{\Omega}}{dt} \quad (3-46)$$

بتعويض قيمة متحول الحالة الممثل للسرعة من العلاقة (3-39) نجد:

$$\dot{S}_\Omega = \frac{-1}{J} [T_{em} - T_d - F \cdot \Omega + C \frac{d}{dt} (T_{em} - T_d - F \cdot \Omega)] \quad (3-47)$$

$$\dot{S}_\Omega = \frac{-1}{J} [T_{em} - T_d - F \cdot \Omega + C \cdot (\dot{T}_{em} - F \cdot \dot{\Omega})] \quad (3-48)$$

نقوم الآن بتعويض متحول الحالة الممثل للعزم من العلاقة (3-43) في العلاقة السابقة فنجد:

$$\dot{S}_\Omega = \frac{-1}{J} [T_{em} - T_d - F \cdot \Omega + C \cdot (\frac{-R_a}{L_a} T_{em} - \frac{K^2}{L_a} \Omega + \frac{K}{L_a} V_a - F \cdot \dot{\Omega})] \quad (3-49)$$

$$\dot{S}_\Omega = \frac{-1}{J} [(1 - \frac{C \cdot R_a}{L_a}) \cdot T_{em} - (F + \frac{C \cdot K^2}{L_a}) \cdot \Omega + \frac{C \cdot K}{L_a} \cdot V_a - C \cdot F \cdot \dot{\Omega} - T_d] \quad (3-50)$$

$$\frac{C \cdot K}{J \cdot L_a} V_a = \frac{1}{J} [(\frac{C \cdot R_a}{L_a} - 1) \cdot T_{em} + (\frac{C \cdot K^2}{L_a} + F) \cdot \Omega + C \cdot F \cdot \dot{\Omega} + T_d] - \dot{S}_\Omega \quad (3-51)$$

توضح العلاقة التالية معادلة جهد التحكم الكلي:

$$V^* = V_a = \frac{L_a}{C \cdot K} [(\frac{C \cdot R_a}{L_a} - 1) \cdot T_{em} + (\frac{C \cdot K^2}{L_a} + F) \cdot \Omega + C \cdot F \cdot \dot{\Omega} + T_d] - \frac{J \cdot L_a}{C \cdot K} \dot{S}_\Omega \quad (3-52)$$

للحصول على معادلة جهد التحكم المكافئ فإننا سنغوض عن الحد ( $\dot{S}_\Omega$ ) بصفر في معادلة قانون التحكم:

$$V_{eq} = \frac{L_a}{C \cdot K} [(\frac{C \cdot R_a}{L_a} - 1) \cdot T_{em} + (\frac{C \cdot K^2}{L_a} + F) \cdot \Omega + C \cdot F \cdot \dot{\Omega} + T_d] \quad (3-53)$$

تمثل العلاقة السابقة الجهد اللازم تطبيقه على المتحرض لضمان بقاء دوران المحرك عند السرعة المرجعية المطلوبة (سطح الانزلاق) وذلك بعد وصول سرعة الدوران إلى تلك القيمة المرجعية، ولكن كي يتمكن متحول الحالة (السرعة) من الاتجاه نحو سطح الانزلاق (باتجاه السرعة المرجعية) فإنه لا بد من استبدال الحد ( $\dot{S}_\Omega$ ) في العلاقة (3-52) بقانون جذب مناسب وفق المعادلة التالية:

$$\dot{S}_\Omega = -q_1 \operatorname{sgn}(S_\Omega) - k_1 \cdot S_\Omega \quad (3-54)$$

وبالتالي فإن القانون المعبر عن جهد الجذب يعطى بالعلاقة:

$$V_{att} = \frac{J \cdot L_a}{C \cdot K} [q_1 \operatorname{sgn}(S_\Omega) + k_1 \cdot S_\Omega] \quad (3-55)$$

حيث أن  $k_1$  و  $q_1$  عبارة عن ثوابت حقيقية موجبة.

تعطي العلاقة السابقة فكرة عن السلوك الديناميكي للنظام من لحظة انطلاق مسار متحول الحالة (السرعة) من نقطة البداية حتى الوصول إلى سطح الانزلاق.

إن قانون التحكم الكلي يعطى بالعلاقة:

$$V^* = V_{eq} + V_{att} \quad (3-56)$$

أي أن العلاقة النهائية التي تصف نظام التحكم تكتب كما يلي:

$$V^* = \frac{L_a}{C \cdot K} [(\frac{C \cdot R_a}{L_a} - 1) \cdot T_{em} + (\frac{C \cdot K^2}{L_a} + F) \cdot \Omega + C \cdot F \cdot \dot{\Omega} + T_d] + \frac{J \cdot L_a}{C \cdot K} [q_1 \operatorname{sgn}(S_\Omega) + k_1 \cdot S_\Omega] \quad (3-57)$$

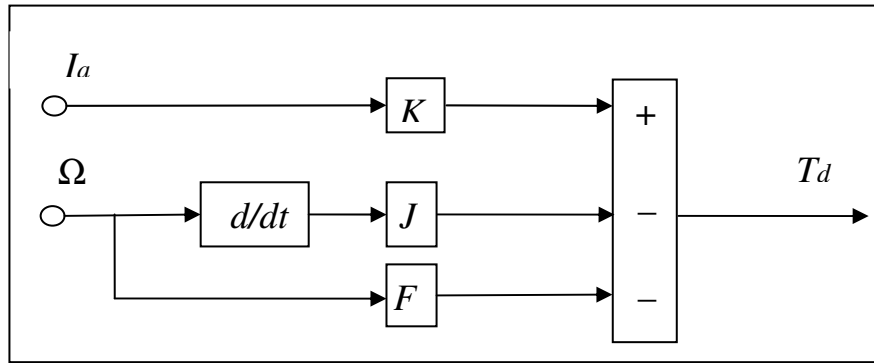
للتأكد من أن سرعة دوران المحرك  $\Omega$  تتجه نحو سطح الانزلاق  $S_\Omega$  يجب أن يتحقق شرط الانجذاب  $S_\Omega \cdot \dot{S}_\Omega < 0$ ، أي لا بد من التحقق من أن جداء تابع التبديل بمشتقه ذو قيمة سالبة.

$$S_{\Omega} \cdot \dot{S}_{\Omega} = S_{\Omega} \cdot (-\dot{\Omega} - C \cdot \frac{d\dot{\Omega}}{dt}) = -S_{\Omega} \cdot (\dot{\Omega} + C \cdot \frac{d\dot{\Omega}}{dt}) < 0 \quad (3-58)$$

يُلاحظ من المعادلة (3-53) أن علاقة شعاع الدخل المكافئ  $V_{eq}$  مرتبطة بعزم الحمولة  $T_d$ ، مما يستوجب إيجاد قيمة  $T_d$  قبل تحديد مقدار شعاع الدخل المكافئ. لإيجاد قيمة  $T_d$  يلزم بناء دارة تخمين مناسبة، يمكن ببساطة تخمين مقدار عزم الحمولة انطلاقاً من معادلة متحول الحالة المعبرة عن السرعة (3-39).  
إن معادلة دارة تخمين عزم الحمولة تعطى بالعلاقة:

$$T_d = K \cdot I_a - J \cdot \dot{\Omega} - F \cdot \Omega \quad (3-59)$$

يبين الشكل (3-9) المخطط الصندوقي الممثل لدارة التخمين.



الشكل (3-9): المخطط الصندوقي الممثل لدارة تخمين عزم الحمولة

بينما يبين الشكل (3-10) المخطط الصندوقي الممثل لجملة التحكم المدروسة، حيث تم بناء المخطط الموضح أدناه بعد إعادة كتابة معادلة جهد التحكم الكلي (3-57) وفق الشكل التالي:

$$V^* = [a_0 \cdot T_{em} + a_1 \cdot \Omega + a_2 \cdot \dot{\Omega} + a_3 \cdot T_d] + [b_0 \operatorname{sgn}(S_{\Omega}) + b_1 \cdot S_{\Omega}] \quad (3-60)$$

حيث:

$$a_0 = \frac{L_a}{C \cdot K} \cdot \left( \frac{C \cdot R_a}{L_a} - 1 \right), \quad a_1 = \frac{L_a}{C \cdot K} \cdot \left( \frac{C \cdot K^2}{L_a} + F \right), \quad a_2 = \frac{L_a \cdot F}{K}, \quad a_3 = \frac{L_a}{C \cdot K}$$

$$b_0 = \frac{J \cdot L_a \cdot q_1}{C \cdot K}, \quad b_1 = \frac{J \cdot L_a \cdot k_1}{C \cdot K}$$

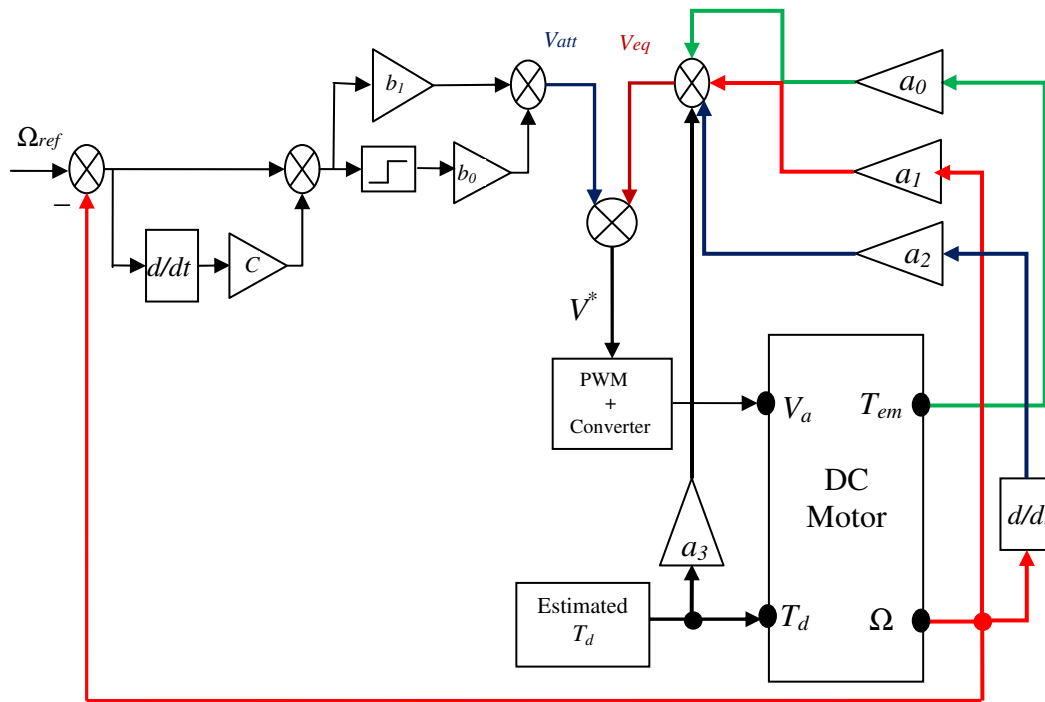
يعطى قانون جهد التحكم المكافئ وفق المعادلة السابقة بالعلاقة:

$$V_{eq} = a_0 \cdot T_{em} + a_1 \cdot \Omega + a_2 \cdot \dot{\Omega} + a_3 \cdot T_d \quad (3-61)$$

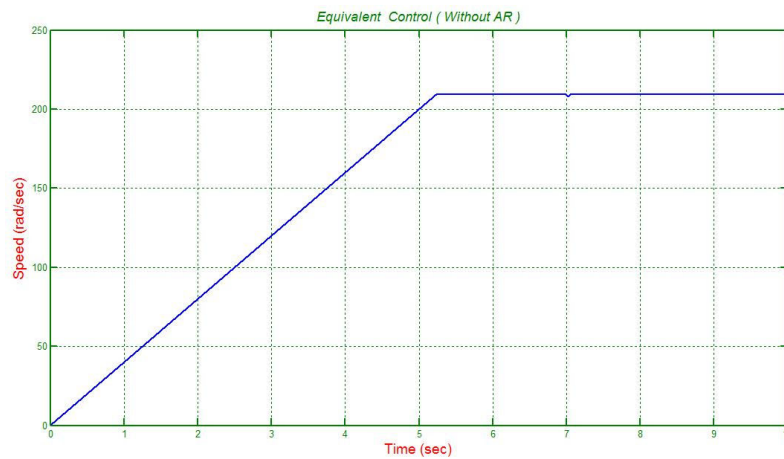
أما قانون جهد الجذب فيمثل بالعلاقة:

$$V_{att} = b_0 \operatorname{sgn}(S_{\Omega}) + b_1 \cdot S_{\Omega} \quad (3-62)$$

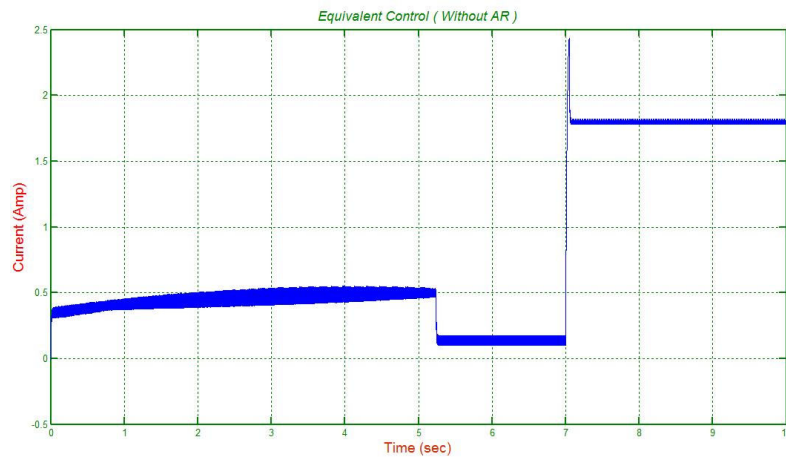
عند اختبار منظومة التحكم السابقة وفق المعايير المقترحة، تم الحصول على منحنيات الاستجابة لكل من السرعة والتيار عند إهمال رد فعل المتحرض (الشكل (3-11))، بالإضافة إلى منحنيات الاستجابة لكل من السرعة والتيار عند أخذ رد فعل المتحرض بعين الاعتبار (الشكل (3-12)).



الشكل (10-3): المخطط الصندوقي لدارة تنظيم السرعة بدون تيار وفق طريقة التحكم المكافئ



أ- منحنى استجابة السرعة بالنسبة للزمن

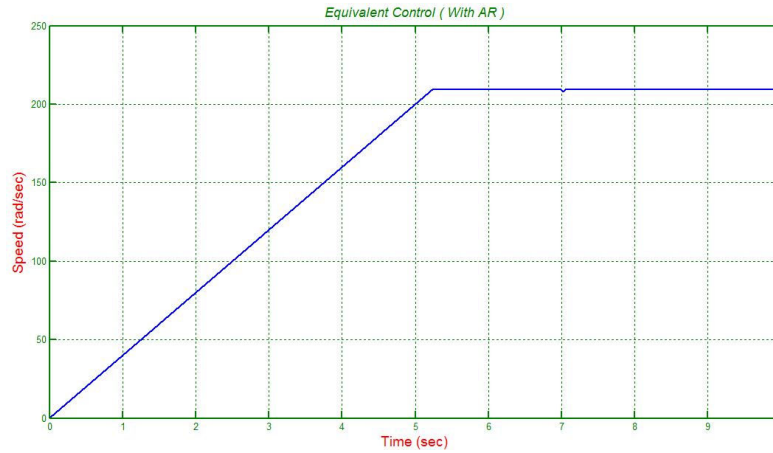


ب- منحنى استجابة التيار بالنسبة للزمن

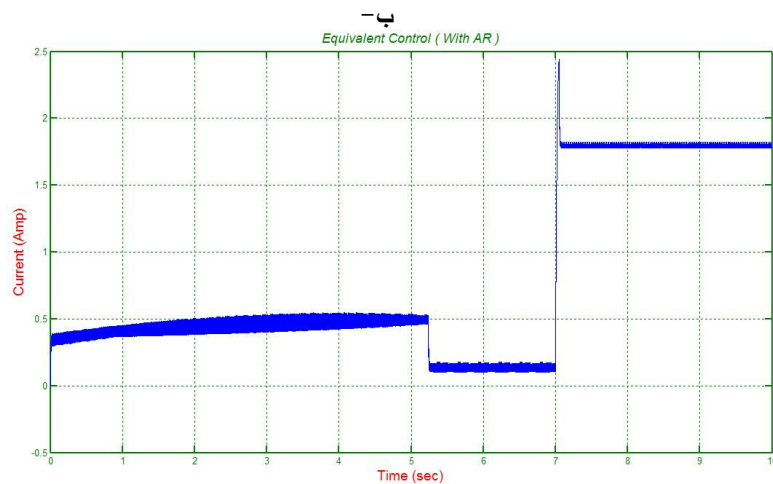
الشكل (11-3): منحنيات استجابة السرعة والتيار وفق طريقة التحكم المكافئ عند إهمال رد فعل المتحرض



يبين الشكل (3-12) منحنيات استجابة السرعة والتيار وفق طريقة التحكم المكافئ وذلك عند أخذ رد فعل المتحرض بعين الاعتبار.



منحني استجابة السرعة بالنسبة للزمن  
أ- منحني استجابة التيار بالنسبة للزمن



الشكل (3-12): منحنيات استجابة السرعة والتيار وفق طريقة التحكم المكافئ مع أخذ رد فعل المتحرض بعين الاعتبار. لوحظ عند مقارنة منحنيات الاستجابة بين حالتي أخذ رد فعل المتحرض بعين الاعتبار وإهماله وفق طريقة التحكم المكافئ أن منحنيات الاستجابة السابقة متطابقة، مما يشير إلى انخفاض تأثير رد فعل المتحرض على أداء النظام ككل، ويؤكد مناعة النظام ضد تغير المعاملات الداخلية للجملة المتحكم بها.

#### ب- طريقة قانون التبديل

في البداية لابد من اختيار معادلة تابع تبديل مناسبة تربط بين المتحول المتحكم به (السرعة) وإشارة السرعة المرجعية، قد يكون من المناسب اختيار نفس معادلة تابع التبديل المقترحة في طريقة التحكم المكافئ.

$$S_{\Omega} = (\Omega_{ref} - \Omega) + C \cdot (\dot{\Omega}_{ref} - \dot{\Omega}) \quad (3-63)$$

انطلاقاً من المعادلة السابقة، تم التمييز بين الحالات التالية:

$$S_{\Omega} = 0 \quad -1$$

في هذه الحالة تكون سرعة المحرك مساوية للسرعة المرجعية، أي أن نظام التحكم يتحرك على سطح الانزلاق.

$$S_{\Omega} > 0 \quad -2$$

تصف هذه الحالة سلوك الجملة عندما تكون السرعة المرجعية المطلوبة أكبر من السرعة الآنية على خرج

المحرك، وبالتالي لا بد من زيادة جهد المتحرض إلى الجهد الاسمي للوصول إلى السرعة المطلوبة، أي:

$$V^+ = 220 \quad \text{when} \quad S_\Omega > 0$$

$$S_\Omega < 0 \quad -3$$

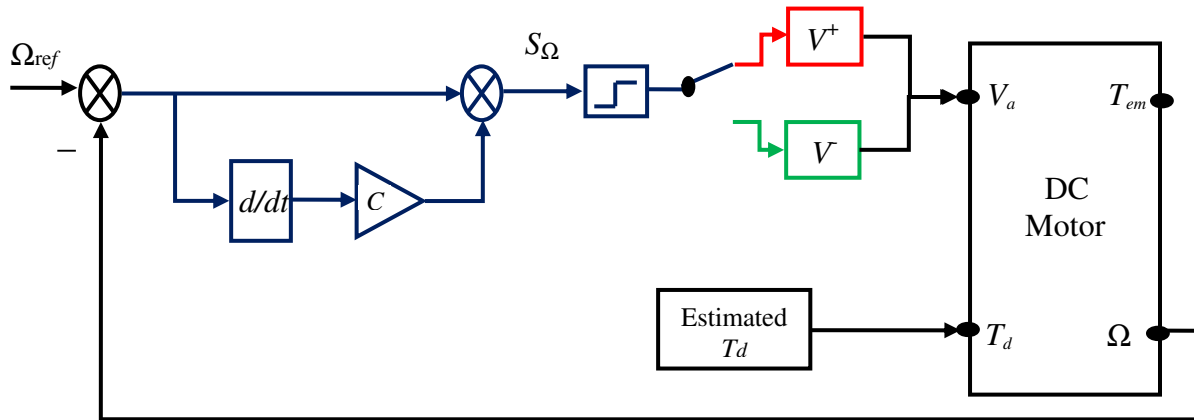
تصف هذه الحالة سلوك الجملة عندما تكون السرعة المرجعية المطلوبة أصغر من السرعة الآتية على خرج المحرك، مما يستوجب من نظام التحكم تخفيض سرعة المحرك من خلال إنقاص جهد المتحرض إلى قيمته الدنيا أي أن:

$$V^- = -220 \quad \text{when} \quad S_\Omega < 0$$

انطلاقاً من الحالات السابقة يمكن كتابة قانون التبديل وفق العلاقة التالية:

$$V = \begin{cases} V^+ = 220 & \text{when} \quad S_\Omega > 0 \\ V^- = -220 & \text{when} \quad S_\Omega < 0 \end{cases} \quad (3-64)$$

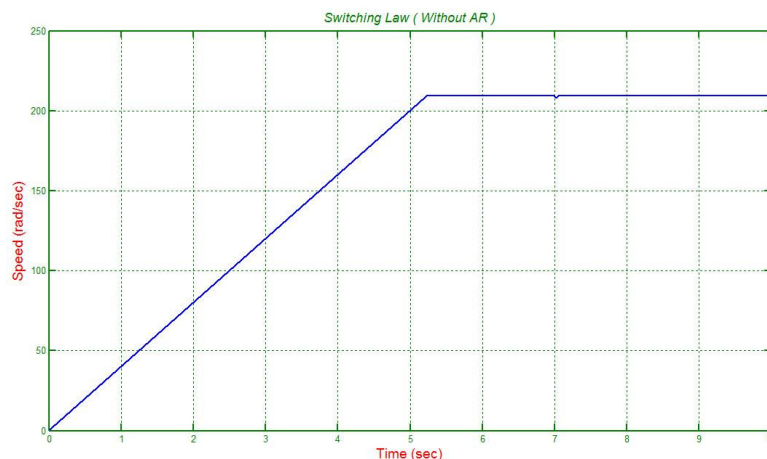
إن قانون التبديل السابق يعمل بشكل مشابه لعمل المبدلة الإلكترونية (DC – DC Converter)، يبين الشكل (13-3) المخطط الصندوقي الممثل لجملة التحكم المدروسة.



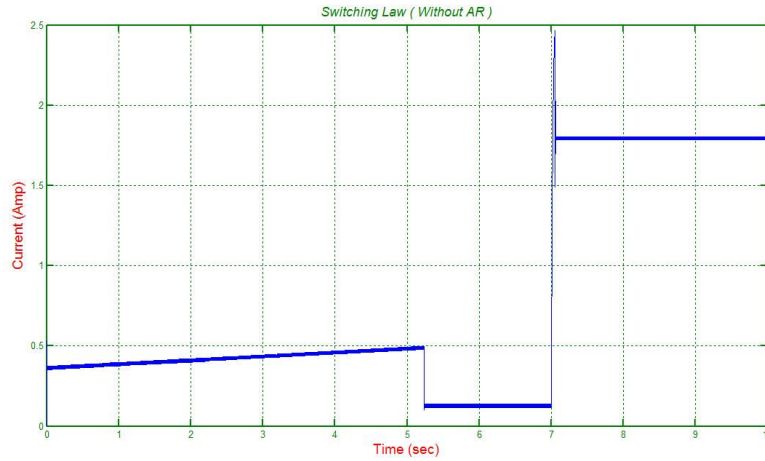
الشكل (13-3): المخطط الصندوقي لدارة تنظيم السرعة بدون تيار وفق طريقة قانون التبديل

بإختبار منظومة التحكم السابقة وفق المعايير المقترحة، فإن منحنيات الاستجابة لكل من السرعة والتيار عند إهمال رد فعل المتحرض (الشكل (14-3))، بالإضافة إلى منحنيات استجابة السرعة والتيار عند أخذ رد فعل المتحرض بعين الاعتبار (الشكل (15-3)) تصف أداء النظام بشكل دقيق.

يبين الشكل (14-3) منحنيات استجابة السرعة والتيار وفق طريقة قانون التبديل عند إهمال رد فعل المتحرض.

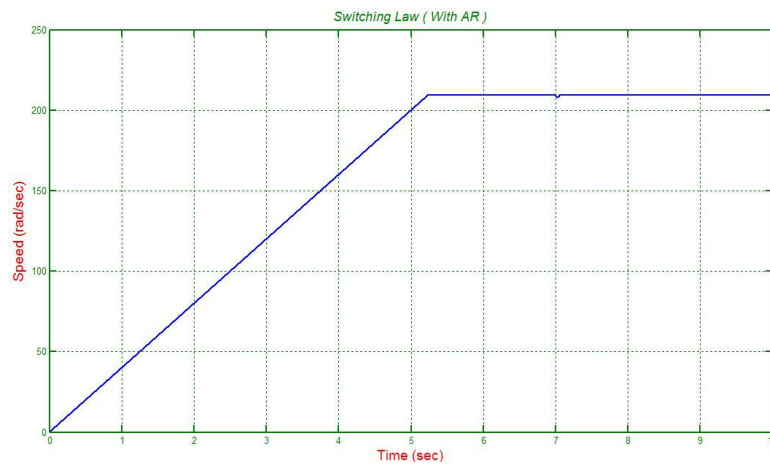


أ- منحنى استجابة السرعة بالنسبة للزمن

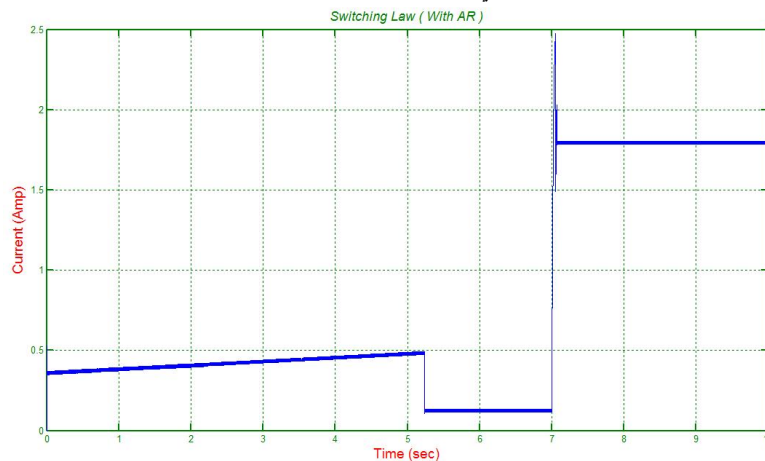


ب- منحنى استجابة التيار بالنسبة للزمن

الشكل (3-14): منحنيات استجابة السرعة والتيار وفق طريقة قانون التبديل عند إهمال رد فعل المتحرض بينما يبين الشكل (3-15) منحنيات استجابة السرعة والتيار وفق طريقة قانون التبديل عند أخذ رد فعل المتحرض بعين الاعتبار.



أ- منحنى استجابة السرعة بالنسبة للزمن



ب- منحنى استجابة التيار بالنسبة للزمن

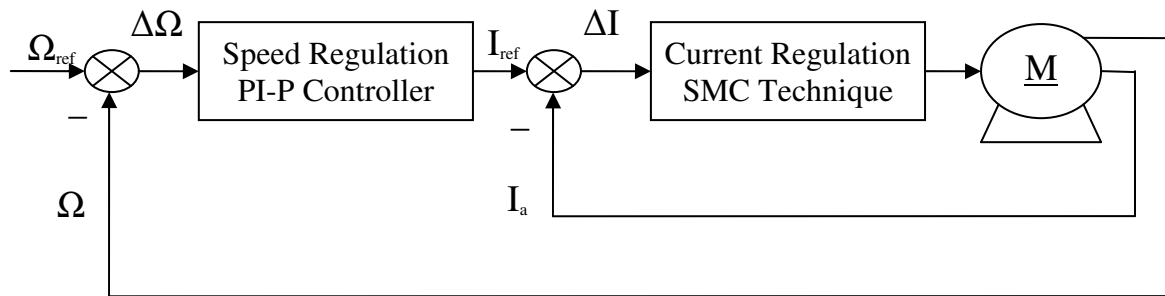
الشكل (3-15): منحنيات استجابة السرعة والتيار وفق طريقة قانون التبديل عند أخذ رد فعل المتحرض بعين الاعتبار بالمقارنة بين حالتي أخذ رد فعل المتحرض بعين الاعتبار وإهماله وفق طريقة قانون التبديل يُلاحظ أن منحنيات الاستجابة السابقة متطابقة، مما يشير إلى انخفاض تأثير رد فعل المتحرض على أداء النظام ككل، ويؤكد مناعة

النظام ضد تغير المعاملات الداخلية للجملة المتحكم بها.

### 2.10.3. تنظيم السرعة مع تنظيم التيار

#### أ- طريقة التحكم المكافئ

يمثل المخطط الصندوقي المبين بالشكل (3-16) منظومة التحكم بالسرعة مع تنظيم التيار، تتألف هذه المنظومة من حلقتي تحكم، إحداها داخلية والأخرى خارجية، تمثل الحلقة الداخلية حلقة تنظيم التيار وفق خوارزمية النمط الانزلاقي، بينما تمثل الحلقة الخارجية حلقة تنظيم السرعة باستخدام منظومات  $PI-P$ .



الشكل (3-16): المخطط الصندوقي العام لدارة تنظيم السرعة مع تنظيم التيار وفق خوارزمية SMC

#### أولاً: حلقة تنظيم التيار

تُختار أولاً معادلة تابع تبديل مناسبة تعبر عن إشارة خطأ التيار، كما هو مبين بالعلاقة:

$$S_I = I_{a\_ref} - I_a \quad (3-65)$$

سيتم التحكم بتيار المحرك من خلال تغيير جهد المتحرض  $V_a$  بواسطة مبدلة ترانزستورية، وبالتالي يتوجب إيجاد علاقة شعاع الدخل المكافئ الممثلة للجهد الواجب تطبيقه على المتحرض من خلال المبدلة، يتم إيجاد معادلة شعاع الدخل المكافئ (معادلة سطح الانزلاق)، انطلاقاً من الشروط التالية:

$$\begin{aligned} S_I(x, t) &= 0 \\ \dot{S}_I(x, t) &= 0 \end{aligned} \quad (3-66)$$

باشتقاق المعادلة (3-65) نحصل على العلاقة التالية:

$$\dot{S}_I = -\dot{I}_a \quad (3-67)$$

نقوم الآن بالتعبير عن تيار المتحرض بدلالة معادلة جهد المتحرض، حيث تعطى علاقته كما يلي:

$$V_a = E_a + R_a \cdot I_a + L_a \frac{dI_a}{dt} \Rightarrow \dot{I}_a = \frac{1}{L_a} [V_a - E_a - R_a \cdot I_a] \quad (3-68)$$

نعوض قيمة  $\dot{I}_a$  في العلاقة (3-67):

$$\dot{S}_I = \frac{-1}{L_a} [V_a - E_a - R_a \cdot I_a] \quad (3-69)$$

$$\frac{V_a}{L_a} = \frac{1}{L_a} [E_a + R_a \cdot I_a] - \dot{S}_I \quad (3-70)$$

توضح العلاقة التالية معادلة جهد التحكم الكلي:

$$V^* = V_a = [E_a + R_a \cdot I_a] - L_a \cdot \dot{S}_I \quad (3-71)$$

للحصول على معادلة جهد التحكم المكافئ يُعوض عن الحد  $\dot{S}_I$  بصفر في معادلة قانون التحكم:

$$V_{eq} = E_a + R_a \cdot I_a \quad (3-72)$$

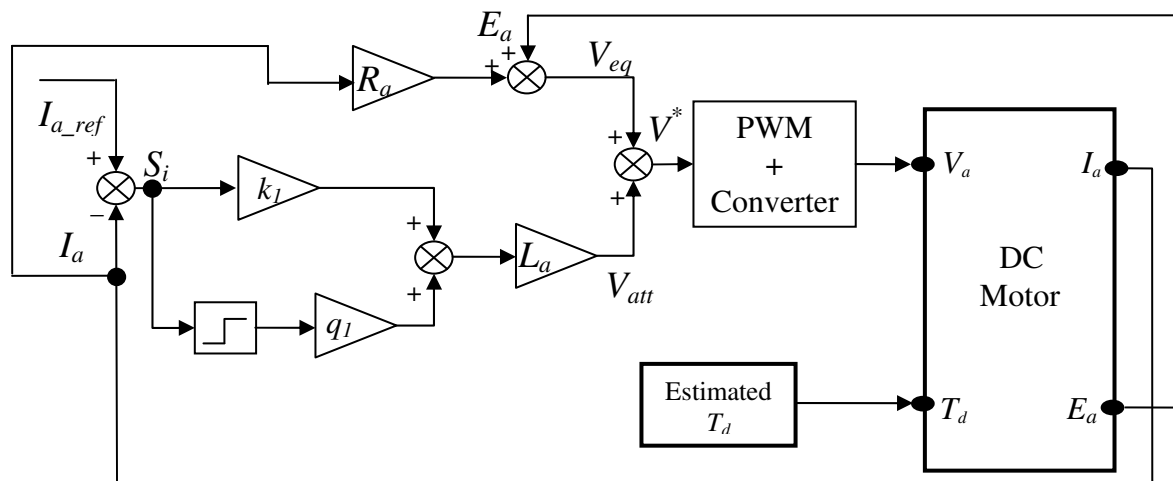
تصف المعادلة السابقة السلوك الديناميكي للنظام على سطح الانزلاق، وتمثل جهد المتحرض اللازم تطبيقه لضمان بقاء تيار المتحرض عند قيمته المرجعية المطلوبة، وذلك بعد جذب متحول الحالة (تيار المتحرض) باتجاه هذا السطح، ولكي نلزم متحول الحالة (تيار المتحرض) بالتحرك نحو سطح الانزلاق (أي باتجاه التيار المرجعي)، فإنه لا بد من استبدال الحد  $\dot{S}_I$  بقانون جذب مناسب، كما هو موضح بالعلاقة:

$$\dot{S}_I = -q_1 \operatorname{sgn}(S_I) - k_1 \cdot S_I = V_{att} \quad (3-73)$$

تعطي العلاقة السابقة فكرة عن السلوك الديناميكي للنظام من لحظة انطلاق مسار متحول الحالة (التيار) من نقطة البداية حتى الوصول إلى سطح الانزلاق، بتعويض العلاقة (73-3) في العلاقة (71-3)، نستنتج معادلة قانون التحكم الكلي للحلقة الداخلية لتنظيم التيار.

$$V_a = [E_a + R_a \cdot I_a] + L_a [q_1 \operatorname{sgn}(S_I) + k_1 \cdot S_I] \quad (3-74)$$

يبين الشكل (17-3) المخطط الصندوقي الممثل لحلقة التيار المبنية وفق طريقة التحكم المكافئ.



الشكل (17-3): المخطط الصندوقي للحلقة الداخلية لتنظيم التيار وفق طريقة التحكم المكافئ

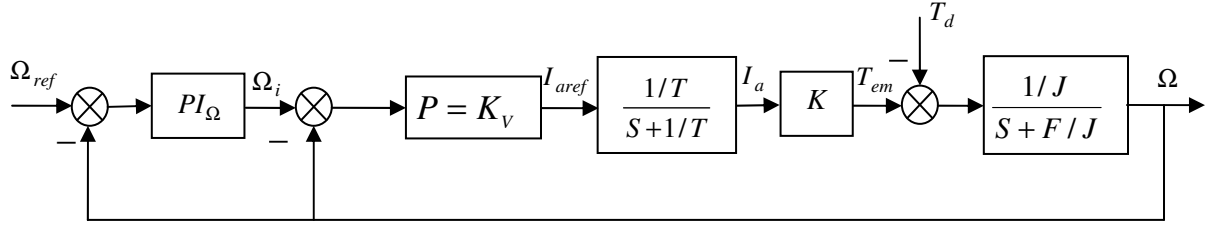
### ثانياً: حلقة تنظيم السرعة

سيتم بناء حلقة تنظيم السرعة بشكل مشابه للطريقة المتبعة عند دراسة تنظيم السرعة مع تنظيم التيار باستخدام منظمات PID. في البداية، نظراً لأن حلقة تنظيم التيار مبنية وفق خوارزمية النمط الانزلاقي والتي تمثل نظام تحكم متقطع فإنه لا بد من استبدالها بتابع انتقال من المرتبة الأولى:

$$Y(s) = \frac{1}{TS+1} = \frac{1/T}{S+1/T} \quad (3-75)$$

يتم إيجاد قيمة الثابت الزمني  $T$ ، وذلك برسم الاستجابة الزمنية لحلقة تنظيم التيار الداخلية المبنية وفق خوارزمية النمط الانزلاقي والناجمة عن تطبيق إشارة القفزة الواحدية بمطال أعظمي مساوٍ لـ 1.8A (أي ما يكافئ تيار المحرك الاسمي).

بعد رسم الاستجابة الزمنية لحلقة تنظيم التيار في بيئة *MATLAB-SIMULINK*، يُحسب الثابت الزمني  $T$  المقابل لمرور 63.2% من التيار الأعظمي، إن قيمة الثابت الزمني الناتجة هي  $T = 0.0108 \text{ sec}$ .  
يُبين الشكل (3-18) المخطط الصندوقي المعبر عن منظومة التحكم بالسرعة مع تنظيم التيار.



الشكل (3-18): المخطط الصندوقي المعبر عن منظومة التحكم بالسرعة مع تنظيم التيار

من المخطط الصندوقي السابق نجد أن تابع انتقال الحلقة الداخلية لتنظيم السرعة يُعطى بالعلاقة:

$$\frac{\Omega}{\Omega_i} = \frac{K_v \cdot K / (T \cdot J)}{S^2 + \left(\frac{F}{J} + \frac{1}{T}\right)S + \frac{F + K_v \cdot K}{T \cdot J}} \quad (3-76)$$

بفرض أن ثابت التخماد مساوٍ للواحد ( $\xi = 1$ )، عندئذٍ تُحسب قيمة  $\omega_{n1}$  من العلاقة:

$$2 \cdot \xi \cdot \omega_{n1} = \frac{F}{J} + \frac{1}{T} \Rightarrow \omega_{n1} = \frac{J + F \cdot T}{2 \cdot J \cdot T} = P_1 = P_2 \quad (3-77)$$

أما قيمة  $K_v$  فتحسب من العلاقة:

$$\omega_{n1}^2 = \frac{F + K_v \cdot K}{T \cdot J} \Rightarrow K_v = (T \cdot J \cdot \omega_{n1}^2 - F) / K \quad (3-78)$$

نظراً لأن قيمة معامل التخماد مساوية للواحد ( $\xi = 1$ )، فإن المعادلة المميزة لتابع الانتقال تمتلك قطبين حقيقيين متمائليين، وبالتالي يمكن كتابة تابع انتقال الحلقة الداخلية لتنظيم السرعة كما يلي:

$$\frac{\Omega}{\Omega_i} = \frac{K_v \cdot K / T \cdot J}{(S + P_1)(S + P_2)} \quad ; \quad P_1 = P_2 = \omega_{n1} \quad (3-79)$$

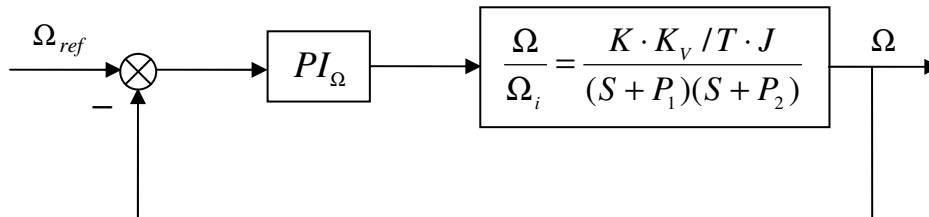
يُعطى تابع انتقال المنظم التناسبي - التكاملي وفق العلاقة:

$$PI_{\Omega} = K_{P\Omega} + \frac{K_{I\Omega}}{S} = \frac{K_{P\Omega} \left(S + \frac{K_{I\Omega}}{K_{P\Omega}}\right)}{S} \quad (3-80)$$

بفرض أن:  $P_1 = \frac{K_{I\Omega}}{K_{P\Omega}}$ ، فإن تابع انتقال المنظم  $PI_{\Omega}$  يكتب كما يلي:

$$PI_{\Omega} = \frac{K_{P\Omega} (S + P_1)}{S} \quad (3-81)$$

انطلاقاً مما سبق يمكن رسم المخطط الصندوقي (3-19) الممثل لحلقة تنظيم السرعة الخارجية كما يلي:



الشكل (3-19): المخطط الصندوقي لحلقة تنظيم السرعة الخارجية

يُعطى تابع الانتقال الكلي لجملة التحكم وفق العلاقة:

$$\frac{\Omega}{\Omega_{ref}} = \frac{\frac{K_{P\Omega} \cdot K_V \cdot K}{T \cdot J}}{S^2 + P_2 S + \frac{K_{P\Omega} \cdot K_V \cdot K}{T \cdot J}} \quad (3-82)$$

باختيار  $\xi = 0.7$  يمكن حساب ثوابت المنظم التناسبي - التكاملي لحلقة السرعة كما يلي:

$$2 \cdot \xi \cdot \omega_{n2} = P_2 \Rightarrow \omega_{n2} = \frac{P_2}{1.4} = \frac{\omega_{n1}}{1.4} \quad (3-83)$$

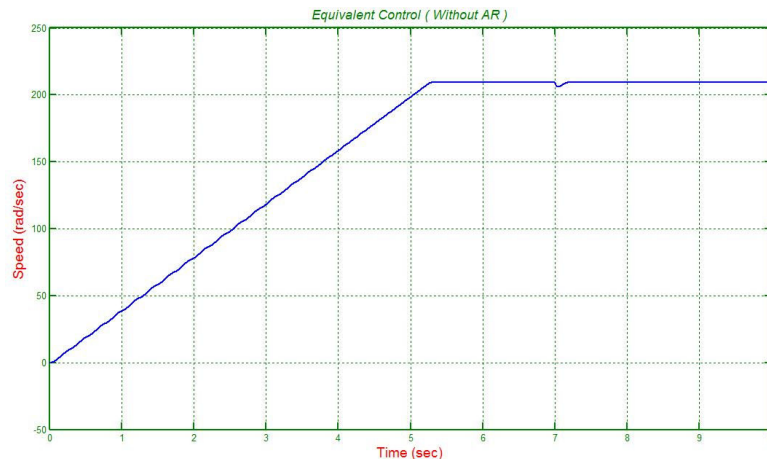
وبما أن  $\omega_{n2}^2 = \frac{K_{P\Omega} \cdot K_V \cdot K}{T \cdot J}$ ، عندئذٍ تحسب قيمة المعامل التناسبي  $K_{P\Omega}$  من العلاقة:

$$K_{P\Omega} = \frac{\omega_{n2}^2 \cdot T \cdot J}{K_V \cdot K} \quad (3-84)$$

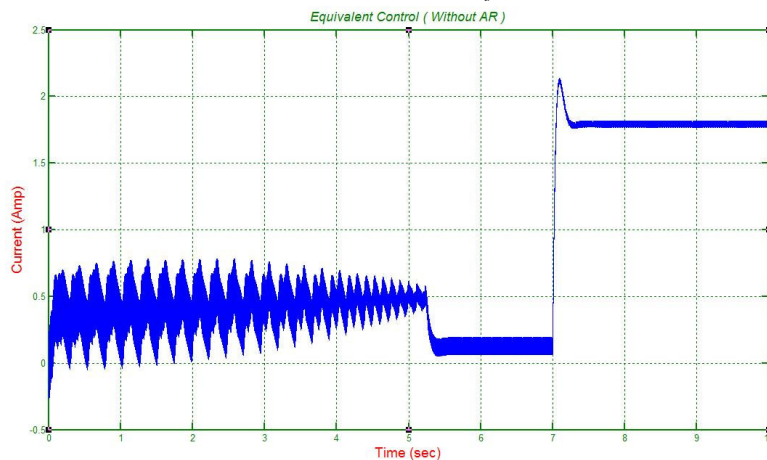
بعد حساب قيمة  $K_{P\Omega}$  يمكن حساب قيمة  $K_{I\Omega}$  من العلاقة التالية:

$$K_{I\Omega} = K_{P\Omega} \cdot P_1 = K_{P\Omega} \cdot \omega_{n1} \quad (3-85)$$

بهدف اختبار منظومة التحكم وفق المعايير المعتمدة سابقاً تم رسم منحنيات الاستجابة الزمنية، يبين الشكل (3-20) منحنيات الاستجابة لكل من السرعة والتيار عند إهمال رد فعل المتحرض.



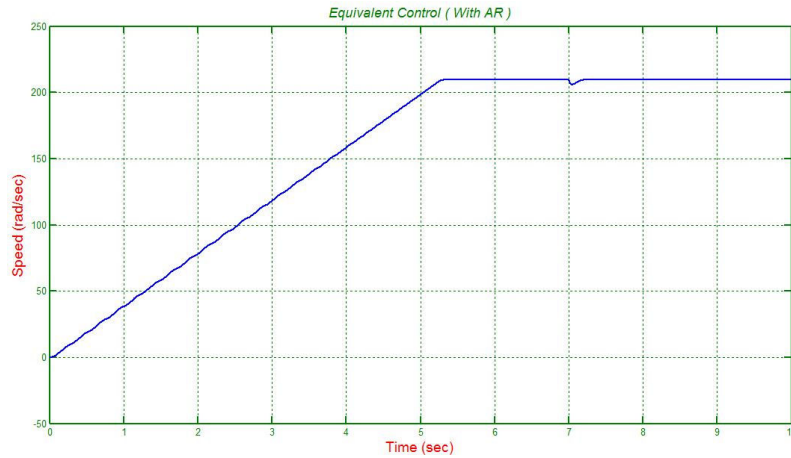
أ- منحنى استجابة السرعة بالنسبة للزمن



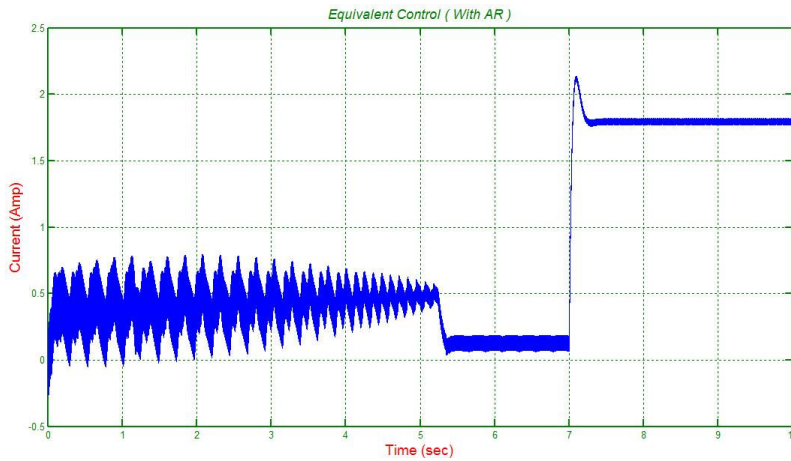
ب- منحنى استجابة التيار بالنسبة للزمن

الشكل (3-20): منحنيات استجابة السرعة والتيار وفق طريقة التحكم المكافئ عند إهمال رد فعل المتحرض

بينما يبين الشكل (3-21) منحنيات استجابة السرعة والتيار وفق طريقة التحكم المكافئ وذلك عند أخذ رد فعل المتحرض بعين الاعتبار.



أ- منحنى استجابة السرعة بالنسبة للزمن



ب- منحنى استجابة التيار بالنسبة للزمن

الشكل (3-21): منحنيات استجابة السرعة والتيار وفق طريقة التحكم المكافئ عند أخذ رد فعل المتحرض بعين الاعتبار بالمقارنة بين حالتي أخذ رد فعل المتحرض بعين الاعتبار وإهماله وفق طريقة التحكم المكافئ، يُلاحظ أن منحنيات الاستجابة السابقة متطابقة، مما يشير إلى انخفاض تأثير رد فعل المتحرض على أداء النظام ككل، ويؤكد مناعة النظام ضد تغير المعاملات الداخلية للجملة المتحكم بها.

#### ب- طريقة قانون التبديل

تتألف منظومة التحكم بالسرعة مع تنظيم التيار وفق طريقة قانون التبديل أيضاً من حلقتي تحكم، إحداها داخلية والأخرى خارجية، تمثل الحلقة الداخلية حلقة تنظيم التيار وفق خوارزمية النمط الانزلاقي، بينما تمثل الحلقة الخارجية حلقة تنظيم السرعة باستخدام منظومات  $PI-P$ .

#### أولاً: حلقة تنظيم التيار

تم اختيار معادلة تابع تبديل مناسبة تعبر عن إشارة خطأ التيار، وفق العلاقة التالية:

$$S_I = C \cdot (I_a - I_{a\_ref}) \quad (3-86)$$

انطلاقاً من المعادلة السابقة، يمكن التمييز بين الحالات التالية:



$$S_I = 0 \quad -1$$

في هذه الحالة يكون تيار المحرك مساوٍ للتيار المرجعي، أي أن نظام التحكم يتحرك على سطح الانزلاق.

$$S_I > 0 \quad -2$$

تصف هذه الحالة سلوك الجملعة عندما يكون التيار المرجعي المطلوب أكبر من تيار المتحرض الفعلي، وبالتالي لا بد من زيادة جهد المتحرض إلى الجهد الاسمي حتى الوصول إلى التيار المرجعي، أي:

$$V^+ = 220 \quad \text{when} \quad S_I > 0$$

$$S_I < 0 \quad -3$$

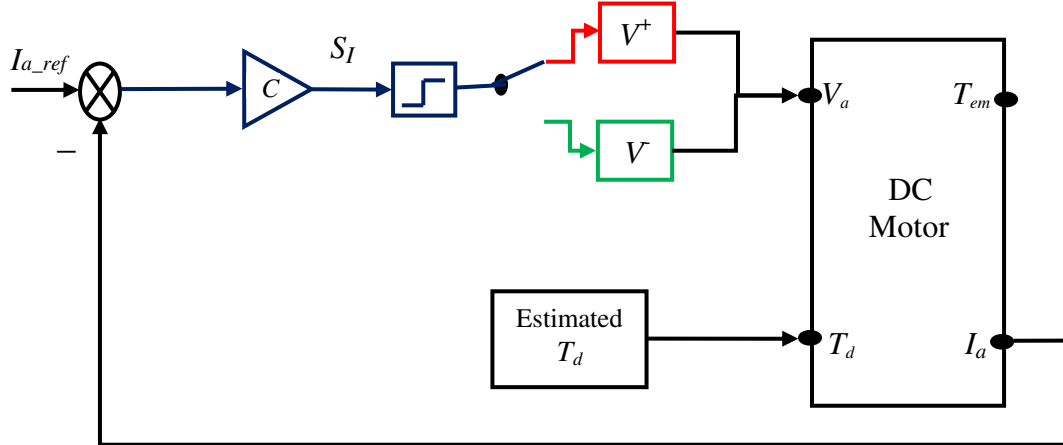
تصف هذه الحالة سلوك الجملعة عندما يكون التيار المرجعي المطلوب أصغر من تيار المتحرض، مما يقتضي ضرورة تطبيق جهد المتحرض الاسمي ولكن بقطبية سالبة حتى يتساوى كلا التيارين، توصف هذه الحالة بالعلاقة:

$$V^- = -220 \quad \text{when} \quad S_I < 0$$

انطلاقاً من الحالات السابقة يمكن كتابة قانون التبديل المعبر عن نظام التحكم بالعلاقة التالية:

$$V = \begin{cases} V^+ = 220 & \text{when} \quad S_I > 0 \\ V^- = -220 & \text{when} \quad S_I < 0 \end{cases} \quad (3-87)$$

إن قانون التبديل السابق يعمل بشكلٍ مشابه لعمل المبدلة الإلكترونية (DC - DC Converter)، يبين الشكل أدناه المخطط الصندوقي للحلقة الداخلية لتنظيم التيار وفق طريقة قانون التبديل.

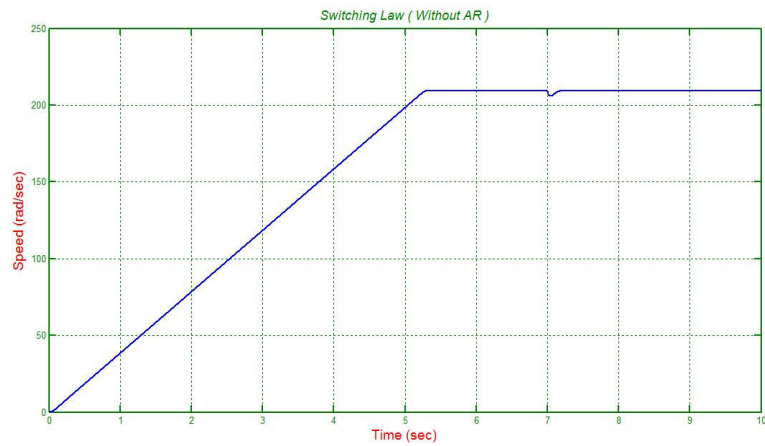


الشكل (3-22): المخطط الصندوقي للحلقة الداخلية لتنظيم التيار وفق طريقة قانون التبديل

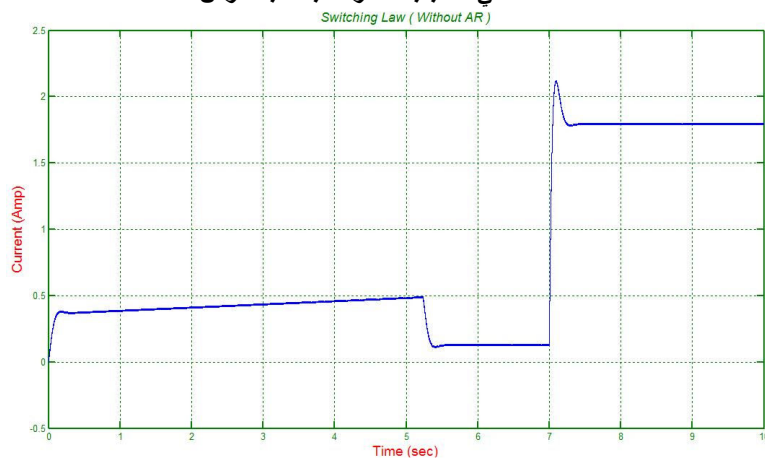
### ثانياً: حلقة تنظيم السرعة

إن حلقة تنظيم السرعة الواجب استخدامها مكافئة تماماً للحلقة المدروسة في طريقة التحكم المكافئ المشروحة سابقاً (الشكل (3-18))، بشكلٍ مشابه لما سبق تم اختبار منظومة التحكم ضمن بيئة MATLAB-SIMULINK، يبين الشكل (3-23) منحنيات استجابة السرعة والتيار وفق طريقة قانون التبديل عند إهمال رد فعل المتحرض، بينما يبين الشكل (3-24) منحنيات استجابة السرعة والتيار وذلك عند أخذ رد فعل المتحرض بعين الاعتبار.

من الجدير بالذكر أنه عند مقارنة منحنيات الاستجابة بين حالتي أخذ رد فعل المتحرض بعين الاعتبار وإهماله وفق طريقة قانون التبديل، لوحظ أنها كانت متطابقة، مما يشير إلى انخفاض تأثير رد فعل المتحرض على أداء النظام ككل ويؤكد مناعة النظام ضد تغير المعاملات الداخلية للجملعة المتحكم بها.

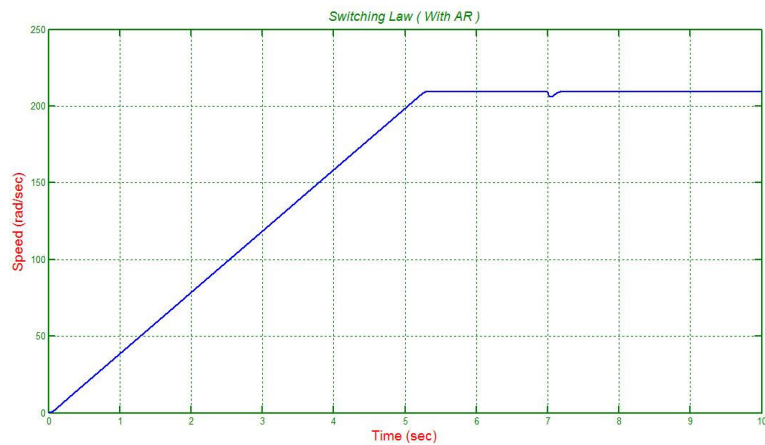


أ- منحنى استجابة السرعة بالنسبة للزمن

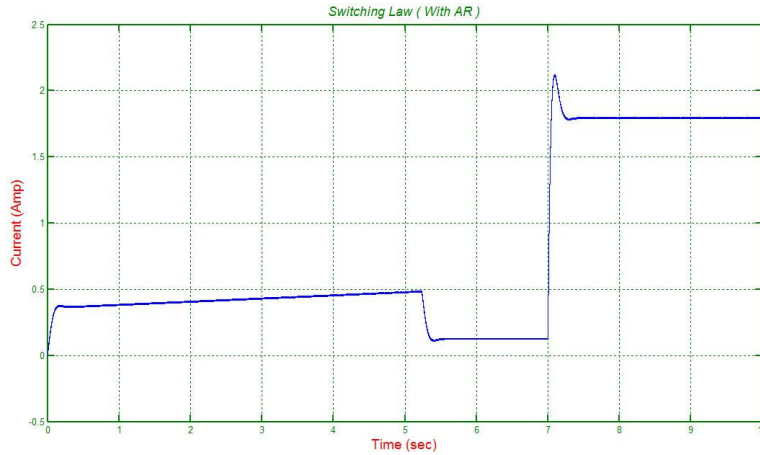


ب- منحنى استجابة التيار بالنسبة للزمن

الشكل (3-23): منحنيات استجابة السرعة والتيار وفق طريقة قانون التبديل عند إهمال رد فعل المتحرض



أ- منحنى استجابة السرعة بالنسبة للزمن



ب- منحنى استجابة التيار بالنسبة للزمن

الشكل (3-24): منحنيات استجابة السرعة والتيار وفق طريقة قانون التبديل مع أخذ رد فعل المتحرض بعين الاعتبار

### 11.3. تحويل معادلات التحكم إلى النظامين الرقمي والواحد

بشكل مشابه لما تم استعراضه في طريقة تنظيم سرعة المحرك بالاعتماد على منظمات  $PID$ ، فإنه لا بد من تحويل المعادلات المعبرة عن جملة التحكم المبنية وفق خوارزمية النمط الانزلاقي من نظام الزمن المستمر إلى كل من النظامين الرقمي والواحد، ولكن من الجدير بالذكر أنه لا حاجة إلى تحويل المعادلات المعبرة عن نظام التحكم وفق طريقة قانون التبديل (المعادلات (3-64) و (3-87)) إلى النظام الرقمي لأنها تعبر في الأساس عن نظام التحكم في مجال الزمن المتقطع، بينما يمكن تحويل هذه المعادلات إلى النظام الواحد بحيث تكتب وفق العلاقة التالية:

$$V = \begin{cases} V^+ = 1 & \text{when } S > 0 \\ V^- = -1 & \text{when } S < 0 \end{cases} \quad (3-88)$$

خلال هذه الفقرة سيتم التركيز على كيفية تحويل معادلات التحكم المكتوبة وفق طريقة التحكم المكافئ إلى كل من النظامين الرقمي والواحد.

#### 1.11.3. تحويل معادلات التحكم المعبرة عن طريقة تنظيم السرعة بدون تنظيم التيار:

كما استنتج سابقاً فإن المعادلة المعبرة عن قانون التحكم المكافئ الكلي تُعطى وفق العلاقة (3-57) التالية:

$$V^* = \frac{L_u}{C \cdot K} \left[ \left( \frac{C \cdot R_u}{L_u} - 1 \right) \cdot T_{em} + \left( \frac{C \cdot K^2}{L_u} + F \right) \cdot \Omega + C \cdot F \cdot \dot{\Omega} + T_d \right] + \frac{J \cdot L_u}{C \cdot K} [q_1 \operatorname{sgn} \delta_\Omega + k_1 \cdot S_\Omega] \quad (3-57\text{-rep})$$

يتم تحويل المعادلة السابقة إلى النظام الرقمي وذلك باستبدال مشتق السرعة  $\dot{\Omega}$  بما يكافؤه من العلاقة التالية:

$$\dot{\Omega} = (\Omega_K - \Omega_{K-1}) / \tau \quad (3-89)$$

وبالتالي تكتب معادلة قانون التحكم المكافئ وفق النظام الرقمي بالعلاقة التالية:

$$V^* = \frac{L_u}{C \cdot K} \left[ \left( \frac{C \cdot R_u}{L_u} - 1 \right) \cdot T_{em} + \left( \frac{C \cdot K^2}{L_u} + F \right) \cdot \Omega_K + C \cdot F \cdot \frac{(\Omega_K - \Omega_{K-1})}{\tau} + T_d \right] + \frac{J \cdot L_u}{C \cdot K} [q_1 \operatorname{sgn} \delta_\Omega + k_1 \cdot S_\Omega] \quad (3-90)$$

سنقوم فيما يلي بتحويل معادلة قانون التحكم المكافئ الكلي من النظام الرقمي إلى النظام الواحد، وللتبسيط سيتم

تحويل كل من معادلة التحكم المكافئ  $V_{eq}$  ومعادلة قانون الجذب  $V_{att}$  على حدة.

تُعطى معادلة التحكم المكافئ  $V_{eq}$  وفق النظام الرقمي بالعلاقة:

$$V_{eq} = \frac{L_a}{C \cdot K} \left[ \left( \frac{C \cdot R_a}{L_a} - 1 \right) \cdot T_{em} + \left( \frac{C \cdot K^2}{L_a} + F \right) \cdot \Omega_K + C \cdot F \cdot \left( \frac{\Omega_K - \Omega_{K-1}}{\tau} \right) + T_d \right] \quad (3-91)$$

بالاصلاح وتجميع الحدود المتشابهة مع بعضها البعض نحصل على العلاقة التالية:

$$V_{eq} = \frac{L_a}{C \cdot K} \left[ \left( \frac{C \cdot R_a}{L_a} - 1 \right) \cdot T_{em} + \left( \frac{C \cdot K^2}{L_a} + F + \frac{C \cdot F}{\tau} \right) \cdot \Omega_K - \frac{C \cdot F}{\tau} \cdot \Omega_{K-1} + T_d \right] \quad (3-92)$$

نقوم بنسب حدود المعادلة إلى القيمة الأعظمية (الاسمية) لجهد المتحرض

$$\frac{V_{eq}}{V_{a_{max}}} = \frac{L_a}{C \cdot K} \left[ \left( \frac{C \cdot R_a}{L_a} - 1 \right) \cdot \frac{T_{em}}{V_{a_{max}}} + \left( \frac{C \cdot K^2}{L_a} + F + \frac{C \cdot F}{\tau} \right) \cdot \frac{\Omega_K}{V_{a_{max}}} - \frac{C \cdot F}{\tau} \cdot \frac{\Omega_{K-1}}{V_{a_{max}}} + \frac{T_d}{V_{a_{max}}} \right] \quad (3-93)$$

نضرب ونقسم كل حد بالقيمة الأعظمية الموافقة له، عندئذٍ تعطى المعادلة النهائية المعبرة عن الجهد المكافئ وفق النظام الواحدى بالعلاقة:

$$V_{eq_u} = \frac{L_a}{C \cdot K} \left[ \left( \frac{C \cdot R_a}{L_a} - 1 \right) \cdot \frac{T_{em_{max}}}{V_{a_{max}}} \cdot T_{emu} + \left( \frac{C \cdot K^2}{L_a} + F + \frac{C \cdot F}{\tau} \right) \cdot \frac{\Omega_{max}}{V_{a_{max}}} \cdot \Omega_{Ku} - \frac{C \cdot F}{\tau} \cdot \frac{\Omega_{max}}{V_{a_{max}}} \cdot \Omega_{K-1u} + \frac{T_{em_{max}}}{V_{a_{max}}} \cdot T_{du} \right] \quad (3-94)$$

بشكل مشابه يمكن إيجاد معادلة قانون الجذب للنظام المدروس في النظام الواحدى. ننتقل في البداية من معادلة قانون الجذب في المجال الرقمي:

$$V_{att} = \frac{-J \cdot L_a}{C \cdot K} \cdot \dot{S}_\Omega \quad ; \dot{S}_\Omega = -q_1 \operatorname{sgn}(S_\Omega) - k_1 \cdot S_\Omega \quad (3-95)$$

$$V_{att} = \frac{J \cdot L_a}{C \cdot K} \cdot [q_1 \operatorname{sgn}(S_\Omega) + k_1 \cdot S_\Omega] \quad ; S_\Omega = (\Omega_{ref} - \Omega_K) - \frac{C}{\tau} \cdot (\Omega_K - \Omega_{K-1}) \quad (3-96)$$

قبل البدء بتحويل معادلة قانون الجذب من النظام الرقمي إلى الواحدى، سنقوم بتحويل معادلة تابع التبديل  $S_\Omega$  إلى النظام الواحدى وذلك بنسب جميع حدود المعادلة إلى سرعة الدوران الأعظمية  $\Omega_{max}$ :

$$S_{\Omega_u} = \frac{\Omega_{ref}}{\Omega_{max}} - \left(1 + \frac{C}{\tau}\right) \cdot \frac{\Omega_K}{\Omega_{max}} + \frac{C}{\tau} \cdot \frac{\Omega_{K-1}}{\Omega_{max}} \Rightarrow S_{\Omega_u} = \frac{\Omega_{ref}}{\Omega_{max}} - \left(1 + \frac{C}{\tau}\right) \cdot \Omega_{Ku} + \frac{C}{\tau} \cdot \Omega_{K-1u} \quad (3-97)$$

بالعودة إلى معادلة قانون الجذب في النظام الرقمي، نقوم باصلاح وتجميع الحدود المتشابهة مع بعضها البعض، فنحصل على العلاقة التالية:

$$V_{att} = \frac{J \cdot L_a}{C \cdot K} \cdot q_1 \operatorname{sgn}(S_\Omega) - \left( \frac{J \cdot L_a \cdot k_1}{C \cdot K} + \frac{J \cdot L_a \cdot k_1}{\tau \cdot K} \right) \Omega_K + \frac{J \cdot L_a \cdot k_1}{\tau \cdot K} \Omega_{K-1} + \frac{J \cdot L_a \cdot k_1}{C \cdot K} \Omega_{ref} \quad (3-98)$$

نقوم بنسب حدود المعادلة إلى القيمة الأعظمية (الاسمية) لجهد المتحرض فنحصل على العلاقة:

$$\frac{V_{att}}{V_{a_{max}}} = \frac{J \cdot L_a}{C \cdot K \cdot V_{a_{max}}} \cdot q_1 \operatorname{sgn}(S_\Omega) - \left( \frac{J \cdot L_a \cdot k_1}{C \cdot K} + \frac{J \cdot L_a \cdot k_1}{\tau \cdot K} \right) \frac{\Omega_K}{V_{a_{max}}} + \frac{J \cdot L_a \cdot k_1}{\tau \cdot K} \frac{\Omega_{K-1}}{V_{a_{max}}} + \frac{J \cdot L_a \cdot k_1}{C \cdot K} \frac{\Omega_{ref}}{V_{a_{max}}} \quad (3-99)$$

نضرب ونقسم كل حد بالقيمة الأعظمية الموافقة له، كما هو مبين بالعلاقة:

$$\frac{V_{att}}{V_{a_{max}}} = \frac{J \cdot L_a}{C \cdot K \cdot V_{a_{max}}} \cdot q_1 \operatorname{sgn}(S_{\Omega_u}) - \left( \frac{J \cdot L_a \cdot k_1}{C \cdot K} + \frac{J \cdot L_a \cdot k_1}{\tau \cdot K} \right) \frac{\Omega_K}{\Omega_{max}} \frac{\Omega_{max}}{V_{a_{max}}} + \frac{J \cdot L_a \cdot k_1}{\tau \cdot K} \frac{\Omega_{K-1}}{\Omega_{max}} \frac{\Omega_{max}}{V_{a_{max}}} + \frac{J \cdot L_a \cdot k_1}{C \cdot K} \frac{\Omega_{ref}}{V_{a_{max}}} \quad (3-100)$$

عندئذٍ تعطى المعادلة النهائية المعبرة عن جهد الجذب وفق النظام الواحدى بالعلاقة التالية:

$$V_{att_u} = \frac{J \cdot L_a}{C \cdot K \cdot V_{a_{max}}} \cdot q_1 \operatorname{sgn}(S_{\Omega_u}) - \left( \frac{J \cdot L_a \cdot k_1}{C \cdot K} + \frac{J \cdot L_a \cdot k_1}{\tau \cdot K} \right) \frac{\Omega_{max}}{V_{a_{max}}} \cdot \Omega_{Ku} + \frac{J \cdot L_a \cdot k_1}{\tau \cdot K} \frac{\Omega_{max}}{V_{a_{max}}} \cdot \Omega_{K-1u} + \frac{J \cdot L_a \cdot k_1}{C \cdot K} \frac{\Omega_{ref}}{V_{a_{max}}} \quad (3-101)$$

### 2.11.3. تحويل معادلات التحكم المعبرة عن طريقة تنظيم السرعة مع تنظيم التيار

#### أولاً: حلقة تنظيم التيار

كما استنتج سابقاً، تُعطى معادلة التحكم المكافئ الكلية المعبرة عن جهد المتحرض لحلقة تنظيم التيار في مجال الزمن المستمر بالعلاقة (3-74):

$$V^* = V_{eq} + V_{att} = [E + R_a \cdot I_a] + L_a [q_1 \operatorname{sgn}(S_I)] + k_1 \cdot (I_{a_{ref}} - I_a) \quad (3-74\text{-rep})$$

نظراً لأن المعادلة السابقة لا تحتوي على أي حد تفاضلي فإنها تعبر أيضاً عن معادلة التحكم المكافئ الكلية في النظام الرقمي. لتحويل المعادلة السابقة إلى النظام الواحد، نقوم بتجميع الحدود المتشابهة مع بعضها البعض.

$$V^* = E + (R_a - L_a \cdot k_1) I_a + L_a \cdot k_1 \cdot I_{a_{ref}} + L_a \cdot q_1 \operatorname{sgn}(S_I) \quad (3-102)$$

ننسب حدود المعادلة السابقة إلى القيمة الأعظمية (الاسمية) لجهد المتحرض فنحصل على العلاقة:

$$\frac{V^*}{V_{a_{max}}} = \frac{E}{V_{a_{max}}} + (R_a - L_a \cdot k_1) \frac{I_a}{V_{a_{max}}} + L_a \cdot k_1 \cdot \frac{I_{a_{ref}}}{V_{a_{max}}} + \frac{L_a \cdot q_1 \operatorname{sgn}(S_I)}{V_{a_{max}}} \quad (3-103)$$

نصرب الحد  $\frac{I_a}{V_{a_{max}}} (R_a - L_a \cdot k_1)$  فتصبح العلاقة:

$$\frac{V^*}{V_{a_{max}}} = \frac{E}{V_{a_{max}}} + (R_a - L_a \cdot k_1) \frac{I_a}{I_{a_{max}}} \frac{I_{a_{max}}}{V_{a_{max}}} + L_a \cdot k_1 \cdot \frac{I_{a_{ref}}}{V_{a_{max}}} + \frac{L_a \cdot q_1 \operatorname{sgn}(S_{I_u})}{V_{a_{max}}} \quad (3-104)$$

تُعطي المعادلة النهائية المعبرة عن الجهد المكافئ وفق النظام الواحد بالعلاقة التالية:

$$V_u^* = E_u + (R_a - L_a \cdot k_1) \cdot I_{a_u} \cdot \frac{I_{a_{max}}}{V_{a_{max}}} + L_a \cdot k_1 \cdot \frac{I_{a_{ref}}}{V_{a_{max}}} + \frac{L_a \cdot q_1 \operatorname{sgn}(S_{I_u})}{V_{a_{max}}} \quad (3-105)$$

#### ثانياً: حلقة تنظيم السرعة

نظراً لأن حلقة تنظيم السرعة مبنية وفق طريقة منظمات  $PID$ ، فإنه يمكن الحصول على المكافئ الواحدي لتابع انتقال المنظم التناسبي، وكذلك المنظم التناسبي- التكاملي المشكلين لحلقة تنظيم السرعة المدروسة وذلك بمراجعة الفصل الثاني من هذا البحث.

#### ثالثاً: دائرة تخمين عزم الحموله

تُعطي المعادلة الرياضية المعبرة عن عزم الحموله المخمن في مجال الزمن المستمر، كما استنتج سابقاً، بالعلاقة (3-59):

$$T_d = K \cdot I_a - J \cdot \dot{\Omega} - F \cdot \Omega \quad (3-59\text{-rep})$$

يمكن كتابة المعادلة السابقة وفق النظام الرقمي بالعلاقة:

$$T_d = K \cdot I_a - J \cdot \left( \frac{\Omega_K - \Omega_{K-1}}{\tau} \right) - F \cdot \Omega_K \quad (3-106)$$

لتحويل المعادلة من النظام الرقمي إلى النظام الواحد، نقوم بتجميع الحدود المتشابهة مع بعضها البعض.

$$T_d = K \cdot I_a - \left( \frac{J}{\tau} + F \right) \cdot \Omega_K + \frac{J}{\tau} \Omega_{K-1} \quad (3-107)$$

ننسب حدود المعادلة السابقة إلى القيمة الأعظمية (الاسمية) للعزم الكهرومغناطيسي فنحصل على العلاقة:

$$\frac{T_d}{T_{em_{max}}} = K \cdot \frac{I_a}{T_{em_{max}}} - \left(\frac{J}{\tau} + F\right) \cdot \frac{\Omega_K}{T_{em_{max}}} + \frac{J}{\tau} \frac{\Omega_{K-1}}{T_{em_{max}}} \quad (3-108)$$

نضرب ونقسم كل حد في المعادلة السابقة بالقيمة الأعظمية الموافقة له، فتصبح العلاقة:

$$\frac{T_d}{T_{em_{max}}} = K \cdot \frac{I_a}{I_{a_{max}}} \frac{I_{a_{max}}}{T_{em_{max}}} - \left(\frac{J}{\tau} + F\right) \cdot \frac{\Omega_K}{\Omega_{max}} \frac{\Omega_{max}}{T_{em_{max}}} + \frac{J}{\tau} \frac{\Omega_{K-1}}{\Omega_{max}} \frac{\Omega_{max}}{T_{em_{max}}} \quad (3-109)$$

تعطى المعادلة النهائية المعبرة عن عزم الحموله المخمن وفق النظام الواحدى بالعلاقة التالية:

$$T_{d_u} = K \cdot \frac{I_{a_{max}}}{T_{em_{max}}} \cdot I_{a_u} - \left(\frac{J}{\tau} + F\right) \cdot \frac{\Omega_{max}}{T_{em_{max}}} \cdot \Omega_{K_u} + \frac{J}{\tau} \frac{\Omega_{max}}{T_{em_{max}}} \cdot \Omega_{K-l_u} \quad (3-110)$$

### 12.3. خلاصة

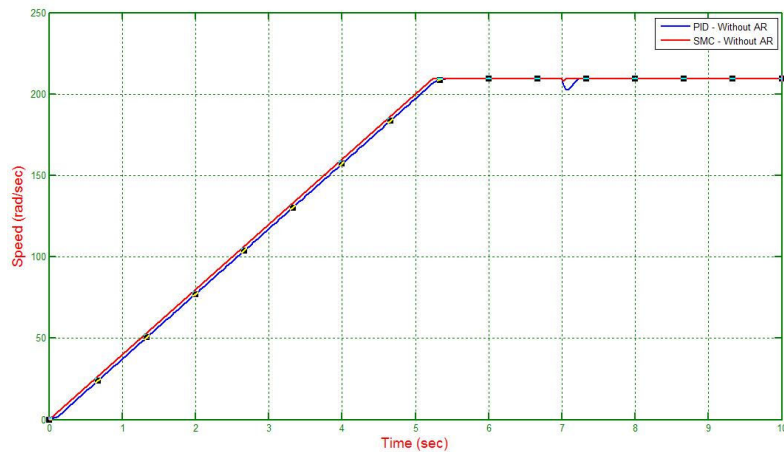
بعد تصميم منظومتي تحكم بسرعة محرك التيار المستمر ذي التهيج المستقل وفق طريقتي منظمات *PID* وخوارزمية *SMC* كل على حدة، فإنه من الضروري الآن مقارنة أداء كلا الخوارزميتين بهدف التعرف على الطريقة الأفضل بينهما.

#### أ- تنظيم السرعة بدون تنظيم التيار

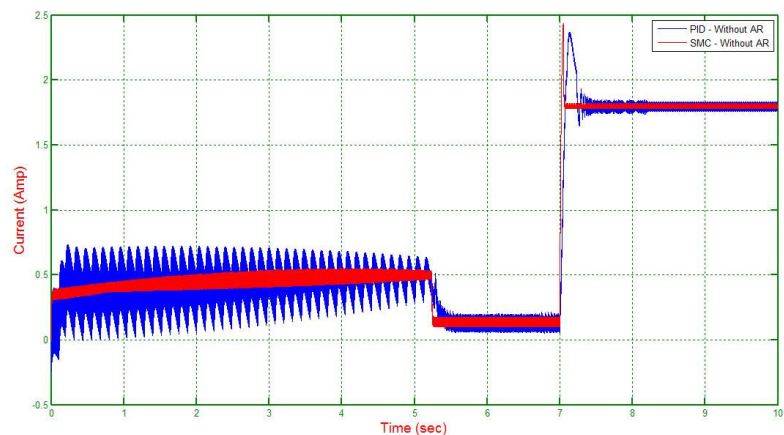
بالعودة إلى طريقة تنظيم السرعة بدون تنظيم التيار وفق خوارزمية منظمات *PID*، حصلنا على الاستجابة الأفضل عند تنظيم السرعة بدون أخذ رد فعل المتحرض بعين الاعتبار، بينما تبين لنا عند دراسة طريقة تنظيم السرعة بدون تنظيم التيار وفق خوارزمية النمط الانزلاقي أن منحنيات الاستجابة عند أخذ رد فعل المتحرض بعين الاعتبار أو إهماله كانت متطابقة. لذلك تم مقارنة منحنيات الاستجابة لكل من السرعة والتيار بين طريقة تنظيم السرعة بدون تيار مع إهمال رد فعل المتحرض وفق خوارزمية منظمات *PID* مع طريقة تنظيم السرعة بدون تيار مع إهمال رد فعل المتحرض وفق خوارزمية النمط الانزلاقي - منظومة التحكم المكافئ، كما هو مبين بالشكل (3-25). نستنتج من مقارنة منحنيات الاستجابة ما يلي:

1. سرعة استجابة منحنى السرعة وفق خوارزمية *SMC* أكبر منها مقارنة مع طريقة منظمات *PID*.
2. مقدار اهتزاز التيار الناتج عن وجود المبدلة أقل في خوارزمية *SMC* مقارنة مع طريقة منظمات *PID*.
3. عند تطبيق الحموله الكامله على المحرك في اللحظة  $t=7sec$ ، فإن مقدار انخفاض السرعة وفق خوارزمية *SMC* أقل منه مقارنة مع طريقة منظمات *PID*.
4. تيار الحموله يعود إلى قيمته الاسمية بسرعة أكبر وفق خوارزمية *SMC* وذلك بعد الإرتفاع الكبير والمفاجئ الذي يطرأ عليه عند التحميل الكامل.

نخلص مما سبق إلى أن خوارزمية النمط الانزلاقي قدمت أداءً أفضل مقارنة مع طريقة منظمات *PID* وذلك عند تنظيم سرعة المحرك بدون تنظيم التيار.



أ- منحنى استجابة السرعة بالنسبة للزمن



ب- منحنى استجابة التيار بالنسبة للزمن

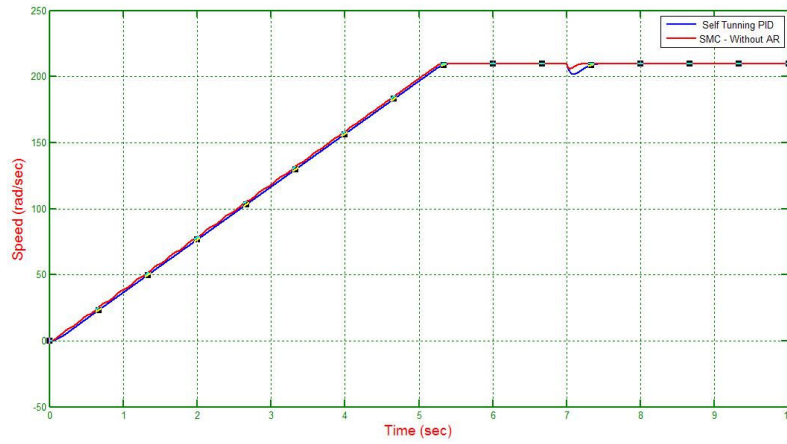
الشكل (3-25): المقارنة بين منحنيات الاستجابة عند تنظيم السرعة بدون تيار وفق خوارزمي  $PID$  و  $SMC$

#### ب- تنظيم السرعة مع تنظيم التيار

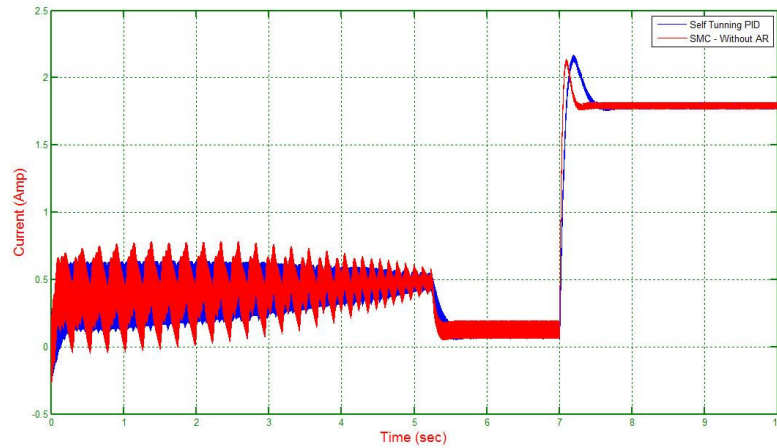
بالعودة إلى طريقة تنظيم السرعة مع تنظيم التيار وفق خوارزمية منظمات  $PID$ ، تبين أن الاستجابة المثلى للنظام تتحقق عند تنظيم السرعة مع أخذ رد فعل المتحرض بعين الاعتبار وفق مبدأ المعاييرة الآنية لمنظمات  $PID$ ، بينما لوحظ عند دراسة طريقة تنظيم السرعة مع تنظيم التيار وفق خوارزمية النمط الانزلاقي أن منحنيات الاستجابة عند أخذ رد فعل المتحرض بعين الاعتبار أو إهماله كانت متطابقة، لذلك تم مقارنة منحنيات الاستجابة لكل من السرعة والتيار بين طريقة تنظيم السرعة مع تنظيم التيار عند أخذ رد فعل المتحرض بعين الاعتبار وفق مبدأ المعاييرة الآنية لمنظمات  $PID$  مع طريقة تنظيم السرعة مع تنظيم التيار عند إهمال رد فعل المتحرض وفق خوارزمية النمط الانزلاقي- منظومة التحكم المكافئ، كما هو مبين بالشكل (3-26). نستنتج من مقارنة منحنيات الاستجابة ما يلي:

1. سرعة استجابة منحنى السرعة وفق خوارزمية  $SMC$  أكبر منها مقارنة مع طريقة منظمات  $PID$ .
2. مقدار اهتزاز التيار الناتج عن وجود المبدلة أكبر في خوارزمية  $SMC$  مقارنة مع طريقة منظمات  $PID$ .
3. عند تطبيق الحمولة الكاملة على المحرك في اللحظة  $t=7sec$ ، فإن مقدار انخفاض السرعة وفق خوارزمية  $SMC$  أقل منه مقارنة مع طريقة منظمات  $PID$ .

4. تيار الحموله يعود إلى قيمته الاسمية بسرعة أكبر وفق خوارزمية  $SMC$  وذلك بعد الإرتفاع الكبير والمفاجئ الذي يطرأ عليه عند التحميل الكامل.



أ- منحنى استجابة السرعة بالنسبة للزمن



ب- منحنى استجابة التيار بالنسبة للزمن

الشكل (3-26): المقارنة بين منحنيات الاستجابة عند تنظيم السرعة مع تنظيم التيار وفق خوارزمي  $SMC$  و  $PID$

نخلص مما سبق إلى أن خوارزمية النمط الانزلاقي  $SMC$  قدمت أداءً أفضل مقارنة مع طريقة منظمات  $PID$  وذلك عند تنظيم سرعة المحرك مع تنظيم التيار.



## الفصل الرابع

### دراسة استقرار منظومة التحكم

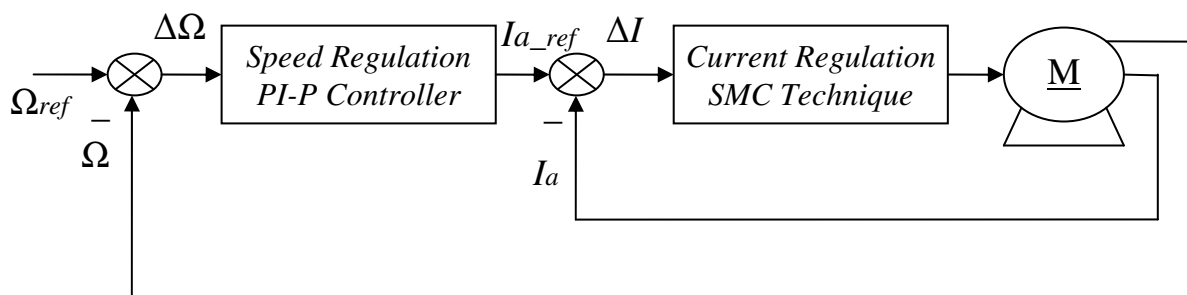
#### 1.4. مقدمة

تم التعرف في الفصول السابقة على كيفية بناء نظام للتحكم بسرعة محرك التيار المستمر اعتماداً على كل من طريقة منظمات  $PID$  وطريقة خوارزمية النمط الانزلاقي  $SMC$ ، ومن ثم أجريت المقارنة بين نظامي التحكم، حيث لوحظ أن خوارزمية النمط الانزلاقي تمتاز بعدم تأثرها الكبير بالتغيرات الناتجة عن رد فعل المتحرض، كما أنها ساعدت على تحسين الاستجابة الزمنية لكل من السرعة والتيار مقارنة مع طريقة منظمات  $PID$ . لإستكمال الدراسة السابقة كان لا بد من التحقق من استقرار نظام التحكم الأمثل ضمن شروط التشغيل المختلفة، وخاصةً عند تغير المعاملات الداخلية للمحرك، كمقاومة المتحرض وعزم العطالة، لذلك وقع الاختيار على دراسة استقرار منظومة التحكم بسرعة محرك التيار المستمر ذي التهيج المستقل مع تنظيم التيار. تتألف المنظومة المراد دراستها من حلقتين:

- أ- حلقة تنظيم التيار: تمثل الحلقة الداخلية في نظام التحكم، وهي مبنية وفق خوارزمية النمط الانزلاقي.
  - ب- حلقة تنظيم السرعة: تمثل الحلقة الخارجية في نظام التحكم، وهي مبنية وفق طريقة منظمات  $PID$ .
- تُقسم عملية دراسة استقرار النظام إلى مرحلتين:
- المرحلة الأولى: يتم فيها دراسة استقرار النظام عند الزيادة الخطية لمقاومة المتحرض بمقدار 50% من قيمتها الاسمية.
  - المرحلة الثانية: يتم فيها دراسة استقرار النظام عند تعرض عزم عطالة المحرك لزيادة مفاجئة بمقدار 100% من قيمته الاسمية.
- في كلتا المرحلتين تم الاعتماد في تحليل استقرار النظام على طريقة توضع أقطاب الحلقة المغلقة للنظام في المستوي العقدي، كما تم رسم منحنيات الاستجابة لكل من السرعة والتيار لحالة تغير كل من مقاومة المتحرض وعزم العطالة.

#### 2.4. دراسة طريقة تحليل استقرار النظام

يبين الشكل (1-4) المخطط الصندوقي لنظام التحكم بسرعة محرك التيار المستمر مع تنظيم التيار.



الشكل (1-4): المخطط الصندوقي العام لدارة تنظيم السرعة مع تنظيم التيار

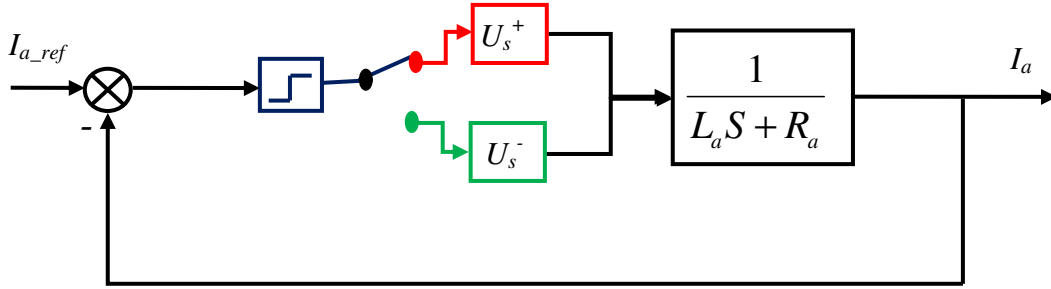
لتحديد أماكن توضع أقطاب النظام في الحلقة المغلقة، لا بد أولاً من إيجاد تابع الانتقال الكلي لجملية التحكم. بالتدقيق في منظومة التحكم نلاحظ أن حلقة تنظيم التيار مبنية وفق خوارزمية النمط الانزلاقي والتي تمثل نظام

تحكم متقطع، حيث أن قيمة خرج حلقة التيار ستتراوح بين قيمتين مختلفتين لـ  $U_s^+ = +220$  و  $U_s^- = -220$  وذلك تبعاً لقيمة الدخل، بينما حلقة تنظيم السرعة فمبينة وفق طريقة منظمات  $PID$  والتي تمثل نظام تحكم مستمر. يتضح مما سبق أن جملة التحكم المدروسة تملك تابعي انتقال:

$$U_s = U_s^+ = +220 \text{ عند الانتقال الأول}$$

$$U_s = U_s^- = -220 \text{ عند الانتقال الثاني}$$

يبين الشكل (2-4) المخطط الصندوقي الممثل للحلقة الداخلية لتنظيم التيار.

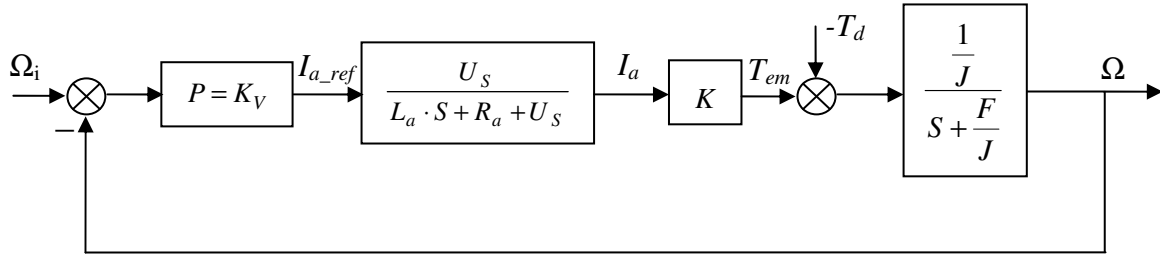


الشكل (2-4): المخطط الصندوقي لحلقة تنظيم التيار

يُعطى تابع الانتقال العام لحلقة تنظيم التيار وفق العلاقة التالية:

$$\frac{I_a}{I_{a\_ref}} = \frac{U_s}{L_a S + R_a + U_s} \quad (4-1)$$

قبل اختيار طبيعة منظمات حلقة السرعة سيتم رسم المخطط الصندوقي المعبر عن الحلقة الداخلية لتنظيم السرعة والذي يتضمن تابع انتقال حلقة تنظيم التيار مع تابع الانتقال الذي يربط بين السرعة والعزم.



الشكل (3-4): المخطط الصندوقي للحلقة الداخلية لتنظيم السرعة

من الشكل السابق نجد أن تابع الانتقال هو من المرتبة الثانية، لذلك يُضاف المنظم التناسبي  $P$  في البداية للحصول على قطبين حقيقيين متمائلين ( $\xi = 1$ ).

من المخطط الصندوقي نجد أن تابع الانتقال للحلقة الداخلية لتنظيم السرعة يُعطى بالعلاقة:

$$\frac{\Omega}{\Omega_i} = \frac{\frac{K_V \cdot K \cdot U_s}{L_a \cdot S + R_a + U_s} \cdot \frac{1/J}{S + F/J}}{1 + \frac{K_V \cdot K \cdot U_s / J}{(L_a \cdot S + R_a + U_s)(S + F/J)}} \quad (4-2)$$

بإعادة كتابة العلاقة السابقة بعد تجميع الحدود والاصلاح، نجد:

$$\frac{\Omega}{\Omega_i} = \frac{\frac{K_V \cdot K \cdot U_s}{L_a \cdot J}}{S^2 + \left(\frac{F}{J} + \frac{R_a + U_s}{L_a}\right)S + \frac{(R_a + U_s) \cdot F + K_V \cdot K \cdot U_s}{L_a \cdot J}} \quad (4-3)$$

تُحسب قيمة  $\omega_{n1}$  من أجل  $\xi = 1$ :

$$2 \cdot \xi \cdot \omega_{n1} = \frac{F}{J} + \frac{R_a + U_s}{L_a} \Rightarrow \omega_{n1} = 0.5 \cdot \left(\frac{F}{J} + \frac{R_a + U_s}{L_a}\right) \quad (4-4)$$

$$\omega_{n1}^2 = \frac{(R_a + U_s) \cdot F + K_V \cdot K \cdot U_s}{L_a \cdot J} \quad (4-5)$$

ومن ثم تُحسب قيمة  $K_V$  كما يلي:

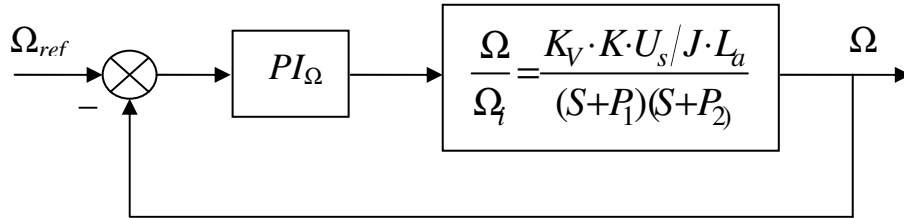
$$K_V = \frac{L_a \cdot J \cdot \omega_{n1}^2 - (R_a + U_s) \cdot F}{K \cdot U_s} \quad (4-6)$$

يُكتب تابع الانتقال للحلقة الداخلية لتنظيم السرعة من أجل  $\xi = 1$  وفق العلاقة:

$$\frac{\Omega}{\Omega_i} = \frac{\frac{K_V \cdot K \cdot U_s}{L_a \cdot J}}{(S + P_1)(S + P_2)} \quad (4-7)$$

حيث:  $P_1 = P_2 = \omega_{n1}$

الآن يتم اختيار المنظم من النوع  $PI$  في الحلقة الخارجية لتنظيم السرعة وذلك لنفس الأسباب المذكورة عند دراسة وتحليل طريقة تنظيم السرعة مع تنظيم للتيار. يبين الشكل (4-4) المخطط الصندوقي للحلقة الخارجية لتنظيم السرعة:



الشكل (4-4): المخطط الصندوقي للحلقة الخارجية لتنظيم السرعة

بفرض أن:  $P_1 = \frac{K_{I-\Omega}}{K_{P-\Omega}} = \omega_{n1}$

يُعطى تابع انتقال حلقة التحكم المفتوحة بالعلاقة:

$$\left(\frac{\Omega}{\Omega_{ref}}\right)_{Open} = \frac{K_{P-\Omega} \cdot (S + \frac{K_{I-\Omega}}{K_{P-\Omega}})}{S} \cdot \frac{\frac{K_V \cdot K \cdot U_s}{L_a \cdot J}}{(S + P_1)(S + P_2)} = \frac{K_{P-\Omega} \cdot (S + P_1)}{S} \cdot \frac{\frac{K_V \cdot K \cdot U_s}{L_a \cdot J}}{(S + P_1)(S + P_2)} \quad (4-8)$$

$$\boxed{\left(\frac{\Omega}{\Omega_{ref}}\right)_{Open} = \frac{\frac{K_{P-\Omega} \cdot K_V \cdot K \cdot U_s}{L_a \cdot J}}{S^2 + P_2 \cdot S}} \quad (4-9)$$

أما تابع انتقال الحلقة المغلقة لجملة التحكم فيكتب وفق المعادلة:

$$\frac{\Omega}{\Omega_{ref}} = \frac{\frac{K_{P-\Omega} \cdot K_V \cdot K \cdot U_s}{L_a \cdot J}}{S^2 + P_2 \cdot S + \frac{K_{P-\Omega} \cdot K_V \cdot K \cdot U_s}{L_a \cdot J}} \quad (4-10)$$

باختيار  $\xi = 0.7$ ، يمكن حساب ثوابت المنظم التناسبي - التكاملي  $PI_{\Omega}$  كما يلي:

$$2.\xi.\omega_{n2} = P_2 \Rightarrow \omega_{n2} = \frac{P_2}{1.4} = \frac{\omega_{n1}}{1.4} \quad (4-11)$$

بما أن:

$$\omega_{n2}^2 = \frac{K_{P-\Omega} \cdot K_V \cdot K \cdot U_s}{L_a \cdot J} \quad (4-12)$$

عندئذٍ تُحسب قيمة الثابت  $K_{P-\Omega}$  من العلاقة:

$$K_{P-\Omega} = \frac{\omega_{n2}^2 \cdot J \cdot L_a}{K \cdot K_V \cdot U_s} \quad (4-13)$$

أخيراً، تُعطى قيمة المعامل  $K_{I-\Omega}$  بالعلاقة:

$$K_{I-\Omega} = K_{P-\Omega} \cdot \omega_{n1} \quad (4-14)$$

من الجدير بالذكر أنه يجب حساب قيم معاملات منظمات التحكم المختلفة من أجل كلا قيمتي  $U_s$ ، ومن ثم يتم تعويض قيم هذه المعاملات بالمعادلة (4-10) لإيجاد كلا تابعي انتقال جملة التحكم المدروسة.

يُعطى تابع انتقال جملة التحكم عند  $U_s=220$  بالعلاقة التالية:

$$\frac{\Omega}{\Omega_{ref}} = \frac{591}{S^2 + 504.81 \cdot S + 591} \quad (4-15)$$

بينما يُعطى تابع انتقال الجملة عند  $U_s=-220$  بالعلاقة:

$$\frac{\Omega}{\Omega_{ref}} = \frac{-473.18}{S^2 - 451.7 \cdot S - 473.18} \quad (4-16)$$

لإيجاد تابع الانتقال الكلي المعبر عن جملة التحكم المتقطع، فإنه لا بد أولاً من تحويل كلا تابعي الانتقال الجزئيين إلى صيغة معادلات فراغ الحالة التالية:

$$\dot{x}(t) = Ax(t) + Bu(t) \quad (4-17)$$

$$y(t) = Cx(t) + Du(t)$$

حيث  $A$ : مصفوفة الحالة للنظام.

$B$ : مصفوفة الدخل للنظام.

$C$ : مصفوفة الخرج للنظام.

$D$ : مصفوفة الدخل المباشر.

$x(t)$ : شعاع الحالة.

$u(t)$ : دخل النظام.

$y(t)$ : خرج النظام.

تُعطى قيم مصفوفات معادلة فراغ الحالة عند  $U_s=220$  كما يلي:

$$A = \begin{bmatrix} -504.81 & -591 \\ 1 & 0 \end{bmatrix} \quad (4-18)$$

$$B = \begin{bmatrix} 1 \\ 0 \end{bmatrix} \quad (4-19)$$

$$C = [0 \quad 591] \quad (4-20)$$

$$D = 0 \quad (4-21)$$

بينما تُعطى قيم مصفوفات فراغ الحالة عند  $U_s = -220$  كالتالي:

$$A = \begin{bmatrix} 451.7 & 473.18 \\ 1 & 0 \end{bmatrix} \quad (4-22)$$

$$B = \begin{bmatrix} 1 \\ 0 \end{bmatrix} \quad (4-23)$$

$$C = [0 \quad -473.18] \quad (4-24)$$

$$D = 0 \quad (4-25)$$

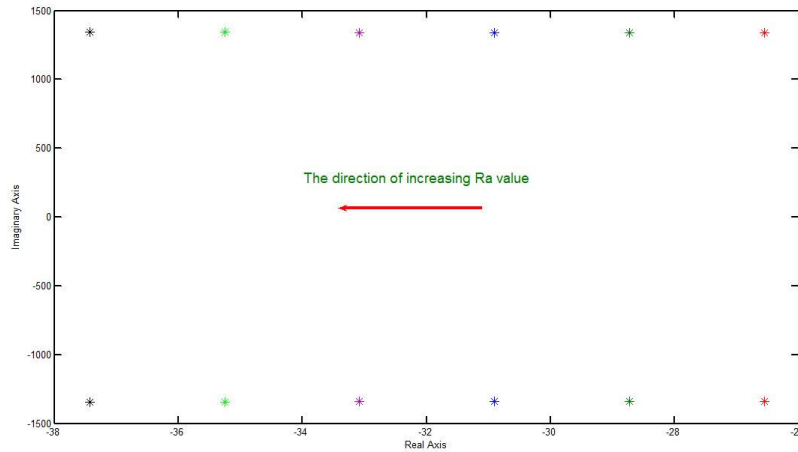
لإيجاد معادلة فراغ الحالة الكلية لجملة التحكم المتقطع، يتم حساب محصلة معادلتَي فراغ الحالة الجزئيتين وذلك عن طريق إيجاد مجموع قيم مصفوفات فراغ الحالة المتماثلة كل على حدة. أخيراً، نحصل على معادلة تابع الانتقال الكلي لجملة التحكم المتقطع بتحويل معادلة الحالة الكلية إلى صيغة تابع الانتقال من جديد. عندئذ تُعطى معادلة تابع الانتقال الكلي لجملة التحكم بالعلاقة:

$$\frac{\Omega}{\Omega_{ref}} = \frac{471.25}{S^2 + 53.11 \cdot S + 235.62} \quad (4-26)$$

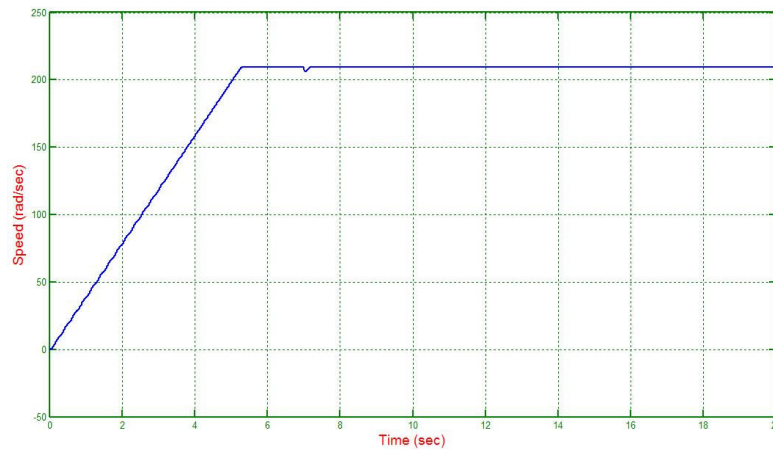
انطلاقاً من تابع الانتقال الكلي الناتج من عملية التحويل السابقة تم دراسة توضع أقطاب النظام. يُقال عن نظام تحكم أنه مستقر إذا كانت قيم جميع أقطاب جملة التحكم المغلقة واقعة في النصف الأيسر من المستوي  $S$ ، أي أن جميع الأقطاب ذات قسم حقيقي سالب، بمعنى آخر يمكن القول أن استقرار الأنظمة الخطية يعتمد على توضع أقطاب النظام في الحلقة المغلقة في المستوي العقدي، وبالتالي عندما يكون ربح النظام في الحلقة المفتوحة متغيراً، فإن مواقع أقطاب النظام في الحلقة المغلقة تتغير بتغير ربح النظام في الحلقة المفتوحة [16].

### 3.4. دراسة استقرار نظام التحكم عند تغير مقاومة المتحرض

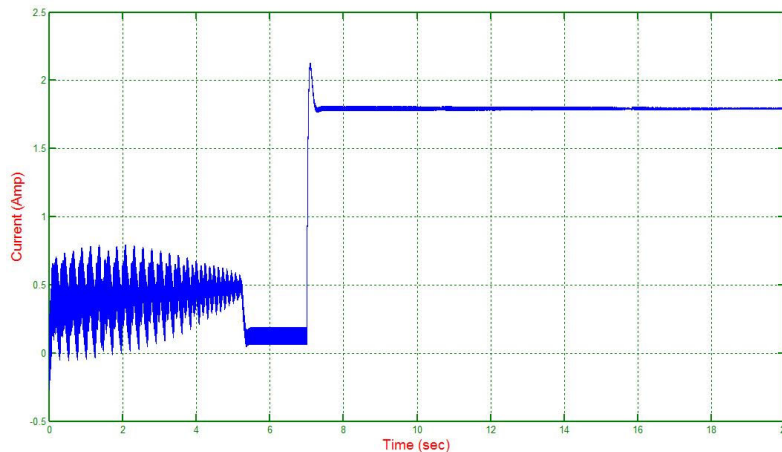
بفرض أن مقاومة المتحرض تزداد بشكل تدريجي وخطي بمقدار 50% من قيمتها الاسمية وبمعدل زيادة دوري مقداره واحد أوم وذلك بدءاً من لحظة التشغيل ( $t=4sec$ )، انطلاقاً من علاقة تابع الانتقال الكلي للنظام المدروس يمكن رسم أماكن توضع أقطاب جملة التحكم. يبين الشكل (4-5) تغير توضع أقطاب تابع انتقال جملة التحكم مع زيادة قيمة  $R_a$ ، يُلاحظ أن جميع الأقطاب تمتلك قسم حقيقي سالب، مما يشير إلى محافظة نظام التحكم على استقراره رغم زيادة قيمة مقاومة المتحرض.



الشكل (4-5): توضع أقطاب تابع انتقال جملة التحكم مع زيادة قيمة مقاومة المتحرض من ناحية أخرى، يبين الشكل (4-6) منحنيات الاستجابة لكل من السرعة والتيار المعبرة عن حالة الازدياد الخطي لمقاومة المتحرض بمقدار 50% من قيمتها الاسمية.



أ- منحنى استجابة السرعة بالنسبة للزمن



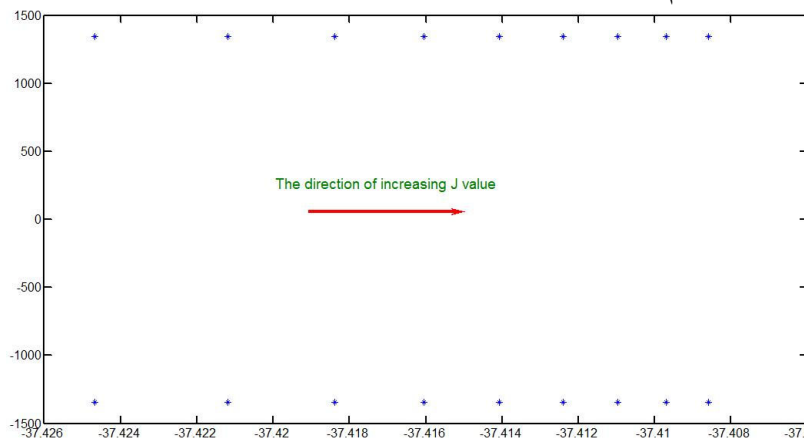
ب- منحنى استجابة التيار بالنسبة للزمن

الشكل (4-6): منحنيات استجابة السرعة والتيار عند زيادة مقاومة المتحرض بمقدار 50%

بالنظر إلى منحنيات الاستجابة السابقة نجد أن نظام التحكم قد حافظ على سرعة المحرك عند القيمة المرجعية رغم ازدياد مقاومة المتحرض، بالإضافة إلى أن تيار المتحرض لم يتجاوز حدوده الاسمية المسموحة.

#### 4.4. دراسة استقرار نظام التحكم عند تغير عزم عطالة المحرك

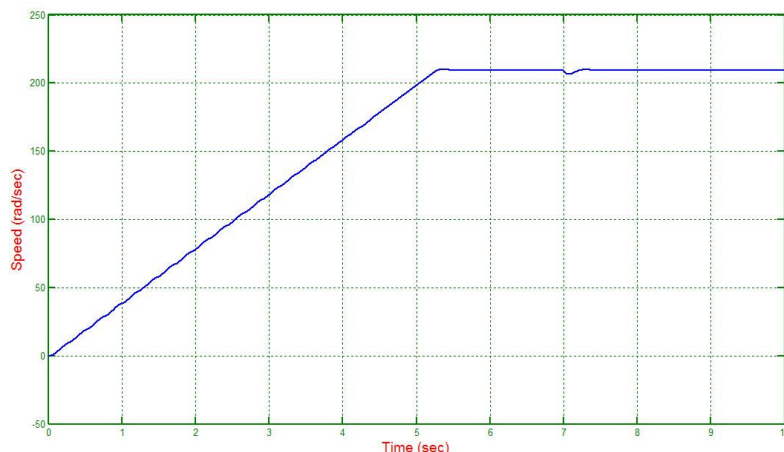
بفرض أن عزم عطالة المحرك يزداد بمقدار 100% من قيمته الاسمية على شكل قفزة، انطلاقاً من علاقة تابع الانتقال الكلي للنظام المدروس يمكن رسم أماكن توضع أقطاب جملة التحكم. يبين الشكل (4-7) تغير توضع أقطاب تابع انتقال جملة التحكم عند ازدياد قيمة عزم العطالة  $J$  بمقدار 100% من قيمته الاسمية. نلاحظ أن جميع الأقطاب تمتلك قسم حقيقي سالب، مما يشير إلى محافظة نظام التحكم على استقراره رغم زيادة قيمة عزم عطالة المحرك.



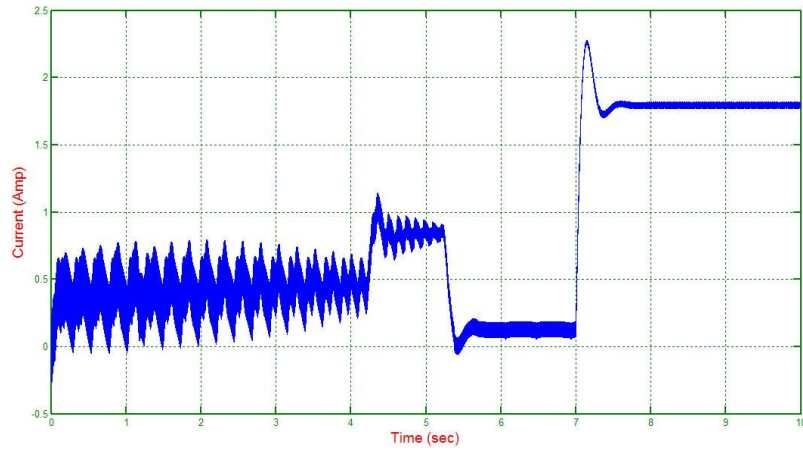
الشكل (4-7): توضع أقطاب تابع انتقال جملة التحكم مع زيادة قيمة عزم العطالة

أما الشكل (4-8) فيبين منحنيات الاستجابة لكل من السرعة والتيار المعبرة عن حالة الازدياد المفاجئ لعزم عطالة المحرك بمقدار 100% من قيمته الاسمية وبشكل قفزة عند لحظة التشغيل ( $t=4sec$ ). بالنظر إلى منحنيات الاستجابة نجد أن نظام التحكم قد حافظ على سرعة المحرك عند القيمة المرجعية رغم الازدياد المفاجئ لعزم العطالة، بالإضافة إلى أن تيار المتحرض لم يتجاوز حدوده الاسمية المسموح بها.

يُستنتج مما سبق أن النظام المدروس للتحكم بسرعة محرك التيار المستمر ذي التهييج المستقل مع تنظيم التيار هو نظام مستقر وقابل للعمل ضمن ظروف التشغيل المختلفة، كما يُلاحظ مناعة النظام ضد تغير المعاملات الداخلية للمحرك.



أ- منحنى استجابة السرعة بالنسبة للزمن



ب- منحنى استجابة التيار بالنسبة للزمن

الشكل (4-8): منحنيات استجابة السرعة والتيار عند زيادة عزم عطالة المحرك على شكل قفزة بمقدار 100%



## الفصل الخامس

### البناء الرقمي لخوارزميتي قيادة لتنظيم التيار في محرك تيار مستمر

#### ضمن شرائح FPGA

##### 1.5. مقدمة

في عصرنا الحالي ظهرت أنواع مختلفة من الشرائح المتكاملة القابلة للبرمجة والتي يمكن استخدامها في أنظمة القيادة الرقمية، بدءاً من المتحكمات الصغيرة *Microcontroller* (تعرف أيضاً بالمعالجات ذات الأغراض العامة)، مروراً بمعالجات الإشارة الرقمية *Digital Signal Processor (DSP)* ووصولاً إلى شرائح المصفوفات القابلة للبرمجة *FPGA*.

إن اختيار الشريحة المناسبة للتطبيق المطلوب يعتمد على جملة من المعايير، فمثلاً عندما تتطلب خوارزمية التحكم القيام بعمليات رياضية معقدة بالفاصلة العائمة، فإن اختيار معالج إشارة رقمي *DSP* يمكن برمجته لأكثر من مرة باستخدام لغة *C* أو أي لغة أخرى عالية المستوى يكون هو الحل الأنسب، أما عندما لا تتطلب منظومة التحكم العمل عند سرعات عالية، وتكون الحاجة ماسة للحصول على منظومة عمل منخفضة الثمن، فإن اختيار المتحكمات الصغيرة *Microcontroller* يكون هو الخيار الأفضل. أخيراً عندما يحتاج المصمم إلى منظومة ذات أداء عالي وتوافقية بنوية جيدة وقادرة على العمل عند سرعات كبيرة فإن شريحة المصفوفات القابلة للبرمجة *FPGA* ستكون هي الحل الأمثل، حيث تمتاز هذه الشريحة بمرونتها وقابلية إعادة برمجتها.

إن الغاية من هذا الفصل هو تصميم وبناء نظام قيادة رقمي بالاعتماد على شرائح *FPGA* لتنظيم التيار (العزم) في محرك تيار مستمر ذي تهبيج مستقل وفق خوارزميتي تحكم. تعتمد الخوارزمية الأولى على طريقة منظمات *PID* الكلاسيكية، بينما تعتمد الطريقة الثانية على نظرية التحكم الانزلاقي *Sliding Mode Control*، حيث تم بناء النظام الرقمي وفق كل خوارزمية على حدة. تعتمد كلتا الخوارزميتين المذكورتين على مرحلة وسيطة لإنتاج نبضات التحكم اللازمة لقالبية الجهد، وهي مرحلة تعديل عرض النبضة *PWM* (مقارنة إشارة الجهد المرجعية مع إشارة مثلثية حاملة).

لبيان كيفية بناء كلتا الخوارزميتين ضمن شريحة *FPGA* قدما شرحاً تفصيلياً عن خطوات التصميم الرقمي لكل منهما. دُعِمَ هذا العمل بنتائج تمثيلية تم الحصول عليها باستخدام بيئة *MATLAB-SIMULINK*، وبنائج عملية أجريت على منصة التجارب البحثية في مخبر القيادة الكهربائية. وضحت النتائج المستخلصة مدى أهمية استخدام شرائح *FPGA* في بناء خوارزميات أنظمة القيادة الرقمية.

##### 2.5. مفهوم طريقة تعديل عرض النبضة PWM

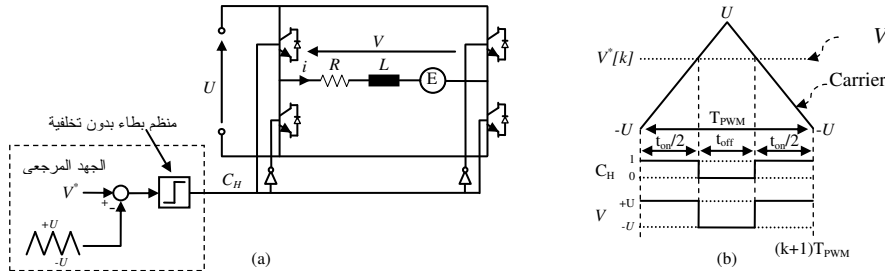
نظراً لأن كلتا الخوارزميتين المستخدمتين تعتمدان على طريقة تعديل عرض النبضة لإنتاج نبضات التحكم اللازمة لقالبية الجهد، كان لا بد من توضيح مبدأ عمل هذه الطريقة.

إن الغاية من طريقة تعديل عرض النبضة هي تطبيق قيمة وسطية للجهد  $V_{av}$  على خرج المبدلة خلال دور التقطيع  $T_{PWM}$  مساوٍ للقيمة المرجعية للجهد  $V^*$ . يبين الشكل (5-1) مبدأ العمل لهذه الطريقة من أجل قالبية جهد أحادية الطور (تحتوي أربعة ترانزستورات)، حيث أن  $t_{on}$  و  $t_{off}$  يعبران على التوالي عن زمن وصل وفصل

الترانزستور، بمعنى آخر الزمن الذي تقضيه الإشارة  $C_H$  على مستوى الصفر المنطقي والزمن الذي تقضيه الإشارة  $C_H$  على مستوى الواحد المنطقي، أما  $V^*[k]$  فيعبر عن الجهد المرجعي المطلوب خلال دور واحد من الإشارة الحاملة  $T_{PWM}$  [5].

تكون الإشارة  $C_H$  على مستوى الواحد المنطقي عندما تكون الإشارة المرجعية للجهد أكبر من الإشارة الحاملة وعلى مستوى الصفر المنطقي عندما تكون الإشارة المرجعية أصغر من الإشارة الحاملة. خلال فترة دور واحد من الإشارة الحاملة  $T_{PWM}$  تُعطى علاقة القيمة الوسطية للجهد كما يلي:

$$V_{av}[k] = \frac{1}{T_{PWM}} \int_{kT_{PWM}}^{(k+1)T_{PWM}} V(t) dt \quad (5-1)$$



الشكل (5-1): (a) الدارة العملية لطريقة تعديل عرض النبضة، (b) مبدأ عمل طريقة تعديل عرض النبضة

بالنظر إلى الشكل (5-1) وباستخدام العلاقة (5-1) يمكن كتابة الجهد الوسطي بالعلاقة التالية:

$$V_{av}[k] = \frac{1}{T_{PWM}} (U t_{on}[k] - U t_{off}[k]) = \frac{U}{T_{PWM}} (2t_{on}[k] - T_{PWM}) = U(2\frac{t_{on}}{T_{PWM}} - 1) \quad (5-2)$$

أما معدل التشغيل  $\alpha_H$  خلال الدور  $T_{PWM}$  فيعبر عنه بالعلاقة:

$$\alpha_H[k] = \frac{1}{T_{PWM}} \int_{kT_{PWM}}^{(k+1)T_{PWM}} C_H(t) dt = \frac{t_{on}}{T_{PWM}} \quad (5-3)$$

باستخدام المعادلتين (5-2) و (5-3)، يمكن التعبير عن القيمة الوسطية للجهد כתابع لمعدل التشغيل  $\alpha_H$  كما يلي:

$$V_{av}[k] = U(2\alpha_H[k] - 1) \quad (5-4)$$

من ناحية أخرى، بتطبيق نظرية تالس على المثلث المشكل من قمم الإشارة الحاملة (الشكل (5-1-b)) يمكننا إيجاد العلاقة التي تربط بين الجهد المرجعي  $V^*[k]$  خلال دور  $T_{PWM}$  כתابع لمعدل التشغيل  $\alpha_H[k]$  كما هو موضح بالعلاقة التالية:

$$\frac{U - V^*[k]}{2U} = \frac{t_{off}}{T_{PWM}} = \frac{T_{PWM} - t_{on}}{T_{PWM}} \rightarrow V^*[k] = U(2\alpha_H[k] - 1) \quad (5-5)$$

إذاً، يمكن أن نقول من خلال النظر إلى الاستنتاجات السابقة بأن طريقة تعديل عرض النبضة تولد من أجل قيمة معطاة للجهد المرجعي، معدل تشغيل  $\alpha_H$  حسب العلاقة التالية:

$$\alpha_H[k] = \frac{V^*[k]}{2U} + \frac{1}{2} \quad (5-6)$$

بالتالي، حسب العلاقتين (5-3) و (5-4) يمكننا طريقة تعديل عرض النبضة من توليد، خلال كل دور من أدوار الإشارة الحاملة، معدل تشغيل  $\alpha_H$  بحيث تتحقق العلاقة التالية:

$$V^*[k] = V_{av}[k] \quad (5-7)$$

توضح العلاقة الأخيرة بصورة جلية الغاية من طريقة تعديل عرض النبضة  $PWM$ ، بالطبع يجب أن تُحقق قيم معدل التشغيل  $\alpha_H$  العلاقة التالية:

$$0 \leq \alpha_H[k] \leq 1 \quad (5-8)$$

بالأخذ بعين الاعتبار العلاقة (5-8) نجد من الضرورة أن تكون قيم الجهود المرجعية محصورة بين القيمتين  $-U$  و  $+U$ . إذاً، القيم الوسطية التي يمكن أن تنتجها المبدلة الترانزستورية حسب طريقة تعديل عرض النبضة ستكون محصورة أيضاً ضمن القيمتين  $-U$  و  $+U$ .

تجدر الإشارة إلى أنه من أجل الحصول على العلاقة (5-7) وتحقيق العلاقة (5-8) فإن مطال الإشارة الحاملة (الإشارة المثلية) يجب أن يكون أيضاً محصوراً بين القيمتين  $-U$  و  $+U$ .

بالأخذ بعين الاعتبار العلاقتين (5-4) و (5-6) يمكن استنتاج الحالات الحدية التالية:

$$\text{if } V^*[k] = +U \longrightarrow \alpha_H[k] = 1 \longrightarrow V_{av}[k] = +U$$

$$\text{if } V^*[k] = -U \longrightarrow \alpha_H[k] = 0 \longrightarrow V_{av}[k] = -U$$

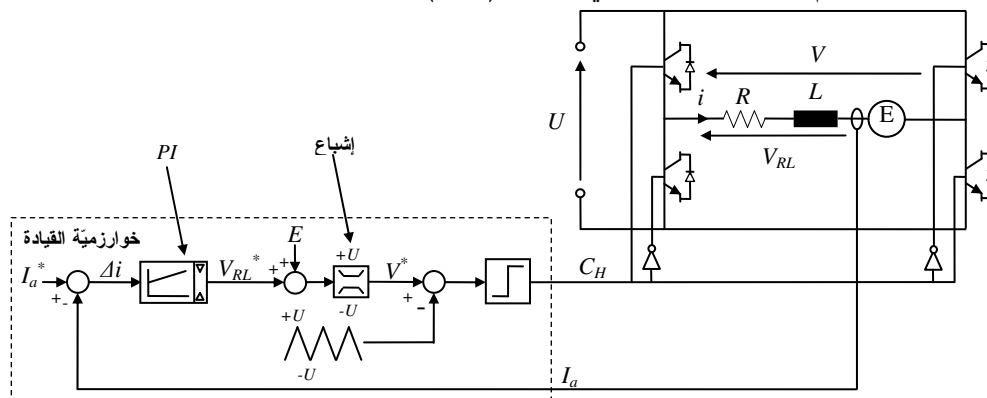
### 3.5. تنظيم التيار باستخدام منظم $PI$ [17]

سيتم التطرق في هذه الفقرة إلى تنظيم تيار حمل  $RLE$  مغذى من مبدلة باستخدام المنظم التناسبي- التكاملي. يبين الشكل (5-2) مبدأ العمل للإستراتيجية المعتمدة، حيث أن دخل المنظم  $PI$  هو الخطأ بين التيار المرجعي  $i^*$  والتيار المار عبر الحمل  $i$ . يسمح المنظم التناسبي- التكاملي من حساب الجهد المرجعي  $V_{RL}^*$  الواجب تطبيقه على الحمل  $RLE$ . بعد تعويض القوة المحركة الكهربائية العكسية  $E$  نحصل على الجهد المرجعي  $V^*$ ، بعدها يتم مقارنة الجهد  $V^*$  مع الإشارة الحاملة (الإشارة المثلية) بهدف توليد إشارة فصل ووصل الترانزستورات  $C_H$  للمبدلة ذات الترانزستورات الأربعة.

يُعطى تابع انتقال المنظم التناسبي- التكاملي على الشكل التالي:

$$K_p + \frac{K_i}{S} = K_p \frac{(S + K_i / K_p)}{S} \quad (5-9)$$

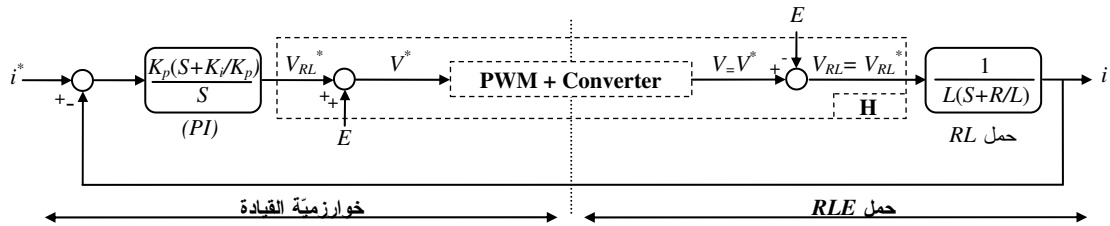
ولضمان أداء جيد للنظام من حيث الاستجابة ومن حيث عدم التأثير بتغير ثوابت النظام يجب الأخذ بعين الاعتبار المعايير التالية بالنسبة لبنية نظام القيادة الموضحة في الشكل (5-2):



الشكل (5-2): الدارة العملية لطريقة تنظيم تيار حمل  $RLE$  باستخدام المنظم  $PI$

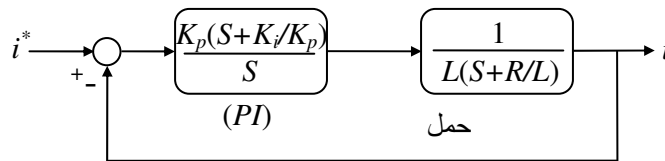
- إن زيادة ثابت المنظم التناسبي  $K_p$  يسمح بخفض تأثير عدم المعرفة الدقيقة لثوابت النظام والنتيجة عن خطأ في التخمين أو في القياس بالإضافة إلى وجود ثوابت إضافية لم تؤخذ بعين الاعتبار.

- يجب تخمين القوة المحركة الكهربائية بشكل دقيق وذلك لضمان تعويض الاضطراب الداخلي الناتج عن النظام المتحكم به نفسه.
  - يجب تحديد جهد خرج المنظم عن طريق تحديد الجزء التكاملي من المنظم وذلك لنبقى بعيدين عن مشاكل الإشباع الناتجة عن زيادة قيمة الجهد على خرج المنظم التناسبي - التكاملي.
- اعتبرنا في هذا العمل أن قيمة القوة المحركة الكهربائية مخمنة بشكل دقيق واعتمدنا في حساب ثوابت المنظم التناسبي - التكاملي على طريقة تعويض قطب بصفر. يبين الشكل (3-5) مبدأ عمل حلقة تنظيم التيار باستخدام المنظم التناسبي - التكاملي.



الشكل (3-5): حلقة تنظيم تيار حمل RLE باستخدام المنظم PI

بالاعتماد على العلاقة (5-7) وتعويض القوة المحركة الكهربائية  $E$  فإن تابع الانتقال  $H$  المبين في الشكل (3-5) يمكن اعتباره مساوياً للواحد وبالتالي يمكننا تقديم شكل جديد مبسط لحلقة تنظيم التيار  $i$  كما هو موضح في الشكل (4-5).



الشكل (4-5): حلقة تنظيم مبسطة لتيار حمل RLE باستخدام المنظم PI

بالنظر إلى الشكل (4-5) يمكن الحصول على تابع انتقال الحلقة المغلقة لتنظيم التيار كما يلي:

$$\frac{i}{i^*} = \frac{\frac{1}{S} \frac{K_p(S + K_i/K_p)}{L(S + R/L)}}{1 + \frac{1}{S} \frac{K_p(S + K_i/K_p)}{L(S + R/L)}} \quad (5-10)$$

وبتعويض قطب بصفر وذلك عن طريق اختيار  $K_i/K_p$  مساوياً إلى  $R/L$  تصبح علاقة تابع انتقال الحلقة المغلقة لتنظيم التيار كما يلي:

$$\frac{i}{i^*} = \frac{1}{1 + \frac{L}{K_p} S} = \frac{1}{1 + T_F S} \quad (5-11)$$

حيث أن  $T_F$  هو عبارة عن الثابت الزمني للحلقة المغلقة لتنظيم التيار.

إذاً، إن تابع انتقال حلقة تنظيم التيار المغلقة هو عبارة عن تابع من المرتبة الأولى تُعطى قيمة ثابتته الزمني  $T_F$  بالعلاقة التالية:

$$T_F = \frac{L}{K_p} \quad (5-12)$$

تبين العلاقة السابقة أنه من أجل زيادة سرعة استجابة حلقة تنظيم التيار يجب زيادة قيمة ثابت المنظم التناسبي  $K_p$ ، إذاً إن اختيار قيمة الثابت الزمني لحلقة تنظيم التيار يسمح بتحديد قيم ثوابت المنظم التناسبي - التكاملي وذلك حسب العلاقتين التاليتين:

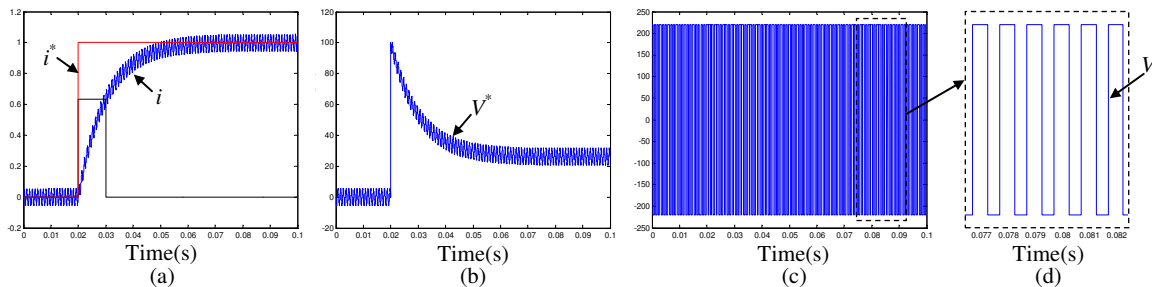
$$K_p = \frac{L}{T_F} \quad (5-13)$$

$$K_i = K_p \frac{R}{L} \quad (5-14)$$

يبين الشكل (5-5) نتائج المحاكاة باستخدام بيئة *MATLAB-SIMULINK* والتي تم الحصول عليها من أجل قيمة للثابت الزمني لحلقة تنظيم التيار مساوية إلى  $10ms$ ، أما تردد الإشارة الحاملة فهو  $1kHz$ . تبين النتائج أن استجابة التيار  $i$  لتغير بشكل قفزة للتيار المرجعي  $i^*$  هي استجابة أسية حيث يأخذ التيار زمناً وقدره  $10ms$  لبلوغ 63.2% من قيمته النهائية في الحالة الستاتيكية.

تجدر الملاحظة إلى أن اختيار قيمة صغيرة للثابت الزمني  $T_F$  قد يؤدي إلى حدوث إشباع في قيمة الجهد الناتج على خرج المنظم التناسبي-التكاملي، لأن الجهد المطلوب من قبل المنظم يجب التمكن من توليده على خرج المبدلة إضافة إلى إمكانية تطبيقه على النظام، بمعنى آخر إن الحصول على سرعة استجابة عالية للتيار يتطلب تطبيق قيم عالية للجهد لا يمكن للمبدلة توليدها ولا يمكن فيزيائياً تطبيقها على النظام، لذلك يجب أن يتم اختيار قيمة  $T_F$  وفق ما يلي:

- الجهد الأعظمي الذي يمكن أن تقدمه المبدلة.
- التغير الأعظمي للتيار (مقدار تغير القيمة المرجعية للتيار).



الشكل (5-5): نتائج المحاكاة لتنظيم التيار باستخدام المنظم  $PI$  ( $U=220V, E=0V, T_F=10ms, F_{PWM}=1KHz$ )، (a) شكل

استجابة التيار لتغير بشكل قفزة للتيار المرجعي، (b) شكل الجهد المرجعي  $V^*$ ، (c-d) شكل الجهد  $V$

ولكي لا يطلب المنظم قيمة من الجهد لا يمكن توليدها يمكن خفض قيمة الثابت  $T_F$  إلى قيمة أصغرية محددة بالعلاقة التالية:

$$T_F = \Delta i_{\max} \frac{L}{V} \quad (5-15)$$

حيث أن  $\Delta i_{\max} = i_{\max} - i_{\min}$ .

### 1.3.5. التحويل إلى النظام الزمني المتقطع والتمثيل في النظام الواحد

بشكل عام، للانتقال بالمعادلة الرياضية إلى المجال الزمني المتقطع يمكن استخدام إحدى معادلتَي أولر التاليتين:

$$\frac{dx}{dt} = \frac{x[k+1] - x[k]}{T} \quad (5-16)$$

$$\frac{dx}{dt} = \frac{x[k] - x[k-1]}{T} \quad (5-17)$$

حيث تعبر  $x[k]$  عن حالة النظام في اللحظة الزمنية  $k$ :

- $k$  اللحظة الحالية.
- $k+1$  اللحظة التالية.
- $k-1$  اللحظة السابقة.

أما  $T$  فتعبر عن دور التقطيع (زمن تنفيذ الخوارزمية).

عندما يتم الانتقال إلى المجال الزمني المتقطع باستخدام المعادلة (5-16) نقول أن الانتقال تم بطريقة أويلر الأمامية، وعند استخدام المعادلة (5-17) نقول أن الانتقال تم بطريقة أويلر العكسية [7].

بالاعتماد على العلاقة (5-17) وباعتبار أن  $S = \frac{d}{dt}$  يمكن تحويل تابع انتقال المنظم  $PI$  المعبر عنه بالمعادلة (5-9) كما يلي:

$$V^*[k] = K_p \Delta i[k] + K_i T \sum_{i=0}^k \Delta i[k] \quad (5-18)$$

بعد أن تم تمثيل المنظم  $PI$  رقمياً، يأتي الآن دور مشكلة التعامل مع قيم الثوابت والمتحولات بشكلها الحقيقي، والسبب في أن كل هذه القيم التي ستعرف لشريحة  $FPGA$  تمثل بعدد محدد من الخانات (نظام الفاصلة الثابتة). في الواقع قد يتسبب تجاوز عدد الخانات المحددة العديد من المشاكل، وهو أمر سيحصل مثلاً عند إجراء أي عملية ضرب إذا تم التعامل مع الأرقام بشكلها الحقيقي، لحل مشكلة صعوبة تمثيل الأرقام بشكلها الحقيقي تم اللجوء إلى تمثيل النظام في المجال الواحد. يضمن التمثيل في النظام الواحدي دخول جميع الأرقام إلى النظام ضمن المجال من  $[-1, 1]$ ، بالتالي فإن ناتج أي عملية ضرب داخل النظام يبقى ضمن نفس المجال، ونضمن عدم تجاوز الأرقام ضمن النظام لعدد محدد من الخانات أي عدم حدوث طفحان [8].

لتحويل المعادلة (5-18) إلى النظام الواحدي سنقوم بتقسيم طرفي المعادلة على القيمة الأعظمية للجهد (سنسمي القيم الأعظمية فيما بعد بالقيم القاعدية) والتي ستحدد من قبل المصمم.

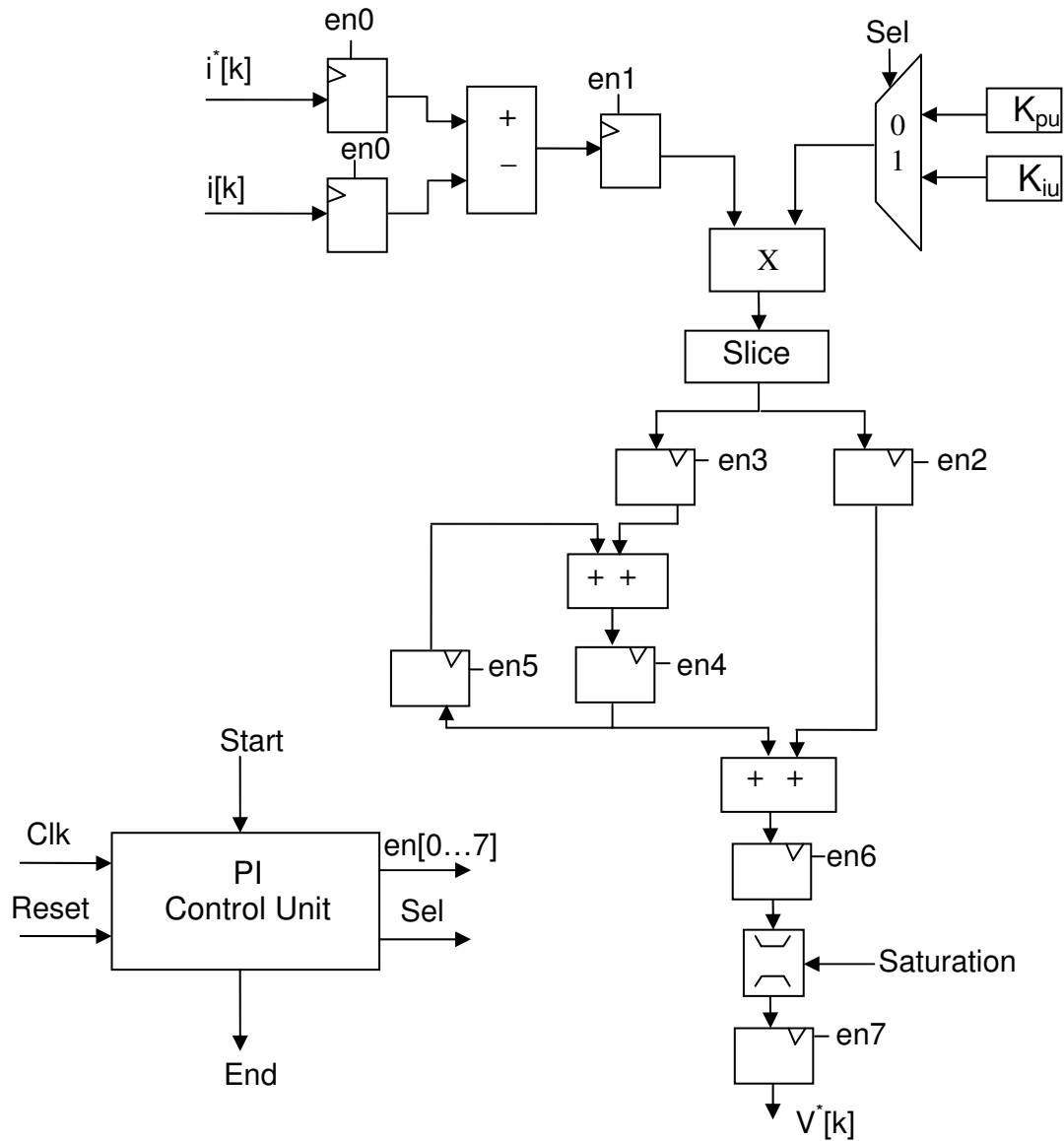
$$V_u^*[k] = \frac{K_p I_b}{V_b} \Delta i_u[k] + \frac{K_i T I_b}{V_b} \sum_{i=0}^k \Delta i_u[k] = K_{pu} \Delta i_u[k] + K_{iu} \sum_{i=0}^k \Delta i_u[k] \quad (5-19)$$

حيث تعبر  $V_u^*[k] = \frac{V^*[k]}{V_b}$  عن جهد خرج المنظم  $PI$  في النظام الواحدي وتعبر النسبة  $\Delta i_u[k] = \frac{\Delta i[k]}{I_b}$

عن قيمة الفرق بين التيار المرجعي والتيار الحقيقي في النظام الواحدي بينما تعبر  $K_{pu} = \frac{K_p I_b}{V_b}$  و

$$K_{iu} = \frac{K_i I_b T}{V_b} \text{ عن الثابت التناسبي والثابت التكاملي على التوالي في النظام الواحدي.}$$

يبين الشكل (5-6) مخطط مسرى المعطيات الذي تم تشكيله اعتماداً على المعادلة (5-19)، كما يظهر في الشكل (5-6) وحدة التحكم الخاصة بالمنظم  $PI$  ووظيفتها التحكم بجريان المعطيات عن طريق اختيار اللحظات المناسبة لتطبيق إشارة التفعيل ( $Enable$ ).



الشكل (5-6): مخطط مسرى المعطيات ووحدة التحكم للمنظم  $PI$

بالنسبة للجدول (5-1) فيوضح حالات وحدة التحكم للمنظم التناسبي- التكاملي.

الجدول (5-1): الإشارات الناتجة عن وحدة التحكم التابعة للمنظم التناسبي-التكاملي

رقم الحالة	حالات أقطاب التفعيل والاختيار	العملية المنفذة
الحالة 0		- انتظار إشارة البدء Start
الحالة 1	$en0 = '1'$	- أخذ عينة من $i^*[k], i[k]$
الحالة 2	$en1 = '1', sel = '1'$	- أخذ عينة من $\Delta i[k]$ - إجراء عملية ضرب $\Delta i[k] * K_{iu}$
الحالة 3	$en3 = '1', sel = '1'$	- أخذ عينة من ناتج عملية الضرب السابقة بعد إجراء إزاحة
الحالة 4	$en4 = '1', sel = '0'$	- أخذ عينة من العملية $\Delta i[k] * K_{pu}$ - أخذ عينة من العملية $K_{iu} \sum_{i=0}^k \Delta i[k]$
الحالة 5	$en2 = '1', sel = '0'$	- أخذ عينة من ناتج عملية الضرب السابقة بعد إجراء إزاحة

الحالة 6	en5='1', en6='1'	- أخذ عينة من ناتج العملية $K_{iu} \sum_{i=0}^{k-1} \Delta i[k]$ - أخذ عينة من ناتج العملية $K_{iu} \sum_{i=0}^k \Delta i[k] + K_{pu} \Delta i[k]$
الحالة 7	en7='1'	- أخذ عينة من إشارة الجهد $V^*[k]$
الحالة 8	End='1'	- توليد إشارة النهاية End

أما مخطط سريان المعطيات بالنسبة للمرحلة الوسيطة  $PWM$  والتي تم مناقشتها سابقاً فيعطى بالشكل (5-7)، حيث يتم مقارنة إشارة الجهد المولدة على خرج المنظم التناسبي- التكاملي مع إشارة مثلثية تم توليدها من عداد تصاعدي/تنازلي. تتعلق قيمة تردد الإشارة المثلثية الحاملة بتردد نبضات الساعة المطبقة على العداد التصاعدي/التنازلي، حيث تمثل:

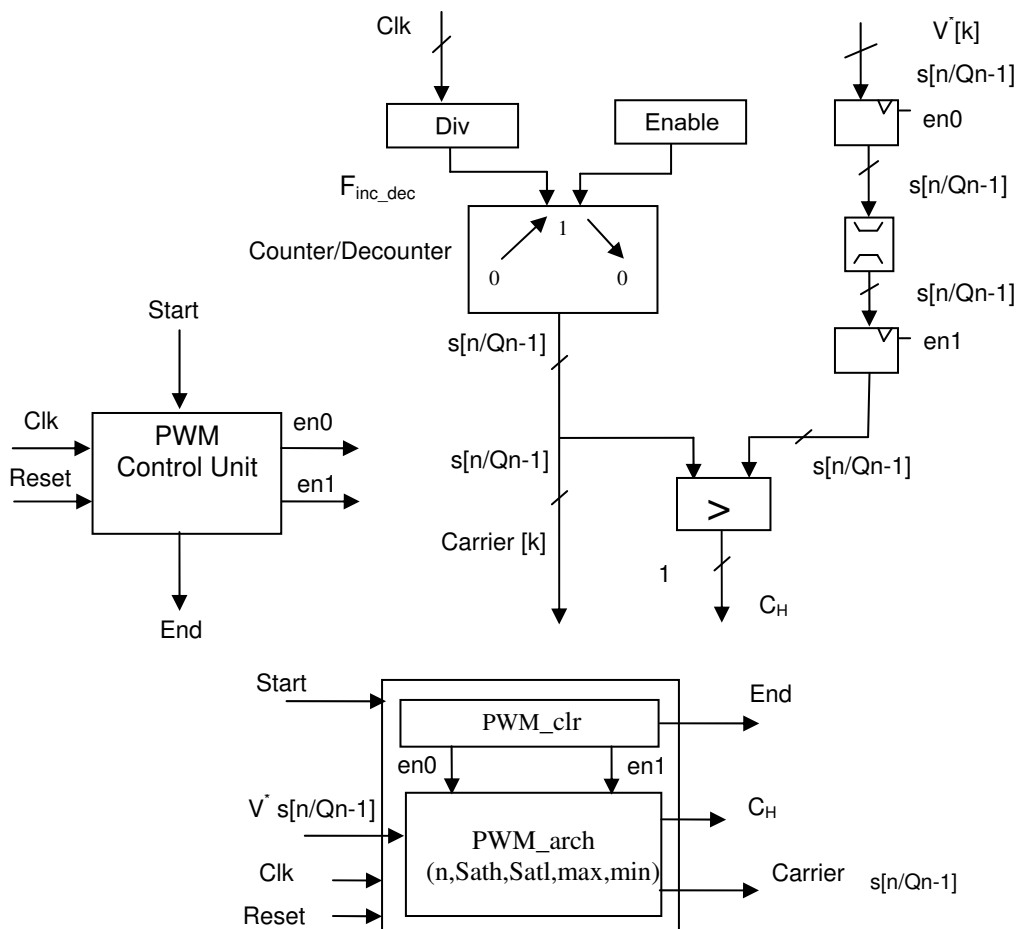
$n$ : عدد الخانات المستخدمة لتمثيل العدد،

$Sath$ : قيمة الجهد الأعظمية،

$Satl$ : قيمة الجهد الأصغرية،

$Max$ : التردد الأعظمي للعداد التصاعدي/التنازلي،

$Min$ : التردد الأصغري للعداد التصاعدي/التنازلي.



الشكل (5-7): مخطط مسرى المعطيات ووحدة التحكم لطريقة تعديل عرض النبضة  $PWM$  الخاصة بمبدلة بأربعة ترانزستورات  
أما الجدول (5-2) فيوضح الحالات المختلفة لوحدة التحكم الخاصة بطريقة تعديل عرض النبضة  $PWM$ .



الجدول (5-2): وحدة التحكم التابعة لطريقة تعديل عرض النبضة PWM

رقم الحالة	حالات أقطاب التفعيل والاختيار	العملية المنفذة
الحالة 0		- انتظار إشارة البدء Start
الحالة 1	en0='1'	- أخذ عينة من $V^*[k]$
الحالة 2	en0='1'	- حساب الإشباع
الحالة 3	en1='1'	- أخذ عينة للجهد $V^*[k]$ بعد حساب الإشباع - توليد الإشارة $C_H$
الحالة 4	End='1'	- توليد إشارة النهاية End

#### 4.5. تنظيم التيار باستخدام نظرية النظام الانزلاقي [17]

لا بد في البداية من تعريف قانون التبديل الخاص بتنظيم تيار المتحرض لحمل  $RLE$ .

$$S_i = i^* - i \quad (5-20)$$

باشتقاق المعادلة السابقة واستخدام معادلة الجهد لحمل  $RLE$  نجد العلاقة التالية:

$$\frac{dS_i}{dt} = -\frac{di}{dt} = -\frac{1}{L}(V - Ri - E) \quad (5-21)$$

تبين العلاقة السابقة أن معدل تغير قيمة التيار  $i$  تتعلق:

- بقيمة التيار  $i$ .
- بقيمة جهد المتحرض المطبق  $V$ .
- بقيمة القوة المحركة الكهربائية العكسية  $E$ .
- بقيمة ثوابت المحرك الكهربائي  $R, L$ .

ولكي يبقى مسار التيار على سطح الانزلاق  $S_i=0$  يجب تطبيق جهد مكافئ  $V_{eq}$  والذي يمكن حساب قيمته اعتماداً على شروط عدم التغير التالية:

$$S_i = (i^* - i) = 0 \text{ and } \dot{S}_i = -\frac{di}{dt} = 0 \quad (5-22)$$

يمكن حساب قيمة الجهد المكافئ  $V_{eq}$  والذي يجب أن تولده المبدلة الترانزستورية بالطريقة التالية:

$$\begin{cases} S_i = (i^* - i) = 0 \\ \dot{S}_i = 0 \end{cases} \Rightarrow \begin{cases} i^* = i \\ \frac{dS_i}{dt} = -\frac{1}{L}(V_{eq} - Ri - E) = 0 \end{cases} \Rightarrow \begin{cases} V_{eq} = Ri + E \\ V_{eq} = Ri + E \end{cases} \quad (5-23)$$

تعتبر العلاقة السابقة عن الجهد المكافئ المستمر والذي يضمن بقاء التيار  $i$  على سطح الانزلاق، ولكن باعتبار أن نظام عمل المبدلة الترانزستورية هو نظام تقطيعي، فإن مشتق تابع التبديل  $\dot{S}_i$  لا يمكن أن يأخذ قيمة الصفر. إضافة إلى أن العلاقة (5-23) لا تسمح بالتحكم بالتيار  $i$  خارج سطح الانزلاق. بالتالي لا بد من الأخذ بعين الاعتبار قيمة مشتق تابع التبديل  $\dot{S}_i$  في علاقة الجهد. إن العلاقة الجديدة للجهد يمكن الحصول عليها اعتماداً على العلاقة (5-21) كما يلي:

$$V^* = Ri + E - L \frac{dS_i}{dt} = V_{eq} - L \frac{dS_i}{dt} = V_{eq} + V_{att} \quad (5-24)$$

يتكون الجهد  $V^*$  في العلاقة (5-24) من حدين، يعبر الحد الأول عن الجهد المكافئ  $V_{eq}$  بينما يعبر الحد الثاني عن جهد الجذب الضروري لنقل تيار الحمل  $RLE$  نحو سطح الانزلاق [10]. يمكن اختيار شكل جهد الجذب على الشكل التالي:

$$V_{att} = -L(-q \operatorname{sgn}(S_i) - kS_i) \quad (5-25)$$

حيث أن  $q$  و  $k$  عبارة عن ثوابت حقيقية موجبة.

يجب التنويه إلى أن العلاقة (5-25) تحقق شروط الجذب التالية:

$$\begin{cases} \dot{S}_i < 0 & \text{si } S_i > 0 \\ \dot{S}_i > 0 & \text{si } S_i < 0 \end{cases} \quad (5-26)$$

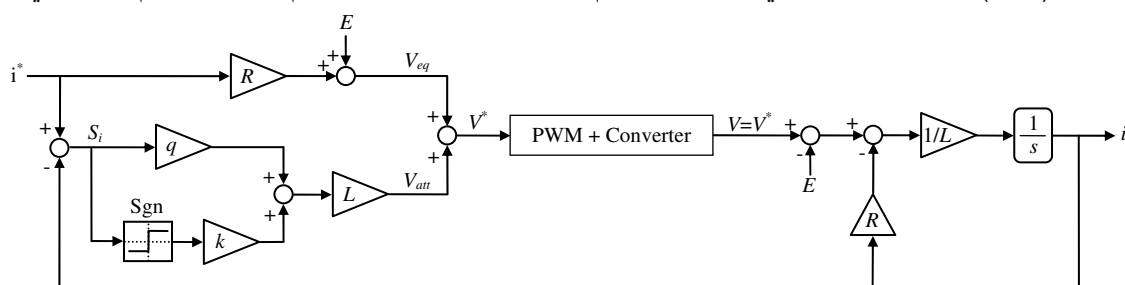
يمكن الحصول على العلاقة النهائية للجهد  $V^*$  بالأخذ بعين الاعتبار المعادلات (5-23)-(5-25) كما يلي:

$$V^* = V_{eq} + V_{att} = Ri^* + E + L(q \operatorname{sgn}(S_i) + kS_i) \quad (5-27)$$

للتأكد من أن التيار  $i$  يتجه نحو سطح الانزلاق  $S_i=0$  يجب أن يتحقق شرط الانجذاب  $S_i \dot{S}_i < 0$ . في الواقع، بتطبيق علاقة الجهد المرجعي المعطاة بالعلاقة (5-27) على جداء تابع التبديل بمشتق تابع التبديل نجد ما يلي:

$$\begin{aligned} S_i \dot{S}_i &= -S_i \frac{di}{dt} = -\frac{1}{L} S_i (V - E - Ri) \\ &= -\frac{1}{L} S_i (V^* - E - Ri) = -\frac{1}{L} S_i (V_{eq} + V_{att} - E - Ri) \\ &= -\frac{1}{L} S_i (Ri^* + E + L(q \operatorname{sgn}(S_i) + kS_i) - E - Ri) \\ S_i \dot{S}_i &= -\frac{R}{L} S_i^2 - qS_i \operatorname{sgn}(S_i) - kS_i^2 \end{aligned} \quad (5-28)$$

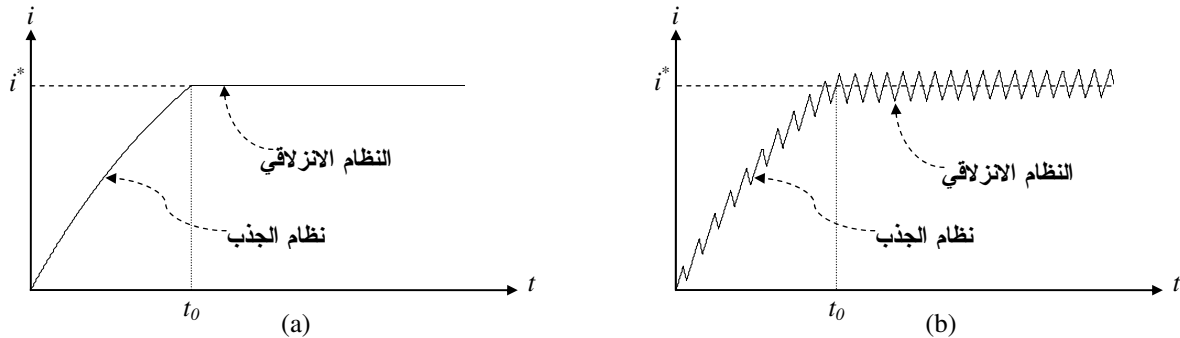
يتبين لدينا بالنظر إلى العلاقة (5-28) أن الجداء  $S_i \dot{S}_i$  يتكون من مجموع ثلاثة حدود سالبة، وبالتالي فإن ناتج الجداء ذو إشارة سالبة وشرط الجذب المعطى بالعلاقة (5-26) محقق مهما كانت إشارة تابع التبديل  $S_i$ . يبين الشكل (5-8) المخطط الصندوقي الخاص بتنظيم تيار الحمل  $RLE$  باستخدام نظرية النظام الانزلاقي.



الشكل (5-8): المخطط الصندوقي لخوارزمية تنظيم تيار حمل  $RLE$  باستخدام نظرية التحكم الانزلاقي

أما الشكل (5-9) فيبين، من أجل قيمة معطاة للتيار المرجعي، مسار التيار  $i$  والذي يصف النظام الموضح في الشكل (5-8)، حيث أن مسار التيار يتكون من مرحلتين: مرحلة نظام الجذب وفيها ينطلق التيار من قيمة بدائية (الصفر في حالتنا هذه) متجهاً نحو سطح الانزلاق ومن ثم تبدأ المرحلة الثانية وهي مرحلة النظام الانزلاقي. يعبر الشكل (5-9-a) عن نظام العمل المستمر، ولكن بما أن المبدلة تعمل وفق النظام الزمن المتقطع ونظراً لأن قيمة تردد التبديل لقواطع المبدلة محدد، لذلك فإنه من المستحيل الحصول عملياً على نظام عمل مستمر وهذا

في الواقع يجعل شكل مسار التيار يأخذ الشكل الموضح في الشكل (5-9-b)، أما مطال اهتزاز التيار حول قيمته المرجعية فيتعلق بشكل أساسي بتردد التقطيع لطريقة تعديل عرض النبضة وقيم الثابت  $k$  و  $q$  المختارة من قبل المصمم.



الشكل (5-9): مسار التيار عند تنظيمه باستخدام نظام التحكم الانزلاقي (a) حالة العمل المستمر، (b) حالة النظام المتقطع لتحويل المعادلة (5-27) إلى النظام الواحد سنقوم بتقسيم طرفي المعادلة على القيمة الأعظمية للجهد والتي ستحدد من قبل المصمم فنجد العلاقة التالية:

$$V_u^*[k] = R_u i_u^*[k] + E_u[k] + q_u \operatorname{sgn}(\Delta i_u[k]) + k_u (\Delta i_u[k]) \quad (5-29)$$

حيث تعبر  $V_u^*[k] = \frac{V^*[k]}{V_b}$  عن جهد الحمل  $RLE$  في النظام الواحد،  $\Delta i_u[k] = \frac{\Delta i[k]}{I_b}$  عن قيمة الفرق بين التيار المرجعي والتيار الحقيقي في النظام الواحد،  $R_u = \frac{RI_b}{V_b}$  عن مقاومة الحمل في النظام الواحد،  $k_u = \frac{LkI_b}{V_b}$  عن الحد التناسبي لقانون الجذب في النظام الواحد،  $q_u = \frac{qL}{V_b} \operatorname{sgn}(\Delta i_u[k])$  عن الحد الثابت لقانون الجذب في النظام الواحد.

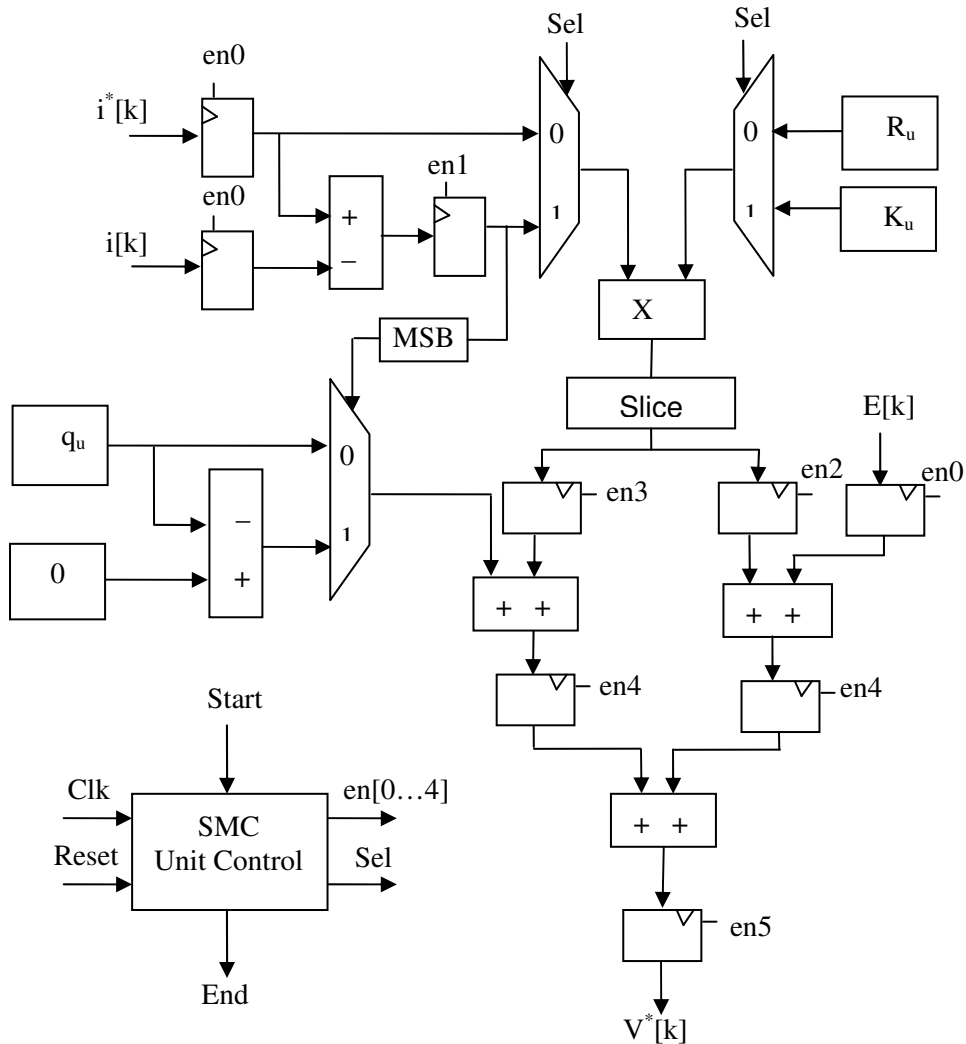
يبين الشكل (5-10) مخطط مسرى المعطيات الذي تم تشكيله اعتماداً على المعادلة (5-29)، يظهر في الشكل (5-10) وحدة التحكم بوحدة تنظيم التيار اعتماداً على نظام التحكم الانزلاقي ووظيفتها التحكم بجريان المعطيات عن طريق اختيار اللحظات المناسبة لتطبيق إشارات التفعيل ( $Enable$ ). الجدول (5-3) يوضح إشارات خرج وحدة التحكم بوحدة تنظيم تيار الحمل  $RLE$  باستخدام نظرية التحكم الانزلاقي.

الجدول (5-3): الإشارات الناتجة عن وحدة التحكم التابعة للمنظم الانزلاقي

رقم الحالة	حالات أقطاب التفعيل والاختيار	العملية المنفذة
الحالة 0		- انتظار إشارة البدء Start
الحالة 1	en0='1'	- أخذ عينة من $i_u^*[k], i_u[k], E_u[k]$
الحالة 2	en1='1', en2='1', sel='0'	- اختيار $\Delta i_u[k], R_u$ - أخذ عينة من $\Delta i_u[k]$ - أخذ عينة من ناتج عملية ضرب $i_u[k] * R_u$
الحالة 3	en3='1', sel='1'	- أخذ عينة من ناتج عملية ضرب

$\Delta i_u[k] * K_u$		
- أخذ عينة من ناتج عملية الجمع $i_u[k] * R_u + E_u[k]$ - أخذ عينة من ناتج عملية الجمع $q_u \text{sgn}(\Delta i_u[k]) + k_u (\Delta i_u[k])$	en4='1'	الحالة 4
- أخذ عينة من ناتج عملية الجمع $V_{eq}[k] + V_{att}[k]$	en5='1'	الحالة 5
- توليد إشارة النهاية End	End='1'	الحالة 6

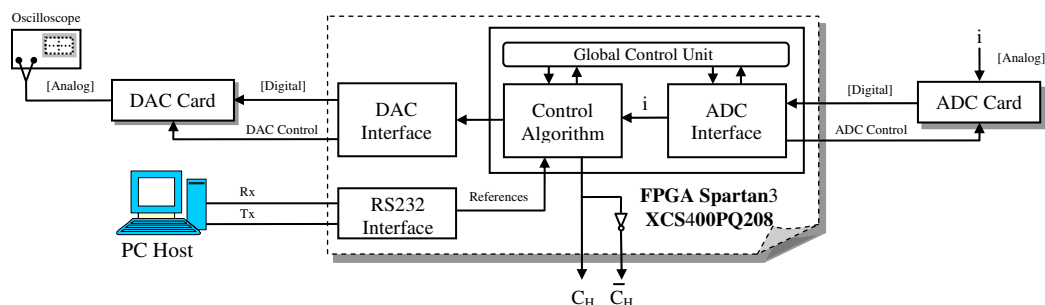
إن خرج وحدة المنظم الانزلاقي يطبق على وحدة تعديل عرض النبضة كما هو الحال عند تنظيم التيار باستخدام منظم التناسبي - التكاملي، لهذا السبب وجدنا أنه من غير الضروري إعادة شرح وحدة تعديل عرض النبضة. أما النبضات الناتجة على خرج وحدة تعديل عرض النبضة فتطبق على المبدلة وذلك لتوليد الجهد المرجعي  $V^*$ .



الشكل (5-10): مخطط مسرى المعطيات لإستراتيجية تنظيم التيار باستخدام نظام التحكم الانزلاقي

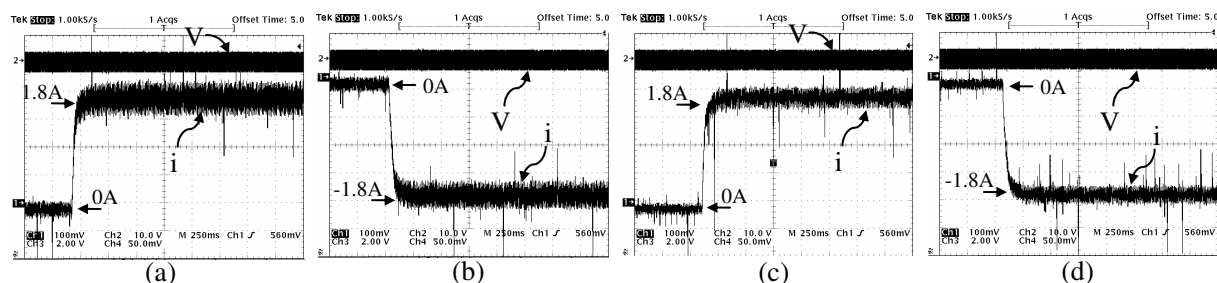
### 5.5. النتائج العملية لخوارزميتى تنظيم التيار

يبين الشكل (5-11) البنية العامة لنظام القيادة، ويكمن الاختلاف فقط في محتوى وحدة خوارزمية التحكم وذلك تبعاً للإستراتيجية المستخدمة. تم تثبيت الجهد المستمر على دخل المبدلة عند قيمة 220V.



**الشكل (5-11): البنية العامة لنظام التحكم**

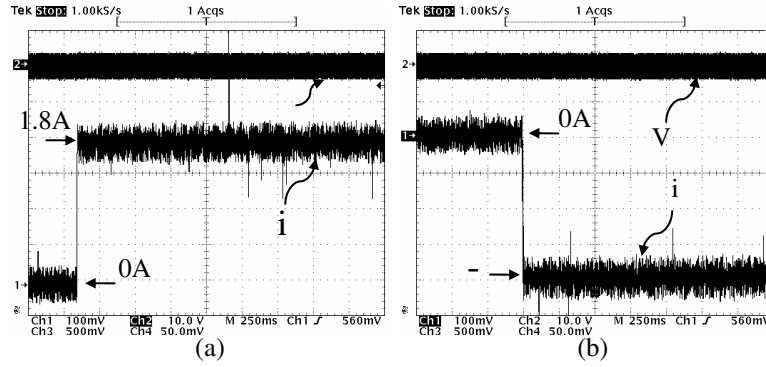
يبين الشكل (5-12) شكل تيار المتحرض بالنسبة لخوارزمية تنظيم التيار باستخدام المنظم التناسبي- التكاملي. في الشكل (5-12-a) تم تطبيق قفزة على التيار المرجعي بقيمة التيار الاسمي ( $0$  to  $I_{an}$ ). أما في الشكل (5-12-b) فتم تطبيق قفزة على التيار المرجعي بقيمة التيار الاسمي ( $0$  to  $-I_{an}$ ). وقد كان تردد الإشارة الحاملة المستخدم في الشكلين السابقين مساوياً إلى  $F_{PWM}=1.22KHz$ . في الشكلين (5-12-c) و(5-12-d) كان تردد الإشارة الحاملة المستخدم هو  $F_{PWM}=2.44KHz$  لذلك يظهر بوضوح انخفاض اهتزازات تيار المتحرض.



**الشكل (5-12): شكل الجهد والتيار عند استخدام المنظم التناسبي - التكاملي**

(a) استجابة لتغير قيمة التيار المرجعي (0A to 1.8A) عند  $F_{PWM}=1.22KHz$ , (b) استجابة لتغير قيمة التيار المرجعي (0A to 1.8A) عند  $F_{PWM}=2.44KHz$ , (c) استجابة لتغير قيمة التيار المرجعي (0A to -1.8A) عند  $F_{PWM}=1.22KHz$ , (d) استجابة لتغير قيمة التيار المرجعي (0A to -1.8A) عند  $F_{PWM}=2.44KHz$

أما بالنسبة لإستراتيجية تنظيم التيار باستخدام المنظم الانزلاقي، فيبين الشكل (5-13) شكل إشارتي التيار والجهد من أجل قفزة في قيمة تيار المتحرض المرجعي مساوية للتيار الاسمي، حيث نلاحظ أن استجابة التيار أسرع مما هو عليه في حالة تنظيم التيار باستخدام المنظم التناسبي- التكاملي، إلا أن اهتزازات التيار في الحالة الستاتيكية أكبر مما هو عليه في الشكلين (5-12c) و(5-12d) وهذا يعود إلى استخدام قيم كبيرة للثوابت  $q$  و  $k$ .



الشكل (5-13): شكل الجهد والتيار عند استخدام المنظم الانزلاقي

(a) استجابة لتغير قيمة التيار المرجعي (0A to 1.8A) عند  $F_{PWM}=2.44KHz$

(b) استجابة لتغير قيمة التيار المرجعي (0A to -1.8A) عند  $F_{PWM}=2.44KHz$

## 6.5. خلاصة

في هذا العمل تم بناء نظامي قيادة رقميين ضمن شريحة *FPGA* لتنظيم التيار في محرك تيار مستمر ذي تهيج مستقل وفق خوارزميتي منظمتي *PID* الكلاسيكية وتقنية التحكم الانزلاقي *SMC* كل على حدة. من خلال هذا البحث تم التركيز على كيفية التمثيل الرقمي للأنظمة الكهربائية من جهة والتحويل إلى النظام الواحد من جهة أخرى وذلك لسهولة بناء الخوارزمية ضمن شريحة *FPGA*.

بعد ذلك فصلنا طريقة التصميم الرقمي لخوارزميتي القيادة ووضحنا ضرورة تقسيم الخوارزمية إلى عدد من الوحدات الجزئية لتسهيل تعديل التصميم من جهة وإمكانية استخدام هذه الوحدات في تصميم خوارزميات أخرى. وانطلاقاً من ذلك قمنا ببناء خوارزمية خاصة لتوليد نبضات التحكم اللازمة لقلبية الجهد.

إن زمن معالجة خوارزمية القيادة وفق طريقة منظمتي *PID* التي تم بناؤها في بطاقة *FPGA* المستخدمة (متضمناً زمن التحويل للمبدل التشابهي-الرقمي)، بينما زمن معالجة الخوارزمية وفق تقنية التحكم الانزلاقي (2.64μs) أيضاً زمن التحويل للمبدل التشابهي-الرقمي).

إن زمن المعالجة القصير جداً يؤكد مدى تفوق شرائح *FPGA* من حيث سرعة المعالجة لخوارزميات أنظمة القيادة الكهربائية مقارنةً مع معالجات الإشارة الرقمية والمتحكمات المصغرة. إن هذا يعود بالطبع إلى إمكانية برمجة الكيان الصلب وبالتالي إمكانية تنفيذ العديد من أقسام الخوارزمية على التوازي على عكس البرمجة الناعمة والتي تتطلب تنفيذ البرنامج بصورة تسلسلية كما هو الحال في شرائح الـ *DSP* والـ

*Microcontroller*.

## الخاتمة والآفاق المستقبلية

تم في هذا العمل تصميم منظومة قيادة رقمية لمحرك تيار مستمر قادرة على تنظيم السرعة ضمن مجالات واسعة وعند أحمال مختلفة، ومن ثم بناؤها ضمن شريحة مصفوفة البوابات المنطقية القابلة للبرمجة *FPGA*. تطلب الوصول إلى هذا الهدف المرور بجملة من الخطوات المرحلية التالية:

### أولاً: نمذجة محرك التيار المستمر مع الأخذ بعين الاعتبار رد فعل المتحرض

تعتبر عملية نمذجة الجملة المراد التحكم بها الخطوة الأهم في مرحلة بناء منظومات التحكم والقيادة، وذلك انطلاقاً من كونها القاعدة التي يتم على أساسها الحكم على مدى مواءمة ومطابقة النموذج الرياضي المقترح للجملة الفيزيائية المدروسة، وقد مرت عملية النمذجة بمرحلتين رئيسيتين، المرحلة الأولى وهي قياس عناصر الجملة المراد التحكم بها (مقاومة المتحرض، تحريضية المتحرض، عزم العطالة، معامل الاحتكاك اللزج)، أما المرحلة الثانية فكانت عبارة عن التمثيل الرياضي للمحرك من خلال المعادلات الرياضية التي تصف سلوكه الستاتيكي والديناميكي للجزئين الكهربائي والميكانيكي.

وبهدف بناء نموذج رياضي دقيق لمحرك التيار المستمر ذي التهيج المستقل، تم أخذ تأثير رد فعل المتحرض عند التحميل بعين الاعتبار وذلك عبر عملية قياس أمكن من خلالها إيجاد منحنى تجريبي يربط بين الفيض المغناطيسي وتيار المتحرض.

### ثانياً: تصميم نظام قيادة رقمي بالاعتماد على تقنية منظمات *PID*

تعتبر منظمات *PID* من أكثر المتحكمات استخداماً في أنظمة التغذية العكسية، لذلك قمنا خلال هذا البحث ببناء منظومتين تحكم مختلفتين اعتماداً على هذه المتحكمات بهدف تنظيم سرعة محرك التيار المستمر ذي التهيج المستقل. المنظومة الأولى هي منظومة التحكم بسرعة محرك التيار المستمر بدون تنظيم التيار، أما المنظومة الثانية فهي منظومة التحكم بسرعة محرك التيار المستمر مع تنظيم التيار.

في كلا المنظومتين تم دراسة تأثير أخذ رد فعل المتحرض بعين الاعتبار وإهماله، واختيار المنظومة الأمثل تم رسم منحنيات استجابة السرعة والتيار لكل منظومة على حدة، ومقارنتها مع بعضها البعض. ونظراً لأن بناء نظام التحكم ضمن إحدى الشرائح الرقمية، يتطلب إيجاد النموذجين الرقمي والواحد للنظام المدروس، فقد تم تحويل المنظومتين إلى الشكل الرقمي وممثلاً في النظام الواحد.

### ثالثاً: تصميم نظام قيادة رقمي بالاعتماد على تقنية النمط الانزلاقي

على اعتبار أن نظرية النمط الانزلاقي هي إحدى نظريات التحكم ذات الأداء العالي والتي تمتاز بمناعتها العالية ضد تغير المعاملات الداخلية للجملة المتحكم بها بالإضافة إلى مناعتها ضد الضجيج والاضطرابات الخارجية، فقد تم (بشكل مشابه لما تم تطبيقه عند استخدام منظمات *PID* الكلاسيكية) بناء منظومتين تحكم مختلفتين لتنظيم سرعة محرك التيار المستمر (اعتماداً على تقنية النمط الانزلاقي) إحداها بدون تنظيم التيار والأخرى مع تنظيم التيار، حيث تم في كلا المنظومتين التمييز بين حالة أخذ رد فعل المتحرض

بعين الاعتبار وحالة إهماله، وبهدف اختيار المنظومة الأمثل تم رسم منحنيات استجابة السرعة والتيار لكل منظومة على حدة، ومقارنتها مع بعضها البعض، أخيراً، تم تحويل المنظومتين إلى الشكل الرقمي القابل للبرمجة وممثلاً في النظام الواحد.

**رابعاً: المقارنة بين أداء منظومتي التحكم الأمثلتين المبنيتين وفق طريقة منظمات  $PID$  وخوارزمية النمط الانزلاقي، ودراسة استقرار المنظومة الأفضل بينهما**

تم مقارنة أداء كلا المنظومتين المدروستين حيث لوحظ أن منظومة التحكم المبنية وفق خوارزمية النمط الانزلاقي قد قدمت أداءً أفضل مقارنة مع متحكمات  $PID$  المولفة ذاتياً. وبهدف التأكد من جودة أداء النظام المبني وفق تقنية النمط الانزلاقي عند شروط التشغيل المختلفة، فقد تم دراسة استقرار النظام عند تعرضه لإحدى الحالتين التاليتين:

- أ- زيادة مقاومة المتحرض بشكل خطي بمقدار 50% من قيمتها الاسمية.
  - ب- زيادة عزم عطالة المحرك بشكل قفزة بمقدار 100% من قيمته الاسمية.
- انطلاقاً من طريقة تحديد توضع أقطاب النظام في الحلقة المغلقة، استنتجنا أن النظام المدروس مستقر، حيث حافظ المحرك على سرعته عند القيمة المرجعية، كما أن تيار المتحرض لم يتجاوز حدوده الاسمية المسموح بها.

#### **خامساً: بناء نظام القيادة ضمن شريحة المصفوفات القابلة للبرمجة $FPGA$**

في هذه المرحلة تم بناء نظامي قيادة رقميين ضمن شريحة  $FPGA$  لتنظيم التيار (العزم) في محرك تيار مستمر ذي تهيج مستقل، اعتمد النظام الأول على منظمات  $PID$  الكلاسيكية والثاني على تقنية التحكم الانزلاقي، حيث تم التركيز على كيفية التمثيل الرقمي للأنظمة الكهربائية من جهة والتحويل إلى النظام الواحد من جهة أخرى وذلك لسهولة بناء الخوارزمية ضمن شريحة  $FPGA$ .

إن الغاية من تصميم نظامي القيادة اعتماداً على طريقتي التحكم المذكورتين يهدف إلى تسليط الضوء على مزايا تقنية النمط الانزلاقي ومناعتها العالية ضد تغير محددات الجملة المتحكم بها ومن ثم مقارنة هذا النظام مع منظومة القيادة المبنية وفق طريقة منظمات  $PID$  محاولين مقارنة أداء المنظومة الأخيرة من أداء خوارزمية النمط الانزلاقي وذلك بالاعتماد على تقنية التوليف الذاتي لمحددات منظم  $PID$  آخذين بعين الاعتبار تأثير رد فعل المتحرض.

بعد ذلك فُصلت طريقة التصميم الرقمي لخوارزميتي القيادة وتم توضيح ضرورة تقسيم الخوارزمية إلى عدد من الوحدات الجزئية لتسهيل تعديل التصميم من جهة وإمكانية استخدام هذه الوحدات في تصميم خوارزميات أخرى، وانطلاقاً من ذلك تم بناء خوارزمية خاصة لتوليد نبضات التحكم اللازمة لقلبلة الجهد.

إن زمن معالجة خوارزمية القيادة وفق طريقة منظمات  $PID$  التي تم بناؤها في بطاقة  $FPGA$  المستخدمة ( $2.68\mu s$ ) متضمناً زمن التحويل للمبدل التشابهي-الرقمي، بينما زمن معالجة الخوارزمية وفق تقنية التحكم الانزلاقي ( $2.64\mu s$ ) متضمناً أيضاً زمن التحويل للمبدل التشابهي-الرقمي). إن زمن المعالجة القصير



جداً يؤكد مدى تفوق شرائح *FPGA* من حيث سرعة المعالجة لخوارزميات أنظمة القيادة الكهربائية مقارنةً مع معالجات الإشارة الرقمية *DSP* والمتحكمات المصغرة *Microcontroller*، وهذا يعود إلى إمكانية البرمجة التفرعية التي تمنحها شرائح *FPGA*.

### ملخص النتائج

من خلال الدراسة السابقة نستنتج ما يلي:

- ✓ متحكمات *SMC* لا تتأثر بتغير بارامترات النظام.
- ✓ تحافظ متحكمات *SMC* على أداء ديناميكي عالي وذلك ضمن مجال واسع للتحكم بالسرعة وعند أحمال مختلفة مع وجود تغير في محددات النظام.
- ✓ تعاني متحكمات *PID* من بطئ نسبي في استجابة النظام كما تتأثر بتغير محددات النظام.
- ✓ تستخدم متحكمات *PID* المولفة ذاتياً لحل مشكلة تغير معاملات النظام إلا أنها تزيد من تعقيد النظام بشكل كبير.
- ✓ تمتاز شرائح *FPGA* بأدائها العالي، وسرعتها الكبيرة في تنفيذ خوارزميات أنظمة القيادة.

### الآفاق المستقبلية

لا بد وأن يكون هناك متابعة أو تحسين يُرجى من كل عمل بحثي، حيث يتمنى الباحث إجراء المزيد من الخطوات، ولكن الزمن يضطره للتوقف عند مرحلة معينة على الرغم من وجود نقاط أخرى يريد استكمالها. لذلك نجد أنه من الضروري توثيق هذه الأفكار إما لينفذها الباحث بنفسه فيما بعد في حال أراد متابعة المسيرة، أو ليكملها من يأتي بعده.

ولعل من أهم الخطوات التي أردنا المضي فيها:

- بناء منظم السرعة ضمن شريحة *FPGA*.
- دراسة وتحليل وبناء مرحلة تنظيم الموضع لمحرك تيار مستمر ذي تهييج مستقل.
- دراسة إمكانية التطبيق العملي لخوارزميات تنظيم سرعة المحرك دون حساس سرعة.

## الملحقات

- ثوابت محرك التيار المستمر ذي التهيج المستقل المدروس:

$P_{el}=0.3 \text{ kW}$	الاستطاعة الكهربائية
$U_{in}=220 \text{ V}$	جهد الدخل
$I_a=1.8 \text{ A}$	تيار الحمل
$\Omega = 2000 \text{ rpm}$	سرعة الدوران الميكانيكية
$R_a=12.2 \text{ ohm}$	مقاومة المتحرض
$L_a=0.23 \text{ H}$	تحريضية المتحرض
$F=0.000574 \text{ Kg.m}^2/\text{sec}$	ثابت الاحتكاك اللزج
$J=0.0086 \text{ Kg.m}^2$	عزم عطالة المحرك

## المراجع

1. Chiasson J., 2005 – **Modern and High-Performance Control of Electric Machines**, WILEY INTERSCIENCE, 701 Pages.
2. Ong C-M, 1998 – **Dynamic Simulation of Electric Machinery Using Matlab/Simulink**, Prentic-Hall, 626 Pages.
3. Fitzgerald A. E., Charles Kingslry,Jr., Stephen D. Umans , 2002 - **Electric Machinery**,6<sup>th</sup> Edition, Mc Graw Hill, 687 pages.
4. Ellis G., 2002 – **Modern Control Technology: Components and Systems**, Second Edition, Kilian, 636 Pages.
5. Rashid M. H., 2004 - **Power Electronics Circuits, Devices, and Applications**, Pearson Education, 880 pages.
6. Åström K. J., Hägglund T., 1995 - **PID Controllers: Theory, Design, and Tuning**, Instrument society of America,2<sup>nd</sup> Edition.
7. Ricardo H. J., 2009 – **A Modern Introduction to Differential Equations**, 2<sup>nd</sup> Edition, ELSEVIER, 518 pages.
8. Rosloniec S., 2008 – **Fundamental Numerical methods for Electrical Engineering**, Springer, 283 Pages.
9. Bin-Jidin A., Nik Rumzi Idris – **Sliding Mode Variable Structure Control Design Principles and Application to DC Drives**, National Power & Energy Conference (PECon) 2004 IEEE.
10. Utkin V., Guldner J., Shi J., 1999 – **Sliding Mode Control in Electromechanical Systems**, CRC Press,
11. Utkin V., 1998 – **Sliding Mode in Control and Optimization**,Springer-Verlag,
12. Koshkouei A. J., Burnham, K., Zinober, A. S. I., 2005 – **Dynamic sliding Mode Control for Nonlinear Systems**. IEEE Proc. Control Theory and Applications, 152, 392-296.
13. Sira-Ramirez H., Rios Bolivar M., 1994 - **Sliding Mode Control of DC-DC Power Converter via Extended Linearization Circuits and Systems: Fundamental Theory and Application**, IEEE Transaction on Circuits and Systems 41 (10),652-661.
14. Grout I., 2008 – **Digital Systems Design with FPGAs and CPLDs**, Newnes, 724 pages.
15. Zeidman B., 2002 – **Designing with FPGA and CPLDs**, ELSEVIER, 220 Pages.
16. Hangos K. M., Bokor J., Szederkényi G., 2004 – **Analysis and Control of Nonlinear Process Systems**, Springer, 308 Pages.

17- مقالة منشورة بعنوان البناء الرقمي لخوارزمياتي قيادة لتنظيم التيار في محرك تيار مستمر ضمن شرائح FPGA – مجلة بحوث جامعة حلب لعام 2009 العدد 70/ – سلسلة العلوم الهندسية.

## Testimony

We witness that the described work in this treatise is the results of scientific search conduct by the candidate Eng. Ahmad Amer Al-Mallouhi under supervision of Dr. Ahmad Ammar Naassani (main supervisor) associate professor in the department of Electrical Drives Engineering in the Faculty of Electrical & Electronic Engineering at the University of Aleppo, and Dr. Abdulkader Joukhadar (assistant supervisor) lecturer in the Department of Electrical Drives Engineering in the Faculty of Electrical & Electronic Engineering at the University of Aleppo. Any other references mentioned in this work are documented in the text of the treatise.

Candidate	Assistant supervisor	Main supervisor
Eng. Ahmad Amer Al-Mallouhi	Dr. Abdulkader Joukhadar	Dr. Ahmad Ammar Naassani

# Declaration

I hereby certify that this work has not been accepted for any degree or it is not submitted to any other degree.

Candidate

**Eng. Ahmad Amer Al-Mallouhi**

Aleppo University  
Faculty of Electrical & Electronic Engineering  
Electrical Drives Engineering Department



## **FPGA-Based Design and Implementation of DC Motor Drive System using Sliding Mode Control Technique**

**This Thesis is Submitted to Obtain the Master Degree in Electrical Drives Engineering**

By

**Dipl. Eng. Ahmad Amer Al- Mallouhi**

Master Student

Department of Electrical Drives Engineering  
Faculty of Electrical & Electronic Engineering  
University of Aleppo

Supervised By

<b>Dr. Ahmad Ammar Naassani</b> Associate Professor in the Department of Electrical Drives Engineering Faculty of Electrical & Electronic Engineering University of Aleppo	<b>Dr. Abdulkader Joukhadar</b> Lecturer in the Department of Electrical Drives Engineering Faculty of Electrical & Electronic Engineering University of Aleppo
---	--



## **FPGA-Based Design and Implementation of DC Motor Drive System using Sliding Mode Control Technique**

**This Thesis is submitted to obtain the Master Degree  
in Electrical Drive Engineering**

By

**Eng. Ahmad Amer Al-Mallouhi**  
Postgraduate Student  
Department of Electrical Drives Engineering  
Faculty of Electrical & Electronic Engineering  
Aleppo University